Centre Universitaire AbdelhafidBoussouf -Mila

Institut des Sciences et de Technologie

Département de Sciences et Technologie



NºRef :.....

Projet de Fin d'Etude préparé En vue de l'obtention du diplômede MASTER

Filière : Génie Civil Spécialité : Structures Thème

Pré-dimensionnement Et Etude D'un Bâtiment En Béton Armée A Usage D'habitation Contreventé Par Un Système Mixte

(Voiles - Portiques)

Réalisé par :

- Kerdoun Madiha
- Sayoud Amani

Soutenu devant le jury :

➤ Présidente
 ➤ Examinatrice
 ➤ promotrice
 Mme . Drouna Karima
 Mme . Boukour Salima
 Mme . Abada Rofia

Année universitaire: 2023/2024



Remerciement

Toute notre parfaite gratitude et remerciement à Allah le plus puissant qui nous a donné la force, le courage et la volonté pour élaborer ce travail.

C'est avec une profonde reconnaissance et considération particulière

Que nous remercions notre encadreur Dr. ABADA ROFIA pour son

Soutien, ces conseils judicieux et ces grandes bienveillances durant

L'élaboration de ce projet.

Nous saisissons également cette opportunité pour remercier tous les Membres du jury d'avoir accepté de lire ce manuscrit et d'apporter les Critiques nécessaires à la mise en forme de cet ouvrage.

Nous remercions aussi l'ensemble des enseignants du département de génie civil qui ont contribués à notre formation Master en Génie Civil.

A tous ceux qui nous ont aidés de près ou de loin pour la réalisation de ce projet de fin d'étude.

AMANI & MADIHA

Dédicace

Je dédie ce modeste travail :

À celui qui a toujours garni mes chemines, mon cher père « ABD EL MALEK»

À la Plus perle du monde, qui m'a donne l'amour, la patience et, le soutien et le courage...ma tendre mère

«YAKOUTA»

À ma chère sœur : « HADIL »

À mon cher frère : « AMIR ET ADEM»

À tous mes amis

À toute la promotion 2024, et à tous mes amis sans exception.

À tous ceux que je porte dans mon cœur.



AMANI

Dédicace

Je dédie ce modeste travail:

À celui qui a toujours garni mes chemines, mon cher père «NACEREDDINE »

À la Plus perle du monde, qui m'a donné l'amour, la patience et, le soutien et le courage...ma tendre mère

À ma chère sœur : « AMIRA NABILA CHAIMA»

«FATIMA ZOHRA»

À mon cher frère : « AYMEN »

À tous mes amis

À toute la promotion 2024, et à tous mes amis sans exception.

À tous ceux que je porte dans mon cœur.



MADIHA

Résume

Ce projet consiste principalement en une analyse dynamique d'une structure (R+4) à usage multiple.

La structure est située à Mila qui se caractérise par une activité sismique moyenne (zone IIa).

L'étude est réalisée au regard du code sismique algérien (RPA99 modifié en 2003). Le dimensionnement des éléments structuraux et leur ferraillage ont été réalisés selon le code algérien du béton armé (CBA93) et les états limites du béton armé (BAEL91).

Les mots clés : Bâtiment, béton arme, analyse dynamique, robot 2021.

Abstract

This project mainly consists of dynamic analysis of a mutli-porpose structure (R+4)

The structure is located in Mila which is characterized by a medium seismic activity (zone IIa).

The study is carried out regarding the Algerian seismic code (RPA99 modified in 2003). The Structural elements dimension and their reinforcement were carried out according to the Algerian reinforced concrete code (CBA93) and the limits states of reinforced concrete (BAEL91).

Key words: Building, reinforced concrete, dynamic analysis, robot 2021.

ملخص،

هذا المشروع يتكون أساسا مندارسة ديناميكية لبناية مقاومة لزلزال بواسطة الجدران المشكلة منالخرسانة المسلحة.

تتألف من طابق ارضي واربعة طوابق سكنية والواقعة في ولاية ميلة المصنفة ضمن المنطقة الزلز اليةمتوسطة الشدة.

من اجل ذلك كانت الدراسة المطبقة على هذه البناية وفقا ل لمعايير الزلزالية الجزائري 2003VERSION99/RPA

أما بخصوص الابعاد والتسليح لمختلف العناصر الاساسية المشكلة للبناية فقد استعملنا القوانين المعمول بها في الجزائر

الكلمات المفتاحية: روبو 2021 تحليل ديناميكي، خرسانة مسلحة، بناية. CBA و BAEL91

Table des matières

Chapitre I : présentation de l'ouvrage

I.1 INTRODUCTION :	2
I.2 PRESENTATION DE L'OUVRAGE :	2
I.2.1 Système structural :	3
I.2.2 Dimension de plan :	3
I.2.3 Dimensions en élévation :	4
I.3 DIMENSION DU SITE :	6
I.4 LES ÉLÉMENTS DE L'OUVRAGE :	6
I.4.1Contreventement:	6
I.4.2 Les planchers :	6
I.4.3 La maçonnerie :	7
I.4.4 Terrasse:	7
I.4.5 Revêtements :	7
I.4.6 Escaliers:	7
I.4.7 Acrotère:	7
I.4.8 Isolation :	7
I.4.9 Les voiles :	8
I.4.10 Fondation :	8
I.5CARACTERISTIQUES DES MATÉRIAUX :	8
I.5.1 Béton :	8
I.5.1.1 Résistance du béton :	8
I.5.2 L'acier :	10
I.5.2.1 Contrainte limite de calcul :	12
I.6 HYPOTHESES DE CALCUL DES SECTIONS EN BETON ARME :	12
I.6.1 A L'E.L.U:	12
I.6.2A L'E.L.S :	13
I.7 NOTION D'ETAT LIMITES :	13
I.7.1Les états limites ultimes :	13
I.8 ACTIONS ET SOLLICITATIONS :	13
I.8.1 Action:	13
1. Actions permanentes :	13

2. Actions variables :	14
3. Actions accidentelles:	14
I.8.2 Sollicitations :	14
I.9 REGLES DE CALCUL :	14
I.10 METHODOLOGIE DE CALCUL :	14
I.11 CONCLUSION:	15
Chapitre II : pré dimensionnement des éléments	
II.1 INTROUDUCTION	17
II.2 LA PRE DIMENSIONNEMENT DES ELEMENTS SECONDAIRES :	17
II.2.1 Les planchers :	17
II.2.1.1 Plancher en corps creux :	17
II.2.1.2 Plancher dalle pleine:	19
II.2.2 Les Escaliers :	20
II.2.3 L'acrotère :	22
II.3 PRE DIMENSIONNEMENT DES ELEMENTS PRINCIPAUX :	23
II.3.1 Pré dimensionnement des poutres :	23
II.3.1.1 Les poutres principales :	24
II.3.1.2 Les poutres secondaires :	24
II.3.2 Les Poteaux :	26
II.3.3 Les voiles:	27
II.4 EVALUATION DES CHARGES ET SURCHARGES :	28
II.4.1 Les planchers :	28
II.4.2 Balcon :	30
II.4.3 Cloisons extérieures :	30
II.4.4 L'escalier :	31
II.5 DESCENTE DE CHARGES :	31
II.5.1 Loi de dégression :	32
II.6CONCLUSION:	36
Chapitre III : calcule des éléments secondaires	
III.1 Introduction :	38
III.2 L'acrotère :	38
III.2.1Définition:	38

III.2.2 Hypothèse de calcul:	38
III.2.3 Calcul des efforts :	39
III.2.3 Calcul du ferraillage :	41
III.2.1 Les armatures fictives :	41
III.2.2 Armature de répartition :	42
III.2.3 Vérification de l'effort de tranchant « cisaillement »:	42
III.2.4 Vérification à L'ELS :	42
III.2.4.1 Vérification des contraintes :	42
III.2.5 Schéma de Ferraillage :	43
III.3 Etude des escaliers :	43
III.3.1 Définition :	43
III.3.2 Charge et surcharge :	44
III.3.3 Schéma statique :	44
III.3.4 Combinaison des charges :	44
III.3.4.1 Calcul des réactions :	45
III.3.4.2 Calcul des moments et efforts tranchants :	45
III.3.4.3 Calcul des réactions :	47
III.3.4.4 Calcul des moments et efforts tranchants :	48
III.3.4.5 Diagrammes des moments fléchissants et efforts tranchants :	50
III.3.5 Calcul de Ferraillage :	51
III.3.5.1 Vérification de la flèche :	55
III.3.6 Schéma de ferraillage :	57
III.4 Poutre palière:	57
III.4.1 Evaluation des charges :	58
III.4.1.1 Détermination des sollicitations :	58
III.4.2 Ferraillage de la poutre palière à la flexion simple :	59
III.4.3 Calcul la poutre palière à la torsion :	63
III.4.3.1 Armatures longitudinales :	63
III.4.3.2 Armature transversales :	65
III.4.4 Schéma de ferraillage :	66
III.5 Balcon:	66
III.5.1 Evaluation des charges :	66
III.5.2 Sollicitations:	67
III.5.2.1 Combinaisons et sollicitations :	67
III 5 3 Calcul de ferraillage:	68

III.5.3.1 Vérification de l'effort tranchant :	68
III.5.3.2 Vérification à E.L.S:	69
III.5.3.3 Vérification de la flèche :	69
III.5.4 Schéma du ferraillage :	70
III.6. LES PLANCHERS	70
III.6.1. Généralité :	70
III.6.2. Evaluation des charges appliquées à chaque nervure :	70
III.6.3. Les combinaisons d'action :	70
III.6.4. Type et Position des poutrelles :	71
III.6.4.1. Différents types de poutrelles :	71
III.6.4.2.Choix de la méthode de calcul des sollicitations dans les poutrelles :	72
III.6.4.3.Méthode forfaitaire :	72
III.6.4.4.Méthode de Caquot minoré :	75
III.7. Schéma du ferraillage:	105
III.8. Conclusion:	106
Chapitre IV : étude dynamique	
IV.1 INTRODUCTION :	108
IV.2 OBJECTIF DE L'ETUDE DYNAMIQUE :	108
IV.3 MÉTHODES DE CALCUL :	108
IV.3.1 Méthodestatique équivalente :	108
IV.3.2 Méthode dynamique modale spectrale :	111
IV.4 Modélisation de la structure :	114
IV.4.1 Présentation du logiciel de calcul:	114
IV.5 Modalisation :	115
IV.5.1 La structure avec les voiles :	115
IV.6 : Structure contreventée par système (voiles–portique) :	117
IV.7 CONCLUSION :	125
Chapitre V: ferraillage des éléments résistance	
V.1 Introduction:	127
V.2 Les combinaisons d'actions :	127
V.2.1 Les actions:	127
V.2.2 Les sollicitations :	127

V.2.3 Les combinaisons des charges:	127
V.3 Étude des poteaux:	128
V.3.1 Etapes de calcul selon BAEL91	129
V.3.2 Recommandations du RPA99	129
V.3.2.1 Les armatures longitudinales	129
V.3.2.2 Les armatures transversales	130
V.3.2.3 La quantité minimale des armatures transversales	131
V.3.2.4 Coffrage	131
V.3.3 Ferraillage des poteaux	131
V.3.3.1 Détermination des sections d'acier	133
V.3.3.2 La section des armatures longitudinale :	138
V.3.3.3 Armatures transversales	139
V.3.3.4 Vérification de stabilité de forme	141
V.3.3.5 Longueur de recouvrement	141
V.3.3.6 Vérification de la contrainte à l'E.L.S	142
V. 3.4 Schéma de ferraillage des poteaux	143
V.4 Étude des poutres	143
V.4.1 Combinaison de calcul.	143
V.4.2.les vérifications nécessaires	144
V.4.3.Ferraillage des Poutres	144
V.4.3.1.Poutre principale	144
V.4.3.2.Poutre secondaire	146
V.4.4 Vérifications	148
V.4.4.1 poutre principale	148
V.4.4.2 poutre secondaire	151
V.5 Etude des voiles	154
V.5.1 Introduction	154
V.5.2 Ferraillage des voiles plein	155
V.5.2.1 Exposé de la méthode	155
V.5.2.2 Armature vertical	156
V.5.2.4 Exigences de R PA 99 révise 2003	157
V.5.2.5 Armature horizontal	157
V.5.2.6 Armatures transversales	158
V.5.2.7 Armatures de coutures	158
V.5.2.8 Espacement	158

V.5.2.9 Longueur de recouvrement	158
V.5.2.10 Diamètre maximal	
V.5.2.1.1 Combinaisons:	159
V.5.3Vérification:	159
V.5.3.1Vérification à L'ELS :	
V.5.3.2Vérification de la contrainte de cisaillement :	159
V.5.4 Disposition des voiles :	160
V.5.5 Sollicitations dans les voiles:	160
V.5.6 Ferraillage des voiles :	160
V.5.6.1 Exemple de calcule :	160
V.5.6.2 Exemple de calcule :	164
V.6 Conclusion:	
Chapitre VI : étude de l'infrastru	cture
VI.1. INTRODUCTION	170
VI.2Les types des fondations	170
VI.3Choix de type de fondation	170
VI.4 Calcul des fondations	171
VI.4.1 Vérification de type de la semelle	171
VI.4.1.1 Semelles Isolées	172
VI.4.1.2. Semelles Filantes	173
VI.5 Calcul de la longrine	
VI.5.1 Dimensionnement de la longrine	178
VI.5.2 Ferraillage de la longrine	178
VI.5.3 Condition de non fragilité	178
VI.5.4 Condition exigée par RPA99	178
VI.5.5 Armatures transversales	179
VI.5.6. Espacement minimal	179
VI.6. Schéma de ferraillage de la longrine	179
VI.7.Conclusion.	179

LISTE DES FIGURES

Chapitre I : présentation de l'ouvrage

Figure. I.1: Situation géographique de notre ouvrage
Figure I.2: Vue en plan de RDC
Figure. I.3: Vue en plan des 4 <i>er</i> étage
Figure. I.4: Plan de terrasse5
Figure I.5 : la coupe BB5
Figure I.6 : La coupe AA
Figure I.7: Façade principale 6
Figure I.8: Façade postérieur6
Figure. I.9: Diagramme contraintes-déformations du béton
Figure I.10: diagramme contrainte – déformation
Chapitre II : pré dimensionnement des éléments
Figure. II.1: Planchers à corps creux
FigureII.2: les composants de l'escalier
Figure II.3: l'acrotère
FigureII.4 : Dimensions de l'acrotère
FigureII.5: Section des poutres
FigureII.6 : Coupe de voile en élévation
FigureII.7 :Coupe de voile en plan
FigureII.8 : Coupe sur cloisons extérieur
FigureII.9: Poteau intermédiaire
Chapitre III : calcule des éléments secondaires
Figure. III.1 : Modèle de calcul de l'acrotère
Figure III.2 : charges appliquées sur l'acrotère
Figure. III.3: La section équivalente de calcul de l'acrotère

Figure III.4 : Schéma de ferraillage de l'acrotère
Figure .III.5: Schéma statique des escaliers
Figure III.6: Schéma statique à l'ELU
Figure III.7: Schéma statique à l'ELS
Figure. III.8 :La section équivalente de calcul de L'escalier
Figure III.9 : Evaluation des charges
Figure III.10: Evaluation des charges
Figure III.11: Coupe de la poutre
Figure III.12: Schéma de ferraillage de la poutre palière
Figure III.13 : Section théorique pour le ferraillage du balcon
Figure III.14 : Schéma de ferraillage du balcon
Figure III.15 : Evaluation des efforts tranchants
Figure III.16: Courbe des moments poutrelle (terrasse) en ELU81
Figure III.17 : Courbe des efforts tranchants poutrelle (terrasse) en ELU81
Figure III.18 : Courbe des moments poutrelle (terrasse) en ELS
Figure III.19 : Courbe des efforts tranchants poutrelle (terrasse) en ELS85
Figure III.20 : Courbe des moments poutrelle (étage courant) en ELU89
Figure III.21 : Courbe des efforts tranchants poutrelle (étage courant) en ELU89
Figure III.22 : Courbe des moments poutrelle (étage courant) en ELS90
Figure III.23 : Courbe des efforts tranchants poutrelle (étage courant) en ELS92
Figure III.24: Courbe des moments poutrelle (étage courant) en ELU92
Figure III.25: Courbe des efforts tranchants poutrelle (étage courant) en ELU92
Figure III.26: Courbe des moments poutrelle (étage courant) en ELS93
Figure III.27: Courbe des efforts tranchants poutrelle (étage courant) en ELS94

Figure III.28: Coupe d'une poutrelle	
Figure III.29 : Schéma de ferraillage des planchers	
Chapitre IV : étude dynamique	
Figure IV.1 : Modélisation 3D de la structure	
Figure IV.2: disposition des voiles	
Figure IV.3: Comportement de la structure sous disposition	
Figure IV.4: le poids sens xx	
Figure IV.5: le poids sens y-y	
Figure IV.6 : Les déplacements selon X et Y	
Chapitre V: ferraillage des éléments résistance	
Figure V.1 :Les sollicitations revenantes aux poteaux	
Figure V.2: Section du Poteau à ferrailler.	
Figure V.3:Schéma de ferraillage des poteaux. 143	
Figure V.4: Schéma de l'espacement zone courante et zone nodale	
Figure V.5:Schéma de ferraillage des poutres principales	
Figure V.6:Schéma de ferraillage des poutres secondaire	
Figure V.7 : Disposition des armatures verticales dans les voiles	
Figure V.8:Disposition des voiles	
Figure V.9: Dimensions des voiles	
Figure V.10 : diagramme des contraintes voile sens (X – X)	
Figure V.11: schéma de ferraillage des voiles sens (X – X)	
Figure V.12 : Dimensions du voile sens (Y – Y)	
Figure V.13: diagramme des contraintes voile sens (Y – Y)	

Figure V.14 : schéma de ferraillage des voiles sens (Y – Y)	168
Chapitre VI : étude de l'infrastructure	
Figure VI.1:Dimensions de la semelle isolé	172
Figure VI.2:L'interférence entre deux semelles isolée	173
Figure VI.3: semelles filantes	173
Figure VI.4 :semelles filantes sous voiles	174
Figure VI.05:Ferraillage de la semelle filante sous voile	175
Figure VI.6 : ferraillage de la semelle filante sous poteau en travée	177
Figure VI.7 : ferraillage de la semelle filante sous poteau en appuis	178
Figure VI.8 : Ferraillage de la longrine.	179

Listes de tableaux

Chapitre I : présentation de l'ouvrage

Tableau. I.1: limite élastique en fonction du type d'acier	11
Tableau.I.2 : limite élastique en fonction de type de treillis soudés	11
Tableau.I.3 : caractéristiques de béton armé utilisé.	15
Tableau.I.4 : Caractéristiques mécaniques du béton.	15
Tableau.I.5 : Caractéristiques mécaniques des aciers	16
Chapitre II : pré dimensionnement des éléments	
TableauII.1 : Charges permanentes de l'acrotère	23
TableauII.2 : Charge permanente de terrasse à corps creux	29
TableauII.3 : Charge permanente et d'exploitation d'étage courant à corps creux	29
TableauII.4 : charge permanente et d'exploitation de balcon.	30
TableauII.5 : Charge permanente de cloisons extérieures	30
Tableau II.6 : Charge permanente et d'exploitation de la paillasse	31
Tableau II.7 : Charge permanente et d'exploitation de palier de repos.	31
TableauII.8 : Charge et surcharge de chaque étage	34
Tableau II.9 : Résultats des vérifications au flambement	36
Chapitre III: calcule des éléments secondaires	
Tableau III.1 : Calcul de la Combinaison des charges.	44
Tableau III. 2 : Tableau récapitulatif des sollicitations.	50
Tableau III.3: ferraillage à l'ELU Sur appuis.	52
Tableau III.4: ferraillage à l'ELU Sur Travée	53
Tableau III.5: Vérification des contraintes à l'ELS sur travée.	55
Tableau III.6: Vérification des contraintes à l'ELS sur appuis	55

Tableau III.7 : Ferraillage de la poutre palière à la flexion simple. 60
Tableau III. 8: Vérification a l'ELS de la poutre palière. 62
Tableau III.9: Les combinaisons d'action 70
Tableau III.10: les chargements sur les poutrelles
Tableau III.11: Les sollicitations pour ferrailler les poutrelles (terrasse)94
Tableau III.12 : Les résultats de ferraillage des poutrelles (appuis intermédiaire)96
Tableau III.13 : les résultats de ferraillage des poutrelles (appuis de rive)96
Tableau III.14: calcul des contraintes (poutrelles terrasse) 102
Tableau III.15: Calcul des moments d'inerties fictives (poutrelle terrasse)104
Tableau III.16 : Vérification de la flèche (poutrelle terrasse)
Chapitre IV : étude dynamique
Tableau IV.1 : Valeurs du coefficient d'amortissement suivant le système structurel110
Tableau IV.2 : Coefficient d'accélération de zone 113
Tableau IV.3 : Valeurs des périodes caractéristiquesT1, T2. 113
Tableau IV.4 : Valeur de facteur de qualité 113
Tableau IV.5 : Résumé des résultats de calcul 116
Tableau IV.6 : Vérification de l'effort tranchant à la base 119
Tableau IV.7 : Vérification des déplacements au sens x-x
Tableau IV.8 : Vérification des déplacements au sens y-y
Tableaux IV.9: le coefficient de comportement R 121
Tableau IV.10 : Vérification à L'effet P-Δ sens x-x 122
Tableau IV.11 : Vérification de l'effet P-Δ au sens y-y
Tableau IV.12: Vérification de renversement sens x-x 123
Tableau IV.13 : Vérification de renversement sens y-y

Tableau. IV.14: Vérification d'effort normal réduit de poteau	124
Tableau IV.15 : valeur centre de masse et centre de torsion	125
Tableau IV.16: L'excentricité théorique et accidentelle	125
Chapitre V: ferraillage des éléments résistances	
Tableau V.1: Armatures longitudinales minimales et maximales dans les poteaux	i 130
Tableau V.2:Les sollicitations dues aux poteaux.	132
Tableau V.3:Ferraillages longitudinaux des poteaux.	138
Tableau V.4:Ferraillages transversaux des poteaux.	140
Tableau V.5 : Vérification de la contrainte de cisaillement pour les poteaux	141
Tableau V.6: Vérification des poteaux au flambement.	141
Tableau V.7 : Longueur de recouvrement	141
Tableau V.8: Sollicitations maximales de la poutre principale.	144
Tableau V.9 : Tableau récapitulatif de la poutre principal.	145
Tableau V.10: Sollicitations maximales de la poutre secondaire	146
Tableau V.11 : Tableau récapitulatif de la poutre secondaire	146
Tableau V.12: Tableau récapitulatif des poutres.	147
Tableau V.13: Vérification des contraintes (P.P) à l'ELS	148
Tableau V.14: Vérification de la compression du béton	149
Tableau V.15: Vérification des contraintes (P.P) à l'ELS	151
Tableau V.16: Vérification de la compression du béton	151
Tableau V.17: Sollicitations de calcul (voile plein).	160

LISTEDESNOTATIONS

A', Aser: Section d'aciers comprimés et section d'aciers à l'ELS respectivement.

At:Sectiond'uncoursd'armature transversal.

A:Coefficientd'accélérationdezone.

α: Coefficient de la fibre neutre.B: Aire d'une section de béton.B_r: Sectionréduite.

B,b:Lalargeur(m).

Ct:Coefficientfonctiondusystèmedecontreventement et dutypederemplissage

Cu:Lacohésiondusol(KN/m²).

D:Diamètre,dalle.

D: Facteur d'amplification dynamique moyen.

ELS: État limitedeservice.

ELU: Étatlimiteultime.

E:Moduled'élasticitélongitudinale, séisme.

Ei: Module d'élasticité instantanée.

Es: Module d'élasticité de l'acier.

f_{c28}: Résistance caractéristique à la compression donnée en (MPa).

ft28: Résistance caractéristique à la traction donnée en (MPa).

F: Coefficient desécurité=1.5

G:Actionpermanente.

H:Hauteur, lahauteurd'ancraged'unefondation(m).

ht: Hauteurtotaleduplancher.

ho: Épaisseur deladalledecompression.

he: Hauteur libre d'étage.

I: Moment d'inertie (m⁴).Q: Chargevariable.

Q:Facteur dequalité.

qu:Chargeultime.

qs:Chargedeservice..L:Longueurouportée.

Lmax:Laplusgrandeportéeentredeuxélémentsporteurssuccessifs(m).

 L_x =distanceentrenusdepoutrelles.

Ly = distanceentreaxes d'appuis des poutrelles principales.

l':Longueurfictive.

M:Momentengénéral.

Ma: Momentsurappui.

Mu:Momentdecalculultime.

Mser: Moment de calcul de service.

Mt: Moment entravée.

Mo: Moment isostatique.

N_{ser}:Effortnormaldeservice.

N_u:Effortnormalultime

N:Effortnormaleduaux chargesverticales.

n:est lenombredemarchessurlavolée, Coefficientd'équivalence.

Ntot: Poids total transmis par la superstructure (KN).

P:Charge concentrée appliquée(ELSouELU).

R: coefficient de comportement global.S: Section, surface

Sr:Surfaceduradier(m²).

S_t:Espacementdesarmatures.T: Effort tranchant.

T1,T2: période caractéristique, associé à la catégorie du site.

V: Effort tranchant.

W:poidspropredelastructure.

Woi: Chargesd'exploitation.

Wg: Poids du auxchargespermanentesetàcelles d'équipement fixes éventuels.

X,YetZ:Coordonnéesen général.

Y : Ordonnée de la fibre neutre.

Z: Coordonnée, brasdelevier

Z:profondeur au-dessousdelafondation(m).

bo: Epaisseur brute del'armed'unesection, largeurdelanervure

d:Hauteurutile.

e:Excentricité, épaisseur.

f:Flèche.

fbu:Contraintedecompressiondubétonàl'E.L.U.R

fe:Limite d'élasticité.

fcj:Résistance caractéristique àlacompressionà«j»joursexpriméeen(MPa).

f_{tj}:Résistancecaractéristique à latractionà«j»joursexprimée en(MPa).

h_t:Hauteurtotalduradier(m).

hn: Hauteurmesuréeenmètre à partir de la base de la structure jusqu'au dernier niveau.

σ_b:Contraintedecompressiondubéton.

σ_s: Contrainte de compressiondansl'acier

u:Coefficientdepoison

 σ : Contrainte normale.

γw:Poidsvolumiquedel'eau(t/m3).

γ_b:Coefficientdesécurité.

γ_s:Coefficientdesécurité.

φ:Angledefrottementinternedusol(degrés).

 σ_{adm} : Contrainteadmissibleauniveaudelafondation (bars).

τ: ValeurdecisaillementlimitedonnéparleBAEL(MPa).

τ_u:Contraintede cisaillement (MPa).

η:Facteurd'amortissement.

β:Coefficientdepondérationenfonctiondelanatureetdeladuréedelacharged'exploitation.

μ₁:Momentréduitlimite.

μ_u:Momentultimeréduit.

 λ_i :Coefficientinstantané.

Introduction générale

INTRODUCTION GENERALE

Le génie civil représente l'ensemble des techniques dans le domaine de la construction civile et industrielle. Les ingénieurs en génie civil s'occupent de la conception, la réalisation, de l'exploitation et de la réhabilitation des ouvrages de construction et d'infrastructures urbaines dont ils assurent la gestion, afin de répondre aux besoins de la société, tout en assurant la sécurité des édifices publics et de la protection de l'environnement.

L'Algérie est parmi les pays qui sont soumis à de grandes activités et risques sismiques. Les récents tremblements de terre qui ont secoué l'Algérie au cours de ces trois dernières décennies, ont causé d'énormes pertes humaines et des dégâts matériels importants. Pour mieux se protéger contre d'éventuels événements sismiques, il est nécessaire de bien comprendre le phénomène des tremblements de terre qui est à l'origine de mouvements forts de sol.

L'ingénieur doit concevoir et calculer les éléments de toute structure, de manière qu'ils puissent résister à toutes les sollicitations prévues, pour plus de durabilité et plus de sécurité vis-à-vis de l'effet sismique pendant toute la durée de leur exploitation tout en tenant compte des aspects structuraux, fonctionnels, économiques, esthétiques et la viabilité de l'ouvrage. Toute fois le choix du système de contreventement dépend de certaines considérations à savoir la hauteur du bâtiment, la capacité portante du sol et les contraintes architecturales.

Pour le calcul des éléments constituants un ouvrage, des règlements et des méthodes connues (BAEL91 révisée 99, RPA 99 / version 2003) qui se basent sur la connaissance des matériaux (béton et acier) et le dimensionnement et ferraillage des éléments de la structure.

Dans ce présent travail nous présentons une étude d'un bâtiment en béton armé R+4 destiné à être utilisé. Le bâtiment sera construit dans la ville de Mila.Selon les systèmes sismiques algériens, la région de Mila est classée comme zone sismiqueIIa.

Le bâtiment a des usages résidentiels. Classé en groupe d'usage 2. L'ouvrage considéré sera construit en ossature béton renforcée, cette charpente sera constituée d'huisseries en béton armé, et des voiles de contreventement aussi en béton armé, et des planchers qui constituent les diaphragmes. L'ensemble des cloisons de séparation sont des mures en maçonnerie (en brique et mortier) et les éléments non structuraux sont réalisés en béton armé.

Ce mémoire de Master est divisé en Six chapitres, le premier portera sur la présentation complète de la structure étudiée, du site d'implantation et des règlements utilisés et le deuxième sera consacrer pour la définition des différents éléments et le choix des matériaux à utiliser. Le troisième sera consacré pour le redimensionnement des éléments non structuraux (les planchers, les escaliers, l'acrotère...) et pour la détermination des actions verticales présentes dans le bâtiment et le prédimensionnement des éléments non structuraux et structuraux du bâtiment. Le quatrième chapitre portera sur l'étude dynamique du bâtiment. L'étude sera réalisée par l'analyse du modèle de la structure en 3D sur le logiciel de calcul ROBOT. La structure est modélisée sous forme d'une ossature en portique poteau-poutre et des planchers modélisés sous forme de diaphragmes rigides. Le modèle de la structure est composé de 4 étages encastrés à la base. Le cinquième chapitre portera sur le calcul du ferraillage des éléments structuraux (poteaux, poutres, voiles). Le sixième chapitre portera sur l'étude de l'infrastructure(les fondations) danscette partie de notre travail on va présenter les différentes étapes du dimensionnement des fondations de l'ouvrage en question tout en respectant les règles en vigueur. Et on terminera par une conclusion générale.

Chapitre I présentation de l'ouvrage

I.1 INTRODUCTION:

L'étude d'un bâtiment en béton armé nécessite des connaissances de base sur lesquelles l'ingénieur prend appuis, et cela pour obtenir une structure à la fois sécuritaire et économique. A cet effet, on consacre ce chapitre pour donner quelques rappels et des descriptions du projet à étudier.

Ce travail consiste en l'étude d'un bâtiment en béton armé. Tous les calculs sont effectués conformément aux règlements en vigueur, à savoir :

- BAEL 91 modifié 99 et CBA93.
- RPA99 version 2003.

I.2 PRESENTATION DE L'OUVRAGE:

L'ouvrage étudié est un bâtiment constitué d'un Rez De Chaussée (RDC) plus 4 étages à usage d'habitation. Le bâtiment est implanté à la wilaya de MILAqui est classée comme une région de moyenne sismicité (ZONEIIa) selon le règlement parasismique algérien RPA 99version 2003.[1]



Figure. I.1: Situation géographique de notre ouvrage.

Il est classé, selon le même règlement, en groupe d'usage 2 : ouvrage de moyenneimportancecar il peut accueillir plus de 200 personnes.

Le bâtiment est composé de :

- Rez-de-chaussée.
- 1er étage jusqu'au 4ème étage à usage d'habitation (2 logements F3).

I.2.1 Système structural:

La structure choisie est contreventée par un système mixte (voile –portique) pour mieux reprendre les efforts sismiques et pour une meilleure rigidité.

• Choix du système de contreventement.

Notre bâtiment dépasse quatre niveaux (14 mètres), il est situé en zonel I_a . Le contreventement par portique est donc écarté (Art. 1-b du RPA99/version 2003)[1] et le choix va se porter sur un contreventement mixte (voiles et portiques).

Pour un système de contreventement mixte, il y a lieu de vérifier ce qui suit :

- ❖ Les voiles de contreventement ne doivent pas reprendre plus de 20% des sollicitations dues aux charges verticales.
- ❖ Les charges horizontales sont reprises conjointement par les voiles et les portiques proportionnellement à leurs rigidités relatives ainsi que les sollicitations résultant de leurs interactions à tous les niveaux.
- Les portiques doivent reprendre, outre les sollicitations dues aux charges verticales, au moins 25 % de l'effort tranchant d'étage.

I.2.2 Dimension de plan:

Le bâtiment a une forme rectangulaire avec :

- Longueur en plan 22.20 m

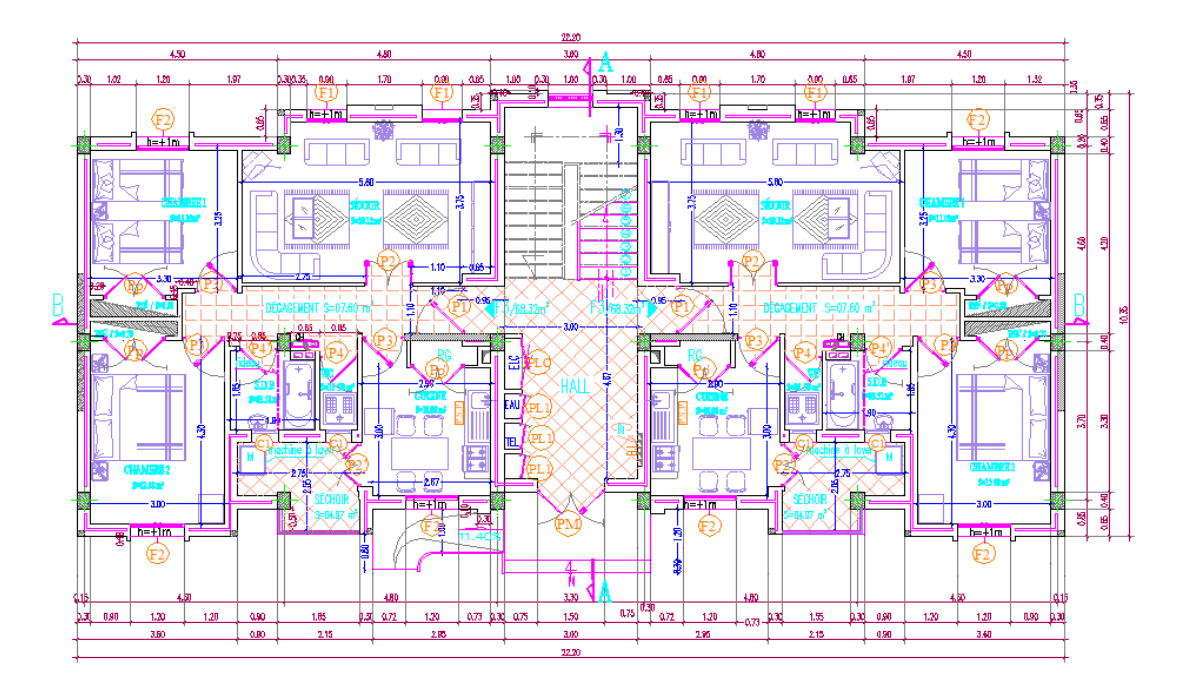


Figure I.2: Vue en plan de RDC

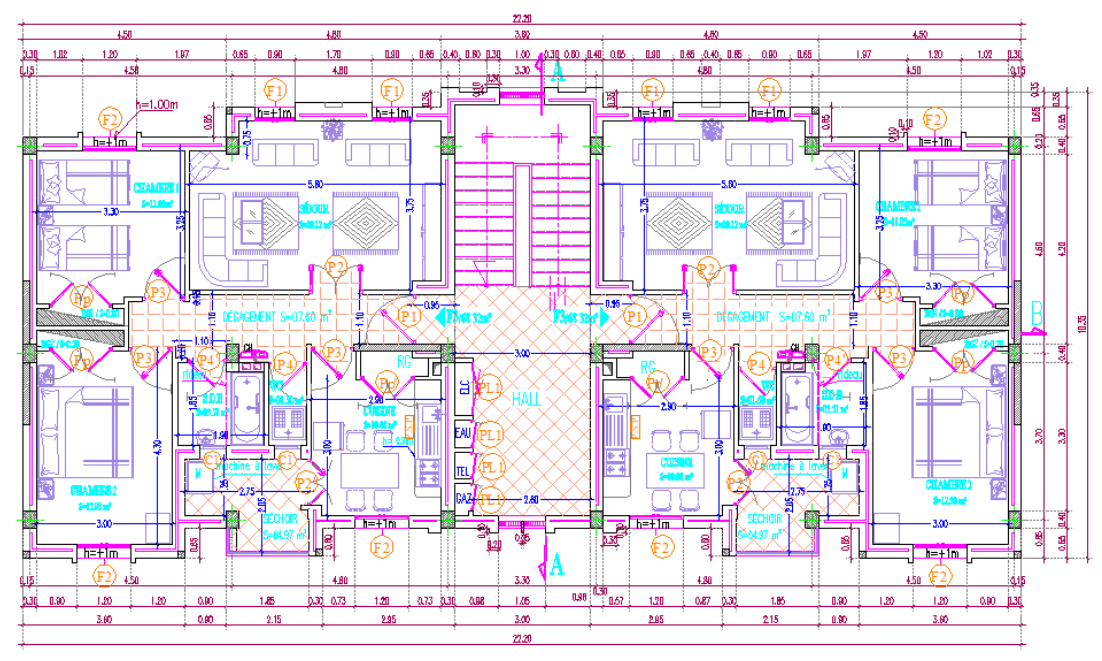


Figure. I.3: Vue en plan del'étage courant

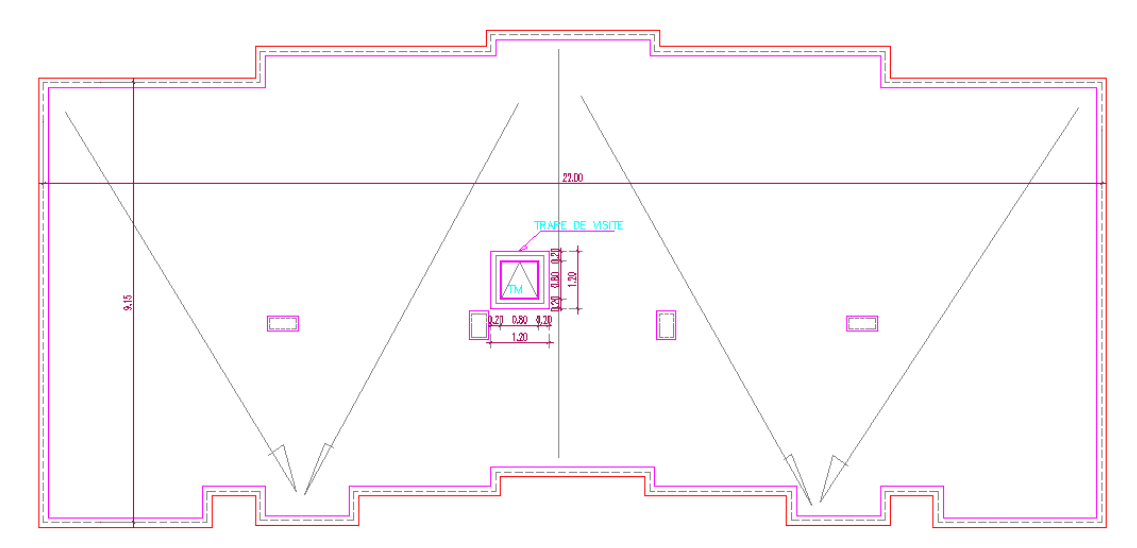
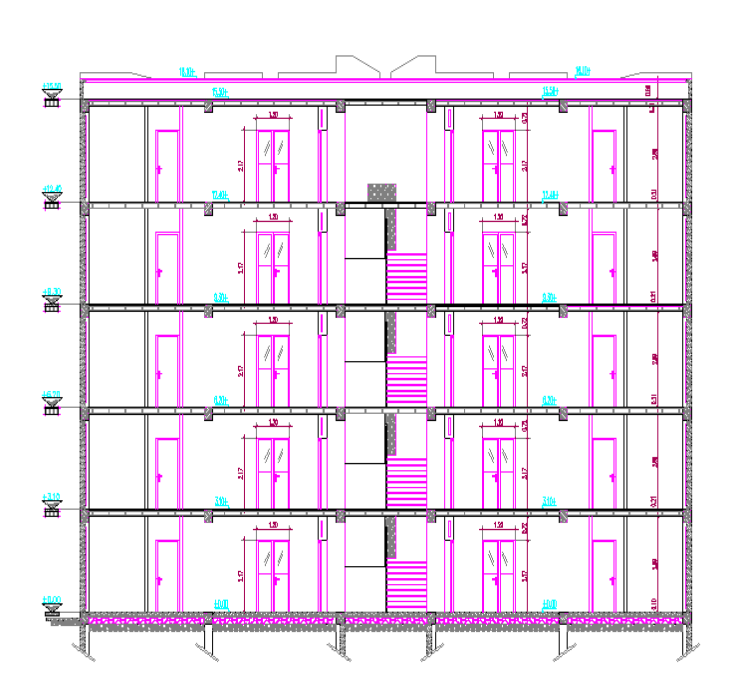


Figure. I.4:Plan de terrasse.

I.2.3 Dimensions en élévation:



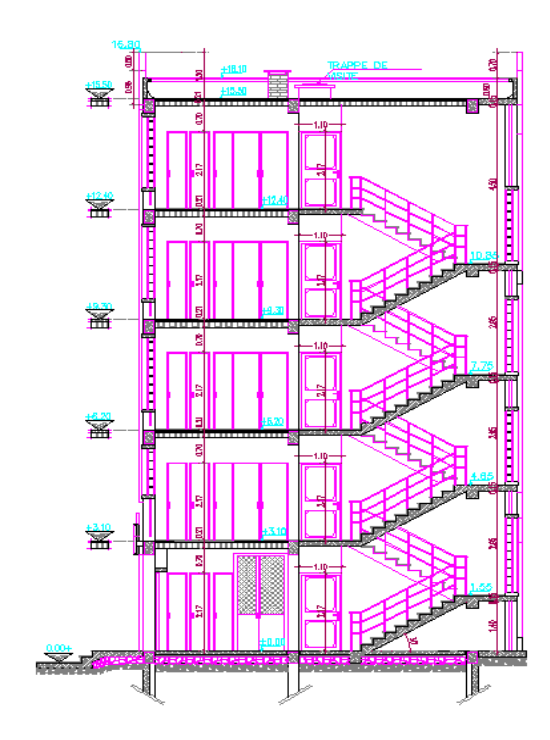


Figure I.5 : la coupe BB

Figure I.6 : La coupe AA.



Figure I.7: Façade principale



Figure I.8: Façade postérieure

I.3 DIMENSION DU SITE:

Le bâtiment est implanté dans une zone classée par le RPA 99/version 2003[1] comme :

- Une zone de sismicité moyenne (zoneIIa).
- L'ouvrage appartient au groupe d'usage 2.
- Le site est considéré comme : meuble (Site 3)
- Contrainte admissible du sol =2 bars.

I.4 LES ÉLÉMENTS DE L'OUVRAGE :

I.4.1Contreventement:

Le contreventement est assuré par les éléments structuraux qui concourent à la résistance et la stabilité de construction contre les actions horizontales telle que le séisme et le vent. En utilisant pour cela :

- Des voiles intérieurs et dans les deux sens longitudinal et transversal.
- Des portiques constituent par des poteaux et des poutres.

I.4.2Les planchers:

Les planchers sont des éléments porteurs horizontaux qui ont deux fonctions principales qui sont la séparation des différents niveaux et de reprendre les différentes charges et surcharges, dans notre projet on a opté pour (02) deux types de plancher :

- ♣ Plancher en corps creux « 16+4 cm» pour RDC et les différents étages (04 étages).
- ♣ Plancher dalle pleine pour balcon.

I.4.3 La maçonnerie :

La maçonnerie du bâtiment est réalisée en briques creuses :

a. Murs extérieurs:

Constitués d'une double paroi en briques (10 cm et 15 cm d'épaisseur) séparées par une l'âme d'air de 5 cm d'épaisseur (15+5+10).

b. Murs intérieurs:

Constitués par une seule paroi de briques creuses de 10 cm d'épaisseur.

I.4.4 Terrasse:

La terrasse inaccessible sauf pour entretien avec un acrotère périphérique en béton armé de 60 cm de hauteur. Elle comporte des pentes de 1,5% pour l'évacuation des eaux pluviales.

I.4.5 Revêtements:

a. Terrasse:

- Protection gravillon.
- Etanchéité multicouche.
- Forme de pente.
- Isolation thermique.
- Enduit en plâtre.

b. Étage courant :

- Carrelage.
- Mortier de pose.
- Lit de sable.
- Enduit en plâtre.

I.4.6 Escaliers:

Le bâtiment est munit d'une cage d'escalier, composée d'un palier et de paillasse, réalisés en béton armé coulé sur place.

I.4.7 Acrotère :

Comme la terrasse est inaccessible, le dernier niveau du bâtiment est entouré d'un acrotère en béton armé de 60 cm de hauteur et de 10 cm d'épaisseur.

I.4.8 Isolation:

L'isolation acoustique est assurée par le vide de corps creux et la masse du plancher, par contre au niveau des murs extérieurs l'isolation est assurée par le vide d'air entre les deuxparois qui composentse dernier, et par la minimisation des ponts thermique en cour de réalisation.

I.4.9 Les voiles :

Ce sont des éléments rigides en béton armé, coulés sur place, ils assurent d'une part le transfert des charges verticales et d'autre partla stabilité sous l'action des charges horizontales.

I.4.10 Fondation:

Les fondations sont des semelles filantes sous voiles et semelles isolées.

I.5CARACTERISTIQUES DES MATÉRIAUX :

I.5.1 Béton:

Le rôle fondamental du béton dans une structure est de reprendre les efforts de compression qui seront développés. Le ciment utilisé est le CPA 325 avec un dosage de 350 kg/m3 .La résistance du béton dépend d'un grand nombre de paramètres : le type et le dosage des matériaux utilisés, le degré et la condition de réalisation etc.Par exemple Pour 1m3il nous faut :

- ➤ 350 kg du ciment (CPA-325, CRS).
- \triangleright 400 litres de sable « D ≤ 5mm ».
- > 800 litres de gravier « $10 \text{mm} \le D \le 30 \text{ mm}$ ».
- ➤ 180 litres de l'eau de gâchage.

Le béton ordinaire est constitué en général de :

- Pate pure : (Ciment, eau et air)
- Granulats : (Sable, gravillons).
- Produits d'addition éventuels (Adjuvants).

I.5.1.1 Résistance du béton :

a. Résistance à la compression :

La résistance caractéristique à la compression du béton fcj à j jours d'âge est déterminée à partir d'essais sur des éprouvettes cylindriques normalisées de 16 cm de diamètre et de 32cm de hauteur. Le plus souvent la résistance est mesurée à l'Agede 28 jours fc 28.

Selon les règles de CBA93 (Art A2.1)[2]

La résistance du béton à la compression peut être estimée suivant la loi.

$$j < 28 jours$$
 $\begin{cases} f_{cj} = \frac{j}{4.76 + 0.83j} \times f_{c28} & \text{pour } f \le 40 \text{ MPa} \\ f_{cj} = \frac{j}{1.4 + 0.95j} \times f_{c28} & \text{pour } f > 40 \text{ MPa} \end{cases}$

$$f_{cj}$$
 = fc28 pour j > 28 jour

La réalisation du projet en étude fait normalement l'objet d'un contrôle régulier, Dans ce projet on adopte: fc28=25MPA

b. Résistance du béton à la traction : (CBA.93 Art A. 2.1.1.2)[2] :

Généralement le béton est un matériau travaillant bien en compression avec une mauvaise résistance à la traction, mais on a parfois besoin de connaître la résistance en traction. La résistance en traction à 28 jours est désignée par ft28. La résistance caractéristique à la traction du béton à (j) jours désignée par f_{tj} est conventionnellement définie par la relation :

$$\begin{split} f_{tj} &= 0.6 + 0.06 \times f_{cj} & \text{ Pour } f_{cj} \leq 60 \text{ MPa} \\ f_{c28} &= 25 \text{ MPa} & \text{ Donc } f_{t28} = 2.1 \text{ MPa} \end{split}$$

c. Module de déformation longitudinale du béton(BAEL91.A.2.1.21)[3] :

Sous des contraintes normales d'une durée d'application inférieure à 24 heures, on admet à défaut des mesures qu'à l'âge de (j) jours le module de déformation longitudinale instantanée du béton (E_{ij}) est égale.

$$E_{ij} = 11000 \sqrt[3]{(f_{cj})}$$
 Donc: $E_{ij} = 32164.195 \text{ MPA}$

Les déformations différées du béton

Module de déformation différée (E_{vj}) correspondant à des charges de longue durée d'application (réglementairement plus de 24 comprennent le retrait et le fluage. Les heures) est :

$$E_{vj} = 3700 \sqrt[3]{(f_{cj})} \text{Donc}: \quad E_{vj} \approx 10818.87 \text{ MPa}$$

d. Module de poisson :(Art A-2.1.3 BAEL91)[3] :

 $\upsilon = 0.2$ Pour la justification aux ELS.

$$v = 0$$
 Pour la justification aux ELU.

e. Contrainte limite du béton CBA93 (Art A 4.3)[2]:

Etat limite ultime :

Dans les calculs relatifs à l'état limite ultime de résistance on utilise pour le bétonun diagramme conventionnel dit (parabole-rectangle).

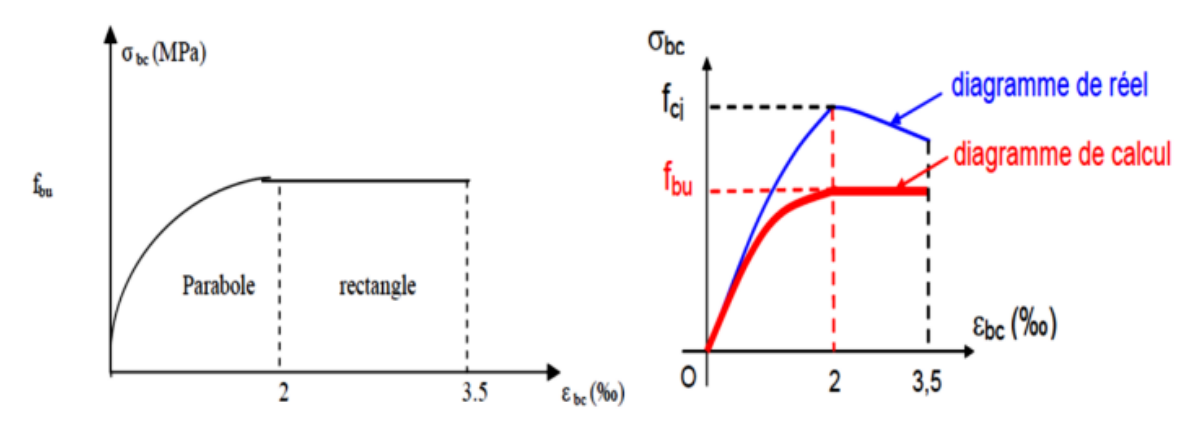


Figure. I.9: Diagramme contraintes-déformations du béton

La Contrainte ultime du béton en compression (Art A-4. 3.4 BAEL91)[3]:

$$f_{bu} = \frac{0.85 \times f_{c28}}{\theta \times \gamma_b}$$

Avec:

 \checkmark f_{bc}:contrainte limite ultime de compression.

 $\checkmark \gamma_b$:coefficient de sécurité.

 \checkmark $\gamma_b = 1.15 \ll$ pour les situations accidentelles \gg .

 $donc: f_{bu} = 18.48 \text{ MPa}$

 \checkmark $\gamma_b = 1.5 \ll$ pour les situations durables \gg

Donc: $f_{bu} = 14.16 \text{ MPa}$

- ✓ 0, 85: coefficient de minoration de la résistance du béton tenant compte de l'influence défavorable de la durée d'application de la charge et de la condition de bétonnage.
- \checkmark θ : dépend de la durée d'application des charges.
 - $\theta = 1$: lorsque la durée probable d'application des charges considéré est >24h
 - $\theta = 0.9$: lorsque cette durée est comprise entre 1 heure et 24 heures.
 - $\theta = 0.85$: lorsqu'elle est < 1 heure.

Etat limite de service CBA93 (Art A 4.5)[2]:

- Contrainte admissible de compression dans le béton CBA 93 (Art A.4.5.2)[2] :

$$\overline{\sigma_{bc}} = 0.6 f_{c28} = 15 \text{ MPa}$$

- Contrainte ultime du béton au cisaillement : BAEL91 (A.5.1.2) [3]:

$$\bar{\tau} = \text{Min}\Big(\frac{0.20 \times f_{c28}}{v_b}$$
; 5 MPa $\Big)$ Si :la fissuration et non préjudiciable

$$\bar{\tau} = \min(\frac{0.15 \times f_{c28}}{\gamma_b}$$
; 4 MPa) Si: la fissuration est préjudiciable ou très préjudiciable.

I.5.2 L'acier:

Les armatures pour béton armé sont constituées par des aciers qui se distinguent Par leur nuance et leur état de surface « barres lisses et a haute adhérence ». Ces aciers sont livrés en barres de 12m à 15m avec des diamètres qui varient de : « 6, 8, 10, 12, 14, 16, 2, 25, 32, 40 ». On définit la résistance caractéristique de l'acier comme étant sa limite d'élasticité f_e :

a) Aciers en barres:

Tableau. I.1: limite élastique en fonction du type d'acier

	Types d'acier			
Caractéristiques	Deux et lisses		A haut adhérence (symbole)	
Dénomination	FeE215	FeE235	FeE400	FeE500
Limite élastique fe en MPa	215	235	400	500
Résistance a la rupture σ r en MPa	≥ 330	≥ 410	≥ 480	≥ 550

b) Treillis soudés:

Tableau.I.2: limite élastique en fonction de type de treillis soudés

	Types	de treillis
Caractéristiques	Lisser (symbole T.S.L)	A haute a décence (symbole T.S.H.A
Limite élastique Fe en MPa	500 (tous diamètres)	500 (tous diamètres)
Résistance a la rupture σ r en MPa	550	550
Allongement à la rupture	8%	8%

Dans notre projet on utilise l'acier Fe E400

- Les caractéristiques des aciers utiles pour la justification d'une section sont:(Art A-2.2.1 BAEL91):[3]:
 - La limite d'élasticité «Fe».
 - Le diagramme « contraintes-déformations ».

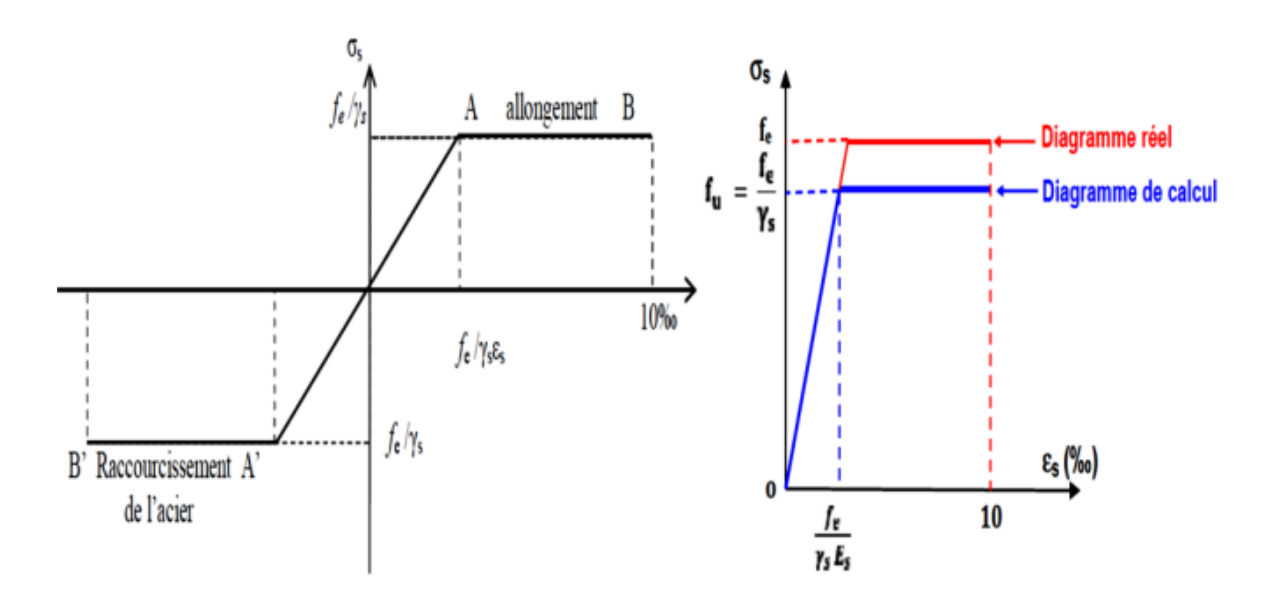


Figure I.10: diagramme contrainte – déformation

Ce diagramme se compose :

- De la loi de « Hooke » de pente Es=200000MPA « module d'élasticité longitudinale ».
- D'un palier horizontal d'ordonnée : $\frac{f_e}{\gamma_s}$

I.5.2.1 Contrainte limite de calcul:

ightharpoonup à L'E.L.U : On a : $\sigma_s = \frac{fe}{\gamma_s}$.

f_e : Limite d'élasticité.

 γ_s :Coefficient de sécurité.

 γ_s :1,15 dans les cas courants.

 γ_s : 1,10 dans les cas accidentels.

> à L'E.L.S :

La contrainte de traction des armatures est limitée àcertaines valeurs dans différent cas :

➤ Fissuration peu nuisible (Art A-4.5.32 BAEL91)[3]:

Aucune vérification n'est requise.

$$\overline{\sigma_s} = f_e$$

Fissuration préjudiciable (Art A-4.5.33 BAEL91)[3] :

$$\overline{\sigma_s} = min \, (\frac{2}{3} f_e \, ; 110 \sqrt{\eta \times f_{tj}})$$

Fissuration très préjudiciable (Art A-4.5.34 BAEL91)[3] :

$$\overline{\sigma_s} = \min{(\frac{1}{2}f_e; 90\sqrt{\eta \times f_{tj}})}$$

Avec n: Coefficient de fissuration.

 $\eta = 1$ pour les ronds lisses.

 $\eta = 1.6$ pour les hautes adhérences.

I.5.2.2 L'allongement relatif de l'acier :

On a :
$$\varepsilon_s = (\frac{f_e}{\gamma_s})/E_s$$

Avec : E_s: module d'élasticité longitudinale « Es=200000MPA ».

1.6 HYPOTHESES DE CALCUL DES SECTIONS EN BETON ARME :

I.6.1A L'E.L.U:

- ✓ « Hypothèse de NAVIER_BERNOULLI »Les sections droites restent planes après déformation.
- ✓ IL n'ya pas de glissement relatif entre les armatures d'acier et le béton.
- ✓ La résistance à la traction du béton est négligée a cause de la fissuration.
- ✓ Le raccourcissement relatif du béton est limité à 3,5 ‰en flexion à 2‰en compression simple.
- ✓ L'allongement relatif de l'acier est limité à 10‰.
- ✓ Les matériaux « Acier béton »sont considérés dans leur comportement plastique.

- ✓ Le diagramme de déformation d'une section droite satisfait la règle des trois pivots
- ✓ décrite dans le règlement « B.A.E .L.91 ».

I.6.2A L'E.L.S:

Les trois premières hypothèses sont conservées de plus :

- ✓ Le béton et acier sont considérés comme des matériaux linéairement Elastiques.
- ✓ Par convention le rapport des modules d'élasticité longitudinaux de l'acier et béton (C.B.A.93.art. A.4.5.1) [2]

$$: n = \frac{Es}{E_b} = 15$$

n : coefficient d'équivalence acier-béton.

L7 NOTION D'ETAT LIMITES :

Un état limite est un état au de la duquel la structure, ou l'élément de la structure, est mise hors services, c'est –à- dire ne dépend plus des fonctions pour lesquelles elle a été conçue.Les états limites se classent en deux catégories :

I.7.1Les états limites ultimes :

Correspondant à la perte d'équilibre statique « basculement » à la perte de stabilité de forme « flambement » et surtout à la perte de résistance « rupture » qui conduisent à la ruine de l'ouvrage.

I.7.2Les états limites de service :

Etas limites au service de la du quels ne sont plus satisfaites les conditions normales d'exploitation et de durabilité, qui comprennent les états limites de fissuration et de déformation.

I.8 ACTIONS ET SOLLICITATIONS:

I.8.1 Action:

1. Actions permanentes:

Ces actions représentées par « G » sont celles dons l'intensité est constante, ou très peu variable dans le temps, elles comprennent :

- Le poids propre de la structure.
- ➤ Le poids des équipements fixe, tels que les cloisons dans les bâtiments et les machines dans les constructions industrielles.
- Les poussés et les pressions des terres.
- Les déformations imposées à la construction « retrait tassement différentiels les appuis»

2. Actions variables:

Ces actions représentées par « Q » sont celles dont l'intensité varie fréquemment et de façon importante dans le temps, elles comprennent :

- Les charges d'exploitations.
- Les charges climatique « vent et neige »
- Les charges appliquées en cours d'exécution.
- Les effets dus à la température.

3. Actions accidentelles:

- Séismes.
- > Effet des chocs « explosion ».

I.8.2 Sollicitations:

Les sollicitations sont les efforts provoqués, en charge point et sur chaque section de la structure par les actions qui s'exercent sur elle, elles sont exprimées sous forme de forces :

effort normal : N
 effort tranchant : V
 moment fléchissant : M
 Couple de torsion : T

Le tableau ci-dessous récapitulatif les différentes caractéristiques de béton armé utilisé :

Fc28 Ft28 Eij Ε **Eiv** γ_b σ_{bc} γ_s σ_{s} σ_{st} (MPA) (MPA) (MPA) (MPA) (MPA) (MPA) (MPA) (MPA) 25 2.1 32164.195 10818.78 14.16 2*105 347.82 201.63 1.5 1.15

Tableau.I.3: caractéristiques de béton armé utilisé.

I.9 REGLES DE CALCUL:

On utilise pour le calcul de Ce projet les règlements suivants :

- ✓ Règles Parasismique Algérienne (**RPA99 version 2003**)[1].
- ✓ Charges permanentes et charges d'exploitations (DTR-BC.2.2)[4].
- ✓ Règles Techniques de Conception et de Calcul des Ouvrages et Constructions en Béton Armé suivant la Méthode des États Limites (BAEL 91 modifiée en 99)[3].
- ✓ règles de calcul du béton armé Algérien (CBA93)[2].

I.10 METHODOLOGIE DE CALCUL:

La méthodologie adoptée s'articule autour des points suivants :

- Etablissement d'un modèle numérique de calcul tridimensionnel en Élément finis de la structure par le **logiciel Auto desk Robot 2014.**
- > Définition des différentes charges statiques G et Q.
- Calculs et vérifications selon le **BAEL91**[3] et le **RPA99 version2003**[1].

I.11 CONCLUSION:

Les tableaux ci-dessous récupulatif les différentes caractéristiques du béton utilisées pour nos calcul :

Tableau.I.4: Caractéristiques mécaniques du béton.

Résistance	A la compression		25 MPA
100100000000000000000000000000000000000	A la traction		2.1 MPA
	ELU	Situation Durable	14.16 MPA
Contrainte admissible		Situation Accidentelle	18.48 MPA
	ELS		15 MPA
	Instantané		32164.195MPa
Module de déformation	Différé		10818.87MPa

Tableau.I.5: Caractéristiques mécaniques des aciers

Contrainte admissible	ELU	Situation durable	347.82MPa
		Situation accidentelle	363.63MPa
		Fissuration peu préjudiciable	400MPa
	ELS	Fissuration préjudiciable	201.63MPa
		Fissuration très préjudiciable	164.97MPa

Chapitre II Pré dimensionnement des éléments

II.1 INTROUDUCTION

Le pré dimensionnement est une étape préliminaire dans la conception d'une structure où des calculs approximatifs sont effectués pour déterminer les dimensions initiales économiques des éléments résistants afin d'éviter un sur plus d'acier et béton.

La présente partie est consacrée au pré dimensionnement des éléments de la structure tels que l'escalier, l'acrotère, les poutres principales, les poutres secondaire et l'épaisseur du plancher en satisfaisant la condition de flèche, la section transversale des poteaux fait partie de ce chapitre. Ces calculs approximatifs sont généralement basés sur des règles de RPA99/version2003, C.B.A 93 et (B.A.E.L 91).

II.2 LA PRE DIMENSIONNEMENT DES ELEMENTS SECONDAIRES :

II.2.1 Les planchers:

Le plancher est une séparation entre les niveaux qui transmet les charges et les surcharges qui lui sont directement appliquées aux éléments porteurs tout en assurant des fonctions de confort comme l'isolation phonique, thermique et l'étanchéité des niveaux extrêmes. Pour notre bâtiment on a utilisés deux types de planchers :

- ➤ Plancher à corps creux.
- > Plancher à dalle plein.

II.2.1.1 Plancher en corps creux :

Ce plancher est constitué d'éléments résistants ; ce sont les poutrelles en béton armé et des éléments de coffrage « les entres- vous »; corps creux. Après la mise en place d'un ferraillage complémentaire, une dalle de répartition est coulée sur place (hourdis).

On a opté pour des planchers à corps creux et ceci pour les raisons suivantes :

- La facilité de réalisation.
- Les portées de l'ouvrage ne sont pas importantes.
- Diminuer le poids de la structure et par conséquent la résultante de la force sismique.

L'épaisseur des planchers est choisie d'une manière à satisfaire des conditions d'utilisation plus que les conditions de résistance. Pour trouver cette épaisseur on vérifiera les conditions ci-après :

a. Condition de résistance au feu : (BAEL91 révisé99)[1]:

Les exigences de résistance au feu d'après BAEL91 est :

- e= 07 cm: Pour une (01) heure de coupe de feu.
- e = 11cm : Pour deux (02) heures de coupede feu.
- -e = 17.5 cm: Pour quatre (04) heures decoupe de feu.

Dans notre projet on prend e = 16 cm.

b. Condition acoustique:

Pour assurer une isolation phonique minimale, l'épaisseur de plancher doit être supérieure ou égale à 15 cm;

On adopte une épaisseur de : e = 16 cm.

c. Condition de résistance à la flèche :

La hauteur du plancher est déterminée à partir de la condition de rigidité donnée par le CBA93[2] comme suit :

$$e \geq \frac{L \max}{22.5}$$

Avec : e : Epaisseur de la dalle de compression + corps creux.

L : plus grande portée dans le sens considéré

$$h \ge \frac{4.50}{22.5} = 20 \text{ cm}$$

h = 20 cm (16 cm corps creux + 4 cm dalle de compression)

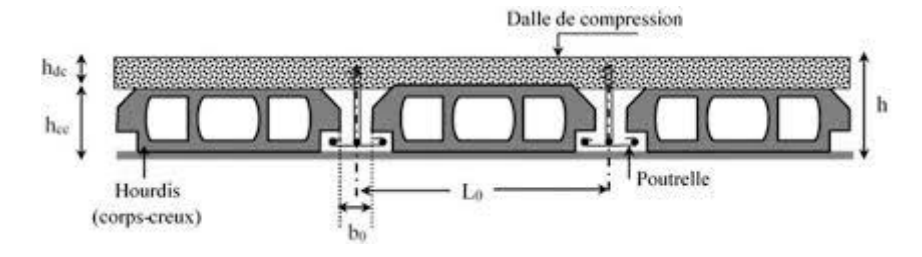


Figure. II.1: Planchers à corps creux.

Les exigences de résistance au feu d'après BAEL91est :

- e= 07 cm: Pour une (01) heure de coupe de feu.
- -e = 11cm: Pour deux (02) heures de coupe de feu.
- -e = 17.5 cm : Pour quatre (04) heures de coupe de feu.

Dans notre projet on prend e = 15 cm.

Les poutrelles :

Les poutrelles sont des sections en Té en béton armé, servant à transmettre les charges réparties ou concentrées aux poutres principales, elles sont calculées en flexion simple.

> Dimensionnement des poutrelles :

Détermination de la largeur de la table de compression :

D'après le BAEL.6.11 : Lmin= 420 cm

On a:

 $b = 2b_1 + b_0$.

 $b_0 \ge [0.3h_t; 0.4 h_t]$

Avec:

 $h_t = 20 \text{ cm donc on a } b_0 \ge [6; 8]$

 \Rightarrow On adopte $b_0 = 10$ cm.

 $b_1 \ge min [L/2 ; L_{min}/10]$

Tel que:

$$L=b - b_0 = 65 - 10 = 55$$
 cm.

 $b_1 \ge \min [55/2; 420/10] = \min (27.5; 42) \text{ cm};$

On and opte $b_1 = 27.5$ cm

$$b = 2b_1 + b0 = 2(27.5) + 10 = 65 \text{ cm}.$$

II.2.1.2 Plancher dalle pleine:

Les dalles sont des plaques minces dont l'épaisseur est faible par rapport aux autres dimensions. Ce sont des planchers totalement en béton armé coulé sur place. Elles reposent sur 1, 2, 3, ou 4 appuis constitués par des poutres en béton armé. L'épaisseur des dalles dépend le plus souvent beaucoup plus des conditions d'utilisation que des vérifications de résistance.

Elle se calcule comme un ensemble de panneaux de dalle qui sont des éléments entourés par des poutres, murs ou voiles. Leurs dimensions doivent satisfaire les conditions suivantes :

a. Résistance au feu :

- ightharpoonup e \geq 7 cm pour une heure de coup de feu.
- ightharpoonup e \geq 11 cm pour deux heures de coup de feu.
- \triangleright e \ge 17.5 cmpour quatre heures de coup de feu.

Nous optons : e = 15 cm.

b. Isolation phonique:

Selon les règles techniques CBA93[2] en vigueur en Algérie l'épaisseur du plancher doit êtresupérieure ou égale à 13 cm pour obtenir une bonne isolation acoustique. Nous limitons donc notre épaisseur à 15 cm.

c. Critère de résistance :

• Si $\alpha = \frac{Lx}{Ly} < 0.4$, la dalle porte suivant sa petite portée uniquement et son calcul se fera comme pour une poutre de 1 mètre de largeur.

• Si $\alpha = \frac{Lx}{Ly} > 0.4$ la dalle porte suivant les 2 directions X et Y et c'est le cas pour lequel on pré dimensionne les planchers.

Avec:

Lx : petite portée du plancher.

Ly: grande portée du plancher.

Dans tous les cas on a :

• Dalle pleine portant dans deux directions ($\frac{L_x}{L_y}$ > 0.4) :

Travée isostatique : $\frac{L_x}{40} \le h_0 \le \frac{L_x}{25}$

Travée hyperstatique : $\frac{L_x}{50} \le h_0 \le \frac{L_x}{35}$

• Dalle pleine portant dans une direction $(\frac{L_x}{L_y} < 0.4)$

Travée isostatique : $\frac{L_x}{30} \le h_0 \le \frac{L_x}{20}$

Travée hyperstatique : $\frac{L_x}{35} \le h_0 \le \frac{L_x}{25}$

 L_x étant la plus petite portée de panneau le plus sollicité (cas le plus défavorable). Dans notre cas les dalles reposant sur quatre appuis ont une portée :

$$L_x = 0.65 \text{ m}$$
 ; $L_y = 4.80 \text{ m}$

Donc $\alpha = \frac{Lx}{Ly} = \frac{0.65}{4.80} = 0.13 < 0.4$ Le panneau isostatique porte dans une d directions.

$$\frac{L_x}{30} \le e \le \frac{Ly}{20} \frac{360}{30} \le e \le \frac{480}{20}$$

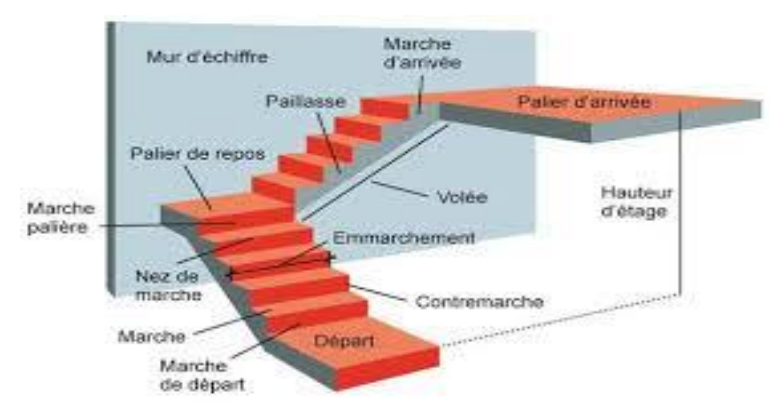
$$e = 15$$

II.2.2 Les Escaliers:

Dans une construction, la circulation entre les étages se fait par l'intermédiaire des escaliers. L'escalier est une construction architecturale constituée d'une suite régulière de marches. Un escalier se compose de plusieurs éléments :

- Marche : la partie horizontale de la marche.
- Giron (g): la largeur de la marche.
- L'emmarchement : la longueur de la marche (l).
- La volée : ensemble des marches d'un escalier.
- Paillasse : c'est la dalle inclinée supportant les marches.
- Pallier : la dalle horizontale à la fin ou au début de la paillasse.

- Pente de l'escalier (α) : C'est l'inclinaison de paillasse par rapport à l'horizontale, pour les escaliers confortables ; α = [200 à 400].
- La cage : est le volume ou se situe l'escalier.
- Ligne de jour : l'espace qui est laissé au milieu par la projection horizontale d'un escalier.



FigureII.2: les composants de l'escalier

Le choix de ce type d'escalier a été retenu pour les avantages suivants :

- a) Rapidité d'exécution.
- b) Utilisation immédiate de l'escalier

Dans notre projet on a un type d'escalier :Type : escalier a deux volées pour le RDC et les étages courants

• Dimensionnement :

Pour qu'un escalier garantisse sa fonction dans les meilleures conditions de confort, on doit vérifier la présence des conditions dela formule de BLONDEL pour dimensionner la géométrie de l'escalier.En pratique, nous avons :

• La hauteur h : $14 \le h \le 18$

• La largeur g : $25 \le h \le 32$

On prend:

$$h = 17 \text{ cm}, g = 30 \text{ cm}$$

$$59 \le 2h + g \le 66 \Rightarrow 2 \times 17 + 30 = 64 \text{ cm} \dots \text{cv}$$

a) Escalier RDC + étage courant :

Hauteur de l'étage : H=3,10 m.

Nombre de contre marches : $n = \frac{310}{17} = 18$ contre marche

✓ Paillasse :

$$n = \frac{H}{h} \Rightarrow n = \frac{155}{17} = 9$$
contre marches 10 par volées.

n-1 marche donc 10-1 = 9 marche dans un seul volée,

Détermination de l'épaisseur de la paillasse :

$$\tan \alpha = \frac{H}{L}$$

$$L= (n-1).g = 9.30 = 2,70m$$

$$\tan \alpha = \frac{155}{270} = 0.57 \Rightarrow \alpha \approx 30^{\circ}$$

La paillasse est une dalle appuyée sur deux appuis inclinés d'épaisseur e.

$$\frac{\text{Lmax}}{30} \le e \le \frac{\text{Lmax}}{20}$$

$$\Rightarrow$$
cos $\alpha = \frac{L}{Lmax} \Rightarrow L_{max} = \frac{L}{\cos \alpha} + 135$

$$\Rightarrow L_{max} = \frac{270}{\cos 30} + 135 = 446.076 \text{ cm}$$

$$\Rightarrow$$
 14.89 \leq e \leq 22.33

On prend: e = 15 cm

✓ Palier :

On prend une épaisseur e =15 cm

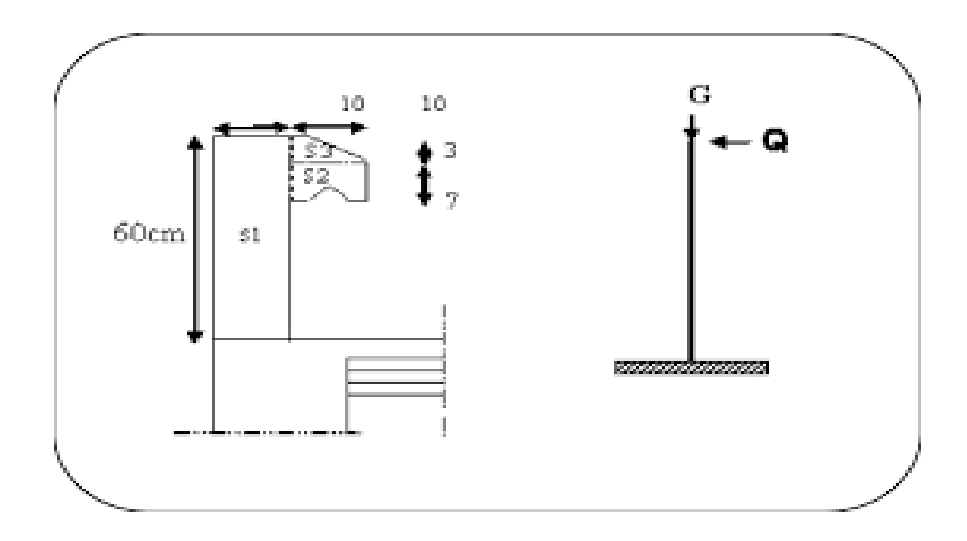
II.2.3 L'acrotère:

L'acrotère est un élément non structural en béton armé contournant le plancher inaccessible du bâtiment conçu pour la protection de ligne conjonctif entre lui-même et la forme de pente contre l'infiltration des eaux pluviales. Il considère également comme un élément décoratif (figure). L'acrotère est un relief constitué par un muret situé en bordure de la toiture, dans le prolongement de ses murs de façade. Sur l'acrotère peut se fixer un élément de protection et d'étanchéité de la partie supérieure.



Figure II.3: l'acrotère

L'acrotère est considéré comme une console encastrée dans le plancher, Il est soumis à un effort G dû à son poids propre et à un effort latéral Q dû à la main courante, engendrant un moment de renversement M dans la section d'encastrement.



FigureII.4 : Dimensions de l'acrotère

Evaluations des sollicitations

Charge permanente:

La surface:

 $S = (0.6*0.1) + (0.07*0.1) + [(0.1*0.03)/2] = 0.068 \text{ m}^3$

TableauII.1: Charges permanentes de l'acrotère

Eliment constituants	Masse volumique KN/m³	Surface m ²	masse linéaires KN /m
Acrotère	25	0.068	1.7
Enduit en ciment	2	0.2	0.4
Total	G= 2.1 KN/ml		

II.3 PRE DIMENSIONNEMENT DES ELEMENTS PRINCIPAUX :

II.3.1 Pré dimensionnement des poutres :

Les poutres sont des éléments en béton armé de section (b×h) qui assurant la transmission des charges et surcharges des planchers aux éléments verticaux (poteaux, voiles).Le pré dimensionnement se fera selon le BAEL91 modifié 99 [3] et les vérifications selon le **RPA99/v2003.[1]**

II.3.1.1 Les poutres principales :

- Elles reçoivent les charges transmise par les solives (Poutrelles) et les répartie aux poteaux sur lesquels ces poutres reposent.
- Elles relient les poteaux.
- Elles supportent la dalle.

II.3.1.2 Les poutres secondaires :

• Elles relient les portiques entre eux pour ne pas basculer.

Critère de rigidité :

Le dimensionnement de la section rectangulaire doit satisfaire les conditions suivantes, d'après les règles de BAEL 91[3] on a :

$$\frac{L}{15} \le h \le \frac{L}{10}$$

$$0.4 \text{ h} \le b \le 0.7 \text{ h}$$

Avec:

L : distance entre les axes des poteaux et on choisit la plus grande portée. (L= L_{max}=4.50 m)

h : hauteur de la poutre.

D'après le RPA 99 version [2003]:[1]

 $h \ge 30 \text{ cm}$

 $b \geq 20 \ cm$

$$\frac{\mathbf{h}}{\mathbf{b}} \le 4$$

Avec:

h : la hauteur de la poutre.

b : la largeur de la poutre

L : la portée de la poutre.

Vérification:

> Poutres principales :

D'après les règles de BAEL 91[3]:

$$\frac{L \max}{15} \le h \le \frac{L \max}{10}$$

Avec L_{max} = 450 cm

$$\frac{450}{15} \le h \le \frac{450}{10}$$

 $30 \text{ cm} \le h \le 45 \text{ cm}$

$$0.4 h \le b \le 0.7 h$$

Donc on adopte: h= 40 cm

 $0.4*40 \le b \le 0.7*40$

on adopte: b= 30 cm

D'après le RPA 99 version 2003[1]:

Les conditions du RPA sont vérifiées donc la poutre principale à une section de $(b \times h) = (30 \times 40) \text{ cm}^2$

Poutres secondaire :

$$\frac{L \max}{15} \le h \le \frac{L \max}{10}$$

 L_{max} = 420 cm

$$\frac{420}{15} \le h \le \frac{420}{10}$$

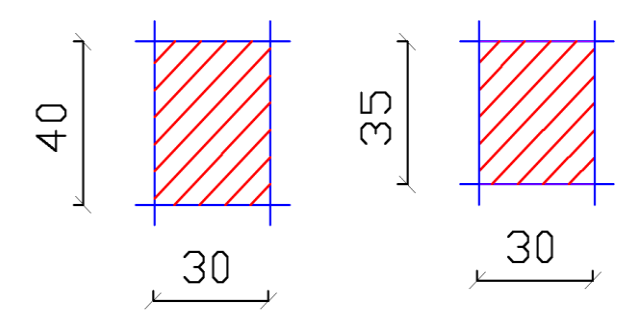
 $28 \le h \le 42 \Rightarrow h = 35 \text{ cm}$

 $0.3h \le b \le 0.7h$

$$10.5 \le b \le 24.5 = 30$$
 cm

Une vérification vis-à-vis le RPA99 version 2003(RPA Article 7.5.1)[1] est effectué par la suite pour satisfaire aux valeurs minimales exigées pour les dimensions de la poutre :

La condition est vérifiée, donc on adopte pour les poutres secondaires une section de : $\mathbf{b} \times \mathbf{h} = (30\mathbf{cm} \times 35\mathbf{cm})$



Schémas des sections des poutres

Dimensions de la poutre principale dimensions de la poutre secondaire FigureII.5 : Section des poutres

II.3.2 Les Poteaux :

Les poteaux sont des éléments verticaux utilisés dans la construction pour supporter des charges axiales, telles que le poids des structures au-dessus ou les charges sismiques et de vent. Ils sont couramment utilisés dans les bâtiments pour soutenir les planchers, les toits, les murs et les façades. Il est important de noter que la conception des poteaux doit respecter les normes et réglementations en vigueur dans le pays ou la région où la construction est réalisée. Les charges appliquées, la hauteur, le matériau et d'autres facteurs sont pris en compte dans le dimensionnement des poteaux pour garantir leur résistance et leur sécurité.

Le pré dimensionnement des poteaux se fera en fonction des sollicitations de calcul en compression centrée selon les règles du BAEL91, en appliquant les trois critères suivants :

- Critère de résistance.
- Critère de stabilité de forme.
- ➤ Règles De **RPA 99(version 2003)**[1]

Les exigences de **RPA** en zone **IIa**.

- Min (b, h) \geq 25 cm
- $Min(b, h) \ge \frac{he}{20}$
- $\bullet \quad \frac{1}{4} \le \frac{b}{b} \le 4$

Soit : b = 30 cm; h = 40 cm).

II.3.3 Les voiles :

Les voiles sont des éléments en béton armé coulé sur place. Ils sont destinés d'une part à assurer la stabilité de l'ouvrage sous l'effet des chargements horizontaux, d'autre part à reprendre une partie des charges verticales

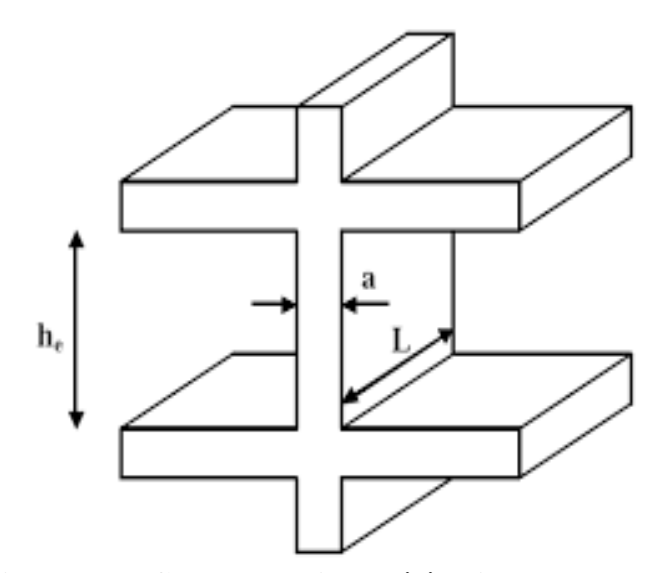
Le pré dimensionnement des murs en béton armé justifié par l'article de RPA99 version 2003. Les voiles servent, d'une part, à contreventer le bâtiment en reprenant les efforts horizontaux (séisme et/ou vent), et d'autre part, à reprendre les efforts verticaux.

D'après le RPA99 version 2003 article 7.7.1 [1] les voiles sont considérés comme des éléments satisfaisant la condition **L≥ 4.** Dans le cas contraire, les éléments sont considérés comme des éléments linéaires. Avec :

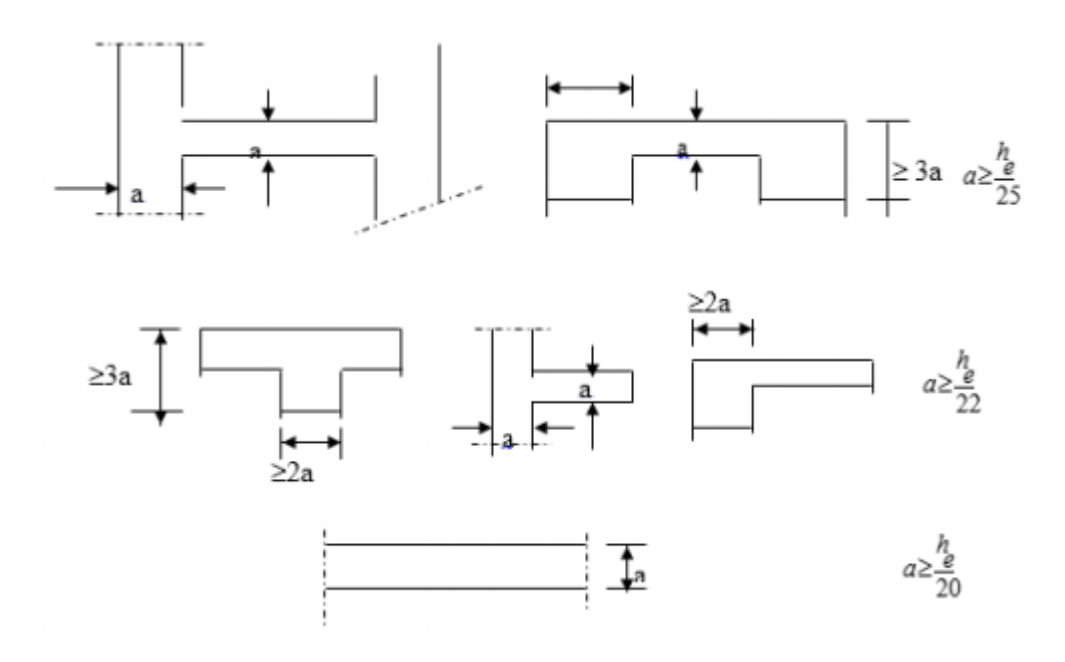
L : la longueur de voiles

a : épaisseur du voile.

L'épaisseur du voile doit être déterminée en fonction de la hauteur libre d'étage et des conditions de rigidité aux extrémités. Les dimensions des voiles doivent satisfaire les conditions suivantes :



FigureII.6 : Coupe de voile en élévation.



FigureII.7 : Coupe de voile en plan.

D'après RPA

 $A_{min} \ge max (15 \text{ cm}; \frac{he}{22})$

Avec:

he: Hauteur libre d'étage.

Amin: épaisseur du voile

Pour étage courant h_e = (3.01 -0.4)=2,61m = 261 cm

$$A_{min} \ge max (15 \text{ cm}, 11.86) \Rightarrow A \text{ min} \ge 15 \text{ cm}$$

On adopte pour tous les voiles une épaisseur de: 15 cm

II.4 EVALUATION DES CHARGES ET SURCHARGES:

Le but de la descente des charges est de déterminer la charge et les surcharges que peut supporter chaque élément porteur de structure, afin d'assurer la stabilité de l'ouvrage.

II.4.1 Les planchers:

a) Plancher terrasse:

- 1. Gravillon de protection.
- 2. Etanchéité multicouches.
- 3. Béton de pente.
- 4. Isolation thermique.
- 5. Plancher à corps creux.
- 6. Enduit en plâtre.

❖ Charge permanente et d'exploitation (DTR BC 2.2) [4]:

TableauII.3 : Charge permanente de terrasse à corps creux

N	Désignation	e (m)	P (N/m³)	Charge (N/m)					
1	Gravillon de protection	0.05	20000	1000					
2	Etanchéité multicouches	0.02	6000	120					
3	Forme de pente	0.1	22000	2200					
4	Isolation thermique	0.04	4000	160					
5	dalle à corps creux	0.20	14000	2800					
6	Enduit en plâtre 0.02 1000			200					
	Charge pern	G= 6480							
	Surcharge d'o	Q = 1000							

b) Plancher étage courant :

- 1) Carrelage
- 2) Mortier de pose
- 3) Lit de sable
- 4) Plancher à corps creux.
- 5) Enduit en plâtre.
- ♦ Charge permanente et d'exploitation (DTR B.C 2.2):[4]

TableauII.4: Charge permanente et d'exploitation d'étage courant à corps creux.

N	Désignation	e (m)	$\rho(N/m^3)$	Charge (N/m²)
	Cloison en brique	/	/	1000
1	Carrelage	0.02	22000	440
2	Mortier de pose	0.02	20000	440
3	Couche de sable	0.03	18000	540
4	Plancher à corps creux	0.2	14000	2800
5	Enduit en plâtre	0.02	1000	200

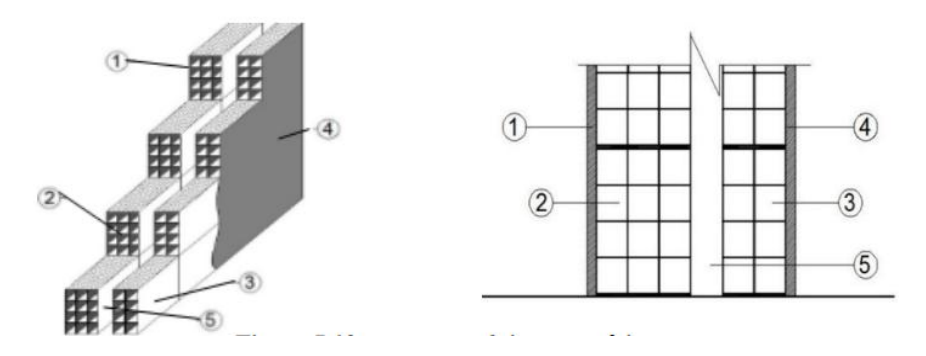
Charge permanente totale	G = 5380
Surcharge d'exploitation	Q = 1500

II.4.2 Balcon:

TableauII.5: charge permanente et d'exploitation de balcon.

N	Désignation	e (m)	ρ (N/ m ³)	Charges(N/m²)
1	Carrelage	0.02	22000	440
2	Mortier de pose	0.02	20000	400
3	Lit de sable	0.03	18000	540
4	Dalle	0.20	25000	3750
5	Enduit en plâtre 0.02 10000		10000	200
	Charge 1	ale	G = 5380	
	Surchar	Q = 3500		

II.4.3 Cloisons extérieures :



FigureII.8 : Coupe sur cloisons extérieur.

TableauII.7: Charge permanente de cloisons extérieures

Désignation	e (m)	(N/m³)	Charge (N/m²)
Enduit de ciment (extérieur)	0.02	18000	360
Brique creux de 15	0.15	900	1350
Lame d'air	0.05	/	/
Brique creux de 10	0.1	9000	900
Enduit plâtre (intérieure)	0.02	10000	200

Charge permanent total	G =2810

II.4.4 L'escalier:

Paillasse + étage courant :

TableauII.8 :Charge permanente de paillasse et étage courant

N	Désignations		e (m)	(N/m3)	charge
1	Carrelage	Horizontal	0.02	20000	440
		Vertical	0.02h/g	20000	249.33
2	mortier de pose	Horizontal	0.02	20000	400
_	2 pose	Vertical	0.02h/g	20000	226.67
3	Poids des marches		0.17/2	25000	2125
4	Enduit en plât	re	$0.02/\cos \alpha$	10000	230.940
5	Gardes corps		_	_	600
6	Dalle pleine		0.02	25000	3750
Charge permanente totale					G= 8021.94
		Char	ge d'exploitatio	on totale	Q = 2500

Palier de repos DRC +étage courant

Tableau II.9: Charge permanente de palier de repos et étage courant

N	Désignation	e (m)	$\gamma(N/m^3)$	Charge (N/m²)	
1	Carrelage	0.02	22000	440	
2	Mortier de pose	0.02	20000	400	
3	Lit de sable	0.02	18000	360	
4	Dalle pleine	0.15	25000	3750	
5	Enduit en plâtre	200			
	Charge	G = 5150			
<u> </u>	Surch	Q = 2500			

II.5 DESCENTE DE CHARGES:

Afin d'assurer la résistance et la stabilité de l'ouvrage, une distribution des charges et surcharges pour chaque élément s'avèrent nécessaire. La descente des charges permet

l'évaluation de la plupart des charges revenant à chaque élément de la structure, on aura à considérer :

- ✓ Le poids propre de l'élément.
- ✓ La charge de plancher qu'il supporte.
- ✓ La part de cloison répartie qui lui revient.
- ✓ Les éléments secondaires (escalier, acrotère....).

La descente de charge se fait du niveau le plus haut (charpente ou toiture terrasse) vers le niveau inférieur et cela jusqu'au niveau le plus bas (les fondations). Nous appliquons les lois de dégression uniquement pour les étages à usages d'habitation.

II.5.1 Loi de dégression :

Sous dernier étage (étage 1) Q_0+Q_1

Sous étage immédiatement inférieur :

(Étage 2)
$$Q_0+0.95$$
 (Q_1+Q_2)

(Étage 3)
$$Q_0+0.90$$
 ($Q_1+Q_2+Q_3$)

(Étage 4)
$$Q_0+0.85$$
 ($Q_1+Q_2+Q_3+Q_3$)

(Étage n)
$$Q_0 + \frac{3+n}{n} (Q_1 + Q_2 + Q_3 + Q_4 + \dots Q_n)$$

En tenant compte de la dégression des surcharges de la façon suivante

$$Q=Q_0=1000 \text{ N}$$

$$Q=Q_0+Q_1=2500 \text{ N}$$

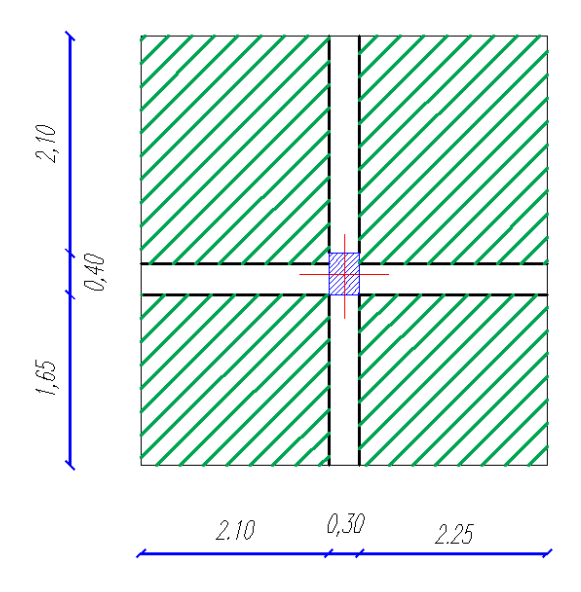
$$Q=Q_0+0.95 (Q_1+Q_2) = 3850 N$$

$$Q=Q_0+0.90 (Q_1+Q_2+Q_3) = 5050 N$$

$$Q=Q_0+0.85 (Q_1+Q_2+Q_3+Q_4) = 6100 N$$

Le pré dimensionnement des poteaux se fait par la descente de charges pour le poteau le plus sollicité.

O Poteau plus sollicité : (la surface afférente)



FigureII.9: Poteau intermédiaire

La surface:

$$S_1 = 2.10*2.10 = 4.41 \text{ m}^2$$

$$S_2 = 2.25*2.10 = 4.72 \text{ m}^2$$

$$S_3=2.10*1.65=3.46 \text{ m}^2$$

$$S_4 = 2.25*1.65 = 3.71 \text{ m}^2$$

$$S = \sum Si = 16.3 \text{ m}^2$$

Les charges permanentes :

o Plancher terrasse:

$$G = 16.3 *6.48 = 105.62 \text{ KN}$$

$$\mathbf{Q} = 16.3 *1 = 16.3 \text{ KN}$$

o Plancher étage courant :

$$G = 16.3 * 5.380 = 87.69 \text{ kN}$$

$$\mathbf{Q} = 16.3 * 1.5 = 24.45 \text{ KN}$$

o **Poteau étage courant et RDC** : (hauteur H= 3.10)

o Les poutres :

GPP= (2.10+2.25)*0.3*0.4*25= 13.05KN **GPS** =(2.10+1.65) *0.30*0.35*25 = 9.84 KN

TableauII.8 : Charge et surcharge de chaque étage

Etage	Niveau	Elément	La charge G (KN/m²)	La charge Q (KN/m²)
		Plancher terrasse inaccessible+ l'acrotère	2.1+105.62	
4 ^{éme}	No	•Poutre principales	3.05	16.3 *1
étage		Poutre secondaire	9.84	
		Total	130.61	16.3
		• Venant N-1	130.61	
Z ámo		• Poteaux	9.3	16.3*2.5
3 ^{éme} Etage	N ₁	• Murs	2.81	
		Total	142.72	40.75
		• Venant N-2	142.72	
		Plancher étage courant	87.69	16.24.2.0
2 ^{éme}	N ₂	Poutre principales	13.05	16.3* 3.8
étage		• Poutre secondaires	9.84	
		Total	253.3	61.94
		•Venant N-3	253.3	
1 éme		• Poteaux	9.3	16.3*5.05
Etage	N ₃	• Murs	2.81	10.3 - 3.03
		Total	265.41	82.31

		• Venant N-4	265.41	
		Plancher étage courant	87.69	16.3*6.1
RDC	N ₄	Poutre principales	13.05	
		• Poutre secondaires	9.84	
		Total	376	99.43

$$N_u$$
=1.35 G + 1.5 Q
 N_u = (1.35* 376) + (1.5* 99.43)

 $N_u = 656.74$ KN

Vérification

Selon le CBA93 (article B.8.1.1) on doit majorer pour les poteaux intermédiaires voisins des poteaux de rive dans le cas des bâtiments comportant au moins trois travées l'effort de compression ultime N_u à 10 % telle que :

$$N_u = 1.10 (1.35G + 1.5Q)$$

L'effort normal maximum : $N_u = 1.10 * 656.74 = 722.414 \text{ KN}$

Donc : $N_u = 722.4 \ 14 \ KN$ (Pour le poteau (30×40)

Vérification à la compression simple :

On doit vérifier la condition suivante :

$$\frac{\text{Nu}}{\text{B}} \le 0.6 * \text{fc28}$$

$$B \leq \frac{\text{Nu}}{0.6*\text{fc28}} \Rightarrow \frac{722.414*10^{-3}}{0.6*25} \ = 0.04 \ m^2$$

B=0.3*0.4 =0.12 m²

> Vérification au flambement :

$$N_u \le N = \alpha \left[\frac{Br*\times fc28}{0.9} + A \frac{fe}{vs} \right]$$

 $Avec: B_r \!\!: Section \ r\'eduite \ du \ poteau$

$$B_r = (h-2) (b-2)$$

 $\mathbf{f_{c28}}$: Contrainte de compression du béton a 28 jours($\mathbf{f_{c28}} = 25 \text{MPa}$).

f: Contrainte limite élastique des aciers (**f**_e= 400MPa).

 γ : Coefficient de sécurité du béton (γ_b = 1.5).

 γ : Coefficient de sécurité de l'acier (γ s=1.15).

: est un coefficient fonction de l'élancement mécanique λ .

 $\lambda = \max(\lambda x; \lambda_y)$

Avec:

$$\lambda_{x} = \sqrt{12} \times \frac{lf}{h}$$
 ; $\lambda_{y} = \sqrt{12} \times \frac{lf}{h}$

 $l_f = 0.7 \times L_0 \text{ (BAEL91ArtB. 8. 3. 31)} \Rightarrow l_f = 0.7 \times 3.10 = 2.17 \text{ m}$

$$\lambda_x = \sqrt{12} * \frac{2.17}{0.3} = 25.05$$
 ; $\lambda_y = \sqrt{12} * \frac{2.17}{0.4} = 18.80$

 $\lambda = 25.05 < 50 \Rightarrow selon (BAEL91ArtB. 8. 4. 1)$:

$$\alpha = \frac{0.85}{1 + 0.2 \left(\frac{\lambda}{35}\right)^2} = \frac{0.85}{1 + 0.2 \left(\frac{25.05}{35}\right)^2} = 0.77$$

 B_r : est la section réduite du poteau obtenue en déduisant de saSection réelle 1cm d'épaisseur sur tout son périphérique. B_r = (h-2) (b-2)

A: est la section d'armature comprimée

 $A = max (A_{BAEL}; A_{RPA})$

A_{BAEL}= max (4 cm²/m de périmètre, 0,2%B)

A_{minRPA}= 0.8 % B (zone IIa)

Tableau : Résultats des vérifications au flambement

Poteau	Nu (KN)	α	Amin BAEL (mm²)	Amin RPA (mm²)	A (mm²)	Br (mm²)	Nu(KN)	Condition
(30*40)	722.414	0.77	400	960	690	106400	2460.57	CV

II.6CONCLUSION:

Pour clôturer ce chapitre relatif au pré dimensionnement des éléments, nous présentons cidessous les dimensions adoptées pour les différents éléments composant la structure de notre bâtiment :

Plancher:

- O Plancher à corps creux 16+4 cm.
- o Plancher à dalle pleine de 15 cm.

Voile:

o Un voile d'épaisseur de 15 cm.

Poutre:

- o Poutre principale : b = 30 cm; h = 40 cm.
- o Poutre secondaire : b = 30 cm; h = 35 cm.

Poteau:

o Poteau RDC 1,2, 3, 4 étage = (30*40) cm

Escalier:

- o e =15cm pour la paillasse
- \circ e =15 cm pour le palier de repos.

Chapitre III Calcul Des Eléments Secondaire

III.1 Introduction:

Dans une structure quelconque on distingue deux types d'éléments :

- Les éléments porteurs principaux qui contribuent directement au contreventement.
- Les éléments secondaires qui ne contribuent pas directement au contreventement.

Dans le présent chapitre nous considérons l'étude des éléments que comporte notre bâtiment. Nous citons les escaliers, les planchers; l'acrotère dont l'étude est indépendant de l'action sismique, mais ils sont considérés comme dépendant de la géométrie interne de la structure.

III.2L'acrotère:

III.2.1Définition:

L'acrotère est un élément de sécurité au niveau de la terrasse. Il forme une paroi contre toute chute, il est considéré comme une console encastrée à sa base, soumise à son poids propre et à une surchargehorizontale.

Il est soumis à la flexion composée due à :

- ❖ Un effort normal du à son poids propre (G)
- ❖ Un moment du à la surcharge (**Q**)

IL a pour rôle de :

- ✓ Protection d'étanchéité.
- ✓ Servant comme garde corps.
- ✓ Entretient des façades.

III.2.2 Hypothèse de calcul:

Le calcul se fera en flexion composée dans la section d'encastrement pour une bande de 1m linéaire.

L'acrotère est exposé aux intempéries, donc la fissuration est préjudiciable, dans ce cas le calcul sefera à l'ELU, et à l'ELS.

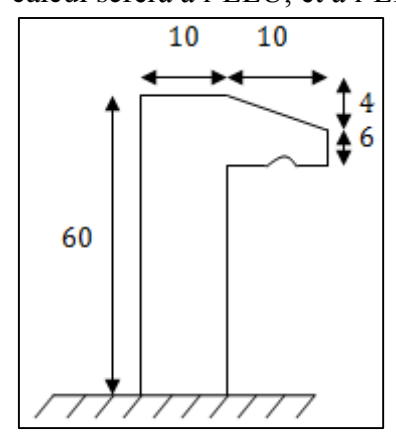


Figure. III.1. Modèle de calcul de l'acrotère.

a) Hypothèses de calcul:

- L'acrotère est sollicité en flexion composée.
- ❖ La fissuration est considéré comme préjudiciable.
- ❖ Le calcul se fait pour une bande d'un mètre linéaire

b) Evaluation des Charges :

D'après le chapitre précédent on a :

 $S = 0.068 \text{ m}^2$

G = 2.1 KN/ml

Q = 1 KN/ml (plancher terrasse inaccessible).

La force sismique est donnée par la formule suivante :

$$F_p = 4 \times A \times C_p \times W_p \dots RPA$$
 99version 2003(Art 6.2.3) [1]

Avec:

- A =0.15 coefficient d'accélération de zone.
- $C_p=0.8$: facteur de force horizontale.
- W_p=2.1 KN/ml: Poids propre de l'acrotère.

Donc, $\mathbf{f_p} = 1.008 \text{ KN/ml}$

$$\mathbf{f_p} < 1.5 \mathrm{Q} \Rightarrow 1.008 \ \mathrm{KN/ml} < 1.5 \ \mathrm{KN/ml} \dots$$
 C. V

On va ferrailler l'acrotère avec la force **fp**.

Alors pour une bande de 1m de largeur :

$$G= 2.1 \text{ KN/ml}; Q= 1 \text{ KN/ml}; f_p=1.008 \text{ KN/ml}$$

III.2.3 Calcul des efforts:

Pour déterminer les sollicitations, on va utiliser 3 combinaisons, et on choisit la plus défavorable. Ces combinaisons Pour une bande de 1m de largeur sont :

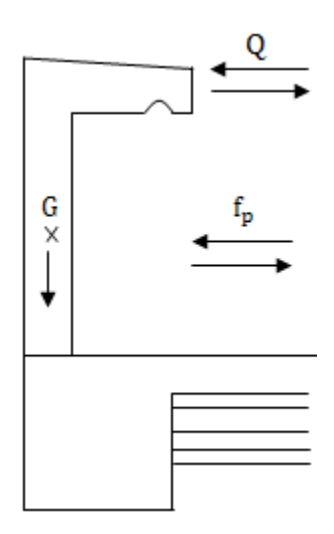


Figure III.2 : charges appliquées sur l'acrotère.

• E.L.U:

 N_u 1.35 G = 2.835 KN

 $M_u = 1.5 \times Q \times h = 0.9 KN.m$

 $T_u = 1.5 Q = 1.5 KN$

• E.L.S:

 $N_{ser} = G = 2.1 \text{ KN}$

 $M_{ser} = Q \times h = 0.6 \text{ KN.m}$

Calcul de l'excentricité :

Selon l'article (A.4-4du B.A.E.L91)[3], en adoptant une excentricité totale de calcul :

$$e_t = e_1 + e_2 + e_a$$

\Leftrightarrow Excentricité de la résultante des contraintes normales (e_1) :

$$e_1 = \frac{M_u}{N_u} = \frac{0.9}{2.835} = 0.317 \text{ m}$$

la section, la section est alors partiellement comprimée, elle sera calculée en flexion simple sous l'effet d'un moment fictif $\mathbf{M_f}$ parrapport aux armatures tendues.

***** Excentricité dus aux effets de second ordre (e2) :

$$e_2 = \frac{3L_f^2}{10^4h_0}(2 + \alpha\emptyset)$$

 \emptyset = 2 : c'est le rapport de la déformation final due au fluage et a la déformation Instantanée sous charge considéré ce rapport est généralement pris égal à 2.

Calcul de l'élancement :

$$L_f = 2 \times L \Rightarrow L_f = 2 \times 0.6 \Rightarrow L_f = 1.2 \text{ m}$$

i: rayon de giration:
$$i = \sqrt{\frac{I}{S}}$$

$$I = \frac{bh^3}{12} = \frac{1 \times 0.1^3}{12} = 8.33 \times 10^{-5} \text{ m}^4$$

$$S = b \times h = 1 \times 0.1 = 0.1 m^2$$

$$S = 0.1 \text{m}^2$$

Donc:
$$i = 0.028 \text{ m}$$

Alors:
$$\gamma = \frac{L_f}{i} = \frac{1.2}{0.028} = 42.85$$

$$\gamma_{\text{max}} \le \left\{ 50; \min\left(\frac{67 \times e_1}{h}; 100\right) \right\}$$

$$\gamma_{max} \leq 100$$

Alors
$$: \gamma \leq \gamma_{max}$$

Donc : pas de risque de flambement.

Et:
$$\alpha = \frac{M_G}{M_G + M_Q}$$

$$M_G = \frac{G \times l^2}{2} = \frac{2.1 \times 0.6^2}{2} = 0.378 \text{ KN.m}$$

$$M_Q = \frac{Q \times l^2}{2} = \frac{1 \times 0.6^2}{2} = 0.18 \text{ KN.m}$$

Alors:
$$\alpha = \frac{0.378}{0.378 + 0.18} = 0.677$$

$$\alpha = 0.677$$

Donc:

$$e_2 = \frac{3 \times 1.2^2}{10^4 \times 0.1} (2 \times 0.677 + 2) = 0.014 \text{ m}$$

Excentricité additionnelle (ea):

$$e_a = max \left(2cm; \frac{h}{250}\right) = max \left(2cm; \frac{60}{250}\right) = 2 cm BAEL A4.3.5[3]$$

Alors:
$$e_t = e_1 + e_2 + e_a \Rightarrow e_t = 0.317 + 0.014 + 0.02 \Rightarrow e_t = 0.351 \text{ m}$$

$$e_t > \frac{h}{2} = \frac{0.1}{2} = 0.05 \text{ m}$$
 C. V

Alors:

Le centre de pression se trouvé l'extérieur de la section limitée par les armatures d'où la section est partiellement comprimée, et donc assimilable à une section en flexion simple sous l'effort d'un moment fictif (M_{ua}) .

III.2.3Calcul du ferraillage:

Le calcul se fait sur une section rectangulaire

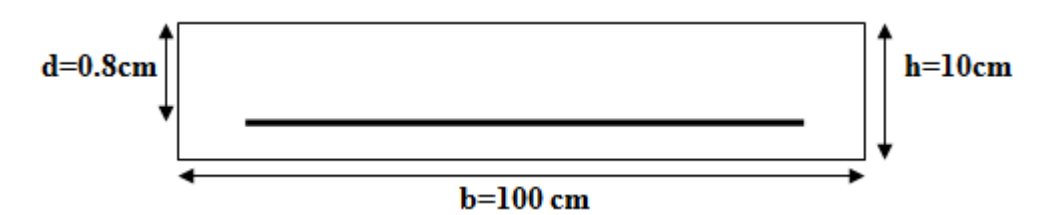


Figure. III.3:La section équivalente de calcul de l'acrotère.

Les dimensions de la section :

- Epaisseur de la section : h = 0.1m

- Largeur de la section : b=1 m

- Enrobage : c = 0.02 m

- Hauteur utile : d= h-cd= 0.08 m

-Moment fictif (M_{ua}):

Moment fictif calculé par rapport au C.D.G des armatures tendues.

$$M_{ua} = M_u + N_u \left(d - \frac{h}{2} \right) \Rightarrow M_{ua} = 900 + 2835 \left(0.08 - \frac{0.1}{2} \right) = 985.05 \text{N.m}$$

III.2.1 Les armatures fictives :

$$\begin{split} \mu = & \frac{M_{ua}}{f_{bu} \times b \times d^2} \\ \mu = & \frac{985.05 \times 10^3}{14.16 \times 1000 \times 80^2}; \ f_{bu} = 14.16 \ MPa \\ \mu = & 0.010 < \mu_{lim} = 0.392 \end{split}$$

Donc les armatures comprimées ne sont pas nécessaires (A' = 0).

$$\mu$$
= 0.010 < μ ₁= 0.186 Pivot A.

$$\alpha = (1 - \sqrt{1 - 2 \mu}) = 0.010$$

$$Z = d (1-0.4\alpha) = 79.68 \text{ mm}$$

$$\mu$$
= 0.010 $\Rightarrow \alpha$ = 0.010 ; Z =79.68mm

$$A_u = \frac{M_t}{Z.\bar{\sigma_s}}; \bar{\sigma}_s = \frac{f_e}{\gamma_s} = 348 \text{ MPa}$$

$$A_u = \frac{985.05 \times 10^3}{79.68 \times 348} = 35.52 \text{ mm}^2$$

Donc :
$$A_{11} = 0.35 \text{ cm}^2$$

$$A_{min} > 0.23 \times b \times d \times \frac{f_{t28}}{f_e}$$
; $f_{t28} = 0.6 + 0.06 f_{c28} = 2.1 MPa$

$$A_{min} > 0.23 \times 1 \times 0.08 \times \frac{2.1}{400} = 96.6 \text{ mm}^2$$

 $A_{min} > 96.6 \; mm^2$

Donc:

 $A_s = \max (A_u; A_{min}) \Rightarrow A_s = \max (0.35; 0.96)$

Alors:

 A_S = 0.96 cm² \Rightarrow on adopte : 4HA8 =2.01 cm²

- Condition de non fragilité : (BAEL 91) [3]

$$A_{min} < A_{adopt\acute{e}} \Rightarrow 0.96 < 2.01$$
 C. V

- L'espacement « e » :

e≤ min (3h; 33cm)

e≤ min (30; 33cm)⇒e ≤30 cm

On prend: e = 10 cm

III.2.2Armature de répartition :

$$A_r = \frac{A_s}{4} = \frac{2.01}{4} = 0.50 \text{ cm}^2$$

On adopte $4HA8 = 2.01 \text{ cm}^2$

- L'espacement « e » :

 $e \le min (4h; 45cm)$

 $e \le min (40; 45cm) \Rightarrow e \le 40 cm$

On prend: e = 20 cm

III.2.3Vérification de l'effort de tranchant « cisaillement » [BAEL91] [3]:

On doit vérifier que : $\tau_u < \overline{\tau}$ tel que :

$$\overline{\tau}=\min\left(\frac{0.15f_{c28}}{\gamma_b};\ 4\ MPa\right)...$$
 (Fissuration préjudiciable)

$$\bar{\tau}$$
= min (2.5MPa; 4MPa) $\Rightarrow \bar{\tau}$ = 2.5 MPA

$$T_u = F_p + Q = 2.008 \text{ KN}$$

$$\tau_u = \frac{T_u}{b \times d} = \frac{2.008 \times 10^3}{1000 \times 80} = 0.0251 MPa$$

$$\tau_u < \bar{\tau} \Rightarrow 0.0251 MPa < 2.5 MPa \dots C. V$$

Les armatures transversales ne sont pas nécessaires.

III.2.4Vérification à L'ELS:

III.2.4.1 Vérification des contraintes :

a) En travée:

On doit vérifier que :

✓ Pour le béton :

$$\overline{\sigma}_{bc} = 0.6 f_{c28}$$

$$\overline{\sigma}_{bc}$$
=0.6×25=15MPa

✓ Pour l'acier :

La fissuration est peu préjudiciable :

$$\overline{\sigma}_{st} = \min \left(\frac{2}{3} \text{ fe} ; 110 \sqrt{\eta f_{c28}} \right) = 266.66 \text{MPa}$$

$$\alpha_r = \frac{n \times \sigma_{bc}}{n \times \sigma_{bc} + \sigma_{st}}$$

$$\alpha_r = \frac{15 \times 15}{15 \times 15 + 266.66} = 0.45$$

$$U_r = \frac{\alpha_r}{2} \left(1 - \frac{\alpha_r}{3} \right) = \frac{0.45}{2} \left(1 - \frac{0.45}{3} \right)$$

$$U_{r} = 0.19$$

Moment de service limite :

$$\overline{\text{M}}_{1} \!\!=\!\! \text{U}_{r} \!\!\times\!\! b \!\!\times\!\! d^{2} \!\!\times\!\! \bar{\sigma_{bc}}$$

$$\overline{M}_1 = 0.19 \times 1000 \times 80^2 \times 15 = 18240000 N.mm$$

$$\overline{M}_1 = 18240 \text{N.m}$$

$$\overline{M}_{ser} = M_{ser} + N_{ser} \left(d - \frac{h}{2} \right)$$

$$\overline{M}_{ser} = 600 + 2100 \left(0.08 - \frac{0.1}{2} \right)$$

$$\overline{M}_{ser}$$
=663N.m

$$\overline{M}_{ser} < \overline{M}_1 {\Rightarrow} 663 \text{ N.m} {<} 18240 \text{ N.m}$$
 C. V

A'=0 (La section est sans aciers comprimés).

$$Z = d\left(1 - \frac{\alpha_r}{3}\right) = 68 \text{ mm}$$

$$A_{st} = \frac{\overline{M}_{ser}}{Z_1 \times \sigma_{st}} = \frac{663 \times 10^3}{68 \times 266.66} = 36.56 \text{ mm}^2$$

$$A_s = A_{st} - \frac{N_{ser}}{\overline{\sigma}_{st}} \Rightarrow A_s = 36.56 - \frac{2100}{266.66} = 28.68 \text{ mm}^2$$

$$A_s = 0.28 \text{ cm}^2 < A_{adopt\acute{e}} = 2.01 \text{ cm}^2$$
 C. V

$$A_s = max (As; Amin) \Rightarrow A_s = max (0.28; 0.96)$$

Alors : $A_s = 0.96 \text{ cm}^2$

On adopte : $4HA8 = 2.01 \text{ cm}^2$

III.2.5 Schéma de Ferraillage :

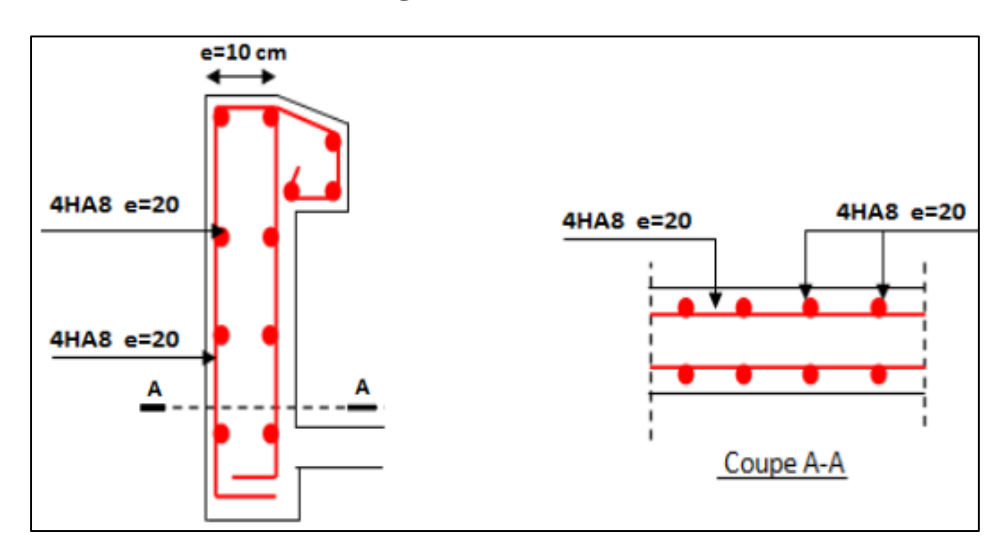


Figure III.4 : Schéma de ferraillage de l'acrotère.

III.3 Etude des escaliers :

III.3.1 Définition :

L'escalier est une construction architecturale constitué d'une suite régulière de marche qui permet d'accéder à un étage ou de passer d'un niveau à un autre. Est un élément qui n'est pas

exposé aux intempéries, donc les fissurations sont considérées comme peu nuisible : La section est soumise à la flexion simple.

L'enrobage : $C \ge 1$ cm soit c = 2cm

• Pour notre emmarchement on aura:

- **Palier** : $G = 5.15 \text{ KN/m}^2$

- Paillasse : $G = 8.02KN/m^2$

- Surcharge $Q = 2.5 \text{ KN/m}^2$

III.3.2 Charge et surcharge:

Le calcul se fera pour une bande de 1 ml.

❖ Paillasse:

$$G_p{=}~8.02~KN/~m^2 = 8.02{\times}1ml \Longrightarrow \hspace{-0.1cm} G_p{=}~8.02KN/ml$$

$$Q_p = 2.5 \text{ KN/ } \text{m}^2 = 2.5 \times 1 \text{ml} \Rightarrow Q_p = 2.5 \text{KN/ml}$$

❖ Palier:

$$G_{pr}=5.15KN/m^2=5.15\times1ml \Rightarrow G_{pr}=5.15 KN/ml$$

$$Q_{pr}=2.5KN/m^2=2.5\times1ml \Rightarrow Q_{pr}=2.5 KN/ml$$

Avec:

G_P: Charge permanente de la paillasse.

Q_P: Charge variable de la paillasse .

G_{pr}: Charge permanente du palier.

Q_{pr}: Charge variable du palier.

III.3.3 Schéma statique:

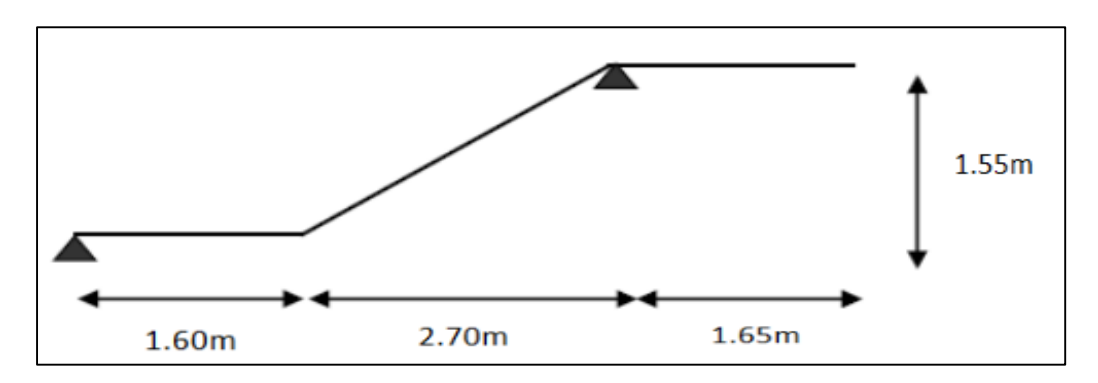


Figure .III.5: Schéma statique des escaliers

III.3.4 Combinaison des charges :

Selon (DTR B.C 2.2/Art 7.1) [4] pour une construction à usage d'habitation $Q = 2.5 KN/m^2$ Charge de mur extérieur :

$$q_{mur}=G \times (H-e) \times 1m$$

$$q_{mur} = 2.81 \times (3.10 - 0.4) \times 1m$$

q_{mur}=7.59 KN

- **ELU**: $q_u = 1,35 G + 1,5 Q$
- **ELS** : $q_s = G + Q$

Désignation	Paillasse KN/ml)	Palier (KN/ml)	Mur (KN)
ELU	14.57	10.70	10.25
ELS	10.52	7.65	7.59

Tableau: III.1. Calcul de la Combinaison des charges.

III.3.4.1 Calcul des réactions :

> ELU:

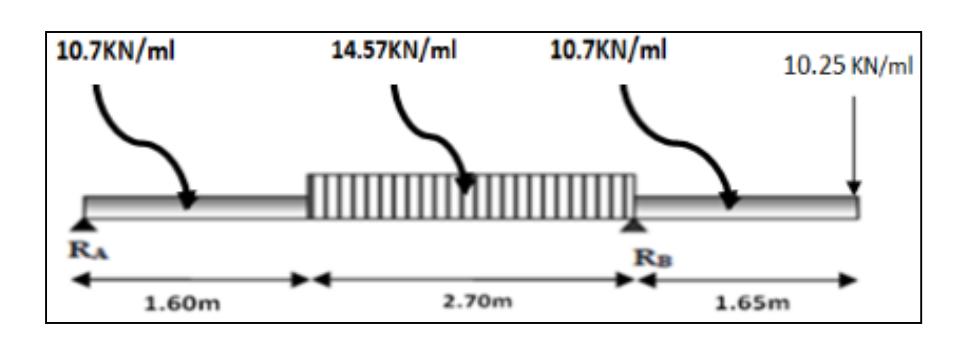


Figure III.6: Schéma statique à l'ELU.

$$\begin{split} & \sum F_{V} = 0 - R_{A} + R_{B} = (10.7 \times 1.60) + (14.57 \times 2.70) + (10.7 \times 1.65) + 10.25 \\ & R_{A} + R_{B} = 84.36 \text{KN} \\ & \sum M_{A} = 0 - R_{B} \times 4.30 + \left(10.7 \times 1.60 \times \frac{1.60}{2}\right) + \left(14.57 \times 2.70 \times \left(1.60 + \frac{2.70}{2}\right)\right) + \left(10.7 \times 1.65 \times \left(4.3 + \frac{1.65}{2}\right)\right) + 10.25 \times 5.95 = 0 \\ & R_{B} = \frac{281.22}{4.30} = 65.4 \text{KN} \end{split}$$

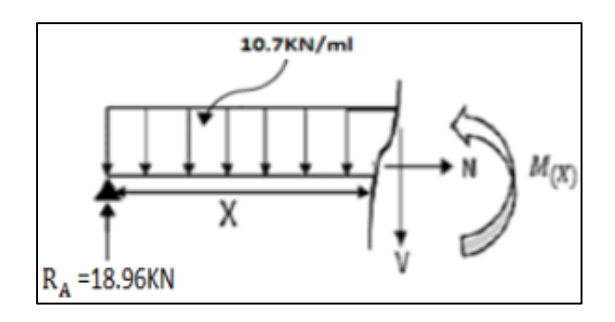
 $R_B=65.4KN$

 $R_A = 18.96KN$

III.3.4.2Calcul des moments et efforts tranchants :

LU:

■ **Tronçon I :** Pour : $0 \le x \le 1.60 \text{ m}$



• L'effort tranchant:

$$\Sigma F_{V} = 0;$$
 $T(x) = 18.96 - 10.7x$

Pour:

$$x = 0$$
; $T(x) = 18.97$ KN

$$x = 1.60m$$
; $T(x) = 1.85KN$

Moment fléchissant :

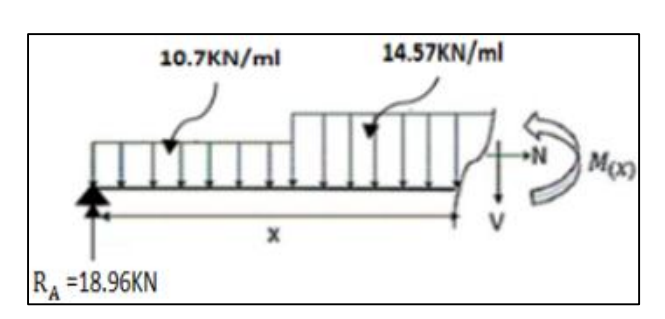
$$\sum M/x=0$$
 $M(x)=18.96x -10.7 \frac{x^2}{2}$

Pour:

x=0; M(x)=0KN.m

x=1.60m; M(x)=16.64KN.m

■ **Tronçon II :** Pour : $1.60 \le x \le 4.30 \text{ m}$



■ L'effort tranchant:

$$\Sigma F_V = 0;$$
 $T(x) = 18.96 - (10.7 \times 1.60) - (14.57 \times (x - 1.60))$

Pour:

x=1.60m;T(x)=1.85KN

$$x=4.30m;T(x)=-37.51KN$$

Moment fléchissant :

$$\sum M/_{X}=0 M(x)=18.96x - \left(10.7 \times 1.60 \left(x - \frac{1.60}{2}\right)\right) - \left(14.57 \times \frac{(X-1.60)^{2}}{2}\right)$$

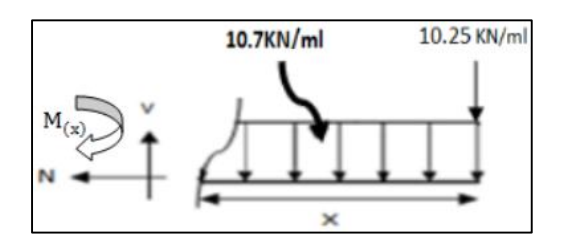
$$\Rightarrow \frac{dM(x)}{dX}=0 \Rightarrow X=1.71m$$

Pour:

$$x=1.60m$$
; $M(x)=16.64KN.m$

x=1.71m; M(x) = 16.77KN.mx=4.30m; M(x) = -31.50KN.m

■ **Tronçon III :** Pour : $0 \le x \le 1.65 \text{ m}$



• L'effort tranchant:

$$\Sigma F_V = 0;$$
 $T(x) = 10.7x + 10.25$

Pour:

$$x=0;T(x)=10.25KN$$

$$x=1.65m;T(x)=27.91KN$$

Moment fléchissant :

$$\sum M/_X=0$$
 $M(x)=10.7 \frac{x^2}{2}+10.25x$

Pour:

$$x=0;$$
 $M(x)=0KN.m$

$$x=1.65m$$
; $M(x) = -31.50KN.m$

On trouve : $\binom{M_{\text{max}} = 31.5\text{KN.m}}{T_{\text{max}} = 37.51\text{KN}}$

■ Moment en travée

 $M_t = 0.85 M_0$

$$M_t = 0.85 \times 31.5 = 26.78 \text{KN.m}$$

Moment sur appuis

 $M_a = 0.5 M_0$

$$M_a = 0.5 \times 31.5 = 15.75 \text{KN.m}$$

III.3.4.3 Calcul des réactions :

LLS:

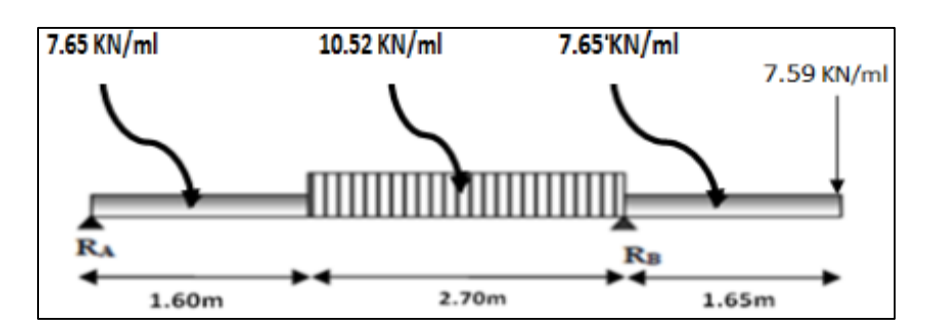


Figure III.7: Schéma statique à l'ELS.

$$\Sigma F_V = 0$$
 $\Rightarrow R_A + R_B = (7.65 \times 1.60) + (10.52 \times 2.70) + (7.65 \times 1.65) + 7.59$

$$R_A + R_B = 60.86KN$$

$$\sum M_A = 0 \implies -R_B \times 4.30 + \left(7.65 \times 1.60 \times \frac{1.60}{2}\right) +$$

$$\left(10.52\times2.70\times\left(1.60+\tfrac{2.70}{2}\right)\right)+\left(7.65\times1.65\times\left(4.3+\tfrac{1.65}{2}\right)\right)+7.59\times5.95=0$$

$$R_B = \frac{203.43}{4.30} = 47.31 \text{ KN}$$

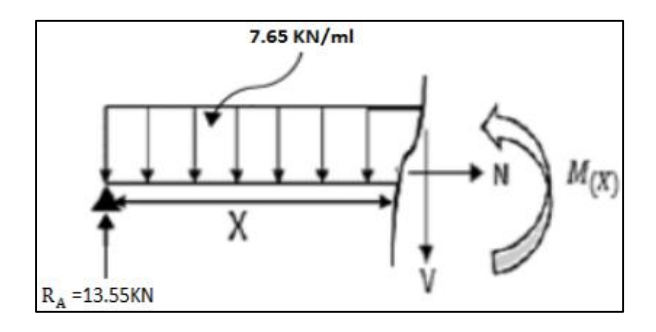
$$R_B = 47.31KN$$

$$R_A = 13.55KN$$

III.3.4.4Calcul des moments et efforts tranchants :

LLS:

• **Tronçon I :** Pour : $0 \le x \le 1.60 \text{ m}$



• L'effort tranchant :

$$\Sigma F_v = 0;$$
 $T(x) = 13.55 - 7.65x$

Pour:

$$x = 0$$
; $T(x) = 13.54$ KN

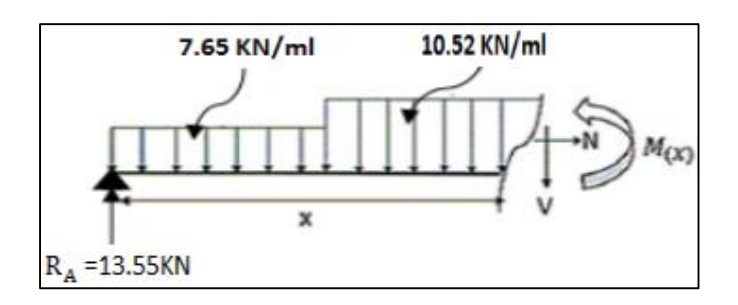
$$x = 1.60m$$
; $T(x) = 1.30KN$

Moment fléchissant :

$$\sum M/_X=0$$
 M(x)=13.55x -7.65 $\frac{x^2}{2}$

Pour:

■ **Tronçon II :** Pour : $1.60 \le x \le 4.30 \text{ m}$



■ L'effort tranchant:

$$\Sigma F_v = 0;$$
 $T(x)=13.55-(7.65 \times 1.60)-(10.52 \times (x-1.60))$

Pour:

x=1.60m;T(x)=1.30KN

x=4.30m;T(x)=-27.10KN

Moment fléchissant :

$$\sum M/_{X} = 0 \quad M(x) = 13.55x - \left(7.65 \times 1.60 \left(x - \frac{1.60}{2}\right)\right) - \left(10.52 \times \frac{(X - 1.60)^{2}}{2}\right)$$

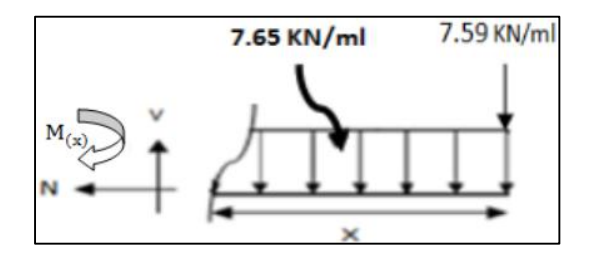
$$\Rightarrow \frac{dM(x)}{dX} = 0 \quad \Rightarrow X = 1.71m$$

Pour:

x=1.60m; M(x)=11.88KN.m

x=1.71m; M(x) = 11.95KN.mx=4.30m; M(x)=-22.96KN.m

• **Tronçon III :** Pour : $0 \le x \le 1.65 \text{ m}$



• L'effort tranchant:

$$\Sigma F_v = 0;$$
 $T(x) = 7.65x + 7.59$

Pour:

x=0;T(x)=7.59KN

x=1.65m;T(x)=20.21KN

Moment fléchissant :

$$\sum M/_X=0$$
 $M(x)=7.65\frac{x^2}{2}+7.59x$

Pour:

x=0; M(x)=0KN.m

x=1.65m; M(x) = -22.96KN.m

On trouve : $\binom{M_{\text{max}} = 22.96 \text{ KN.m}}{T_{\text{max}} = 27.10 \text{ KN}}$

■ Moment en travée

 $M_t = 0.85 M_0$

 M_t =0,85 ×22.96 =19.51KN.m

Moment sur appuis

 $M_a = 0.5 M_0$

 $M_a = 0.5 \times 22.96 = 11.48 \text{KN.m}$

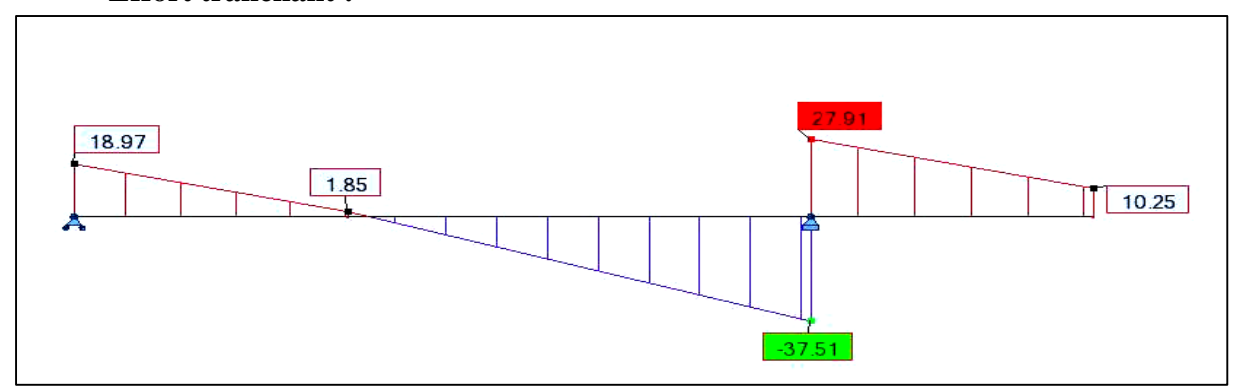
Tableau III. 2. Tableau récapitulatif des sollicitations.

	M _{max} (KN.m)	M _{max} (KN.m)	M _{max} (KN.m)	V _{max} (KN)
ELU	31.5	26.78	15.75	37.51
ELS	22.96	19.51	11.48	27.10

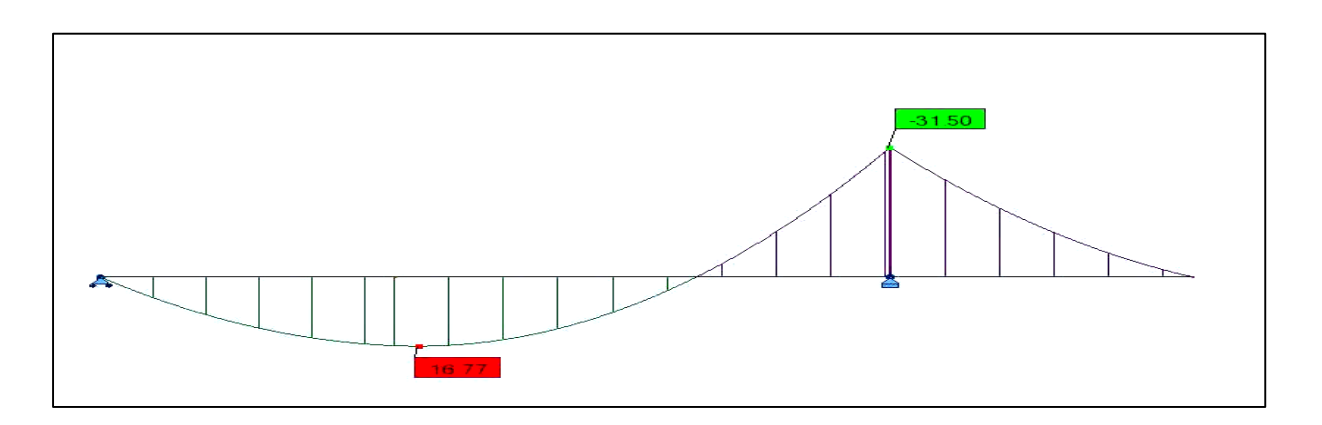
III.3.4.5 Diagrammes des moments fléchissants et efforts tranchants :

LU:

- Effort tranchant:

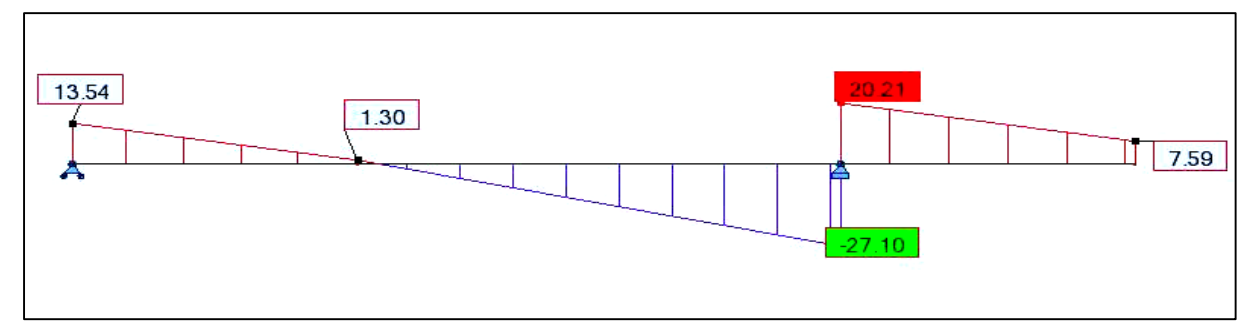


- momentfléchissant :

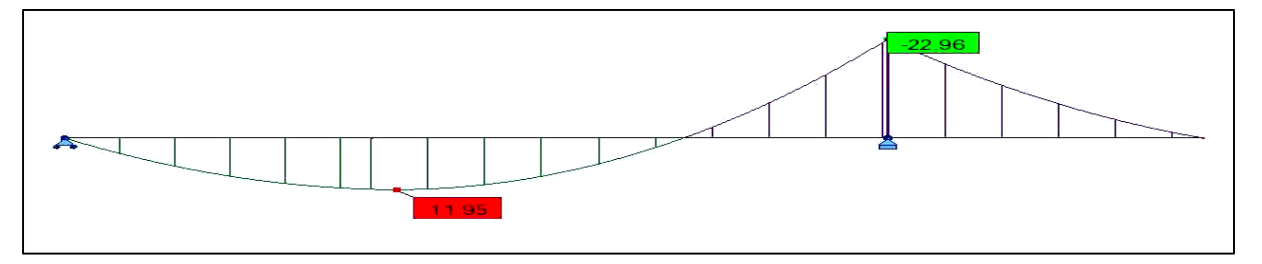


LLS:

- Effort tranchant:



- moment fléchissant :



III.3.5 Calcul de Ferraillage:

Le ferraillage sera déterminé par une bande de 1m de longueur soumise à la flexion simple.

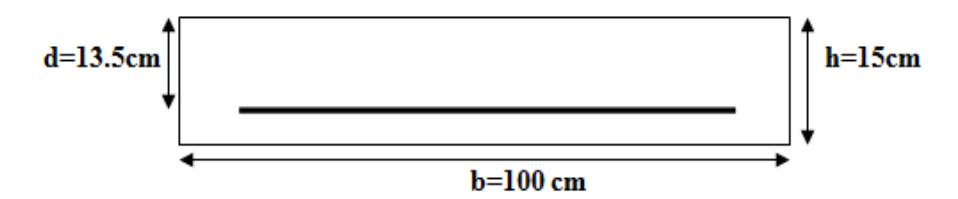


Figure. III.8 La section équivalente de calcul de L'escalier.

Les dimensions de la section :

-Epaisseur de la section : h = 15cm -Largeur de la section : b=100cm

-Hauteur utile : d=0.9h=13.5cm

 $f_{c28} {=} 25 \text{ MPa} \; ; \qquad \quad f_{bu} {=} 14.16 \text{ MPa} \; ; \qquad \quad \sigma_s {=} \frac{f_e}{\gamma_s} {=} \frac{400}{1.15} {=} 348 \text{ MPa} \; ;$

 $f_{e}{=}400 \; MPa \; ; \qquad \qquad f_{t28}{=}2.1 \; MPa \; ; \qquad \quad \mu_{l}{=}0.392 \; ; \; d=13.5 cm$

& En appuis

 $M_a = 15.75 \text{ KN.m}$

$$\mu_{bu} = \frac{M_a}{fbu \times b \times d^2} = \frac{15.75 \times 10^3}{14.16 \times 1 \times 135^2} = 0.061$$

$$\mu_{\text{bu}} = 0.061 \leq \mu_{\text{AB}} = 0.186 \quad \Longrightarrow \quad \text{Pivot A}.$$

$$\mu_{\text{bu}} = 0.061 \le \mu_{\text{l}} = 0.392$$
 \Longrightarrow A'= 0

$$\alpha_u$$
=1.25 $\left(1 - \sqrt{1 - 2\mu_{bu}}\right)$ \Longrightarrow α_u = 1.25 $\left(1 - \sqrt{1 - 2 \times 0.061}\right)$ =0.078

$$Z = d (1 - 0.4\alpha_u)$$
 \longrightarrow $Z = 135(1 - 0.4 \times 0.078) = 130.8 mm$

$$A_s = \frac{M_a}{\sigma s \times z} = \frac{15.75 \times 10^6}{348 \times 130.8} = 346 \text{ mm}^2$$
 \longrightarrow $A_{s(calccul\acute{e})} = 3.46 \text{ cm}^2$

Condition de non fragilité :

$$A_{min} \ge 0.23 \times b \times d \times \frac{f_{t28}}{fe}$$

$$A_{\min} \ge 0.23 \times 1000 \times 135 \times \frac{2.1}{400} = 163 \text{ mm}^2 = 1.63 \text{ cm}^2$$

Donc : As = max(
$$A_{s(calccul\acute{e})} = 3.46 \text{ cm}^2$$
; $A_{min} = 1.63 \text{ cm}^2$)

On adopte : 6HA12 \longrightarrow A_s=6.79cm²

Armature de répartition :

$$A_r = \frac{A_{s(ado)}}{4} = \frac{6.79}{4} = 1.70 \text{cm}^2$$

On adopte : $6HA10 \implies A_s=4.71cm^2$

Armatures longitudinales :

$$S_t \le \min(3h; 33cm) \implies S_t = \frac{100}{4}cm \le \min(3 \times 15cm; 33cm)$$

$$S_t=15 \text{ cm} \le 33 \text{ cm} \dots C.V$$

4 Armatures transversales :

$$S_t \le \min(4h; 45cm) \implies S_t = \frac{100}{4}cm \le \min(4 \times 15cm; 45cm)$$

$$S_t=15 \text{ cm} \le 45 \text{ cm} \dots C.V$$

Tableau III.3: ferraillage à l'ELU Sur appuis.

M(KN.m)	μ_{bu}	α_{u}	Z(mm)	$A_{S(cal)}(cm^2)$	$A_{\min}(cm^2)$	$A_{S(adop)}(cm^2)$	S _t
15.75	0.061	0.078	130.8	3.46	1.63	6HA12 =6.79	15

❖ Sur travée

 $M_t = 26.78 KN.m$

$$\mu_{\text{bu}} = 0.104 \le \mu_1 = 0.392$$
 \longrightarrow A'= 0

$$\alpha_{\rm u}$$
=1.25 $\left(1 - \sqrt{1 - 2\mu_{\rm hu}}\right)$ \Longrightarrow $\alpha_{\rm u}$ =1.25 $\left(1 - \sqrt{1 - 2 \times 0.104}\right)$ =0.138

$$Z = d (1 - 0.4\alpha_u)$$
 \longrightarrow $Z = 135 (1 - 0.4 \times 0.138) = 127.5 mm$

$$A_s = \frac{M_t}{\sigma s \times z} = \frac{26.78 \times 10^6}{348 \times 127.5} = 604 \text{mm}^2$$
 $A_{s(calccul\acute{e})} = 6.04 \text{cm}^2$

Les Condition de non fragilité

$$A_{min} \ge 0.23 \times b \times d \times \frac{f_{t28}}{fe}$$

$$A_{\min} \ge 0.23 \times 1000 \times 135 \times \frac{2.1}{400} = 163 \text{ mm}^2 = 1.63 \text{ cm}^2$$

Donc :
$$A_s$$
= max $\left(A_{s(calccul\acute{e})}=6.04~cm^2~;~A_{min}=1.63~cm^2\right)$

On adopte : 6HA12 \longrightarrow A_s=6.79cm²

Armature de répartition :

$$A_r = \frac{A_{s(ado)}}{4} = \frac{6.79}{4} = 1.70 \text{cm}^2$$

On adopte :6HA10 \longrightarrow $A_s = 4.71 \text{cm}^2$

Armatures longitudinales :

$$S_t \le \min(3h; 33cm) \implies S_t = \frac{100}{6}cm \le \min(3 \times 15cm; 33cm)$$

$$S_t=15 \text{ cm} \le 33 \text{ cm} \dots C.V$$

Armatures transversales:

$$S_t \le \min(4h; 45cm) \longrightarrow S_t = \frac{100}{6}cm \le \min(4 \times 15cm; 45cm)$$

$$S_t=15 \text{ cm} \le 45 \text{ cm} \dots C.V$$

Tableau III.4: ferraillage à l'ELU Sur Travée.

M(KN.m)	$\mu_{ m bu}$	α_{u}	Z(mm)	$A_{S(cal)}(cm^2)$	$A_{min}(cm^2)$	$A_{S(adop)}(cm^2) \\$	$S_{t}(cm)$
26.78	0.104	0.138	127.5	6.04	1.63	6HA14=6.79	15

Vérification de l'effort tranchant

$$\tau_{ii} \leq \overline{\tau}_{ii}$$

$$\tau_u = \frac{T_u}{bd} = \frac{37.5 \times 10^3}{1000 \times 135} = 0.27 \text{ MPa}$$

$$\tau_u$$
=0.27 MPa

• Fissuration peu nuisible

$$\overline{\tau}_{u} = \min \left(\frac{0.2 f_{c28}}{\gamma_{h}} ; 4MPa \right) = \min (3.33MPa ; 4MPa) = 3.33MPa$$

$$\overline{\tau}_u$$
=3.33MPa

$$\tau_u {=} 0.27 \text{ MPa} \leq \overline{\tau}_u {=} 3.33 \text{MPa} \qquad \text{C.V}$$

Remarque:

Pas de risque de cisaillement, donc les armatures transversales ne sont pas nécessaires.

- Vérification des contraintes à l'ELS :
- **❖** Sur travée :

$$\sigma_{bc} \leq \overline{\sigma}_{bc}$$

$$\overline{\sigma}_{bc} = 0.6 f_{c28}$$

$$\overline{\sigma}_{bc} = 0.6 \times 25 = 15 \text{ MPa}$$

$$\overline{\sigma}_{bc} = 15 \text{ MPa}$$

$$\sigma_{bc} = \frac{M_{ser \times y}}{I}$$

y: Distance de l'axe neutre à la fibre la plus comprimé.

I: Moment d'inertie.

Position de l'axe neutre :

$$M_{ser}=19.51KN.m; \longrightarrow A_s=6.79cm^2; n=15; \mu \le \mu_1 A'_s=0$$

$$\frac{1}{2}$$
by²+n(y - d')A'_s- nA_{st}(d - y)=0

$$n(y - d') A'_s = 0$$

$$\frac{1}{2} \times 100 \times y^2 - 15 \times 6.79 \times (13.5 - y) = 0$$

$$y = 4.32 \text{ cm}$$

• Moment d'inertie :

$$I = \frac{1}{3}by^3 + nA'_s(d-y)^2 + nA_{st}(d-y)^2$$

$$nA'_{s}(d-y)^{2}=0$$

$$I = \frac{100 \times 4.32^{3}}{3} + 15 \times 6.79(13.5 - 4.32)^{2} = 11270.53 \text{ cm}^{4}$$

Donc:

$$\sigma_{bc} = \frac{M_{ser} \times y}{I} = \frac{19.51 \times 10^6 \times 43.2}{11270.53 \times 10^4} = 7.48 \text{Mpa}$$

$$\sigma_{bc}$$
=7.48 Mpa< $\overline{\sigma}_{bc}$ = 15MpaC.V

Les résultats trouvés en travée et sens sont regroupés dans le tableau suivant :

Tableau III.5: Vérification des contraintes à l'ELS sur travée.

M _{ser} (KN.m)	$A_s(cm^2)$	Y(cm)	I(cm ⁴)	$\sigma_{bc}(MPa)$	$\sigma_{bc} \leq \overline{\sigma}_{bc}$
19.48	6.79	4.15	11270.53	7.48	Vérifié

Sur appuis :

Tableau III.6: Vérification des contraintes à l'ELS sur appuis.

M _{ser} (KN.m)	$A_s(cm^2)$	Y(cm)	I(cm ⁴)	$\sigma_{bc}(MPa)$	$\sigma_{bc} \leq \overline{\sigma}_{bc}$
11.48	6.79	4.15	11270.53	4.41	Vérifié

III.3.5.1 Vérification de la flèche (BAEL B.6.5.1) [3]:

La vérification de la flèche n'est pas nécessaire si les conditions suivantes sont vérifiées :

$$\begin{cases} \frac{h}{l} \geq \frac{1}{6} \\ \frac{h}{l} \geq \frac{M_t}{10M_0} \end{cases} \Longrightarrow \begin{cases} \frac{0.15}{5.95} = 0.025 \geq \frac{1}{16} = 0.0625 \dots \dots C. \text{ N. V} \\ \frac{0.15}{5.95} = 0.025 \geq \frac{26.78}{10\times31.5} = 0.085 \dots C. \text{ N. V} \\ \frac{6.79}{100\times13.5} = 0.0050 \leq \frac{4.2}{400} = 0.0105 \dots C. \text{ V} \end{cases}$$

Les conditions suivant ne sont pas vérifier donc on est ramenée à effectuer un calcul de flèche :

A) Calcul de la flèche (BAEL 91) [3] :

La flèche totale : $\Delta f_t = f_v - f_i \le \overline{f}$

Avec:

$$Y=4.32cm$$
; $M_{ser}=22.96KN.m$; $M_{ts}=19.48$ KN.m; $d=13.5cm$; $L=2.7m$

h= 15cm;b= 100cm;
$$A_s=6.16cm^2$$
; $f_{t28}=2.1$ MPa; $\overline{f}=\frac{L}{500}$

$$Y_G = \frac{15 \times \frac{h^2}{2} + 15A_t \times d}{b_0 h + 15A_t}$$

 $Y_{G} = 1.84 \text{ cm}$

Calcul le moment d'inertie de la section homogène « I₀» :

$$I_0 = \frac{b \times Y_G^3}{3} + \frac{b(h \times Y_G)^3}{3} + 15A_t(d - Y_G)^2 + 15A_s(Y_G - d')^2$$

$$I_0 = \frac{100 \times 1.84^3}{3} + \frac{100 \times (15 - 1.84)^3}{3} + 15 \times 6.79 \times (13.5 - 1.84)^2$$

 $I_0 = 90025.48 \text{cm}^4$

Calcul des coefficients :

$$\lambda_i \!\!=\!\!\! \frac{_{0.05 \times f_{t28}}}{_{(2+3\frac{b_0}{h})\rho}} \hspace{0.5cm} ; \hspace{0.5cm} \lambda_V \!\!=\!\! \frac{_{0.02 \times f_{t28}}}{_{(2+3\frac{b_0}{h})\rho}}$$

$$\rho = \frac{A_s}{b_0 d} = \frac{6.79}{100 \times 13.5} = 0.005 \qquad \longrightarrow \qquad \rho = 0.005$$

Pour les déformations instantanées : $b=b_0$

$$\lambda_i = \frac{0.05 \times 2.1}{5 \times 0.005} = 4.2$$
 $\lambda_i = 4.2$

$$\lambda_{v} = \frac{0.02 \times 2.1}{5 \times 0.005} = 1.68$$
 \rightarrow $\lambda_{v} = 1.68$

$$E_i = 11000 \sqrt[3]{f_{c28}} = 32164.2$$
 \longrightarrow $E_i = 32164.2$ MPa

$$E_v = \frac{1}{3}E_i = 10721.4$$
 \longrightarrow $E_v = 10721.4$ MPa

$$\sigma_{s} = \frac{M_{ser}}{A_{s} \times d} = \frac{22.96 \times 10^{6}}{6.79 \times 10^{2} \times 13.5 \times 10} = 250.48 \sigma_{s} = 250.48 MPa$$

$$\mu = 1 - \left[\frac{1.75f_{t28}}{400c_s + f_{t28}} \right]$$

$$\mu$$
= 1- $\left[\frac{1.75 \times 2.1}{4 \times 0.005 \times 250.48 + 2.1}\right]$ = 0.48 μ =0.48

Moment d'inertie fictive

$$I_{fi} = \frac{1.1 I_0}{1 + \lambda_i \mu} = \frac{1.1 \times 90025.48}{1 + 4.2 \times 0.48} = 32834.23$$
 \longrightarrow $I_{fi} = 32834.23$

$$I_{fv} = \frac{1.1 I_0}{1 + \lambda_v \mu} = \frac{1.1 \times 90025.48}{1 + 1.68 \times 0.48} = 54820.65 \longrightarrow I_{fv} = 54820.65$$

La flèche:

$$f_i = \frac{M_{ser}L^2}{10E_iI_{fi}} = \frac{22.96 \times 10^6 (3 \times 10^3)^2}{10 \times 32164.2 \times 32834.23 \times 10^4} = 1.95 \ mm$$

$$f_v = \frac{M_{ser}L^2}{10E_vI_{fv}} = \frac{22.96 \times 10^6 (3 \times 10^3)^2}{10 \times 10721.4 \times 54820.65 \times 10^4} = 3.51 \text{ mm}$$

La flèche admissible :

$$\bar{f} = \frac{L}{500}$$
; Si: L<5m

$$\bar{f} = 0.5 + \frac{L}{1000}$$
; Si: L> 5m

Dans notre cas L = 2.7 m < 5 m

Donc:

$$\begin{split} & \Delta f_t {=} f_v - f_i \leq \overline{f} = \frac{L}{500} \\ & \Delta f_t {=} \ 3.51 - 1.95 \leq \frac{2700}{500} \\ & \Delta f_t {=} 1.56 \ mm \ \leq \overline{f} = 5.4 mm \end{split}$$

III.3.6Schéma de ferraillage :

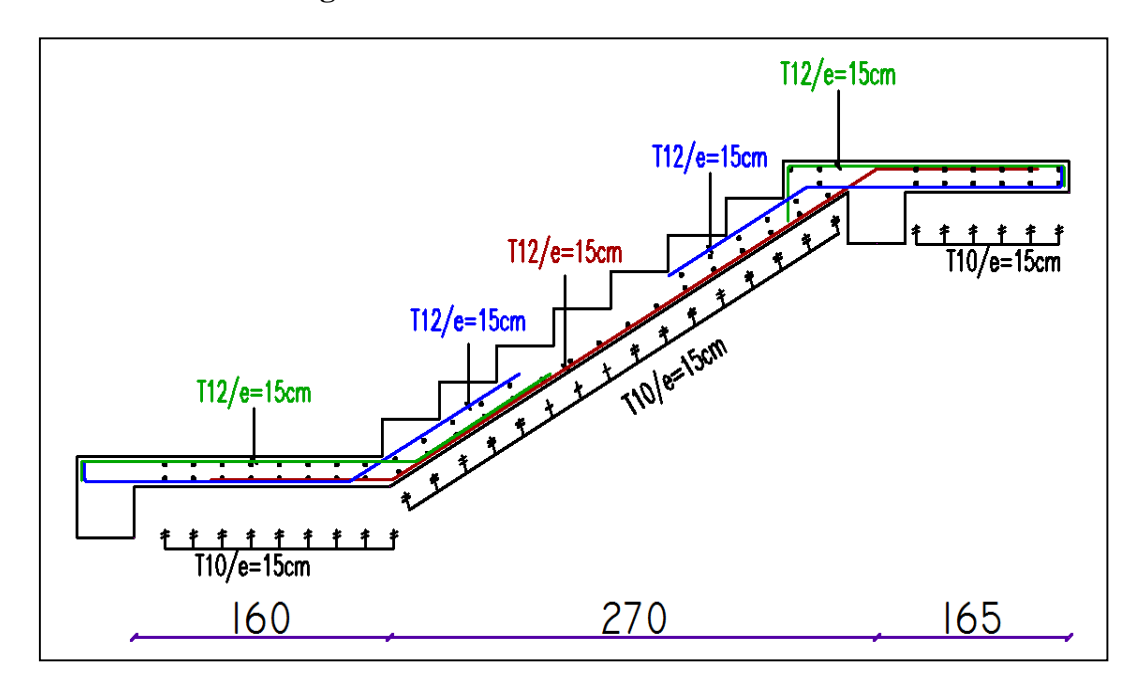


Figure III.9: Evaluation des charges.

III.4Poutre palière:

La poutre palière est destinée à supporter son poids propre, poids du mur et la réaction du palier. Elle est partiellement encastrée dans les poteaux. Sa portée est de 2.9 m.

D'après la condition de flèche définit par le **BAEL91** [3]:

$$\frac{L}{15} \le h \le \frac{L}{10} \longrightarrow 19.33 \le h \le 29 \longrightarrow \text{On prend :} h = 35 \text{ cm}$$

$$0.3 \times 35 < b < 0.7 \times 35 \longrightarrow 10.5 < b < 24.5 \longrightarrow \text{On prend :} b = 30 \text{ cm}$$

Les dimensions des poutres doivent respecter l'article 7.5.1 de RPA99/version 2003 (Zone IIa) [1] suivant:

$$\begin{cases} h \ge 30 \text{ cm} \Rightarrow 35 > 30 \text{ cm} \dots C.V \\ b \ge 20 \text{ cm} \Rightarrow 30 > 20 \text{ cm} \dots C.V \\ \frac{h}{b} \le 4 \text{ cm} \Rightarrow 1.17 < 4 \text{ cm} \dots C.V \end{cases}$$

Donc on adopte $b \times h = (30 \text{ cm} \times 35 \text{cm})$

III.4.1 Evaluation des charges :

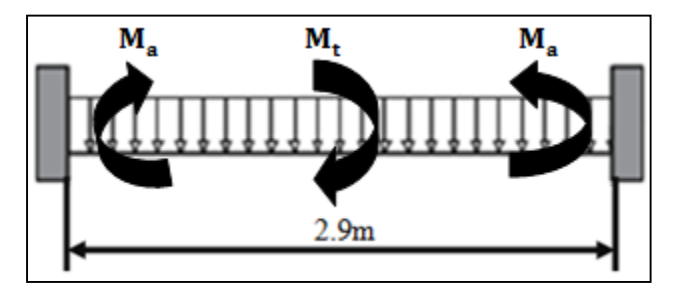


Figure III.10:Evaluation des charges.

III.4.1.1 Détermination des sollicitations :

• Charges et surcharges :

La poutre palière est sollicitée par :

Son poids propre : $g_0 = 25 \times 0.35 \times 0.3 = 2.63 \text{ KN/ml}$

 $L'effort \ tranchant \ \grave{a} \ l'appui : \begin{cases} A \ l'ELU : T_u = 37.5 \ KN \\ A \ l'ELS \ : T_s = 27.09 KN \end{cases}$

Combinaison de charges et surcharges :

$$\begin{cases} A \text{ l'ELU}: q_u = 1.35G + T_u = (1.35 \times 2.63) + 37.5 \\ q_u = 41.05\text{KN/ml} \\ A \text{ l'ELS}: q_S = G + T_S = 2.63 + 27.09 \\ q_S = 29.72\text{KN/ml} \end{cases}$$

- Calcul des moments et l'effort tranchants :
- ELU:

$$q_u = 41.05KN/ml$$

Travée:

$$\begin{split} &M_{tu} \!\!=\!\! \frac{q_u \! \times \! l^2}{24} \! = \! \frac{41.05 \! \times \! 2.9^2}{24} \! = \! \! 14.38 \\ &M_{tu} \!\! = \! 14.38 KN.m \end{split}$$

Appui:

$$M_{au} = \frac{q_u \times l^2}{12} = \frac{41.05 \times 2.9^2}{12} = 28.77$$

$$M_{au} = 28.77 \text{KN.m}$$
 $T_u = \frac{q_u \times l}{2} = \frac{41.05 \times 2.9}{2} = 59.52 \text{ KN}$

$$q_S = 29.72 \text{ KN/ml}$$

Travée:

$$M_{tu} = \frac{q_u \times l^2}{24} = \frac{29.72 \times 2.9^2}{24} = 10.41$$

$$M_{tu} = 10.41 \text{KN.m}$$

Appui:

$$M_{au} = \frac{q_u \times l^2}{12} = \frac{29.72 \times 2.9^2}{12} = 20.83$$

$$M_{au} = 20.83 \text{KN.m}$$

$$T_u = \frac{q_u \times l}{2} = \frac{29.72 \times 2.9}{2} = 43.09 \text{ KN}$$

III.4.2 Ferraillage de la poutre palière à la flexion simple :

$$\begin{cases} b = 30 \text{ cm} \\ h = 35 \text{cm} \\ d = 0.9 h = 31.5 \text{cm} \end{cases}$$

Sur travée

$$M_{tu} = 14.38 \text{KN.m}$$

$$\mu_{bu} = \frac{M_t}{fbu \times b \times d^2} = \frac{14.38 \times 10^6}{14.16 \times 300 \times 315^2} = 0.034$$

$$\mu_{bu} = 0.034 \le \mu_{AB} = 0.186 \qquad \Longrightarrow \qquad \text{Pivot A.}$$

$$\mu_{bu} = 0.034 \le \mu_1 = 0.392 \qquad \Longrightarrow \qquad \text{A'= 0}$$

$$\alpha_u = 1.25 \left(1 - \sqrt{1 - 2\mu_{bu}}\right) \qquad \Longrightarrow \alpha_u = 1.25 \left(1 - \sqrt{1 - 2 \times 0.034}\right) = 0.043$$

$$Z = d \left(1 - 0.4\alpha_u\right) \qquad \Longrightarrow \qquad Z = 315 \left(1 - 0.4 \times 0.043\right) = 309.58 \text{ mm}$$

$$A_s = \frac{M_t}{\sigma_{SYZ}} = \frac{14.38 \times 10^6}{309.58 \times 348} = 133.48 \text{mm}^2 \qquad \Longrightarrow \qquad A_{s(calccul\acute{e})} = 1.33 \text{cm}^2$$

Condition de non fragilité :

$$\begin{split} A_{min} \ge & 0.23 \times b \times d \times \frac{f_{t28}}{fe} \\ A_{min} \ge & 0.23 \times 30 \times 31.5 \times \frac{2.1}{400} = 1.14 cm^2 \\ Donc: As = & \max \left(A_{s(calccul\acute{e})} = 1.33 \ cm^2 \ ; \ A_{min} = 1.14 \ cm^2 \right) \end{split}$$

On adopte : 3HA12 \longrightarrow $A_s=3.39cm^2$

Sur appuis

$$M_{au} = 28.77 \text{ KN.m}$$

$$\mu_{bu} = \frac{M_t}{fbu \times b \times d^2} = \frac{28.77 \times 10^6}{14.16 \times 300 \times 315^2} = 0.068$$

$$\mu_{\text{bu}} = 0.068 \le \mu_{\text{AB}} = 0.186$$
 Pivot A.

$$\alpha_{\rm u}$$
=1.25 $\left(1 - \sqrt{1 - 2\mu_{\rm bu}}\right)$ \Longrightarrow $\alpha_{\rm u}$ =1.25 $\left(1 - \sqrt{1 - 2 \times 0.068}\right)$ =0.088

$$Z = d (1 - 0.4\alpha_u)$$
 \Longrightarrow $Z = 315 (1 - 0.4 \times 0.088) = 303.91 mm$

$$A_s = \frac{M_t}{\sigma s \times z} = \frac{28.77 \times 10^6}{303.91 \times 348} = 272.03 \text{mm}^2$$
 $A_{s(calccul\acute{e})} = 2.72 \text{cm}^2$

4 Condition de non fragilité

$$A_{min} \ge 0.23 \times b \times d \times \frac{f_{t28}}{fe}$$

$$A_{min} \ge 0.23 \times 30 \times 31.5 \times \frac{2.1}{400} = 1.14 \text{ cm}^2$$

Donc: As = max
$$\left(A_{s(calccul\acute{e})} = 2.72 \text{ cm}^2; A_{min} = 1.14 \text{ cm}^2\right)$$

On adopte :
$$3HA12$$
 \longrightarrow $A_s=3.39cm^2$

Tableau III.7: Ferraillage de la poutre palière à la flexion simple.

Sections	M	b	d	μ_{bu}	α_{u}	Z	A _{S(cal)}	A _{min}	A _{S(adop)}
	(KN.m)	(cm)	(cm)			(mm)	(cm ²)	(cm ²)	(cm ²)
Travée	14.38	30	31.5	0.034	0.043	309.58	1.33	1.14	3HA12=3.39
Appuis	28.77	30	31.5	0.068	0.088	303.91	2.72	1.14	3HA12=3.39

> Vérification de l'effort tranchant

$$\tau_{\rm u} \leq \overline{\tau}_{\rm u}$$

$$\tau_u = \frac{T_u}{bd} = \frac{59.52 \times 10^3}{300 \times 315} = 0.63 MPa$$

$$\tau_u = 0.63 MPa$$

• Fissuration peu nuisible

$$\overline{\tau}_{u} = \min \left(\frac{0.2 f_{c28}}{\gamma_{h}} ; 4MPa \right) = \min (3.33MPa ; 4MPa) = 3.33MPa$$

$$\overline{\tau}_u$$
=3.33MPa

$$\tau_u \text{=-}0.63\text{MPa} \leq \overline{\tau}_u \text{=-}3.33\text{MPa} \qquad \text{C.V}$$

Remarque:

Pas de risque de cisaillement, donc les armatures transversales ne sont pas nécessaires.

• Espacement:

D'après CBA93 (Article A.5.1.2.2 et A.5.1.2.3) [2]

$$S_t \le \min(0.9d; 40cm) = \min(28.35cm; 40cm)$$

$$S_t=28.35 \text{ cm} \le 40 \text{ cm} \dots C.V$$

• Armatures transversales :

$$A_t \geq \frac{_{0.4 \times b \times S_t}}{f_e} = \frac{_{0.4 \times 30 \times 28.5}}{_{400}} A_{\overline{t}} \xrightarrow{\text{evo}} cm^2$$

Donc on adopte : 2HA8=1,01cm²

> Vérification des contraintes à l'ELS

❖ Sur travée

$$\sigma_{hc} \leq \overline{\sigma}_{hc}$$

$$\overline{\sigma}_{bc} = 0.6 f_{c28}$$

$$\overline{\sigma}_{bc} = 0.6 \times 25 = 15 \text{ MPa}$$

$$\overline{\sigma}_{bc} = 15 \text{ MPa}$$

$$\sigma_{bc} = \frac{M_{ser \times y}}{I}$$

y: Distance de l'axe neutre à la fibre la plus comprimé.

I: Moment d'inertie.

• Position de l'axe neutre :

$$M_{ts}=10.41 \text{ KN.m}; A_s=3.39 \text{cm}^2; \longrightarrow n=15 ; \mu \le \mu_1 A'_s=0$$

$$\frac{1}{2}$$
by²+n(y - d')A'_s- nA_{st}(d - y)=0

$$n(y - d')A'_s = 0$$

$$\frac{1}{2} \times 30 \times y^2 - 15 \times 3.39 \times (31.5 - y) = 0$$

y = 4.17 cm

• Moment d'inertie :

$$I = \frac{1}{3}by^3 + nA'_s(d-y)^2 + nA_{st}(d-y)^2$$

$$nA'_s(d-y)^2=0$$

$$I = \frac{30 \times 4.17^{3}}{3} + 15 \times 3.39 \times (31.5 - 4.17)^{2} = 38706.49 \text{ cm}^{4}$$

Donc:

$$\sigma_{bc} = \frac{M_{ser} \times y}{I} = \frac{10.41 \times 10^6 \times 41.7}{38706.49 \times 10^4} = 1.12 Mpa$$

$$\sigma_{bc}$$
=1.12Mpa $< \overline{\sigma}_{bc}$ = 15MpaC.V

- **❖** Sur appuis :
- Position de l'axe neutre :

$$M_{as}=20.83KN.m;$$
 $A_s=3.39cm^2;$ \longrightarrow $n=15; \mu \le \mu_1 A'_s=0$

$$\frac{1}{2}by^2 + n(y - d')A'_{s} - nA_{st}(d - y) = 0$$

$$n(y - d')A'_s = 0$$

$$\frac{1}{2}$$
 ×30× y²- 15×3.39× (31.5 – y) =0

$$y = 4.17$$
 cm

• Moment d'inertie :

$$I = \frac{1}{3}by^3 + nA'_s(d-y)^2 + nA_{st}(d-y)^2$$

$$nA'_s(d-y)^2=0$$

$$I = \frac{30 \times 4.17^{3}}{3} + 15 \times 3.39 \times (31.5 - 4.17)^{2} = 38706.49 \text{ cm}^{4}$$

Donc:

$$\sigma_{bc} = \frac{M_{ser} \times y}{I} = \frac{20.83 \times 10^6 \times 41.7}{38706.49 \times 10^4} = 2.24 MPa$$

$$\sigma_{bc}$$
=2.24MPa < $\overline{\sigma}_{bc}$ = 15MPaC.V

Sections	M(KN.m)	$A_s(cm^2)$	Y(cm)	I(cm ⁴)	σ _{bc} (MPa)	$\sigma_{bc} \leq \overline{\sigma}_{bc}$
Travée	10.41	3.39	4.17	38706.49	1.12	vérifié
Appui	20.83	3.39	4.17	38706.49	2.24	vérifié

Tableau III.8: Vérification a l'ELS de la poutre palière.

➤ Vérification de la flèche (BAEL 91(article B.6.5.1) [3]

$$\begin{cases} \frac{h}{l} \geq \frac{1}{6} \\ \frac{h}{l} \geq \frac{M_t}{10M_0} \\ \frac{A_s}{bd} \leq \frac{4.2}{f_e} \end{cases} \begin{cases} \frac{0.35}{2.9} = 0.12 \geq \frac{1}{16} = 0.0625 \dots C.V \\ \frac{0.35}{2.9} = 0.12 \geq 0.085 \dots C.V \\ \frac{1.57}{30 \times 31.5} = 0.0016 \leq \frac{4.2}{400} = 0.0105 \dots C.V \end{cases}$$

Donc pas de risque de flèche de la poutre palière.

III.4.3 Calcul la poutre palière à la torsion :

III.4.3.1 Armatures longitudinales:

D'après le BAEL 91[3], dans le cas de la torsion on remplace la section réelle (b × h) par une section creuse équivalente Ω d'épaisseur de la paroi(e = $\Phi/6$); car des expériences ont montrés que le noyau d'une section pleine ne joue aucun rôle dans l'état limite ultime de torsion. Le moment de torsion provoqué sur la poutre palière est transmis par la volée et le palier.

Avec:

M_{tor}: Correspond au moment engendré au niveau de l'appui B de l'escalier à L' ELU.

$$M_{tor} = \frac{L}{2} \times Ma = 22.84 \text{ KN.m.}$$

$$A_{tor} = \frac{M_{torsion} \times U \times \gamma_s}{2 \times \Omega \times f_e}$$

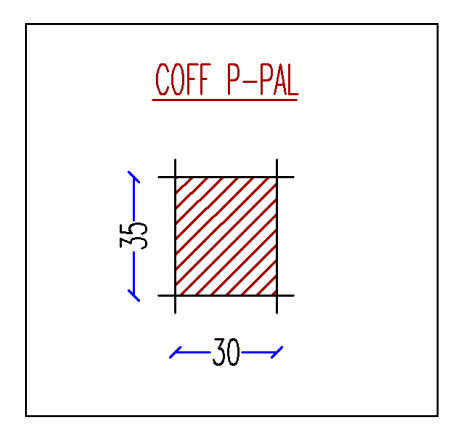


Figure III.11: Coupe de la poutre.

Avec:

 Ω : Air du contour tracé à mi-hauteur tel que : $\Omega = (b - e) \times (h - e)$

e : Épaisseur de la paroi avec : $e = \Phi/6$

 $\Phi = \min(b; h)$: Diamètre du cercle pouvant être inclus dans la section $(b \times h)$

$$\Phi = \min (30; 35) \longrightarrow \Phi = 30 \text{ cm}$$

$$e = 5 \text{ cm}$$

$$\Omega = 750 \text{ cm}^2$$

U=Périmètre de la section de la poutre palière :

$$U=2[(b-e)+(h-e)] \longrightarrow U=110 \text{ cm}$$

$$A_{tor} = \frac{22.84 \times 10^6 \times 1100 \times 1.15}{2 \times 75000 \times 400} = 481.54 \text{ mm}^2$$

$$A_{tor} = 4.82 \text{ cm}^2$$

***** Armatures transversales :

$$A_{tor} = \frac{M_{torsion} \times S_t}{2 \times \Omega \times f_e}$$

$$A_{tor} = \frac{22.84 \times 10^6 \times 150}{2 \times 75000 \times 400} = 57.1 \text{ mm}^2$$

$$A_{tor} = 0.57 \text{ cm}^2$$

Contrainte de cisaillement à la torsion :

$$\tau^{tor} = \frac{M_{torsion}}{2 \times \Omega \times e}$$

$$\tau^{tor} = \frac{22.84 \times 10^6}{2 \times 75000 \times 50} = 3.05 \text{ MPa}$$

On doit vérifier que :

$$\tau^{tor} = \overline{\tau}$$

Avec:

$$\tau_{\text{total}}^{\text{torsion}} = \sqrt{(\tau^{\text{flexion}})^2 + (\tau^{\text{torsion}})^2}$$

$$\tau_{total}^{torsion} = \sqrt{(0.63)^2 + (3.05)^2} = 3.11 MPa$$

***** Fissuration peu nuisible :

$$\overline{\tau}_u = min \ (\frac{0.2f_{c28}}{\gamma_h} \ ; \ 4MPa) = min \ (\ 3.33MPa \ ; \ 4MPa) = 3.33MPa$$

$$\overline{\tau}_{11}$$
=3.33MPa

$$\tau_u$$
=3.11MPa $\leq \overline{\tau}_u$ =3.33MPaC.V

Remarque:

Pas de risque de cisaillement, donc les armatures transversales ne sont pas nécessaires.

- **❖** Ferraillage globale:
- En travée :

$$A_t = A_t^{flexion} + \frac{A_t^{torsion}}{2} = 3.39 + \frac{4.82}{2} = 5.8 \text{cm}^2$$

On adopt $:A_t = 6HA12 = 6.79 \text{ cm}^2$

• Sur appuis :

$$A_t = A_t^{flexion} + \frac{A_t^{torsion}}{2} = 3.39 + \frac{4.82}{2} = 5.8 \text{ cm}^2$$

On adopt $:A_t = 8HA12 = 9.05cm^2$

III.4.3.2 Armature transversales:

$$A_t = A_t^{flexion} + A_t^{torsion}$$

• Flexion:

$$A_t \ge \frac{0.4 \times b \times S_t}{f_e} = \frac{0.4 \times 30 \times 15}{400} \longrightarrow A_t \ge 0.45 cm^2$$

$$A_t \geq \frac{b \times S_t \times \gamma_s(\tau_u - 0.3 f_{t28})}{0.9 f_e} = \frac{30 \times 15 \times 1.15(0.63 - 0.3 \times 2.1)}{0.9 \times 400} \qquad \qquad \blacktriangleright \quad A_t \geq 0$$

$$A_t = max (0.45; 0) = 0.45 cm^2$$

• Torsion:

$$A_t \ge \frac{0.4 \times e \times S_t}{f_e} = \frac{0.4 \times 5 \times 15}{400} \longrightarrow A_t \ge 0.075 \text{ cm}^2$$

$$A_t = \frac{22.84 \times 10^6 \times 150}{2 \times 75000 \times 400} = 57.1 \text{ mm}^2$$
 \longrightarrow $A_t = 0.57 \text{ cm}^2$

$$A_t = max (0.57; 0.075) = 0.57 cm^2$$

Donc :
$$A_t$$
= 0.45 + 0.57 =1.02 cm²

Soit un cadre et un étrier : A_t = 4HA8= 2.01 cm²

• Vérification des armatures longitudinales au cisaillement :

$$A_{tor} > \left(T_u + \frac{M_u}{0.9d}\right) \times \frac{\gamma_s}{f_e}$$

$$A_{tor} > \left(59.52 + \frac{14.38 \times 10^6}{0.9 \times 315}\right) \times \frac{1.15}{400} = 146 \text{ mm}^2 = 1.46 \text{ cm}^2$$

$$A_{tor} = 4.82 \text{cm}^2 > 1.46 \text{ cm}^2$$

III.4.4 Schéma de ferraillage :

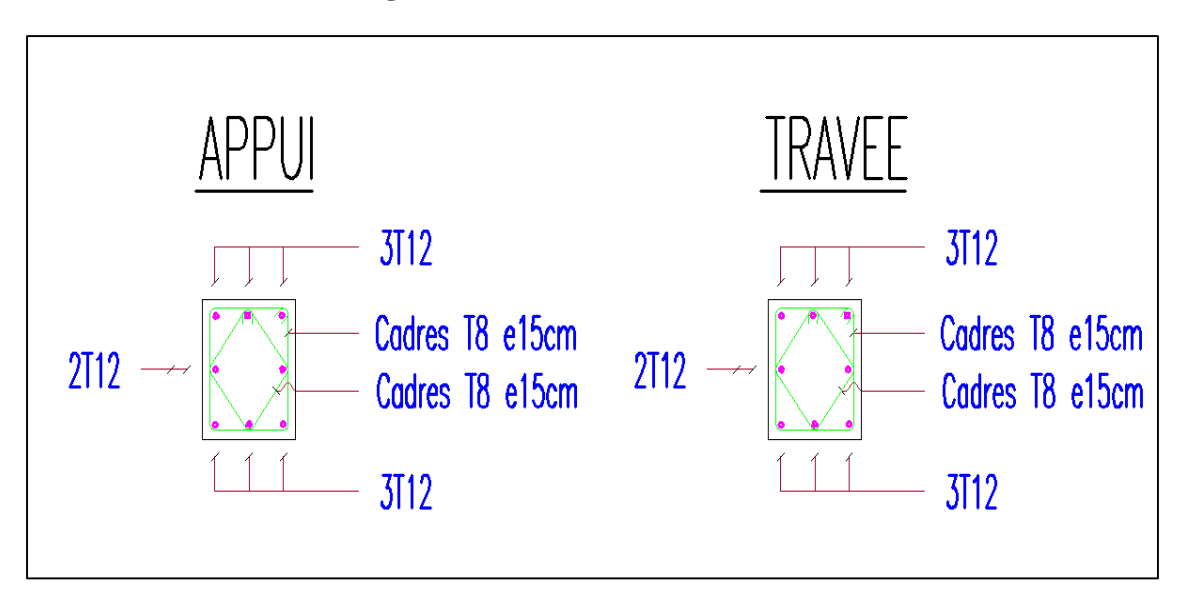


Figure III.12:Schéma de ferraillage de la poutre palière.

III.5 Balcon:

Le balcon est d'une dalle pleine encastré dans les poutres, il est calculé comme un consol ferraillé en flexion simple.

Le balcon est soumis à une charge permanents G (poids propre), charge concentrée à l'extrémité libre p (poids propre de garde –corps), et une charge d'exploitation Q.

Dans notre cas les balcons sont réalisés en dalles pleines d'épaisseur 15 cm. Selon les dimensions et les surcharges, nos balcons sont partiellement encastrés et se reposent sur trois appuis.

On a e = 15cm

$$L_x = 0.65$$
 $L_y = 4.80$

$$\rho = \frac{L_x}{L_v} = \frac{0.65}{4.8} = 0.14$$

 $\rho = 0.14 < 0.4$ La dalle travaille dans selon «L_x»

III.5.1 Evaluation des charges :

 $G = 5.38 \text{ KN/m}^2$

 $Q = 3.5 \text{ KN/m}^2$

Pour 1ml:

G = 5.38 KN/m

Q = 3.5 KN/m

P = 1KN

Le calcul peut se fait pour une bande de 1m.

III.5.2 Sollicitations:

Puisque le balcon est exposé aux intempéries, donc le calcul se fera à L'E.L.S.

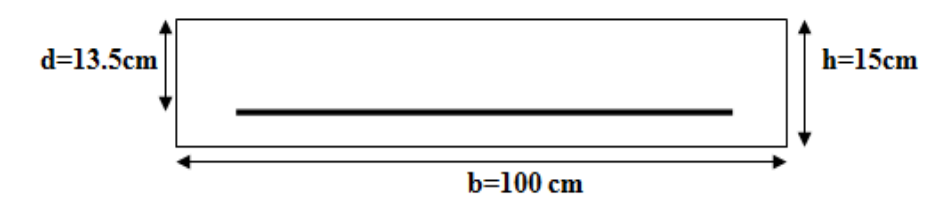


Figure III.13: Section théorique pour le ferraillage du balcon.

III.5.2.1 Combinaisons et sollicitations :

A) L'ELU:

$$\begin{aligned} &q_u = \ 1.35G + 1.5Q \\ &q_u = \ (\ 1.35 \times 5.38 + 1.5 \times 3.5\) \ = \ 12.51\ KN/ml \\ &P_u = \ 1.35G \\ &P_u = \ 1.35 \times 1 = 1.35\ KN/ml \end{aligned}$$

$$Mu = \frac{q_u \times L^2}{2} + P_u \times L$$

$$L = 0.65 M_u = \frac{12.51 \times 0.65^2}{2} + 1.35 \times 0.65 M_u = 3.52 \text{ KN. m}$$

$$Tu = q_u \times L + P_u$$

$$L = 0.65 \longrightarrow T_u = 12.51 \times 0.65 + 1.35 T_u = 9.48 \text{ KN}$$

B) L'ELS:

$$q_s = G + Q$$

 $q_s = 5.38 + 3.5 = 8.88 \text{ KN/ml}$
 $p_s = P$
 $p_s = 1 \text{ KN/ml}$

$$M_s = \frac{q_s \times L^2}{2} + p_s \times L$$

$$L = 0.65 \implies M_s = \frac{8.88 \times 0.65^2}{2} + 1 \times 0.65 \implies M_s = 2.53 \text{ KN. m}$$

$$T_s = qs \times L + Ps$$

$$L = 0.65 \quad \Longrightarrow \quad T_s = 8.88 \times 0.65 + 1 \quad \Longrightarrow \quad T_s = 6.77 \text{ KN}$$

III.5.3 Calcul de ferraillage:

> Calcul des armatures longitudinales :

Le calcul des armatures se fait à la flexion simple à L'ELU

$$\sigma_{\text{bu}} = \text{fbc} = (0.85. f_{\text{c28}}) / \gamma_{\text{b}} \gamma_{\text{b}} = 1.5$$

 0.85×25

$$\sigma_{bu} = \frac{0.85 \times 25}{1.5} = 14.16 \text{ MPa}$$

$$\sigma_{\rm s} = \frac{{\rm f_e}}{{\gamma_{\rm s}}} = \frac{400}{1.15} = 348 \ {\rm MPa}$$

 $b=1m / h=15cm / d=0.9 \times h= 13.5 cm$

$$\mu_u = \frac{\text{M}_u}{f_{bu}.b.d^2} = \frac{3.52 \times 10^6}{14.16 \times 1000 \times 135^2} \ = \ 0.014$$

 $0.014 \le 0.186 \Longrightarrow Pivot A$

 $0.014 \le 0.392 \Longrightarrow$ Les armatures comprimées ne sont pas nécessaires. \Longrightarrow $A'_s = 0$

$$\alpha = 1.25 \times (1 - \sqrt{1 - 2 \times 0.014}) = 0.018$$

$$Z = 135 \times (1 - 0.4 \times 0.018) = 134.03 \text{ cm}$$

$$A_s = \frac{Mu}{Z \times \sigma s} = \frac{3.52 \times 10^6}{134.03 \times 348} = 75.46 \text{ mm}^2 = 0.75 \text{ cm}^2$$

 $A_s = 0.75 \text{ cm}^2$

> Condition de non fragilité :

$$A_{min} = (0.23 \times b \times d \times f_{t28}) / f_e$$

$$A_{min} = 0.23 \times 100 \times 13.5 \times 2.1/400$$

$$A_{min} = 1.63 \text{ cm}^2.....$$
C.V

$$A_s = max (A_{cal}; A_{min})$$

$$A_s = max (0.75; 1.63)$$

$$A_s = 1.63 \text{ cm}^2$$

On prend **3HA12** ($A_s = 3.39 \text{ cm}^2$)

> Espacement maximal:

$$S_t \le min (3h; 33cm) = min (3 \times 15; 33) cm = 33 cm$$

> Armature de répartition :

-Sur appui :
$$A_{rep} = \frac{A_{ado}}{4} = \frac{3.39}{4} = 0.848 \text{ cm}^2$$
; on adopte : **3HA8** = **1.51 cm**²

Avec espacement de : $S_t \le Min (4 \times h; 45 cm)$

III.5.3.1Vérification de l'effort tranchant :

Contrainte tangentielle du béton :

• Fissuration non préjudiciable :

$$\overline{\tau}_{\rm u} = \min(0.2 \times f_{\rm c28}/\gamma_{\rm b}; 5MPA)$$

$$\begin{split} \overline{\tau}_u = & \min(0.2 \times 25/1.5 \; ; \; 5) MPA = & \textbf{3.33MPa} \\ V_u = & q \times 1.l = 12.51 \times 0.65 \Longrightarrow \qquad \textbf{V}_u = \textbf{8.13 KN} \\ \tau_u = & \frac{V_u}{b.d} = \frac{8.13}{1 \times 13.5} = & 0.6 \text{ MPa} \\ \tau_u = & 0.6 \text{ MPA} < \overline{\tau}_u = & 3.33 \text{ MPa}. & \text{C.V} \end{split}$$

III.5.3.2 Vérification à E.L.S:

On vérifie que :
$$\sigma_b = \frac{M_s \times y}{1} \le \overline{\sigma}_b = 0.6 f_{c28}$$

$$\overline{\sigma}_{bc} = 0.6 f_{c28}$$

$$\overline{\sigma}_{bc} = 0.6 \times 25 = 15 \text{MPa}$$

$$\overline{\sigma}_{bc} = 15MPa$$

La position de l'axe neutre :

$$\frac{1}{2}$$
by²+n(y - d')A'_s- nA_{st}(d - y)=0

$$n(y - d')A'_{s} = 0$$

$$\frac{1}{2} \times 100 \times y^2 - 15 \times 3.39 \times (13.5 - y) = 0$$

$$y = 3.23$$

Détermination du moment d'inertie :

$$I = \frac{1}{3}by^{3} + nA'_{s}(d - y)^{2} + nA_{st}(d - y)^{2}$$

y : distance de l'axe neutre a la fibre la plus comprimée.

I: moment d'inertie.

$$n = 15$$

$$nA'_s(d-y)^2=0$$

$$I_t = \frac{100 \times 3.23^3}{3} + 15 \times 3.39(13.5 - 3.23)^2 = 6486.6 \text{ cm}^2$$

$$\sigma_b = \frac{2.53 \times 10^6 \times 32.3}{6486.6 \times 10^4} = 1.26 \text{ MPa}$$

$$\sigma_b$$
=1.26Mpa $< \overline{\sigma}_{bc}$ = 15MPaC.V

Il n'ya pas risque de fissuration du béton en compression.

III.5.3.3 Vérification de la flèche (BAELB..6.5.1) [3] :

La vérification de la flèche n'est pas nécessaire si les conditions suivantes sont vérifiées :

Les trois conditions de la flèche sont vérifier donc le calcul de la flèche ne s'impose pas.

III.5.4 Schéma du ferraillage :

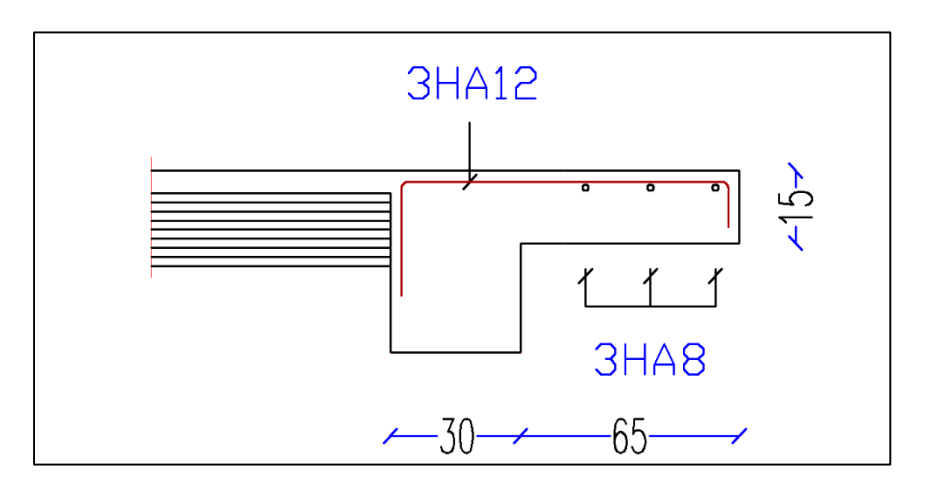


Figure III.14Schéma de ferraillage du balcon.

III.6.LES PLANCHERS:

III.6.1. Généralité :

Les planchers sont les aires ou les surface planes séparant les étages d'une structure et supportant les charges d'exploitation, les charges de revêtement ainsi que leur poids propre. Pour notre cas d'étude, on a opté pour des planchers à corps creux du fait de leurs performances en matière d'isolation thermique et phonique. Cette solution, très communément employée dans les bâtiments, consiste à utiliser des corps creux, ces dernières sont liées et supportées par des nervures coulées sur place ou bien préfabriquées. La nervure est calculée comme une section en T soumise à la flexion simple.

III.6.2. Evaluation des charges appliquées à chaque nervure :

a. Plancher terrasse: (terrasse inaccessible):

G_{terrasse} = 6.48 KN/
$$m^2$$
 → g = 6.48 × 0.65 = 4.212 KN/ m^2
Q_{terrase} = 1 KN/ m^2 → q= 1 × 0.65 = 0.65 KN/ m^2

b. Plancherétage courant :

$$G_{\text{\'etage courant}} = 5.38 \text{ KN/}m^2$$
 $\rightarrow g = 5.38 \times 0.65 = 3.497 \text{ KN/}m^2$
 $Q_{\text{\'etage courant}} = 1.5 \text{ KN/}m^2$ $\rightarrow q = 1.5 \times 0.65 = 0.975 \text{ KN/}m^2$

III.6.3. Les combinaisons d'action:

\$ E.L.U : $p_u = 1.35g + 1.5q$

$$\clubsuit$$
 E.L.S : $p_{ser} = g + q$

Tableau: Les combinaisons d'action

Désignation	Terrasse inaccessible	Étage courant
ELU	6.661	6.183
ELS	4.862	4.45

III.6.4. Type et Position des poutrelles :

III.6.4.1. Différents types de poutrelles :

Dans le cas de notre projet on plusieurs types de poutrelles a étudiées :

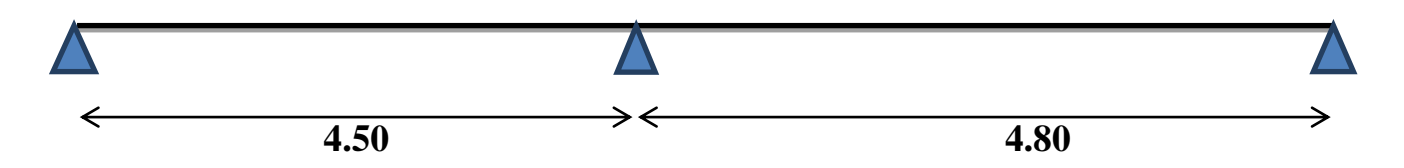
• Plancher étage courant :

On a 2 types de poutrelles :

Type 1 : poutrelle sur 6 appuis a 5 travées :



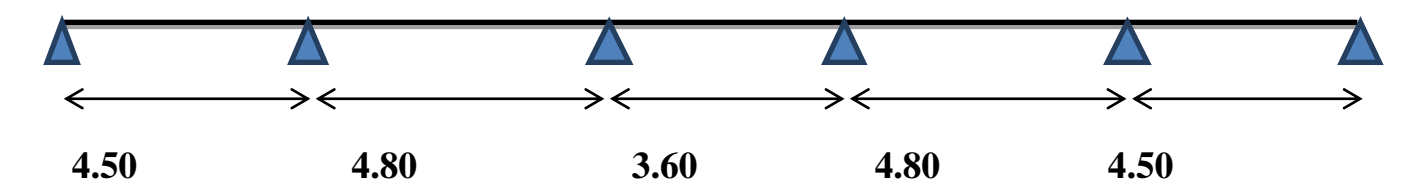
Type 2 : poutrelle sur 3 appuis a 2 travées :



• Plancher terrasse inaccessible :

ON a 1 type de poutrelle:

Type 1 : poutrelle sur 6 appuis a 5 travées :



III.6.4.2. Choix de la méthode de calcul des sollicitations dans les poutrelles :

Les poutrelles sont calculées comme des poutres continues soumises à la flexion simple et au cisaillement, pour cela il existe deux méthodes de calcul, la méthode Forfaitaire et la méthode de Caquot.

III.6.4.3.Méthode forfaitaire (annexe E.1 du BAEL 91/99) :

- Conditions d'application (Article .B6.2.210)
- Cette méthode s'applique si les conditions suivantes sont satisfaites :
- a. Plancher à surcharge modérée $Q \le \min(5KN/m2; 2G)$;
- b. le rapport entre deux portées successives doivent satisfaire la condition ; $0.8 \le (\text{Li/Li+1}) \le 1$
- c. la fissuration doit être est peu nuisible (F.P.N) (élément qui n'est pas en contact avec les intempéries);
- d. . Les moments d'inertie des sections transversales sont les mêmes dans les différentes travées en continuité (I = Constant).

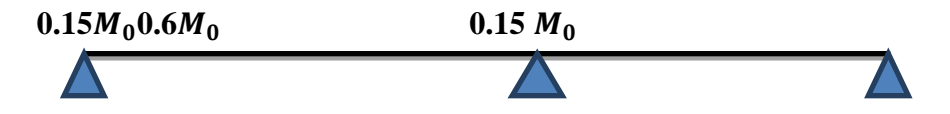
Remarque:

- ➤ Si la première condition n'est pas vérifiée cela signifie que c'est un plancher a surcharge élevée, donc nous appliquons « la méthode de Caquot »
- ➤ Si la première condition est vérifiée mais la seconde, la troisième ou la quatrième condition ne sont pas vérifiées, nous appliquons « la méthode de Caquot minorée ».

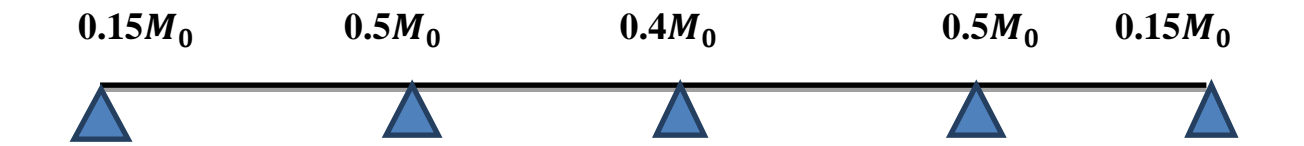
Exposée de la méthode: Soit une poutre continue soumise à une charge q . Et Soit : $\alpha = \frac{Q}{(G+Q)}$ avec α : Coefficient traduit l'importance.

> Moment appuis :

- ✓ **Sur les Appuis de rive** : les moments sont nuls cependant on les ferraille (aciers de fissuration) avec une quantité d'acier équilibrant un moment égale : (-0,15*M*0).
- ✓ **Appuis intermédiaires** : Poutres à deux travées : Les moments sont de l'ordre de (-0.6*M*0)



Poutres à plus de deux travées :



Ces moments sont de l'ordre de :

- **-** (- 0.5*M*0) : Pour les appuis voisins de l'appui de rive.
- (-0,4M0) : Pour les autres appuis intermédiaires.

Tel que:

 M_0 : Le maximum des deux moments isostatique encadrant l'appui considéré.

$$M_0 = \frac{ql^2}{8}$$

> Moment en Travées :

Les moments en travée sont déterminés à partir des deux conditions suivantes :

a)
$$M_t + \frac{(M_d + M_g)}{2} \ge \max \begin{cases} 1.05 M_0 \\ (1 + 0.3\alpha) M_0 \end{cases}$$

b)
$$\begin{cases} &M_t \geq \frac{(1+0.3\alpha)M_0}{2} \quad \text{Dans une trav\'ee d'interm\'ediaire} \\ &M_t \geq \frac{(1.2+0.3\alpha)M_0}{2} \quad \text{Dans une trav\'ee de rive} \end{cases}$$

 M_t : Est le maximum entre (1) et (2).

 M_0 : Moment isostatique de la travée considérée

Evaluation des efforts tranchants:

Les efforts tranchants sont évalués soit forfaitairement en supposant la discontinuité entre les travées, dans ce cas les efforts tranchants hyperstatiques sont confondue même avec les efforts tranchants isostatiques sauf pour les premiers appuis intermédiaires (voisin de rive)

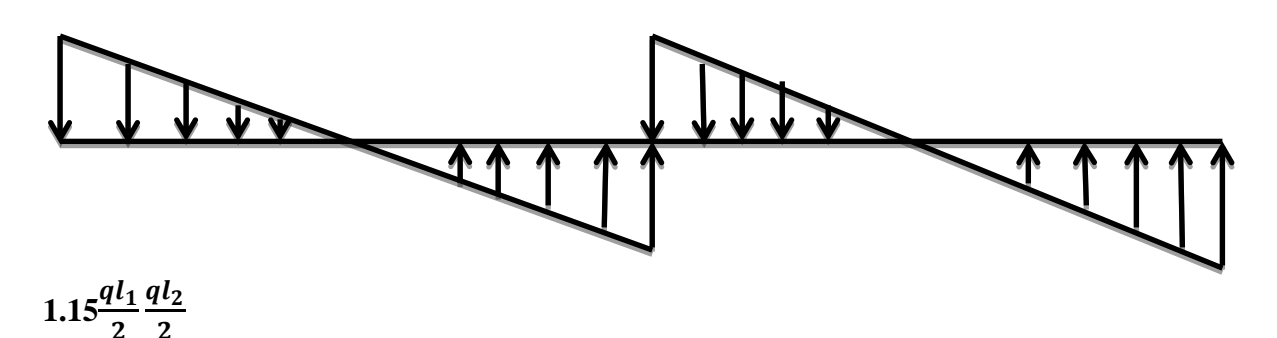
L'effort tranchant isostatique doit être majoré de:

- 15 % s'il s'agit d'une poutre deux travées.
- 10 % s'il s'agit d'une poutre plus de deux travées.

Soit par la méthode RDM:

Compte tenu de la continuité : $V_u = V_{u0}$ (isostatique) + $((M_i - M_{i-1})/L_i)$





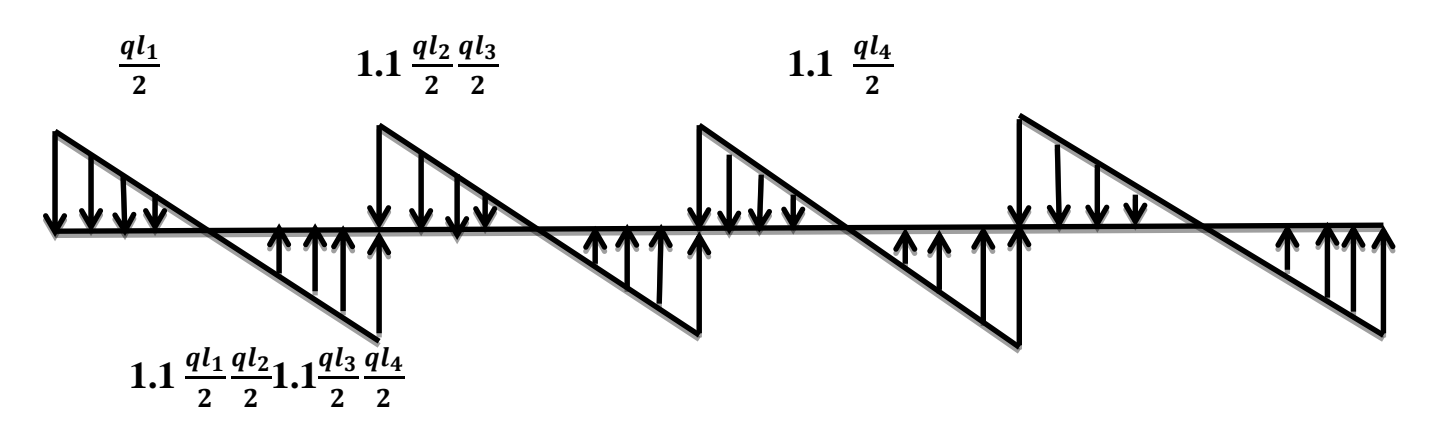


Figure III.15: Evaluation des efforts tranchants.

Application:

- a) Plancher à surcharge modérée : $Q \le min(2G; 5) / KN / m^2$.
- ✓ Plancher terrasse inaccessible : $G = 6.48 \text{ KN/}m^2$

✓ Plancher étage courant : $G = 5.38 \text{ KN}/m^2$

- b) Fissuration peu préjudiciable.
- c) Le moment d'inertie est constant sur tout le long de la travée.
- d) Le rapport $0.8 \le \frac{L_i}{L_{i+1}} \le 1.25$:

$$\begin{cases}
0.8 \le \frac{4.50}{4.80} \le 1.25 & \text{CV} \\
0.8 \le \frac{4.80}{3.60} \le 1.25 & \text{CNV}
\end{cases}$$

Remarque: les conditions d'application ne sont pas vérifié on utilise la méthode de Caquot minorée.

III.6.4.4.Méthode de Caquot minoré:

Cette méthode consiste à calculer les moments au niveau des appuis avec la méthode de Caquot mais en remplaçant la charge permanente G par une charge permanente minorée $G' = \frac{2}{3}G$

Remarque:

Pour le calcul des moments max en travée, nous utilisons la charge permanente réelle G.

Application de la méthode de Caquot minorée :

1. Terrasse inaccessible:

Lacharge permanente $G = 6.48 \text{ KN/}m^2\text{La}$ surcharge d'exploitation $Q = 1 \text{ KN/}m^2$

$$G' = \frac{2}{3} \times (G) = \frac{2}{3} \times (6.48)$$

$$G' = 4.32 \text{ KN/}m^2$$

✓ À l'ELU

$$p_{u}' = 1.35\text{G}' + 1.5\text{Q}$$

 $p_{u}' = 1.35 \times (4.332) + 1.5 \times (1)$
 $p_{u}' = 7.332 \text{ KN/}m^2$
 $q_{u}' = p_{u}' \times 0.65 \Rightarrow 7.332 \times 0.65 = 4.77 \text{ KN/}m^2$
 $p_{u} = (1.35G + 1.5Q) \times 0.65$
 $p_{u} = (1.35 \times 6.48 + 1.5 \times 1) \times 0.6 = 6.66 \text{ KN/}m^2$
 $\checkmark \text{ À L'ELS}$
 $p_{s}' = G' + \text{Q} \Rightarrow p_{s}' = 4.32 + 1$
 $p_{s}' = 5.32 \text{ KN/}m^2$
 $q_{s}' = p_{s}' \times 0.65 = 5.32 \times 0.65 = 3.45 \text{ KN/}m^2$
 $p_{s} = (6.48 + 1) \times 0.65$

$$p_s = 4.862 \text{ KN/}m^2$$

Les charges reprises par la poutrelle sont résumées comme suit :

Tableau: les chargements sur les poutrelles

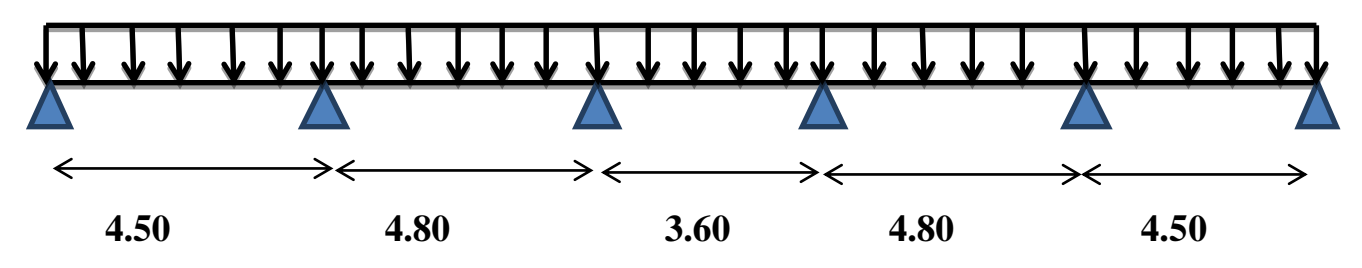
			ELU	ELS
DESIGNATION	G ′	Q	1.35 <i>G</i> ′+1.5 <i>Q</i> ′	G'+Q

	(KN/m^2)	(KN/m^2)	$p_{u}{}'$	$q_u'0.65 \times p_u'$	$p_{s}{}'$	$q_s'0.65 \times p_s'$
			(KN/m^2)	(KN/m^2)	(KN/m^2)	(KN/m^2)
Terrasse inaccessible (16+4)	4.32	1	7.332	4.77	5.32	3.45

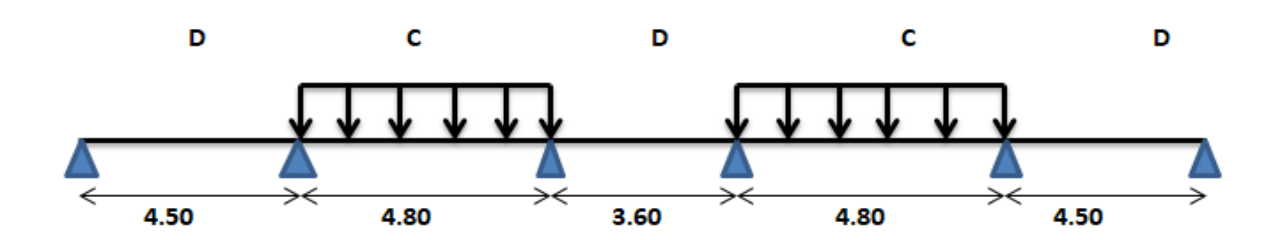
• Calcul les moments et les efforts tranchants : (terrasse inaccessible)

Pour calculer les moments max sur appuis et sur travée on trois type de combinaison de charge :

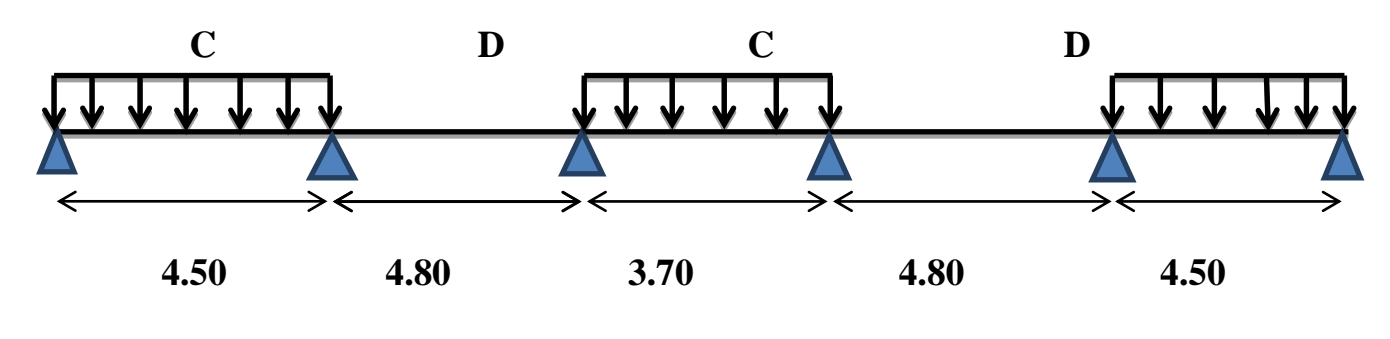
Cas 01 : CCCCC : CCCCC



Cas 02: DCDCD:



Cas 03: CDCDC:



Avec:

En ELU :
$$C = 1.35G + 1.5Q$$
; $D = 1.35G$

En ELS :
$$C = G + 1.5Q$$
; $D = G$

Pour chaque cas on fait le calcul en ELU et en ELS des moments sur appuis et sur travée enfin on prend le maximum des moments (courbes enveloppe).

A titre d'exemple on prend le cas 1 pour expliquer la méthode de calcul des moments sur appuis par la méthode de Caquot minoré et les moments en travée par la méthode de Caquot :

✓ L'ELU:

• Moment sur appuis :

Moment de rive :

$$M_1 = -0.15 \frac{q l^2}{8} = -1.81 \, KN. m$$

$$M_1 = -0.15 \frac{ql^2}{8} = -1.81 \, KN. m$$
 ; $M_6 = -0.15 \, \frac{ql^2}{8} = -1.81 \, KN. m$

Moment intermédiaires :

$$M_2 = \frac{{q_g}' \times {l_g}'^3 + {q_d}' \times {l_d}'^3}{8.5({l_g}' + {l_d}')}$$

$$M_2 = -\frac{4.77 \times 4.50^3 + 4.77(4.80 \times 0.8)^3}{8.5(4.5 + 4.80 \times 0.8)}$$

$$M_2 = -9.93 \ KN.m$$

$$M_3 = -\frac{4.77 \times 3.84^3 + 4.77 \times 2.88^3}{8.5(3.84 + 2.88)}$$

$$M_3 = -6.72 \ KN.m$$

$$M_4 = -\frac{4.77 \times 2.88^3 + 4.77 \times 3.84^3}{8.5(2.88 + 3.72)}$$

$$M_4 = -6.72 \, KN/m$$

$$M_5 = -\frac{4.77 \times 3.84^3 + 4.77 \times 4.50^3}{8.5(3.84 + 4.5)}$$

$$M_5 = -9.93 \, KN. \, m$$

• Moment en travée :

$$M_{(x)} = M_{0(x)} + M_g \left(1 - \frac{x}{l}\right) + M_d \times \frac{x}{l}$$

$$M_{(x)} = \frac{p_{ux}}{2}(L - x) + M_g\left(1 - \frac{x}{l}\right) + M_d \times \frac{x}{l}$$

Travée (1):

$$M_{(x)} = \frac{6.66x}{2} (4.50 - x) - 1.81 \left(1 - \frac{x}{4.5} \right) - 9.93 \times \frac{x}{4.5}$$

$$M_{(x)} = 14.98x - 3.33x^2 - 1.81 + 0.40x - 2.20x$$

$$M_{(x)} = -3.33x^2 + 13.18x - 1.81$$

$$\frac{dM}{dx} = -6.66x + \rightarrow 13.18x = 1.98m$$

$$M_{(t)} = 11.23 \, KN$$

Travée (2):

$$M_{(x)} = \frac{6.66_x}{2} (4.80 - x) - 9.93 \left(1 - \frac{x}{4.80} \right) - 6.72 \times \frac{x}{4.80}$$
$$M_{(x)} = -3.33x^2 + 15.98x - 9.93 + 2.06x - 1.4x$$

$$M_{(x)} = -3.33x^2 + 16.62x - 9.93$$

$$\frac{dM}{dx} = -6.66x + 16.62 \rightarrow x = 2.49m$$

$$M_{(t)} = 10.89 \, KN$$

Travée (3):

$$M_{(x)} = \frac{6.66x}{2} (3.60 - x) - 6.72 \left(1 - \frac{x}{3.60} \right) - 6.72 \frac{x}{3.70}$$

$$M_{(x)} = -3.33x^2 + 12.00x - 6.72 + 1.86x - 1.86x$$

$$\frac{dM}{dx} = -6.66x + 12.00 \rightarrow x = 1.80m$$

$$M_{(t)} = 4.07 \ KN$$

Travée (4):

$$M_{(x)} = \frac{6.66x}{2} (4.80 - x) - 6.72(1 - \frac{x}{4.80}) - 9.93 \frac{x}{4.80}$$

$$M_{(x)} = -3.33x^2 + 15.98x - 6.72 + 1.4x - 2.06x$$

$$\frac{dM}{dx} = -6.66x + 15.34 \rightarrow x = 2.30m$$

$$M_{(t)} = 10.89 KN$$

Travée (5):

$$M_{(x)} = \frac{6.66x}{2}(4.50 - x) - 9.93\left(1 - \frac{x}{4.50}\right) - 1.81\frac{x}{4.50}$$
$$M_{(x)} = -3.33x^2 + 14.98x - 9.93 + 2.206x - 0.402x$$

$$\frac{dM}{dx} = -6.66x + 16.78 \rightarrow x = 2.51$$
m

$$M_{(t)} = 11.23 \, KN$$

• Calcul les efforts tranchants : L'évaluation des efforts tranchant est donnée par l'expression suivante :

$$V_i = \pm q_u \times \frac{l}{2} - \frac{M_g - M_d}{l}$$

Travée (1-2):

$$V_{1-2} = 6.66 \times \frac{4.50}{2} - \frac{(-9.93) - (-1.81)}{4.50}$$

$$V_{4.50} = -16.79 \text{ KN. m}$$

$$V_0 = 13.18 \text{ KN. m}$$

Travée (2-3):

$$V_{2-3} = 6.66 \times \frac{4.80}{2} - \frac{(-6.72) - (-9.93)}{4.80}$$

$$V_{4.80} = -15.49 \text{ KN. m}$$

$$V_0 = 16.66 \text{ KN. m}$$

Travée (3-4):

$$V_{3-4} = 6.66 \times \frac{3.60}{2} - \frac{(-6.72) - (-9.93)}{3.60}$$
$$V_{3-4} = -11.99 \text{ KN. m}$$

V = 11.99 KN

Travée (4-5):

$$V_{4-5} = 6.66 \times \frac{4.80}{2} - \frac{(-9.93) - (-6.72)}{4.80}$$
$$V_{4-5} = -16.66 \, KN$$

V = 15.49

Travée (5)

$$V_5 = 6.66 \times \frac{4.50}{2} - \frac{(-1.81) - (-9.93)}{4.50}$$

 $V_5 = 13.18$

V = -16.79KN

b. Cas 02: DCDCD

Travée	Travée 01	Travée 02	Travée 03	Travée 04	Travée 05
Portée L (m)	4.50	4.80	3.60	4.80	4.50
Charge permanente g (KN/m)	4.212	4.212	4.212	4.212	4.212
Charge exploitation q (KN/m)	0.65	0.65	0.65	0.65	0.65
Portée fictive L_0 (m)	4.50	3.84	2.88	3.84	4.50
Chargée C 1.35 <i>g</i> ′+1.5q (KN/m)	4.77	4.77	4.77	4.77	4.77
Déchargée D 1.35 $g'(KN/m)$	3.79	3.79	3.79	3.79	3.79
Ma (KN m)	-2.53	-8.68	-6.31 -6.	31 -8.68	-2.53
X_M (m)	2.01	2.47	1.80	2.33	2.49

c. Cas 03: CDCDC:

Travée	Travée 01	Travée 02	Travée 03	Travée 04	Travée 05
Portée L (m)	4.50	4.80	3.60	4.80	4.50
Charge permanente q (KN/m)	4.212	4.212	4.212	4.212	4.212
Charge exploitation q (KN/m)	0.65	0.65	0.65	0.65	0.65
Portée fictive L_0 (m)	4.50	3.84	2.88	3.84	4.50
Chargée C 1.35 <i>g</i> ′ + 1.5 <i>q</i> (KN/m)	4.77	4.77	4.77	4.77	4.77

Déchargée D 1.35g' (KN/m)	3.79 3.79			3.79		3.79	3.79
Ma (kN/m)	-1.81	-9.15	-5.7	75	-5.75	-9.15	-1.81
X m	2.00	2.50		1.8	85	2.30	2.50

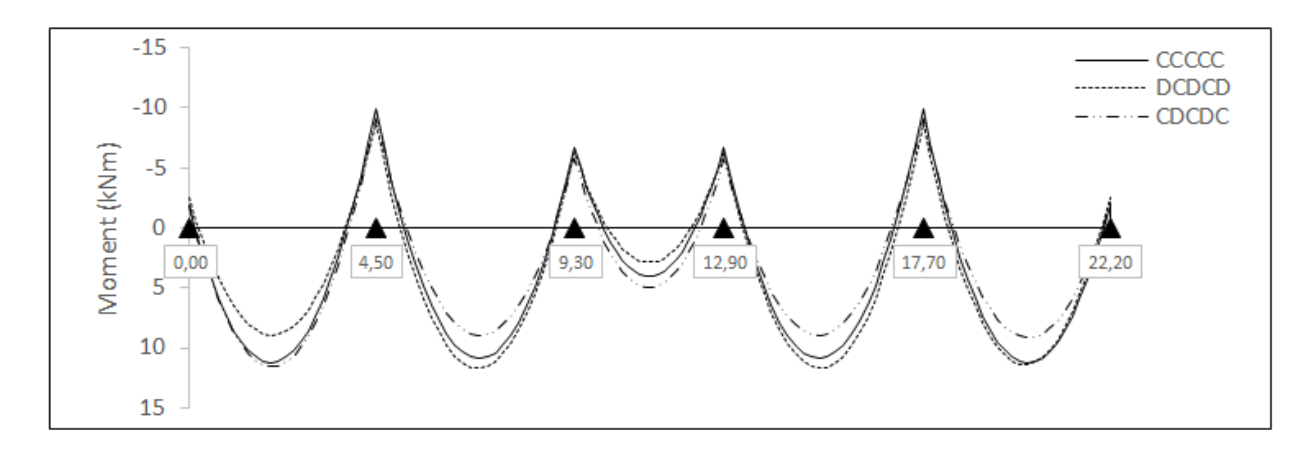


Figure III.16: Courbe des moments poutrelle (terrasse) en ELU

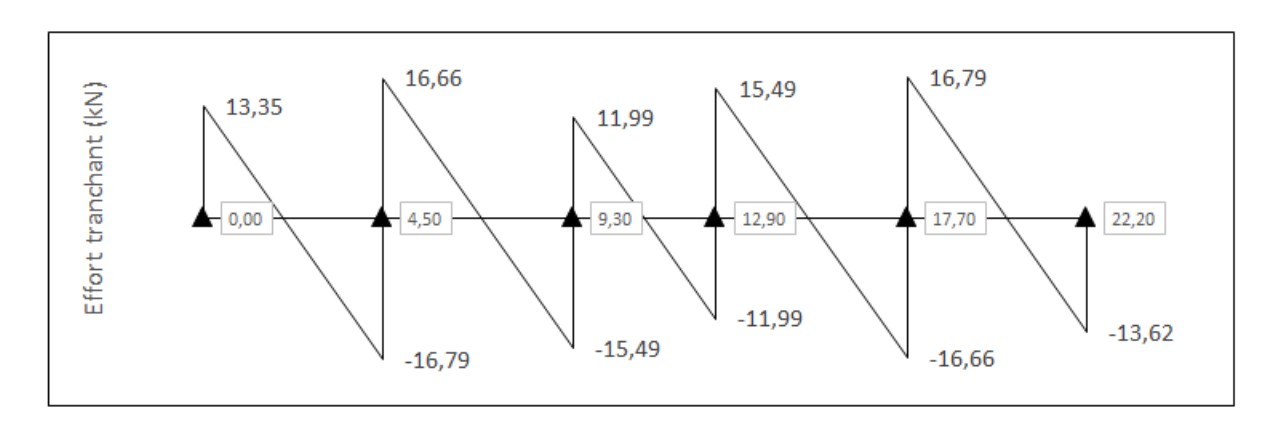


Figure III.17 :Courbe des efforts tranchants poutrelle (terrasse) en ELU

✓ ELS:

a. Cas 01 : CCCCC :

• Moment sur appuis :

Appuis de rive:

$$M_1 = -0.15 \times \frac{{q_l}^2}{2}$$

$$M_1 = -0.15 \times \frac{3.45 \times 4.50^2}{8}$$
 ; $M_6 = -0.15 \times \frac{3.45 \times 4.50^2}{8}$

$$M_1 = -1.31 \; KN. \, m$$
 ; $M_6 = -1.31 \; KN. \, m$

Appuis s intermédiaires :

$$M_2 = -\frac{{p_g}'{l_g}'^3 + {p_d}'{l_d}'^3}{8.5({l_q}' + {l_d}')}$$

$$M_2 = -\frac{3.45 \times 4.50^3 + 3.45 \times (4.80 \times 0.8)^3}{8.5(4.50 + 3.84)}$$

$$M_2 = -7.21 \, KN. \, m$$

$$M_{3} = -\frac{3.45 \times 3.84^{3} + 3.45 \times 2.88^{3}}{8.5(3.84 + 2.88)}$$

$$M_{3} = -4.87 \text{ KN. } m$$

$$M_{4} = -\frac{3.45 \times 2.88^{3} + 3.45 \times 3.84^{3}}{8.5(2.88 + 3.84)}$$

$$M_{4} = -4.87 \text{ KN. } m$$

$$M_{5} = -\frac{3.45 \times 3.84^{3} + 3.45 \times 4.50^{3}}{8.5(3.84 + 4.50)}$$

$$M_{5} = -7.21 \text{ KN. } m$$

• Moment sur travée :

$$M_{(x)} = M_0(x) + M_g \left(1 - \frac{x}{L} \right) + M_d \frac{x}{L}$$

$$M_{(x)} = \frac{p_x}{2} (L - x) + M_g \left(1 - \frac{x}{L} \right) + M_d \frac{x}{L}$$

Travée (1):

$$M_{(x)} = \frac{4.86x}{2}(4.50 - x) - 1.30\left(1 - \frac{x}{4.50}\right) - 7.20\frac{x}{4.50}$$

X = 1.96 m

$$M_{(x)} = 8.04 \ KN$$

Travée (2):

$$M_{(x)} = \frac{4.86x}{2} (4.80 - x) - 7.21 \left(1 - \frac{x}{4.80} \right) - 4.87 \frac{x}{4.80}$$

$$X = 2.50 \text{ m}$$

$$M_{(x)} = 7.99 \, KN$$

Travée (3):

$$M_{(x)} = \frac{4.86x}{2}(3.60 - x) - 4.87\left(1 - \frac{x}{3.60}\right) - 4.87\frac{x}{3.60}$$

X = 1.80 m

$$M_{(x)} = 3.00 \, KN$$

Travée (4):

$$M_{(x)} = \frac{4.86x}{2} (4.80 - x) - 4.87 \left(1 - \frac{x}{4.80} \right) - 7.20 \frac{x}{4.80}$$

X = 2.30 m

$$M_{(x)} = 7.99 \, KN$$

Travée (5):

$$M_{(x)} = \frac{4.86x}{2} (4.50 - x) - 7.20 \left(1 - \frac{x}{4.50} \right) - 1.30 \frac{x}{4.50}$$

X = 2.52 m

$$M_{(x)} = 8.22 \, KN$$

Effort tranchant:

$$V_i = \pm q_u \times \frac{l}{2} - \frac{M_g - M_d}{l}$$

Travée (1):

$$V_1 = \pm 4.86 \times \frac{4.50}{2} - \frac{-7.20 + 1.30}{4.50}$$

V = -12.24

V = 9.74

Travée (2):

$$V_2 = \pm 4.86 \times \frac{4.80}{2} - \frac{-4.87 + 7.21}{4.80}$$

V = -11.30 ; V = 12.13

Travée (3):

$$V_3 = \pm 4.86 \times \frac{3.60}{2} - \frac{-4.87 + 4.87}{3.70}$$

V = -8.75 ; V = 8.75

Travée (4):

$$V_4 = \pm 4.86 \times \frac{4.80}{2} - \frac{-7.21 + 4.87}{4.80}$$

V = -12.14 ; V = 11.30

Travée (5):

$$V_5 = \pm 4.86 \times \frac{4.50}{2} - \frac{-1.30 + 7.21}{4.50}$$

V = -9.62 ; V = 12.25

b. Cas 02 : DCDCD :

Travée 01	Travée 02		ravée	e 03 Travée 04		vée 04	Travée 05				
4.50	4.80	3.	3.60		3.60		4.80		4.8	0	4.50
4.212	4.212		4.212 4		4.212		4.212				
0.65	0.65).65 0		0.65		0.65				
4.50	3.84	2.	.96 3.		3.84		4.50				
3.45	3.45		3.45		3.45		3.45				
2.81	2.81	2	2.81		2.81		2.81				
4.86	4.86	4	4.86 4		4.8	6	4.86				
4.21	4.21	4	.21		4.2	1	4.21				
-1.85	-6.37	-4.60	0	-4.60		-6.37	-1.85				
2.01	2.48	I	1.80)		2.33	2.49				
6.67	8.53	8.53		2	1	8.53	6.67				
	4.50 4.212 0.65 4.50 3.45 2.81 4.86 4.21 -1.85 2.01	4.50 4.80 4.212 4.212 0.65 0.65 4.50 3.84 3.45 3.45 2.81 2.81 4.86 4.86 4.21 4.21 -1.85 -6.37 2.01 2.48	4.50 4.80 3 4.212 4.212 4 0.65 0.65 0 4.50 3.84 2 3.45 3.45 3 2.81 2.81 2 4.86 4.86 4 4.21 4.21 4 -1.85 -6.37 -4.60 2.01 2.48	4.50 4.80 3.60 4.212 4.212 4.212 0.65 0.65 0.65 4.50 3.84 2.96 3.45 3.45 3.45 2.81 2.81 2.81 4.86 4.86 4.86 4.21 4.21 4.21 -1.85 -6.37 -4.60 2.01 2.48 1.80	4.50 4.80 3.60 4.212 4.212 4.212 0.65 0.65 0.65 4.50 3.84 2.96 3.45 3.45 3.45 2.81 2.81 2.81 4.86 4.86 4.86 4.21 4.21 4.21 -1.85 -6.37 -4.60 -4.60 2.01 2.48 1.80	4.50 4.80 3.60 4.8 4.212 4.212 4.212 4.2 0.65 0.65 0.65 0.6 4.50 3.84 2.96 3.8 3.45 3.45 3.45 3.4 2.81 2.81 2.81 2.8 4.86 4.86 4.86 4.8 4.21 4.21 4.2 -1.85 -6.37 -4.60 -4.60 2.01 2.48 1.80 3.8	4.50 4.80 3.60 4.80 4.212 4.212 4.212 4.212 0.65 0.65 0.65 0.65 4.50 3.84 2.96 3.84 3.45 3.45 3.45 3.45 2.81 2.81 2.81 2.81 4.86 4.86 4.86 4.86 4.21 4.21 4.21 4.21 -1.85 -6.37 -4.60 -4.60 -6.37 2.01 2.48 1.80 2.33				

c. Cas 03: CDCDC:

Travée	Travée 01	Travée 02	Travée 03	Travée 04	Travée 05
Ma	-1.31	-6.69	-4.23	-6.69	-1.31

X	2.00	2.51	1.80	2.30	2.50
Mt	8.45	6.70	3.65	6.70	8.45

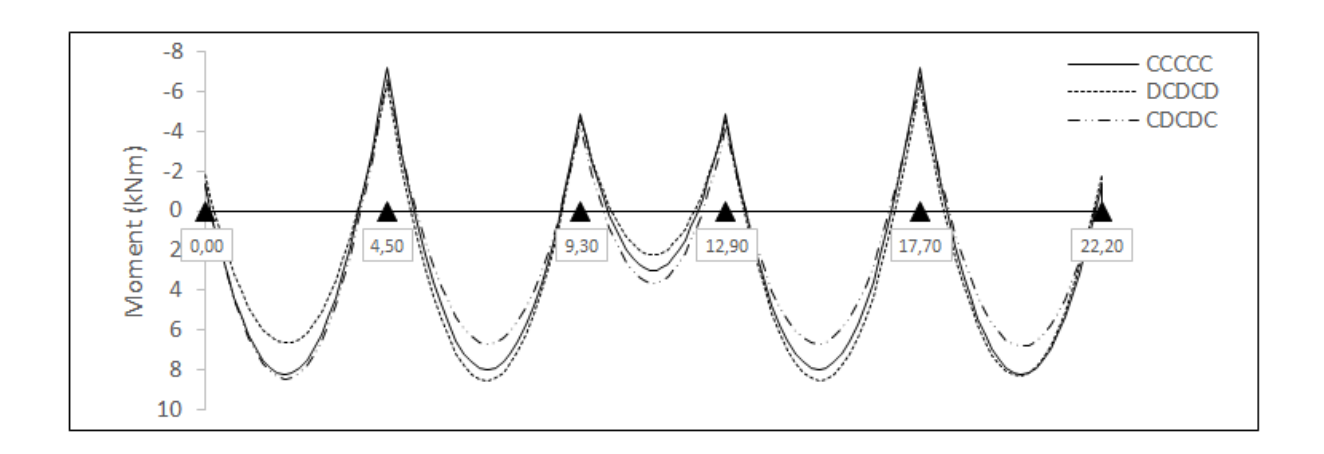


Figure III.18 :Courbe des moments poutrelle (terrasse) en ELS

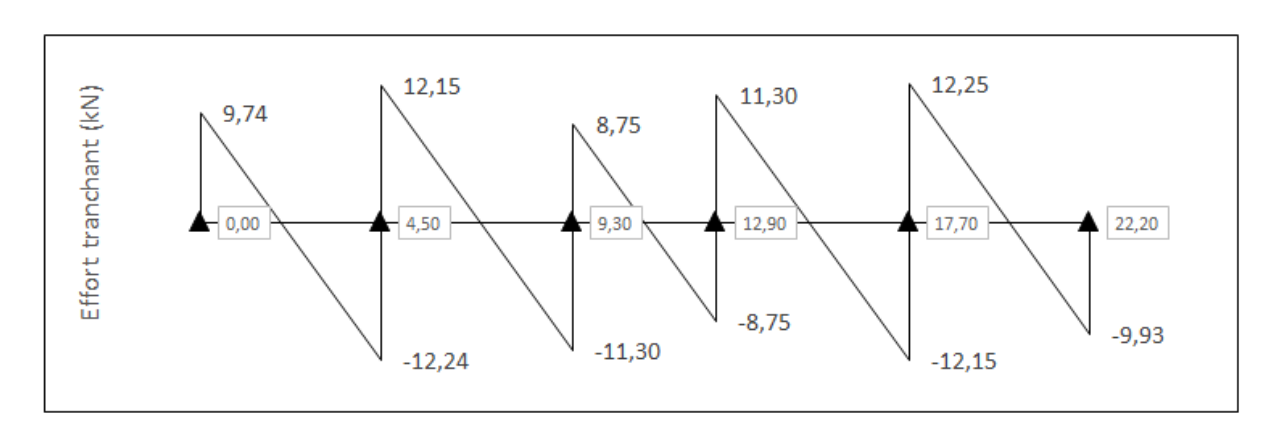


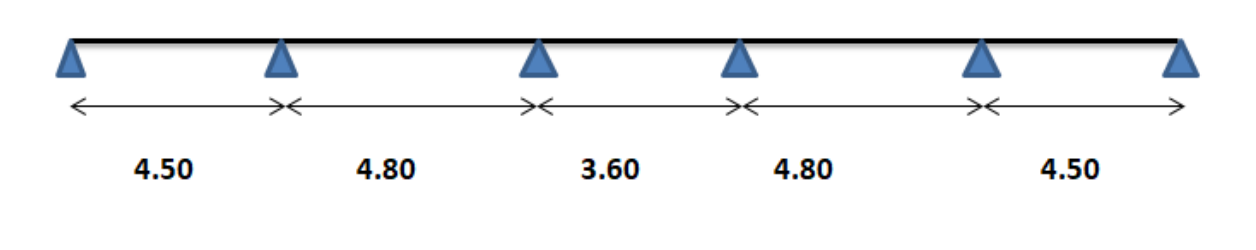
Figure III.19: Courbe des efforts tranchants poutrelle (terrasse) en ELS.

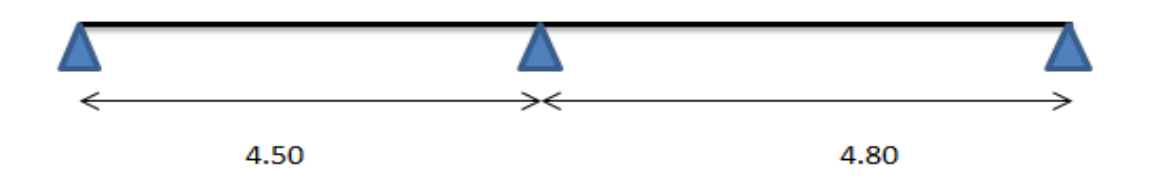
2) Etage courant:

On a deux types:

Type 01 : 5 travée et 6 appuis

Type 02 : 2 travée et 3 appuis





Calcul les combinaisons des charges :

La charge permanent : $G = 5.38 \text{ KN/}m^2$

La charge d'exploitation Q = $1.5 \text{ KN/}m^2$

$$G' = \frac{2}{3}G = \frac{2}{3} \times 5.38$$

$$G' = 3.60 \text{ KN/m}^2$$

A L'ELU:

$$p_{u}' = 1.35G' + 1.5Q$$

$$p_{u}' = 1.35(3.60) + 1.5(1.5)$$

$$p_{u}' = 7.11 KN/m$$

$$q_{u}' = 0.65 \times p_{u}'$$

$$q_{u}' = 0.65 \times 7.09$$

$$q_{u}' = 4.62 KN/m$$

$$p_{u} = 1.35G + 1.5Q$$

$$p_u = 1.35(5.38) + 1.5(1.5) \times 0.65$$

$$p_u = 6.19 \, KN/m$$

A L'ELS:

$$p_{s}' = G' + Q$$
 $p_{s}' = 3.60 + 1.5$
 $p_{s}' = 5.10 \, KN/m$
 $q_{s}' = p_{s}' \times 0.65$
 $q_{s}' = 3.31 \, KN/m$

$$q_s = p_s \times 0.65$$

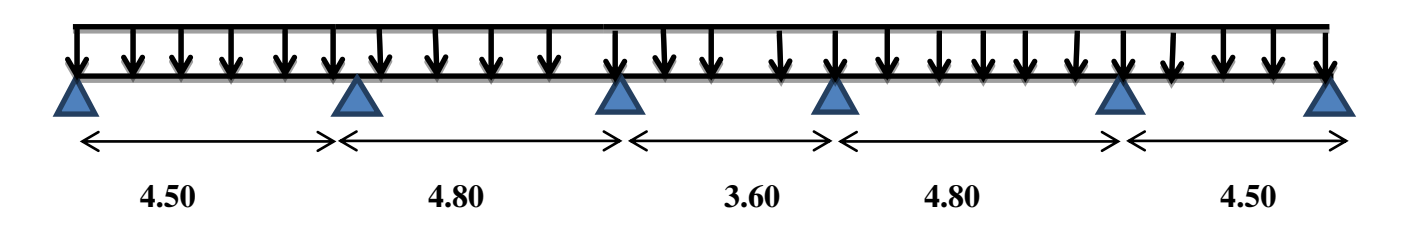
 $q_s = (5.38 + 1.5) \times 0.65$
 $q_s = 4.48 \, KN/m$

• Calcul les moments et les efforts tranchants : (étage courant)

Le premier type :5 travées et 6 appuis

✓ L'ELU:a. Cas 01 : CCC

C CCCC



b. Cas 02 : DCDCD

D

C

D

C

D

4.50

4.80

3.60

4.80

4.50

c. Cas 03: CDCDC

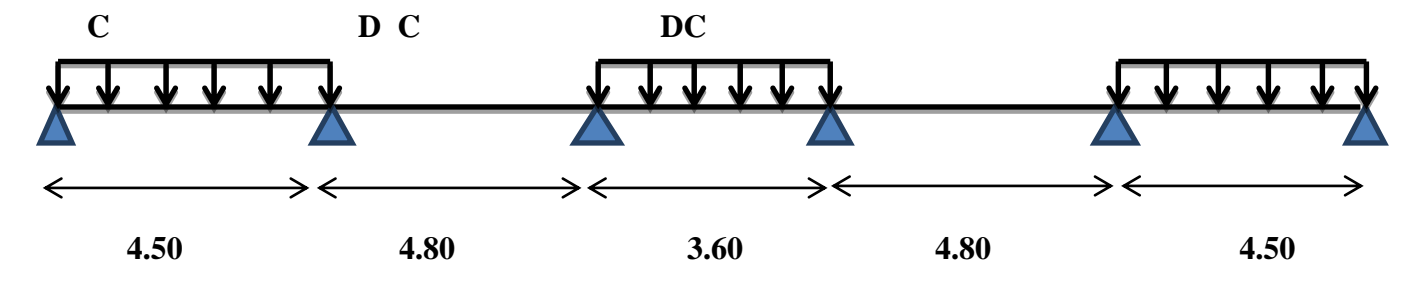


Tableau: les moments de trois cas

Travée	01	02	03	04	05
Portée L (m)	4.50	4.80	3.60	4.80	4.50

Charge permanente g (KN/m)	3.50		3.50		3.50		3.5	0		3.50
Charge exploitation q (KN/m)	0.98		0.98		0.98		0.9	8		0.98
Portée fictive Lo (m)	4.50		3.84	2.96		3.8		84		4.50
Chargée C 1.35g+1.5q (KN/m)	6.19		6.19		6.19		6.1	9		6.19
Déchargée D 1.35g (KN/m)	4.72		4.72		4.72		4.7	2		4.72
Chargée C 1.35 <i>g</i> ′ + 1.5 <i>q</i> (KN/m)	4.62		4.62		4.62		4.6	52		4.62
Déchargée D 1.35g' (KN/m)	3.15		3.15		3.15		3.1	5		3.15
Ma (KN m) –cas 01 : CCCCC	-1.75	-9	9.62	-6.	51	-6.51		-9	.62	-1.75
Ma (KN m) – cas 02 : DCDCD	-2.35	-7.′	73	-5.	89	-5.89		-7	7.73	-2.35
Ma (KN m) – cas 03 : CDCDC	-1.75	-8	3.45	-4	5.05	-5.05		-8	.45	-1.75
X _{Mtmax} (m)- cas 01 : CCCCC	1.97		2.50		1.80		2.3	0		2.53
X _{Mtmax} (m)- cas 02: DCDCD	2.00		2.46		1.80		2.3	4		2.50
X _{Mtmax} (m)-cas 03 : CDCDC	2.01		2.51		1.80	30 2		.9		2.49
Mt (KN m) cas 01 : CCCCC	10.23		9.80		3.52		9.8	80		10.23
Mt (KN m) cas 02 : DCDCD	7.06		11.0	1	1.75		11.	.01		7.06
Mt (KN m) cas 03 : CDCDC	10.75		6.90		4.98		6.9	0		10.75
Ma max (KN m)	-2.35	-9.0	62	-6.	51	-6.51		-9	.62	-2.35
Mt max (KN m)	10.75		11.01		1.98	11.0			10.75	
Va max (KN)	12.44		.51		1.14		4.47			.68
	-15.68		1.47		11.14	-15.49			-12.7	
Va max/Appuis (KN)	12.44	15	.68	1	4.47	14.47		15.	68	12.73

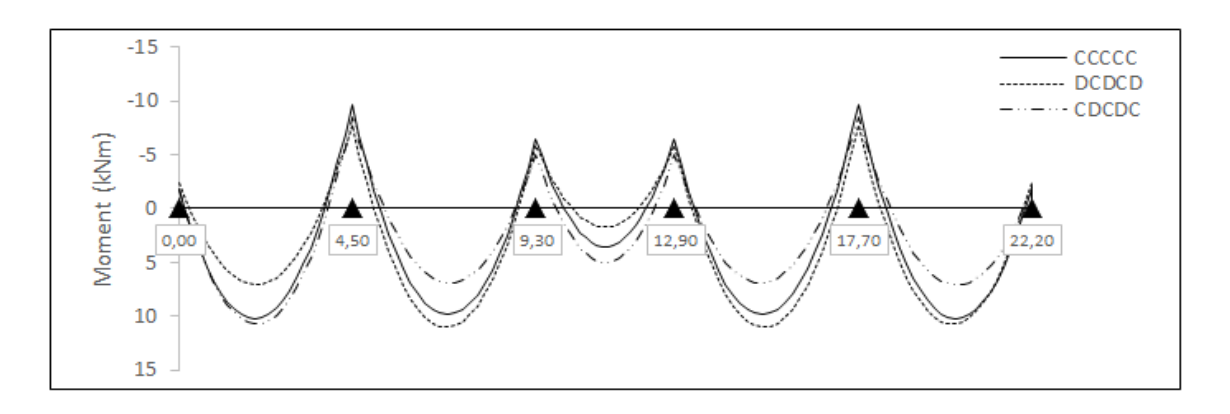


Figure III.20 :Courbe des moments poutrelle (étage courant) en ELU

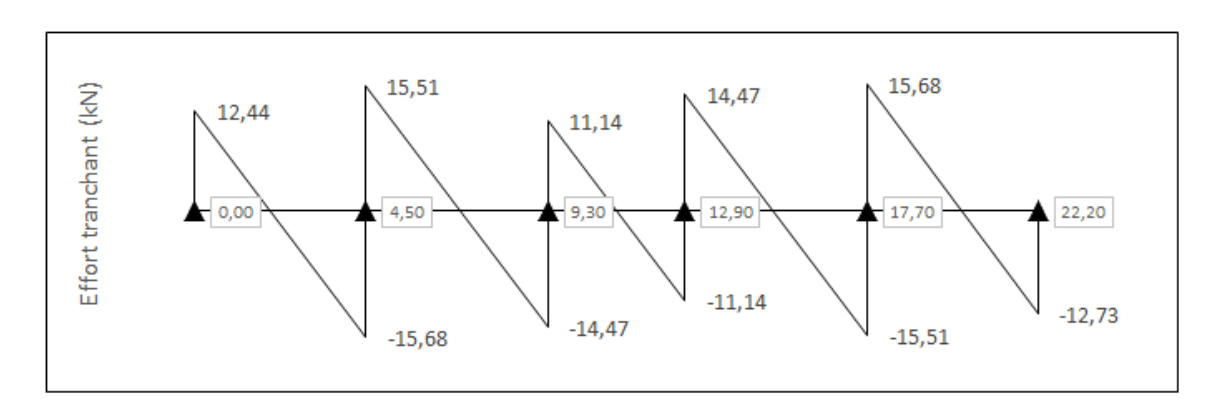


Figure III.21 : Courbe des efforts tranchants poutrelle (étage courant) en ELU

✓ L'ELS:

Travée	01	02	03		0	4	0	5
Portée L (m)	4.50	4.80	3.60		4.80		4.5	50
Charge permanente g (KN/m)	3.50	3.50	3.50		3.5	0	3.5	50
Charge exploitation q (KN/m)	0.98	0.98	0.98		0.98		0.9	98
Portée fictive Lo (m)	4.50	3.84	2.96		3.8	4	2.9	96
Chargée C g + q (KN/m)	4.48	4.48	4.48		4.48		4.4	48
Déchargée g (KN/m)	3.50	3.50	3.50		3.5		3.5	50
Chargée C $g' + q$ (KN/m)	3.31	3.31	3.31		3.3	1	3.3	31
Déchargée D g' (KN/m)	2.33	2.33	2.33		2.3	3	2.3	33
Ma (KN m) cas 01 : CCCCC	-1.26	-6.90	-4.67	-4.6	57	-6.9	0	-1.26
Ma (KN m) cas 02 : DCDCD	-1.70	-5.64	-4.26	-4.2	-4.26		4	-1.70
Ma (KN m) cas 03 : CDCDC	-1.26	-6.12	-3.70	-3.70		-6.1	2	-1.26

X_{Mtmax} (m) cas 01 : CCCCC	1.97		2.50		1.80)	2.3	0	2.5	53	
X_{Mtmax} (m) cas 02 : DCDCD	2.00		2.46		1.80)	2.3	4	2.5	50	
X_{Mtmax} (m) cas 03 : CDCDC	2.01		2.51		1.80)	2.2	9	2.4	19	
Mt (KN m) cas 01 : CCCC	C 7.43		7.10		2.59)	7.1	0	7.4	43	
Mt (KN m) cas 02 : DCDC	D 5.29		7.94		1.41		7.9	4	5.2	29	
Mt (KN m) cas 03 : CDCD	OC 7.77		5.16		3.56	5	5.1	6	7.	77	
Ma max (KN m)	-1.70	-6	5.90	-4.6	57	-4.67		-6.9	0	-1.70	
Mt max (KN m)	7.77		7.95		3.56	5	7.9	5	7.	77	
Va max (KN)	8.99		11.20)	8.06		10.46		11.33		
va max (IXIV)	-11.33	-11.33		-10.46		-8.06		-11.21		-9.20	
Va max/ appuis (KN)	8.99	1	1.33	10.	46	10.4	6	11.3	3	9.20	

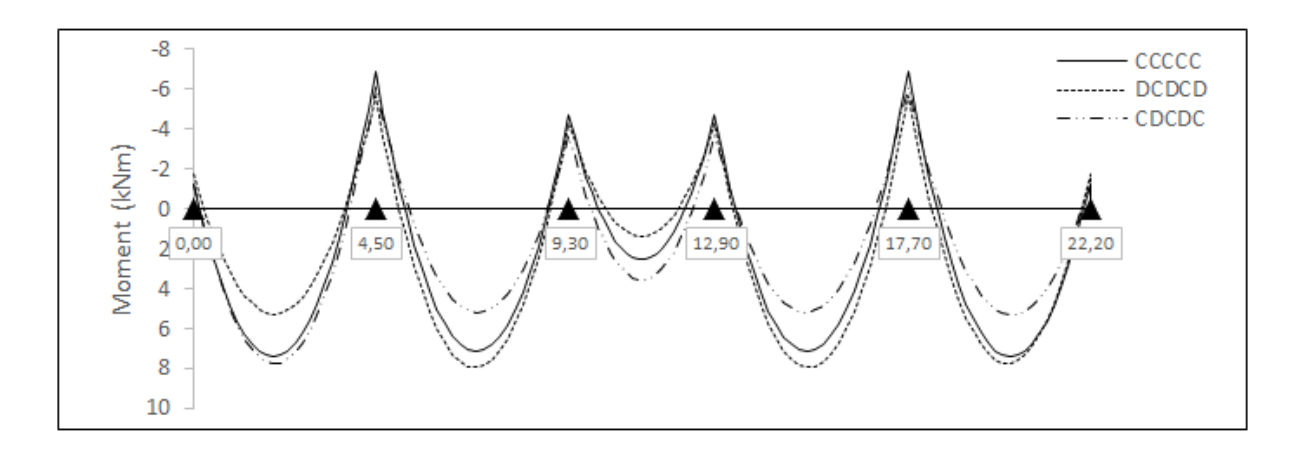
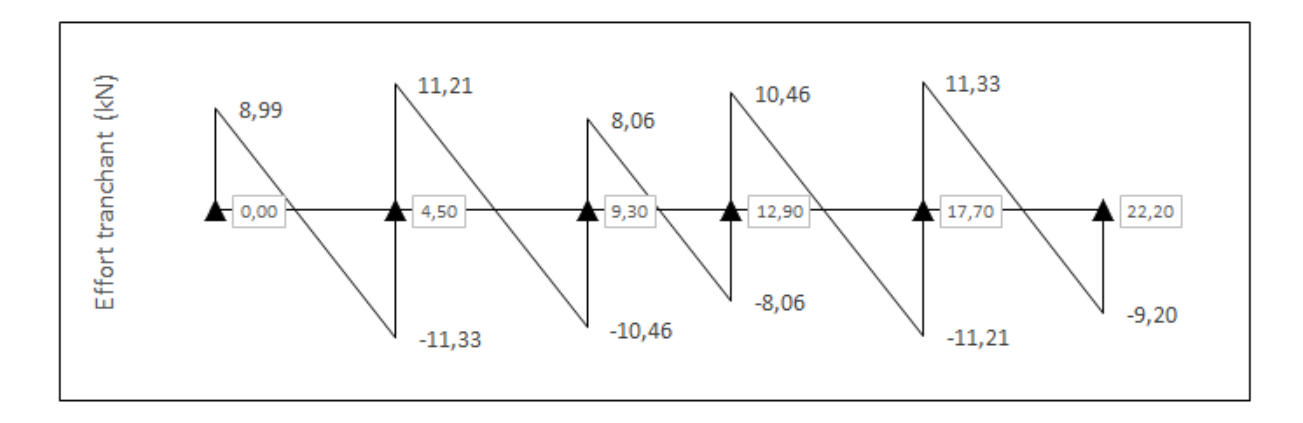


Figure III.22 :Courbe des moments poutrelle (étage courant) en ELS

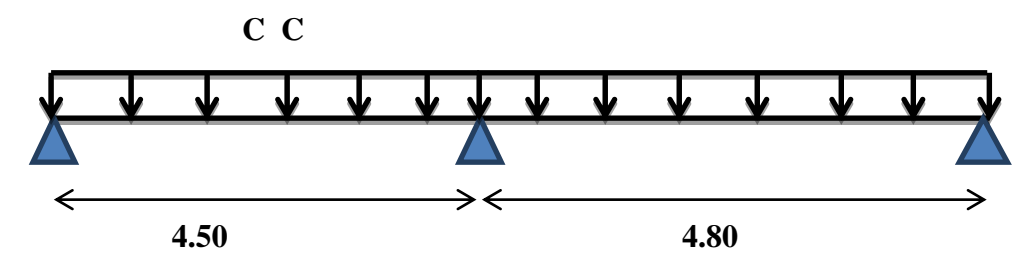


FigureIII.23 : Courbe des efforts tranchants poutrelle (étage courant) en ELS

Deuxième type : 2 travées et 3 appuis :

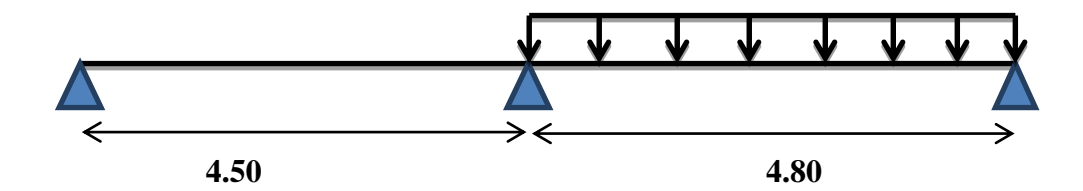
Pour calculer les moments max sur appuis et sur travée on trois type de combinaison de charge:

a. Cas 01: CC



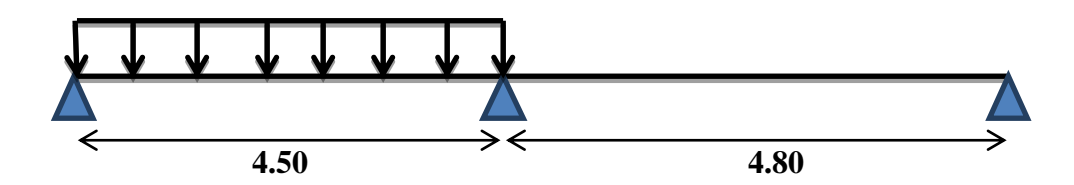
b. Cas 02 : DC

\mathbf{DC}



c. Cas 03 : CD

$\mathbf{C} \mathbf{D}$



✓ ELU:

Travée		01		02		
Portée L (m)		4.50		4.80		
Charge permanente (KN/m)		3.50		3.50		
Charge exploitation (KN/m)		0.98		0.98		
Portée fictive Lo (m)		4.50		3.84		
Chargée C 1.35g+1.5q (KN/m)		6.19		6.19		
Déchargée D 1.35g		4.72		4.72		
Chargée C $1.35g' + 1.5q$ (KN/m)		4.62		4.62		
Déchargée D 1.35 $g'(KN/m)$		3.15		3.15		
Ma (KN m) cas 01 : CC	-1	.75	-9.62		-1.99	
Ma (KN m) cas 02 : DC	-2	2.35	-7.73		-2.67	
Ma (KN m) cas 03 : CD	-1	.75	-8.45		-1.99	

X_{Mtmax} (m) cas 01 : CC		1.97		2.66		
X_{Mtmax} (m) cas 02 : DC		2.00		2.57		
X_{Mtmax} (m) cas 03: CD		2.01		2.28		
Mt (KN m) cas 01 : CC		10.23		12.22		
Mt (KN m) cas 02 : DC		7.06		12.72		
Mt (KN m) cas 03 : CD		10.75		8.65		
Ma max (KN m)	-2	2.35	-9.62		-2.67	
Mt max (KN m)		10.75		12.72		
Vo mov (VN)		12.44		16.45		
Va max (KN)		-15.68		-13.80		
Va max/appuis (KN)	12	2.44	16.45		13.80	

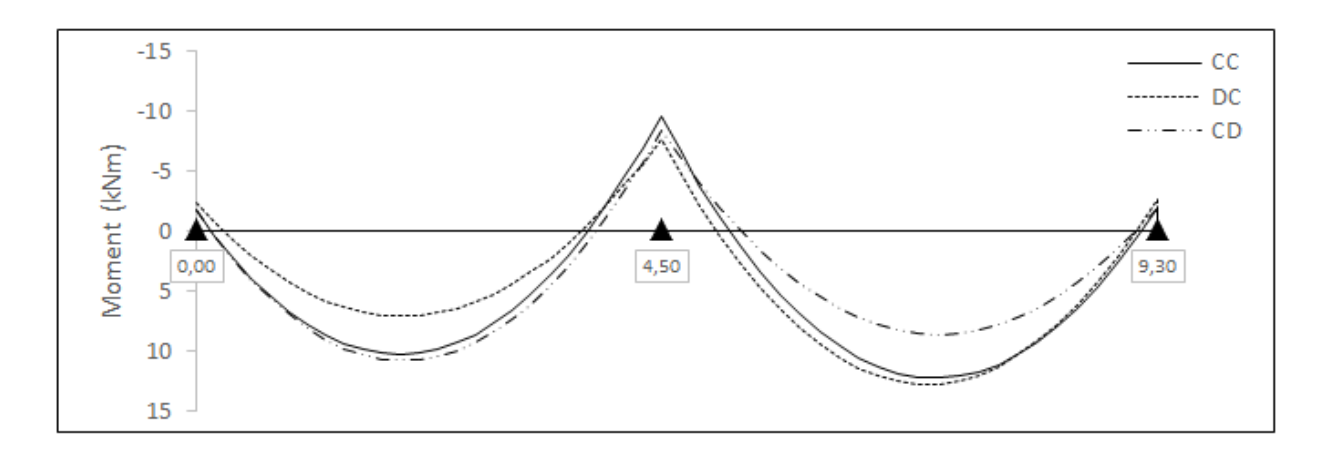


Figure III.24 : Courbe des moments poutrelle (étage courant) en ELU

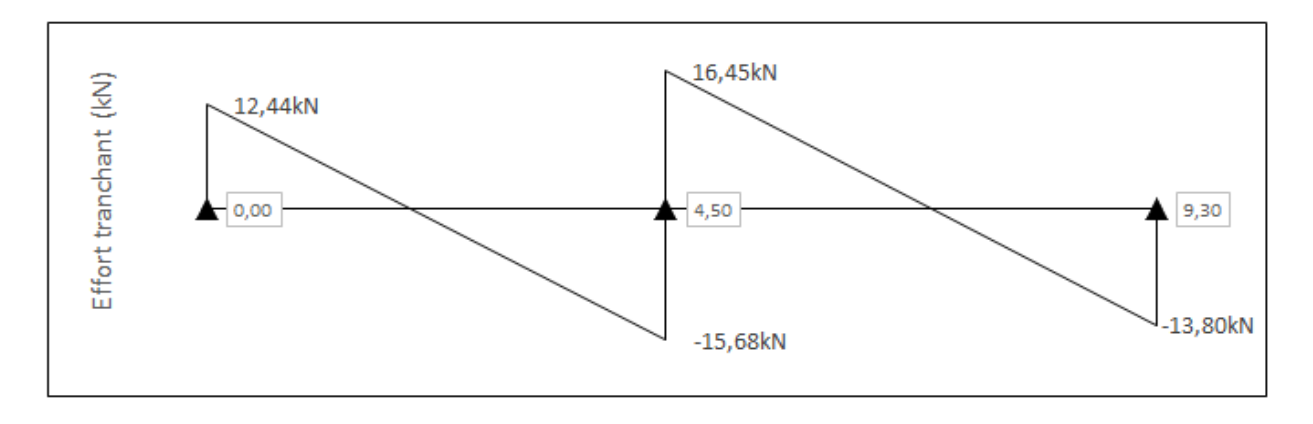


Figure III.25 : Courbe des efforts tranchants poutrelle (étage courant) en ELU.

✓ ELS:

Travée		01			02		
Portée L (m)		4.5	50		4.80		
Charge permanente g (KN/m)		3.5	50		3.50		
Charge exploitation q (KN/m)		0.9	98		0.98		
Portée fictive Lo (m)		4.5	50		3.84		
Chargée C g + q (KN/m)			18		4.48		
Déchargée D g (KN/m)			50		3.50)	
Chargée C $g' + q$ (KN/m)			31		3.31		
Déchargée D g' (KN/m)		2.3	33		2.33		
Ma (KN m) cas 01 : CC		-1.26		-6.90)	-1.43	
Ma (KN m) cas 02 : DC		-1.70	.70 -5.64		-	-1.93	
Ma (KN m) cas 03 : CD		-1.26	.26 -6.12			-1.43	
X_{Mtmax} (m) cas 01 : CC		1.9	97		2.65		
X_{Mtmax} (m) cas 02 : DC		2.0	00		2.57		
X_{Mtmax} (m) cas 03 : CD		2.0	2.01			2.27	
Mt (KN m) cas 01 : CC		7.4	13		8.87		
Mt (KN m) cas 02 : DC		5.2	29		9.17		
Mt (KN m) cas 03 : CD		7.7	77		6.49		
Ma max (KN m)	-1	.70	-	6.90	- 1	1.93	
Mt max (KN m)	1	7.7	77		9.17		
u an			8.99		11.88		
Va max (KN)		-11.33		-9.97			
Va max/appuis (KN) 8.99			11.88			9.97	

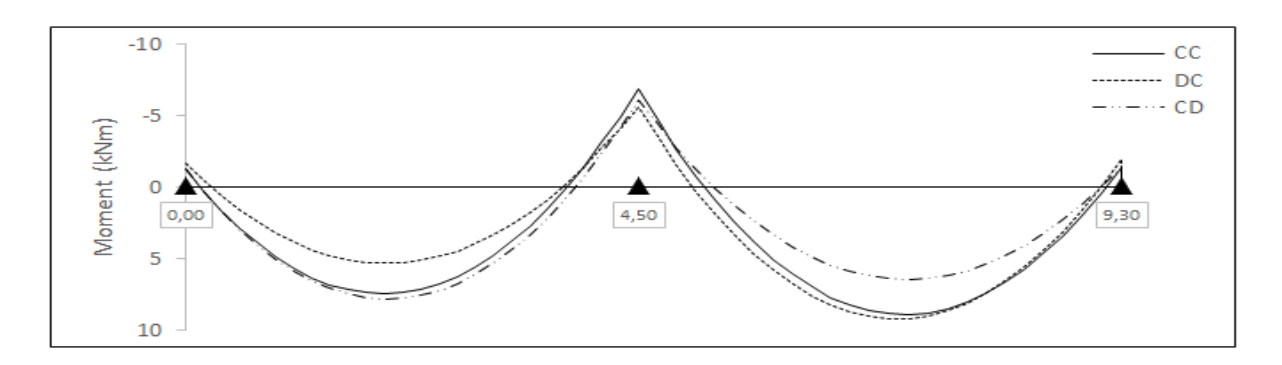


Figure III.26 :Courbe des moments poutrelle (étage courant) en ELS.

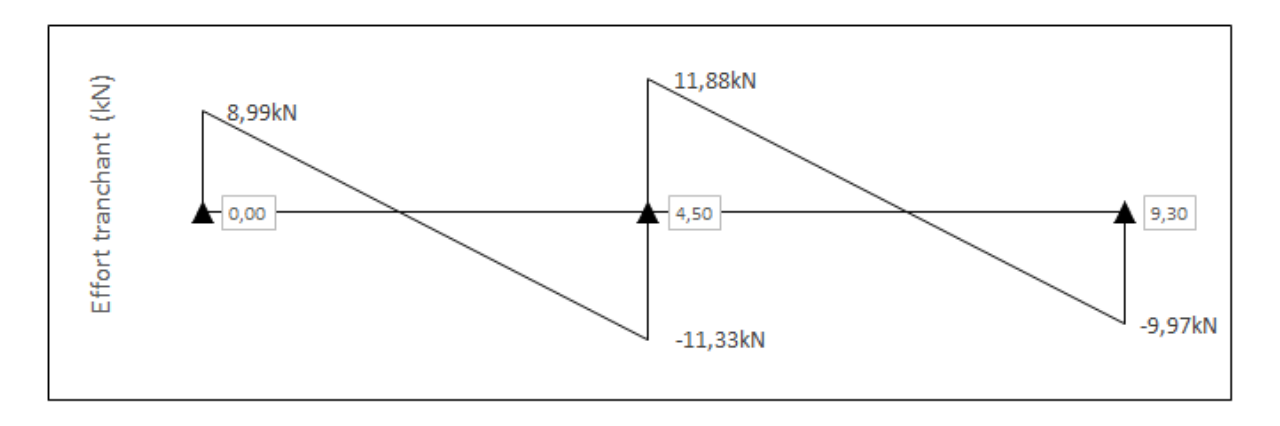


Figure III.27 : Courbe des efforts tranchants poutrelle (étage courant) en ELS.

✓ Ferraillage des poutrelles :

Les armatures seront calculées sous les sollicitations les plus défavorables et le calcul est conduit pour une section en Té soumise à la flexion simple. (Poutrelle type 1 du plancher terrasse)

Tableau : Les sollicitations pour ferrailler les poutrelles (terrasse)

	Ma_{max} (KN m)	Mt_{max} (KN m)	$V_{max}(KN)$
ELU	-9.93	11.71	16.79
ELS	-7.21	8.53	12.25

- **ELU**:

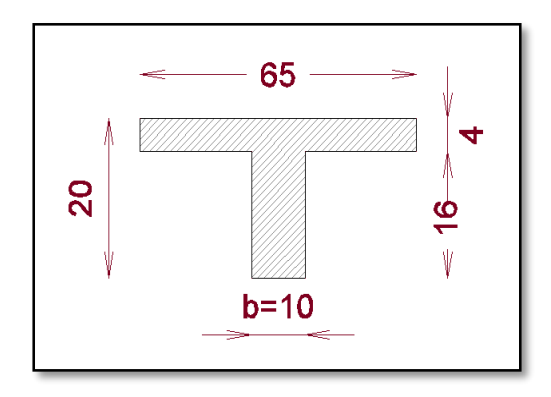


Figure III.28: Coupe d'une poutrelle.

Armature longitudinale:

$$B = 65 \text{ cm}$$
, $b_0 = 10 \text{ cm}$, $h = 20 \text{ cm}$, $h_0 = 4 \text{ cm}$, $d = 18 \text{ cm}$, $c = 2 \text{ cm}$

$$\sigma_s = 348$$
 , $f_{bu} = \frac{0.85 \times f_{c28}}{\theta \times \gamma_b} = \frac{0.85 \times 25}{1 \times 1.5} = 14.16 \text{ MPA}$

 M_{tab} : Le moment fléchissant équilibré par la table de compression.

Si : $M_u < M_{tu}$ la zone comprimée se trouve dans la nervure et la section des calcule sera une section en T.

Si : $M_u > M_{tu}$ la zone comprimée se trouve dans la table de compression et la section en T sera calculé comme une section rectangulaire de dimension (b*h).

> Ferraillage En travée :

Calcul du moment résistant de la section en T:

$$M_{tu} = bh_0 \left(d - \frac{h_0}{2} \right) f_{bu} = 650 \times 40 \times \left(180 - \frac{40}{2} \right) \times 14.16 = 59.06 \, KN. \, m$$

 $M_t = 59.06~KN.~m > 11.71~KN.~m \rightarrow \text{ Calcul d'une section rectangulaire } (b \times h).$ Calcul du moment réduit ultime μ_{bu}

$$\mu_{bu} = \frac{M_u}{f_{bu} \times b \times d^2} = \frac{11.71 \times 10^{-3}}{14.16 \times 0.65 \times 0.18^2} = 0.039 < 0.186 \rightarrow pivot \text{ A}$$

Donc:
$$A'_{s} = 0 \rightarrow f_{su} = \frac{f_{e}}{\gamma_{s}} = \frac{400}{1.15} = 348 \text{ MPA}$$

Ce qui donne :

Calcul de la section d'acier tendue A_{st} :

$$A_{st} = \frac{M_u}{f_{su} \times Z}$$

Avec : Z : bras de levier = distance entre la résultante des efforts de compression et celle des efforts de traction.

$$\alpha = 1.25 \times (1 - \sqrt{1 - 2 \times \mu_{bu}}) = 1.25 \times (1 - \sqrt{1 - 2 \times 0.039}) = 0.05$$

$$Z = d (1-0.4 \times \alpha) = 0.18 (1 - 0.4 \times 0.05) = 0.176 m$$

$$A_{st} = \frac{11.71}{348 \times 0.176} = 1.91 \ cm^2$$

✓ Vérification de la condition de non fragilité : BAEL (Art A.4.2, 1)

$$A_{\min} \ge 0.23 \times b \times d \times \frac{f_{t28}}{f_e}$$
 Avec : $f_{t28} = 0.6 + 0.06 \times f_{c28} = 2.1 \text{MPA}$

$$A_{min} \ge 0.23 \times 0.65 \times 0.18 \times \frac{2.1}{400} \rightarrow A_{min} \ge 1.41 \, cm^2/ml$$

Choix des barres :

$$A_{st}=1.91\,cm^2\to soit: 3{\rm HA}10=2.36\,cm^2$$

> Ferraillage aux appuis :

Le moment aux appuis est négatif, ce qui revient à dire que la table de compression est tendue, et le béton tendu n'intervient pas dans la résistance, pour cela, on va considérer une section (b_0 =10× h)

Appui intermédiaire :

$$\mu_{bu} = \frac{M_u}{f_{bu} \times b_0 \times d} = \frac{9.93 \times 10^{-3}}{12.16 \times 0.1 \times 0.18^2} = 0.252 > 0.186 \rightarrow pivot \ B$$

$$\mu_{bu} = 0.252 < \mu_l = 0.392 \rightarrow A' = 0$$

. 54

Tableau : Les résultats de ferraillage des poutrelles

$M_a(KN m)$	μ_{bu}	μ_l	α	Z (mm)	$A_{s int} (cm^2)$
9.93	0.252	0.392	0.3	0.15	1.88

4 Appui de rive :

$$\mu_{bu} = \frac{2.53 \times 10^{-3}}{12.16 \times 0.1 \times 0.18^2} = 0.064 < 0.186 \ pivot \ A$$

M_r (KN m)	μ_{bu}	α	Z (mm)	$A_{srive}(cm^2)$
2.53	0.064	0.08	0.17	0.4

✓ Vérification de la condition de non fragilité : (CBA93 Art A.4.2.1)

$$A_{min} = 0.23 \times b_0 \times d \times \frac{f_{t28}}{fe}$$

Choix des barres :

En appui intermédiaire : $A_{s int} = 1.88 \text{ cm}^2 \rightarrow 2\text{HA8} = 2.26 \text{ cm}^2$

En appui de rive : $A_{s \ rive} = 0.4 \ cm^2 \rightarrow 1 \text{HA} 12 = 1.13 cm^2$

Ferraillage transversal:

Diamètre des armatures transversales : (BAEL A.7.2, 2)

$$\emptyset_t \ge \min(\emptyset_{min}; \frac{h}{35}; \frac{b_0}{10}) \rightarrow \emptyset_t \ge \min(10 \ mm; 5.71 mm; 10 mm)$$

On prend $\emptyset_t = 8 \ mm = 1.01$

- √ Vérifications nécessaire
- Vérifications à l'ELU
- a) Vérification de rupture par cisaillement : (BAEL A.5.1, 211)

On calcul tous les types de poutrelles avec l'effort tranchant maximal $V_{max} = 16.79 \ KN$

On vérifie la condition de rupture par cisaillement $\tau_u < \bar{\tau}$

Avec:
$$\tau_u = \frac{V_{max}}{h_0 \times d} = \frac{16.79 \times 10^{-3}}{0.1 \times 0.18} = 0.93 \text{ MPA}$$

$$\bar{\tau} = \min(\frac{0.20f_{c28}}{\gamma_h}; 5 \text{ MPA}) = \min(\frac{0.20 \times 25}{1.5}; 5) = 3.33 \text{ MPA}$$

Donc : $\tau_u < \bar{\tau} \rightarrow$ pas de risque de rupture par cisaillement.

b) Espacement (S_t): BAEL A.5.1, 22

L'espacement des armatures transversales st est défini par le minimum entre les valeurs suivantes :

$$S_{t max} \le \min(0.9d; 40 cm) = 16.2 cm$$

$$S_{t min} \ge 7 \ cm \rightarrow \text{on pose } S_t = 15 \ cm$$

Pour assurer que notre choix d'armature transversale et espacement on doit vérifier la condition ci-dessous :

$$\frac{A_t \times f_e}{s_t \times b_0} \ge 0.40 \ MPA \rightarrow \frac{101 \times 400}{15 \times 100} = 2.96 \ge 0.4 \dots CV$$

Donc la section choisis est largement vérifiée

Vérification des armatures longitudinales inferieures vis-à-vis de l'effort tranchant :

4 Appui de rive : (BAEL A.5.1, 312)

$$A_{l}^{min} \ge \frac{\gamma_s}{f_e} \times V_u \to \frac{1.15}{400} \times 16.79 \times 10^{-3} = 0.48 \ cm^2$$

♣ Appui intermédiaire : (BAEL A.5.1, 321)

$$F_{st} = |T_{\rm u}| - \frac{M_u}{0.9d} \quad {\rm donc}: \qquad \begin{cases} & \text{si } |M_u| \geq 0.9d \times T_{\rm u} \text{ les efforts } T_{\rm u} \text{ sont négligeable} \\ \\ & \text{Si } |M_u| < 0.9d \times T_{\rm u}: A_s \geq \frac{\gamma s \left(|T_u| - \frac{|M_u|}{0.9d}\right)}{fe} \end{cases}$$

 $|M_u| = 9.93 \text{ KN. } m > 0.9 \times 0.18 \times 16.79 = 4.33 \text{ KN. } m$

Donc : les efforts Tu sontnégligéable

Commentaire:

Il n'y a pas de risque de cisaillement des armatures longitudinales par l'effort tranchant.

c) Vérification de la bielle : (BAEL A.5.1, 313) :

$$\frac{2 \times V_u}{a \times b_0} \le 0.8 \frac{f_{cj}}{\gamma_b} \to avec \ a = \min(0.9d \ ; (40 - 2 - c)cm) = \min(0.9 \times 18 \ ; 40 - 4) = 16.2$$

Ce qui donne:

$$V_u \le 0.4 \frac{f_{c28}}{\gamma_b} \times a \times b_0 = 0.4 \frac{25}{1.5} \times 0.162 \times 100 = 108 \text{ KN}$$

$$V_u = 16.79 \le 108$$
 CV

Commentaire:

Il n'y a Pas de risque d'écrasement du béton au niveau de l'appui.

d) Condition de non fragilité : (BAEL 91 A.4.2.1)

$$V' = \frac{b_0 h^2 + (b - b_0) h_0^2}{2[b_0 h + (b - b_0) h_0]}$$
$$10 \times 20^2 + (65 - 10)^4$$

$$V' = \frac{10 \times 20^2 + (65 - 10)4^2}{2[10 \times 20 + (65 - 10)4]}$$

$$V' = 5.80 \ cm$$

$$V = h - V'$$

$$V = 20 - 5.80 = 14.20 cm$$

$$I_{GZ} = b_0 \frac{h^3}{3} + (b - b_0) \frac{h_0^3}{3} - [b_0 h + (b - b_0) h_0] V'^2$$

$$I_{GZ} = 10 \frac{20^3}{3} + (65 - 10) \frac{20^3}{3} - [10 \times 20 + (65 - 10)5.80^2]$$

$$I_{GZ} = 13711.2 cm^4$$

$$A_{min} = \frac{I_{GZ}}{\left(d - \frac{h_0}{2}\right) v} \times \frac{f_{t28}}{f_e}$$

$$A_{min} = \frac{13711.2 \times 10^{-4}}{\left(180 - \frac{4}{3}\right)142} \times \frac{2.1}{400} = 0.31cm^2$$

e) Vérification de la jonction table nervure : (BAEL 91 A.5.3.2) :

Il existe des contraintes tangentes dans le plan de jonction verticale du débord de la table et de l'âme de la poutre. Ces contraintes ont pour valeur :

$$\tau_1^u \le \frac{b_1 \times V_u}{0.9 \times b \times h_0 \times d} \le \bar{\tau} = 3.33 \text{ MPa}$$

Avec:

$$b_1 = \frac{b - b_0}{2} = 27.5 \ cm$$

$$\tau_1^u = \frac{0.275 \times 16.79 \times 10^{-3}}{0.9 \times 0.65 \times 0.04 \times 0.18} \le \bar{\tau} = 3.33 \text{ MPa}$$

$$\tau_1^u = 1.09 \text{ MPa} \le \bar{\tau} = 3.33 \dots \text{CV}$$

Commentaire:

Il n'y a pas de risque de rupture à la jonction table nervure.

- ELS

Les vérifications concernées sont les suivantes :

- Vérification de l'état limite d'ouverture des fissures
- Vérification de l'état limite de compression du béton
- Vérification de la flèche.
- a) Etat limite d'ouverture de fissure :

L'état de fissuration est peut nuisible, donc aucune vérification à faire (BAEL91 Art. B.6.3)

b) Etat limite de compression du béton :

$$\sigma_{bc} = \frac{M_{ser} \times y}{I} \le \overline{\sigma_{bc}} = 0.6 f_{c28}$$

Avec:

Y : distance de l'axe neutre a la fibre la plus comprimée

I: Moment d'inertie

M_{ser}= le moment en ELS

 $\overline{\sigma_{bc}} = 0.6 f_{c28} = 15 \text{ MPA} \Rightarrow \text{ (Contrainte admissible du béton)}.$

Fissuration peu préjudiciable : $\overline{\sigma_{st}} = f_e = 400 MPa$

positiondel'axeneutre(y):

Pour savoir ou se situera l'axe neutre y, il est nécessaire d'effectuer un premier calcul arbitraire pour déterminer le : $\frac{by^2}{2} + nA_{sc}(y - d') - nA_{st}(d - y)$ signe de : En remplaçant y par h_0 .

(Cas 1) Si le signe est positif, $(y \le h_0)$: l'axe neutre est dans la table de compression les calculs sont identiques au cas d'une section rectangulaire (les équations ne changentpas)

$$\frac{by^2}{2} + nA_{sc}(y - d') - nA_{st}(d - y) = 0$$

$$I = \frac{by^3}{3} + nA_{st}(d - y)^2 + nA_{sc}(y - d')^2$$

(Cas 2) Si le signe est négatif, $(y > h_0)$: l'axe neutre est dans la nervure (section en T) L'équation pour de terminer y devient :

$$\frac{by^2}{2} - \frac{(b - b_0)(y - h_0)^2}{2} + nA_{sc}(y - d) - nA_{st}(d' - y) = 0$$

Donc l'équation de moment d'inertie quadratique sera :

$$I = \frac{by^3}{3} - \frac{(b - b_0)(y - h_0)^3}{3} + nA_{st}(d - y)^2 - nA_{st}(y - d')^2$$

 M_{ser} : Moment max à l'ELS.

Y : distance de l'axe neutre a la fibre la plus comprimée

I : Moment d'intertie de la homogénéisée par rapport à l'axe neutre; n = 15

• en travée :

 $F(h_0) = \frac{1}{2}bh_0^2 - nA_{sc}(d - h_0) = 47.5 \implies F(h_0) > 0$; L'axe neutre est dans la table de compression (cas1 : y < h0), les calculs sont identiques au cas d'une section rectangulaire

$$M_t = 8.53 \text{ KN. m}$$
 $A_{st} = 2.36 \text{ cm}^2$
 $y = 3.91 \text{ cm}$
 $I = 8323.05 \text{ cm}^4$

 $\sigma_{bc} = 4.082 \text{ MPa} < 15 \text{ MPa}$ condition Vérifiée.

Il n'y a pas risque de fissuration du béton en compression.

• En appui intermédiaire :

 $F(h_0) = \frac{1}{2}bh_0 - nA_{sc}(d - h_0) = -292.1 \Rightarrow F(h_0) > 0$; L'axe neutre est dans la nervure (cas2 : y > h0) : l'axe neutre est dans la nervure (section en T).

Il n'y a pas risque de fissuration du béton en compression.

• En appui de rive :

$$F(h_0) = \frac{1}{2}bh_0 - nA_{sc}(d-h_0) = -82.1 \Rightarrow F(h_0) > 0 \; ; L'axe \; neutre \; est \; dans \; la \; nervure \; (cas2: y > h0): l'axe \; neutre \; est \; dans \; la \; nervure \; (section en T).$$

$$M_{a \ rive} = -1.85 \text{ KN. m}$$
 $A_{st} = 1.13 cm^2$
 $Y = 2.85$
 $I = 4006.71 \text{ cm}^4$

 $\sigma_{bc} = 1.31 \text{ MPa} < 15 \text{ MPa}$ condition vérifiée.

c) Vérification de la flèche

La vérification de la flèche n'est pas nécessaire si les conditions suivantes sont

Vérifiées (B.A.E.L.91modifié 99):

Avec:
$$h = 0.20$$
: $L = 4.80 \text{ m}$: $A_{st} = 2.01 \text{ cm}^2$

$$\frac{h}{L} \ge \frac{1}{16} \Rightarrow \frac{0.20}{4.80} = 0.041 < \frac{1}{16} = 0.0625$$
 CNV

$$\frac{As}{bo \times d} \le \frac{4.2}{Fe} \Rightarrow \frac{2.01}{10 \times 18} = 0.011 \le \frac{4.2}{400} = 0.010 \dots$$
 CNV

$$\frac{h}{L} \ge \frac{Mt}{10 Mo} \Rightarrow Mt = 0.85 \text{ Mo} \Rightarrow \frac{0.20}{4.80} = 0.041 \le \frac{0.85}{10} = 0.085 \dots \text{CNV}$$

Étant donné que les conditions ne sont pas satisfaites ; la vérification de la flèche est nécessaire. On doit vérifier que : $\Delta_f \leq \overline{f}$

Soit: (Article B.6.5.3)

Avec:

L: porté entre nue d'appuis (CBA B.6.1.1)

L: 4.80 -0.40=4.40 m

 Δ_f : La flèche à calculer selon le BAEL en considérant les propriétés du béton armé (retrait, fissure,)

 f_{gv} :Les flèches différées et instantanées respectivement dues aux charges permanentes totales (poids propre + revêtements + cloisons).

 $\mathbf{f_j}$: La flèche instantanée due aux charges permanentes appliquées au moment de la mise en œuvre des cloisons (poids propre cloisons).

 $\mathbf{f_n}$: La flèche instantanée due à l'ensemble des charges appliquées (G + Q).

 \vec{J} : la charge permanente au moment de la mise des cloisons.

G : la charge permanente après la mise des cloisons.

 ${f P}$: la somme des charges permanentes et des charges d'exploitation. La flèche admissible ${f f}$ pour une poutre inférieure à 5 m est de :

$$\overline{f} = \frac{L}{500} = \frac{440}{500} = 0.88 \text{ cm} = 8.8 \text{ m}$$

- Evaluation des moments en travée :

$$G ext{ (total)} = (G_{plancher terrasse} + G_{cloison} + G_{revetement}) = 4.70 ext{ KN/m}^2$$

$$J = (G_{plancher} + G_{cloison}) = 2.80 + 0.90 = 3.70 ext{ KN/m}^2$$

$$P = G_{totale} + Q_{totale} = 4.70 + 1 = 5.70 ext{ KN/m}^2$$

- Evaluation des charges :

$$\mathbf{q_j} = 0.65 \times 3.70 = 2.40 \text{ KN/ml}$$

 $\mathbf{q_g} = 0.65 \times 4.70 = 3.05 \text{ KN/ml}$
 $\mathbf{q_p} = 0.65 \times 5.70 = 3.70 \text{ KN/ml}$

- Evaluation des moments :

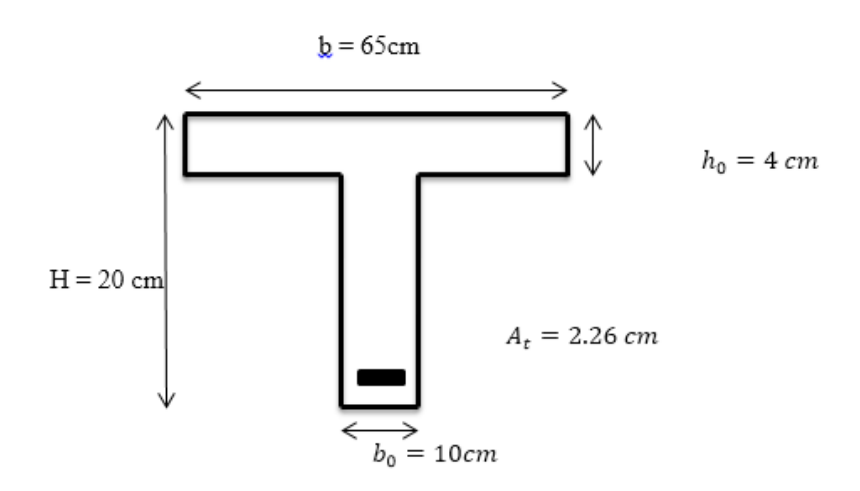
$$\begin{aligned} \mathbf{M_j} &= 0.75 \times \frac{\mathbf{q_{j \times} l^2}}{8} = 0.75 \times \frac{2.40 \times 4.80^2}{8} = 5.184 \text{ KN. m} \\ \mathbf{M_g} &= 0.75 \times \frac{q_g \times l^2}{8} = 0.75 \times \frac{3.05 \times 4.80^2}{8} = 6.588 \text{ KN. m} \\ \mathbf{M_p} &= 0.75 \times \frac{g_p \times l^2}{8} = 0.75 \times \frac{3.70 \times 4.80^2}{8} = 10.656 \text{ kN. m} \end{aligned}$$

Tableau : calcul des contraintes (poutrelles terrasse).

contrainte correspondante à q_j	$\sigma_j = 15 \frac{M_j(d-y)}{I}$	$\sigma_j = 137.11 \text{ MPA}$
contrainte correspondante à q_g	$\sigma_{g} = 15 \frac{M_{g}(d-y)}{I}$	$\sigma_{g}=174.17\ \text{MPa}$
contrainte correspondante à q_p	$\sigma_{\rm p} = 15 \frac{M_{\rm p}(d-y)}{I}$	$\sigma_p = 281.91 MPa$

- Caractéristiques de la section :

Position du centre de gravité de la section homogène :



$$y_{g} = \frac{\sum s_{i} \times y_{i}}{\sum s_{i}} \Rightarrow avec \begin{cases} s_{1} = b \times h_{0} \\ s_{2} = b \times (h - h_{0}) \\ s_{3} = 15 \times A_{t} \end{cases}$$

Et
$$\begin{cases} y_1 = \frac{h_0}{2} \\ y_2 = h_0 + (\frac{h - h_0}{2}) \\ y_3 = d \end{cases}$$

$$y_G = \frac{b_0 \times \frac{h_0^2}{2} + (b - b_0) \times \frac{h_0^2}{2} + 15A_t d}{b_0 \times h + (b - b_0)h_0 + 15A_t} = 6.71 \text{ cm}$$

$$I_0 = \frac{b_0 \times y_G^3}{3} + \frac{b_0(h - y_G)^3}{3} - \frac{(b - b_0)(y_G - h_0)^3}{3} + 15A_t(d - y_G)^2 + 15A_s'(y_G - d')^2$$

$$I_0 = 12786.43 \text{ cm}^4$$

Calcul des moments d'inertie fissurés If : (BAEL B.6.5.2)

$$I_{f} = \frac{1.10 \times I_{0}}{1 + \lambda + \mu}$$

- Calcul des coefficients λ

Les coefficients $\lambda et\mu$ sont définit par le BAEL (article B.6.5.2) pour prendre en considération la fissuration du béton.

$$\lambda = \begin{cases} \lambda_i = \frac{0.05 f_{t28}}{\rho(2+3\frac{b_0}{b})} & \Rightarrow \text{ instantan\'ee} \\ \lambda_V = \frac{2}{5} \times \lambda_i & \Rightarrow \text{ diff\'er\'ee} \end{cases}$$

$$\rho = \frac{A}{b \times d} = 0.012$$

$$\Rightarrow \lambda = \begin{cases} 3.55 \\ 1.42 \end{cases} ; \ \mu = \max \begin{cases} 0 \\ 1 - \left[\frac{1.75 \times f_{t28}}{4 \times \rho \times \sigma_s + f_{t28}} \right] \end{cases}$$

 σ_s : La contrainte de traction effective de l'armature correspondant au cas de charge considéré

$$\begin{cases} \mu_{j} = 1 - \frac{1.75 \times f_{t28}}{4 \times \rho \times \sigma_{j} + f_{t28}} = 0.57 \\ \mu_{g} = 1 - \frac{1.75 \times f_{t28}}{4 \times \rho \times \sigma_{g} + f_{t28}} = 0.64 \\ \mu_{p} = 1 - \frac{1.75 \times f_{t28}}{4 \times \rho \times \sigma_{p} + f_{t28}} = 0.76 \end{cases}$$

- Calcul des moments d'inerties fictives

Les résultats des moments d'inerties fictives sont représentés dans le tableau qui suit : Tableau : Calcul des moments d'inerties fictives (poutrelle terrasse)

I correspondant à q_{ji}	$I_{f ji} = \frac{1.10 \times I_0}{1 + \lambda_i \times \mu_j}$	$I_{f\ ji} = 4651.91\ cm^4$
I correspondant à q_{gi}	$I_{f gi} = \frac{1.10 \times I_0}{1 + \lambda_i \times \mu_g}$	$I_{f gi} = 4298.61 cm^4$
I correspondant à q_{gv}	$I_{f gv} = \frac{1.10 \times I_0}{1 + \lambda_V \times \mu_g}$	$I_{f\ pv} = 7368.54cm^4$
I correspondant à q_{pi}	$I_{f pi} = \frac{1.10 \times I_0}{1 + \lambda_i \times \mu_p}$	$I_{f pi} = 3803.42 \ cm^4$

- Calcul des modules de déformation :

 $E_V = 3700 \sqrt[3]{f_{c28}} = 10818.86 MPa \implies Module de déformation longitudinale différée du béton$

- Modules de déformation longitudinale différée du béton :

 $E_i = 3E_V = 32456.59 \text{ MPa} \Rightarrow \text{Module de déformation longitudinale instantanée du béton.}$

Pour ce faire le calcul de la flèche Δ_f est donné dans le tableau suivant :

Tableau: Vérification de la flèche (poutrelle terrasse)

f _{ji}	$\frac{M_j \times L^2}{10E_i \times I_{f \ ji}}$	6.64 mm
$\mathbf{f_{gi}}$	$\frac{M_{g} \times L^{2}}{10E_{i} \times I_{fgi}}$	9.19 mm
$f_{ m gv}$	$\frac{M_{g} \times L^{2}}{10E_{v} \times I_{f gv}}$ $M_{p} \times L^{2}$	8.1 mm
f _{pi}	$\frac{M_{\rm p} \times L^2}{10E_{\rm i} \times I_{\rm f pi}}$	1.6 mm
$\Delta_{\mathbf{f}}$	$f_{gv} - f_{ji} + f_{pi} - f_{gi}$	6.04 mm
f _{admissible}	L 500	8.8 mm

$$\Delta_f = 6.04 < f_{admissible} = 8.8$$

Commentaire : la flèche est vérifiée

La dalle mince (table de compression): (BAEL B.6.8, 423)

La dalle de compression résiste donc elle n'a pas besoin de ferraillage de résistance, cependant il faut mettre des aciers de fissurations à cause des fissurations dues au retrait du béton (quantité de ciment, intempéries ...). Pour ce faire le règlement recommande un ferraillage dans les deux sens (utilisation du treillis soudés). D'après, le hourdis doit avoir une épaisseur minimale de 4 cm. Il est armé d'un quadrillage de barres dont les dimensions de mailles ne doivent pas dépasser.

- $S_t \le 20$ cm (5 p. m.) pour les armatures perpendiculaires aux nervures (A \perp).
- $S_t \le 33$ cm (3 p.m.) pour les armatures parallèles aux nervures (A ||).

Quand l'écartement L entre axes des nervures est compris entre 50 et 80 cm, la section A des armatures perpendiculaires aux nervures doit être au moins égale à

$$A \perp = 0.021 \frac{200}{f_e} = \frac{41}{f_e} \implies A \perp = 4 \times \frac{65}{500} = 0.52 \text{ cm}^2/\text{ml}$$

Pour le ferraillage des dalles en corps creux deux conditions vont être respecté :

1. Le diamètre ne doit jamais être sup à 1/10 de l'épaisseur.

Pour
$$h_0 = 4 \text{ cm}$$
 $\Rightarrow \emptyset \leq \frac{h_0}{10} = 4 \text{ mm}$

2. Selon l'article B. 7.4 du B.A.E.L Le pourcentage d'armature minimal pour les dalles avec TS de fils à haute adhérence 500 est de 0,0006

On adapte : $3\emptyset 4 = 0.37 \ cm^2$. Pour un choix pratique, on va opter pour un treillis soudé \emptyset 4 (20 /20).

III.7.Schéma du ferraillage:

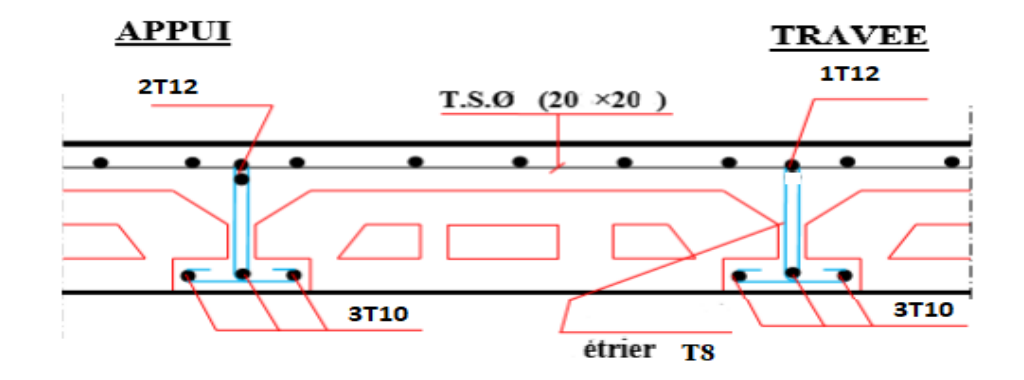


Figure III.29:Schéma de ferraillage des planchers en appui et sur travée

III.8. Conclusion:

Dans ce chapitre, on a pour déterminer le ferraillage des éléments secondaires de notre structure, et ceci on répond à toutes les exigences du RPA99 version 2003[1], BAEL 91 modifié en 99[3], et le CBA 93[2]. Les différends résultats de ferraillage des éléments secondaires adoptés après calcul sont mentionnés ci-dessus :

1. Acrotère :

Les armatures longitudinales : **4HA8.**

Les armatures transversales : 4HA8.

2. Escaliers.

Les armatures longitudinales :

Travée :6HA12

> Appui: 6HA12

Les armatures transversales :

> Travée : 6HA10

> Appui: **6HA10**

3. Poutre palière :

Les armatures longitudinales :

➤ Appui : **6HA12**

> Travée : 6HA12

Les armatures transversales :

> Cadre HA8

4. Balcons:

Les armatures longitudinales :

> Travée: 3HA12

> Appui: 3HA12

Les armatures transversales :

Travée : 3HA8

➤ Appui : **3HA8**

5. Planchers:

Les armatures longitudinales :

Travée: 3HA10

> Appui int: **2HA12**

> Appui riv: 1HA12

Les armatures transversales :

> Travée : **HA8**

➤ Appui :**HA8**

Chapitre IV Modélisation de la structure et étude dynamique

IV.1 INTRODUCTION:

Le séisme correspond à une vibration du sol provoquée par une libération de l'énergie de déformation accumulée dans la croûte terrestre. Le Nord de l'Algérie est une région où de violents séismes peuvent se produire ainsi il est utile de souligner que lors de la dernière décennie pas moins de 03 séismes de magnitude supérieure ou égale à 5.5 sur l'échelle de Richter ont eu lieu. Ces séismes qui ont touché aussi bien les régions du centre que les régions ouest du pays, ont provoqué d'importants dégâts matériels, et occasionné la perte de nombreuses vies humaines. L'une des questions qui se posent est : Comment limiter les endommagements causés aux constructions par le séisme ?Il est donc nécessaire de construire des structures résistant aux séismes « constructions parasismiques » selon le règlement en vigueur (RPA 99 version 2003)[1].

IV.2 OBJECTIF DE L'ETUDE DYNAMIQUE:

Le but de ce chapitre est de définir un modèle de structure qui vérifie les conditions et critères de sécurités imposées par(RPA99/version 2003)[1]. L'étude dynamique d'une structure telle qu'elle se présente réellement, est souvent très complexe et demande un calcul très fastidieux voire impossible. C'est pour cette raison qu'on on fait souvent appel à des modélisations qui permettent de simplifier suffisamment le problème pour pouvoir l'analyser. La modélisation de notre structure a été effectuée à l'aide du logiciel «ROBOT» qui est un logiciel de calcul automatique des structures conçu spécialement pour la modélisation des bâtiments de grande hauteur.

IV.3 MÉTHODES DE CALCUL:

Selon RPA99/version2003[1] le calcul des forces sismiques peut être mené suivant trois méthodes:

- > Par la méthode statique équivalente.
- Par la méthode d'analyse modale spectrale.
- > Par la méthode d'analyse dynamique par accélérogrammes.

IV.3.1 Méthodestatique équivalente :

Le règlement parasismique Algérien permet sous certaines conditions de calculer la structure par une méthode pseudo dynamique qui consiste à remplacer les forces réelles dynamiques qui se développent dans la construction par un système de forces statiques fictives dont les effets sont considérés équivalents à ceux de l'action sismique. Les forces sismiques horizontales équivalentes seront considérées appliquées successivement suivant deux directions orthogonales X et Y.

- **a)** Condition d'application : La méthode statique équivalente peut être utilisée dans les conditions suivantes :
- ✓ Le bâtiment ou bloc étudié, satisfaisait aux conditions de régularité en plan et en élévation avec une hauteur au plus égale à 65m en zones I et II et à 30m en zone III.
- ✓ Le bâtiment ou bloc étudié présente une configuration irrégulière tout en respectant, outres les conditions de hauteur énoncées en (a), les conditions complémentaires suivantes :
 - ➤ Zone I : Tous groupes
 - ➤ Zone II : Groupe d'usage 3
 - Groupe d'usage 2, si la hauteur est inférieure ou égale à 7 niveaux ou 23m
 - Groupe d'usage 1B, si la hauteur est inférieure ou égale à 5 niveaux ou 17m
 - Groupe d'usage 1A, si la hauteur est inférieure ou égale à 3 niveaux ou 10m.

- > Zone III : Groupes d'usage 3 et 2, si hauteur est inférieure ou égale à 5 niveaux ou 17m.
 - Groupe d'usage 1B, si la hauteur est inférieure ou égale à 3 niveaux ou 10m.
- Groupe d'usage 1A, si la hauteur est inférieure ou égale à 2 niveaux ou 8m.

b) Méthode de modélisation :

- ✓ Le modèle du bâtiment à utiliser dans chacune des deux directions de calcul est plan avec les masses concentrées au centre de gravité des planchers et un seul degré de liberté en translation horizontale par niveau sous réserve que les systèmes de contreventement dans les deux (2) directions puissent être découplés.
- ✓ La rigidité latérale des éléments porteurs du système de contreventement est calculée à partir de sections non fissurées pour les structures en béton armé ou en maçonnerie.
- ✓ seul le mode fondamental de vibration de la structure est à considérer dans le calcul de la force sismique totale.

c) Calcul de la force sismique totale :

La force sismique totale V, appliquée à la base de la structure, doit être calculée successivement dans deux directions horizontales orthogonales selon la formule :

$$V \!\!=\!\! \frac{A \!\!\times\! D \!\!\times\! Q}{R} \times W$$

A : coefficient d'accélération de zone, donné par le tableau 4.1 du RPA suivant la zone sismique et le groupe d'usage du bâtiment.

D : facteur d'amplification dynamique moyen, en fonction de la catégorie de site, du facteur de correction d'amortissement (ξ) et de la période fondamentale de la structure (T).

$$D = \begin{cases} 2.5\eta \\ 2.5\eta \left(\frac{T_2}{T}\right)^{\frac{2}{3}} \\ -2.5\eta \left(\frac{T_2}{T}\right)^{\frac{2}{3}} \left(\frac{3}{T}\right)^{\frac{5}{3}} \end{cases} \rightarrow \begin{cases} 0 \le T \le T_2 \\ T_2 \le T \le 3.0 \text{ s} \\ T \ge 3.0 \text{ s} \end{cases}$$

T:Période caractéristique, associée à la catégorie du site et donnée par le tableau 4.7 du RPA.

η: facteur de correction d'amortissement donné par la formule :

$$\eta = \sqrt{\frac{7}{(2+\varepsilon))}} \ge 0.7$$

Où ξ (%) est le pourcentage d'amortissement critique fonction du matériau constitutif, du type de structure et de l'importance des remplissages. est donné par le tableau présenté ci-après.

Tableau IV.1 :Valeurs du coefficient d'amortissement suivant le système structurel

Remplissage	Portique		Voile ou murs	
Trainpinouge	Béton armé	Acier	Béton Armé /Maçonnerie	
Léger	6	4	10	
Dense	7	5		

Nous avons un contreventement mixte voiles -portiques donc on prend une valeur moyenne : ξ = 8.5 %. D'où η = 0,816> 0, 7

d) Estimation de la période fondamentale de la structure :

La valeur de la période fondamentale (T) de la structure peut être estimée à partir de formules empiriques ou calculée par des méthodes analytiques ou numériques.

✓ La formule empirique à utiliser selon les cas est la suivante : $T=C_T h_N^{\frac{3}{4}}$

 h_N : Hauteur mesurée en mètres à partir de la base de la structure jusqu'au dernier niveau (N).

 C_T : Coefficient, fonction du système de contreventement, du type de remplissage et donné par le tableau 4.6 du RPA[1]. On peut également utiliser aussi la formule : $T = \frac{0.09h_N}{\sqrt{D}}$

Où D est la dimension du bâtiment mesurée à sa base dans la direction de calcul considérée.

✓ Calcul de période fondamentale de la structure T :

$$T = C_T h_N^{\frac{3}{4}}$$

Dans notre cas : $C_T = 0.05$

$$h_N = 15.50 \text{ m}$$

$$T = 0.05 \times 15.50^{\frac{3}{4}}$$

$$T = 0.39 \text{ s}$$

$$T = \frac{0.09h_N}{\sqrt{D}}$$

$$D_x = 22.20 m$$
 ; $D_y = 10.35 m$

$$T_x = 0.29s$$
 ; $T_v = 0.43s$

Pour calculer la période fondamentale on prend la petite valeur de T entre ces trois valeurs Donc :

$$T_{emeprique} = min (0.39, 0.29, 0.43) = 0.29 s$$

 $T_{analytique} = 0.34 \text{ s}$

$$T = 1.3 \times 0.29 = 0.37s$$

On est dans le cas:

On pend T= T_{empirique}= 0.29 s

R :Coefficient de comportement global de la structure sa valeur unique est donnée par le tableau 4.3 en fonction du système de contreventement tel que défini en 3.4 (voir RPA)[1].

Q : Facteur de qualité : Le facteur de qualité de la structure est en fonction de :

- La redondance et de la géométrie des éléments qui la constituent
- La régularité en plan et en élévation
- La qualité du contrôle de la construction
- La valeur de Q est déterminée par la formule :

$$Q=1+\sum_{1}^{N}p_{q}$$

 p_q : est la pénalité à retenir selon que le critère de qualité q " est satisfait ou non". Sa valeur est donnée au tableau 4.4 du RPA[1].

W: poids total de la structure.

W est égal à la somme des poids Wi, calculés à chaque niveau

$$W = \sum_{i=1}^{n} W_{i} \qquad \qquad \text{avec} \qquad W_{i} = w_{Gi} + \beta W_{Qi}$$

 W_{Gi} : Poids dû aux charges permanentes et à celles des équipements fixes éventuels, solidaires de la structure.

W_{Oi}: Charges d'exploitation

β : Coefficient de pondération, fonction de la nature et de la durée de la charge d'exploitation et donné par le tableau 4.5 du RPA. La force sismique totale V, appliquée à la base de la structure, doit être calculée successivement dans deux directions horizontales orthogonales.

IV.3.2 Méthode dynamique modale spectrale:

a) Principe de la méthode dynamique modale spectrale :

Selon le RPA La méthode d'analyse modale spectrale peut être utilisée dans tous les cas, et en particulier, dans le cas où la méthode statique équivalente n'est pas permise. Par cetteméthode, il est

recherché pour chaque mode de vibration, le maximum des effets engendrés dans la structure par les forces sismiques représentées par un spectre de réponse de calcul. Ces effets sont par la suite combinés pour obtenir la réponse de la structure.

b) Modélisation:

- 1-Pour les structures régulières en plan comportant des planchers rigides, l'analyse est faite séparément dans chacune des deux directions principales du bâtiment. Celui-ci est alors représenté dans chacune des deux directions de calcul par un modèle plan, encastré à la base et où les masses sont concentrées au niveau des centres de gravité des planchers avec un seul DDL en translation horizontale.
- 2- Pour les structures irrégulières en plan, sujettes à la torsion et comportant des planchers rigides, elles sont représentées par un modèle tridimensionnel, encastré à la base et où les masses sont concentrées au niveau des centres de gravité des planchers avec trois (03) DDL (2 translations horizontales et une rotation d'axe vertical).
- 3- Pour les structures régulières ou non régulières comportant des planchers flexibles, elles sont représentées par des modèles tridimensionnels encastrés à la base et à plusieurs DDL par plancher.
- 4- La déformabilité du sol de fondation doit être prise en compte dans le modèle toutes les fois où la réponse de la structure en dépend de façon significative.
- 5- Le modèle de bâtiment à utiliser doit représenter au mieux les distributions des rigidités et des masses de façon à prendre en compte tous les modes de déformation significatifs dans le calcul des forces d'inertie sismiques (ex : contribution des zones nodales et des éléments non structuraux à la rigidité du bâtiment).
- 6- Dans le cas des bâtiments en béton armé ou en maçonnerie la rigidité des éléments porteurs doit être calculée en considérant les sections non fissurées. Si les déplacements sont critiques particulièrement dans le cas de structures associées à des valeurs élevées du coefficient de comportement, une estimation plus précise de la rigidité devient nécessaire par la prise en compte de sections fissurées.

c) Spectre de calcul:

L'action sismique est représentée par le spectre de calcul suivant :

$$\frac{S_a}{g} = \begin{cases} 1.25A(1 + \frac{T}{T_1} \left(2.5\eta \frac{Q}{R} - 1 \right)) \\ 2.5\eta(1.25A)(\frac{Q}{R}) \\ 2.5\eta(1.25A) \left(\frac{Q}{R} \right) \left(\frac{T_2}{T} \right)^{\frac{2}{3}} \\ 2.5\eta(1.25A)(\frac{Q}{R}) \left(\frac{T_2}{T} \right)^{\frac{2}{3}} \left(\frac{3}{T} \right)^{\frac{5}{3}} \end{cases}$$

A : coefficient d'accélération de zone

Tableau IV.2 : Coefficient d'accélération de zone

	ZONE						
Groupe	I II _a II _b III						
1A	0.15	0.25	0.30	0.40			
1B	0.12	2.10	0.25	0.30			
2	0.10	0.15	0.20	0.20			
3	0.07	0.10	0.14	0.18			

 η : facteur de correction d'amortissement (quand l'amortissement est différent de 5%):

$$\eta = \sqrt{\frac{7}{(2+\varepsilon)}} \ge 0.7$$

 ζ : pourcentage d'amortissement critique (tableau 4.2, RPA) ξ =8.5%

$$\eta = \sqrt{\frac{7}{(2+8)}} = 0.816 \ge 0.7$$

R: coefficient de comportement de la structure (tableau 4.3, RPA)[1]

Système de contreventement mixte portiques/voiles. → R=4

T1, T2: périodes caractéristiques associées à la catégorie de site (Tableau 4.7, RPA)

Tableau IV.3 : Valeurs des périodes caractéristiques T1, T2.

Site	S_1	S_2	S_3	S_4
T_{1s}	0.15	0.15	0.15	0.15
T_{2s}	0.30	0.40	0.50	0.70

Dans notre cas le sol est meuble (site S3) : $T_1 = 0.15$ s & $T_2 = 0.50$ s

Q : facteur de qualité (tableau 4.4, RPA) [1] $\mathbf{Q} = \mathbf{1} + \sum_{1}^{5} \boldsymbol{p_q}$

Tableau IV.4 : Valeur de facteur de qualité

Critère q	Observé	P_{qx}	Observé	P_{qy}
1. Conditions minimales sur les files de contreventement	oui	0.00	oui	0.00
2. Redondance en plan	oui	0.00	Non	0.05
3. Régularité en plan	Non	0.05	Oui	0.00
4. Régularité en élévation	Oui	0.00	Oui	0.00
5. Contrôle de la qualité des matériaux	Non	0.05	Non	0.05
6. Contrôle de la qualité de l'exécution	Non	0.10	Non	0.10
		$Q_{x} = 1.2$		$Q_{v} = 1.2$

IV.4 Modélisation de la structure :

Pour l'évaluation des forces sismiques, on utilise le logiciel «Auto desk Robot Structural Analysais Professional 2014» qui contient différentes méthodes de calcul sismique.Pour notre cas, on a choisie « Analyse modale spectrale » qui est basée sur la méthode dynamique modale spectrale qui prend en compte la réponse de la structure suivant les modes déterminés en se basant sur les hypothèses suivant :

- Masse supposée concentrée au niveau des nœuds principaux (nœud maître).
- Seuls les déplacements horizontaux sont pris en compte.
- Les planchers et les fondations sont considérés rigides dans leur plan.
- Le nombre de mode à prendre en compte est tel que la somme des coefficients de participation modale soit au moins égale à 90%.

IV.4.1 Présentation du logiciel de calcul (Auto desk Robot 2014) :

Robot est un logiciel dérivé de la société Auto desk. Il est destiné à modéliser, analyser et dimensionner les différents types de structure, grâce à une interface graphique unique. Il offre de nombreuses possibilités pour l'analyse statique et dynamique, il est basé sur la méthode des éléments finis.

Ce logiciel permet de créer des structures, les calculées, vérifier les résultats obtenus, dimensionner les éléments spécifiques de la structure, la dernière étape gérée par robot permet de définir la note de calcul ainsi que des plans de ferraillage. Ce logiciel offre un calcul plus étendu par rapport aux autres codes car il est avantagé par l'intégration du règlement RPA et la configuration aves le règlement international BAEL.

A. Modélisation des éléments structuraux :

- La modélisation des éléments structuraux est effectuée comme suit
- Les éléments en portique (poutres-poteaux) ont été modélisés par des éléments finis de type poutre à deux nœuds ayant six degrés de liberté par nœud.
- Les voiles ont été modélisés par des éléments coques à quatre nœuds.
- Les planchers sont simulés par des diaphragmes des éléments coques et le sens des poutrelles peut être automatiquement introduit.

B. Modélisation de la masse :

La masse de la structure est calculée par l'équation (G+ β Q) imposée par RPA/ version 2003[1] (dans notre cas β =0,2) pour un bâtiment à usage d'habitation.

La masse volumique attribuée au matériau constituant les éléments modélisée est prise égale à celle du béton armé 25KN/m³.

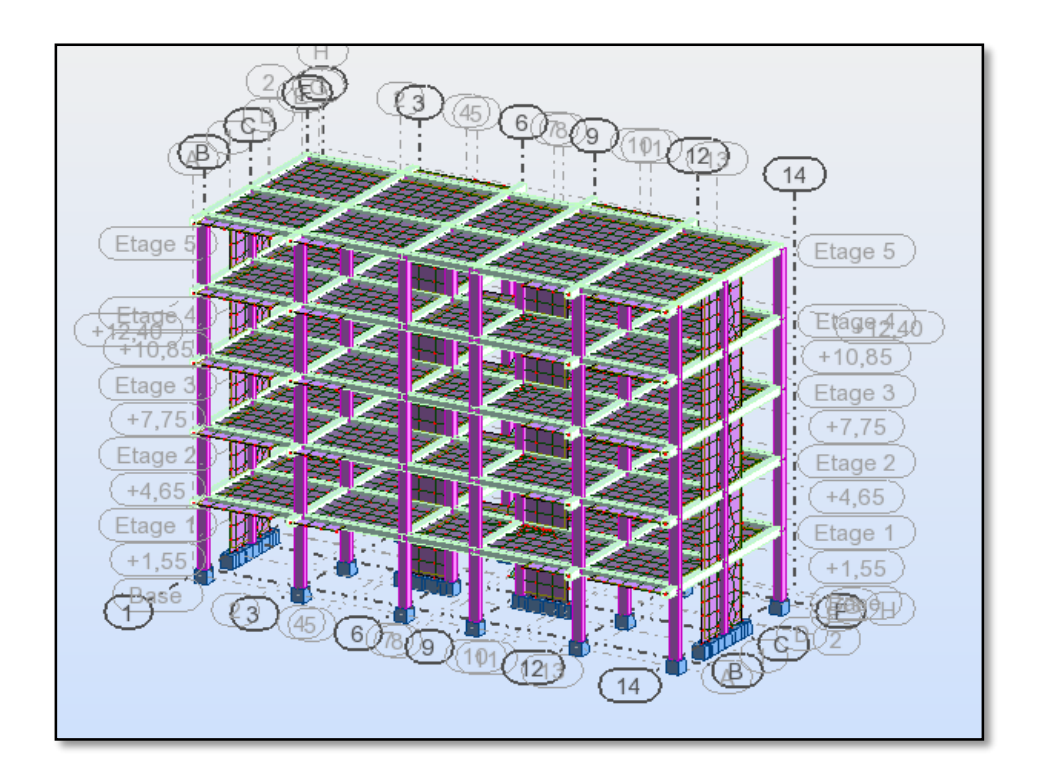


Figure IV.1 : Modélisation 3D de la structure.

IV.5Modalisation:

IV.5.1 La structure avec les voiles :

L'introduction des voiles dans la structure se fera par tâtonnement mais d'une manière réfléchie, plusieurs essais de structure seront conduits, et la structure finale choisie sera celle qui présentera :

- ➤ Une période fondamentale proche de la limite imposée par le RPA99 version 2003[1].
- > Des modes propres semblables à ceux d'une structure dont le comportement est régulier.
- Des déplacements inter-étages vérifiés

En général les voiles de contreventement seront disposées de manière symétrique. Donc dans ce qui suit il faudra déterminer ; le nombre de voile nécessaire à rajouté et la position des voiles rajoutés.

Disposition des voiles :

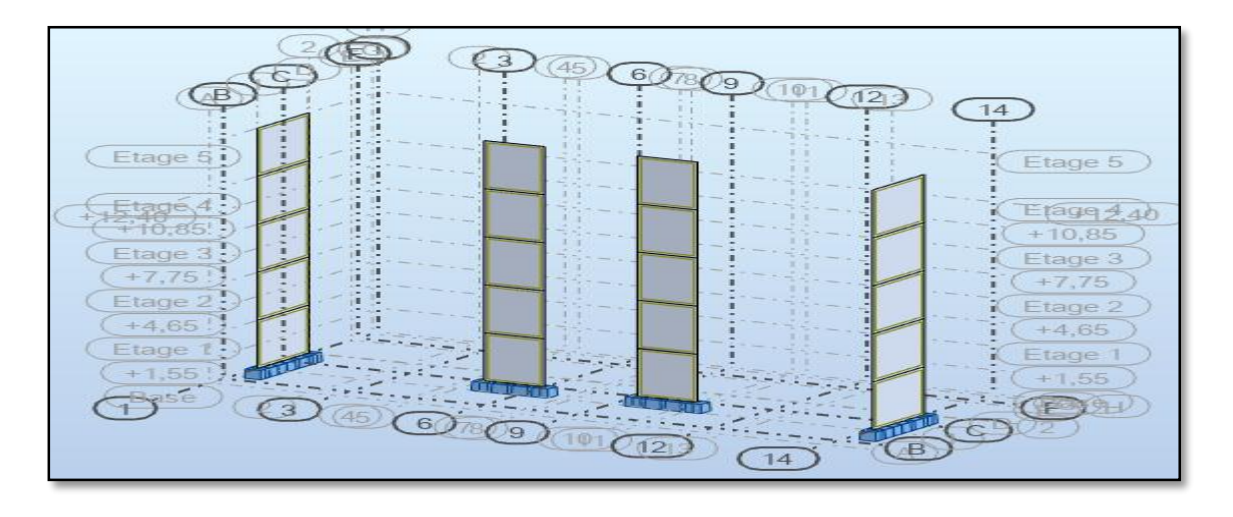
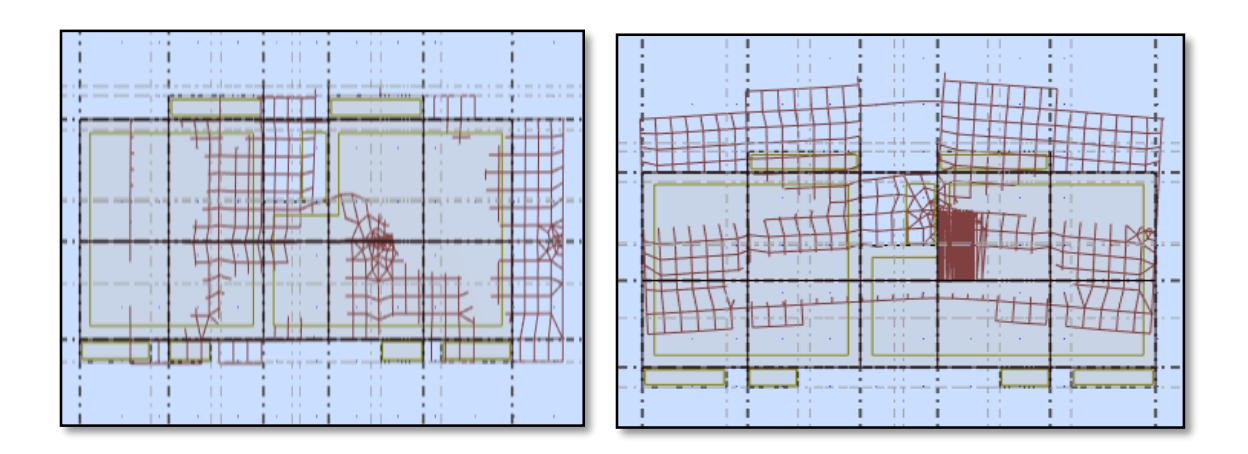
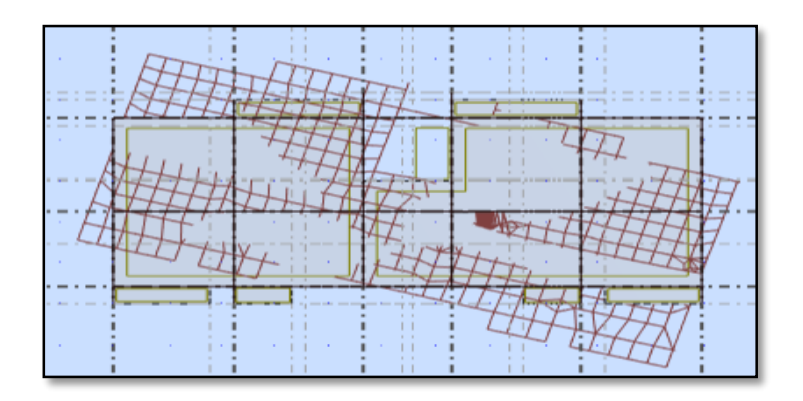


Figure IV.2: disposition des voiles

a) Le comportement de la structure



Mode 1: Translationsuivantex-xMode 2: Translation suivante Y-Y



Mode 3: Rotation autour de Z-Z

Figure IV.3: Comportement de la structure sous disposition.

Les Périodes de vibration et les taux de participation des masses modales de la disposition adopté sont illustrés dans le tableau ci-dessus.

Tableau IV.5 : Résumé des résultats de calcul.

Mode	Période s	UX %	UY%	Somme UX	Somme UY
1	0.34	72.65	0.00	72.65	0.00
2	0.30	72.66	71.81	0.01	71.80
3	0.23	72.71	71.81	0.05	0.00
4	0.12	72.71	71.82	0.00	0.01
5	0.09	88.93	71.88	16.22	0.06
6	0.09	88.97	89.68	0.04	17.80
7	0.06	88.97	93.65	0.00	3.97
8	0.06	88.97	93.66	0.01	0.00
9	0.05	88.98	93.66	0.04	0.00

10	0.05	89.01	93.66	0.00	0.00
11	0.05	89,01	93,66	0,00	0,00
12	0.05	89,02	93,67	0,01	0,01
13	0.05	89,02	93,84	0,00	0,17
14	0.05	89,03	93,99	0,01	0,15
15	0.05	89,04	94,57	0,00	0,58
16	0.05	89,05	94,64	0,01	0,07
17	0.05	89,60	94,65	0,55	0,01
18	0.05	89,64	94,66	0,04	0,00
19	0.05	89,86	94,66	0,22	0,00
20	0.05	89,89	94,66	0,03	0,00
21	0.05	90,19	94,66	0,30	0,00

b) Remarque:

- \checkmark Ce modèle présente une période fondamentale T = 0, 34s
- ✓ Les 1^{er} et 2^{ème} modes sont des modes de translation
- ✓ Le 3^{ème} mode est un mode de rotation
- ✓ On doit retenir les 21 premiers' modes, pour que la masse modale atteigne les 90% (selon le RPA99).

IV.6 : Structure contreventée par système (voiles-portique) :

Dans les projets de bâtiments, on combine souvent entre les deux systèmes de contreventements portiques et voiles, le besoin de locaux de grandes dimensions, les soucis d'économie, exclut fréquemment l'emploi de voiles seuls. On peut dans ce cas associeravantageusement des voiles à des portiques. Dans ce cas le système est appelée système decontreventement mixtes.

L'interaction des deux types de structure produit par conséquent un effet de raidissage favorable et un intérêt particulier en raison des déformations différentes qui interviennent dans ces éléments.

RPA exige ce système de contreventement surtout pour les zones de forte sismicité, parce quelinteraction voile-portique se manifeste surtout pour les bâtiments de moyen ou grand élancement.

a. Vérification des résultats vis-à-vis du RPA99/Version 2003 :

√ Vérification de la résultante des forces sismiques :

L'une des vérifications préconisées par le RPA99/ Version 2003 (l'article 4-3-6) est relative à la résultante des forces sismiques. En effet la résultante des forces sismiques à la base V_t obtenue par la combinaison des valeurs modales ne doit pas être inférieure à 80% de la résultante des forces sismiques déterminées par la méthode statique équivalente V_{st} .

 ${
m SiV_t} < 0.8 {
m V_{st}}$ il faudra augmenter tous les paramètres de la réponse (forces, déplacements, moments,...) dans le rapport $r = \frac{0.8 V_{st}}{V_t}$.

On doit donc calculer les efforts résultants de l'application de la méthode statique équivalente.

$$V_{t} = \frac{A \times D \times Q}{R} \times W$$

$$A = 0.15$$
 ; $Q = 1.2$; $R = 4$

$$D = \begin{cases} 2.5\eta & 0 \le T \le T_2 \\ 2.5\eta \left(\frac{T_2}{T}\right)^{\frac{2}{3}} & T_2 \le T \le 3.0s \\ 2.5\eta \left(\frac{T_2}{3}\right)^{\frac{2}{3}} \left(\frac{3}{T}\right)^{\frac{5}{3}} & T \ge 3.0s \end{cases}$$

T = 0.29 s

On est dans le cas

$$D = 2.5\eta$$

$$0 \le T \le T_2$$

D = 2.5 * 0.816 = 2.04

Poids total de la structure :

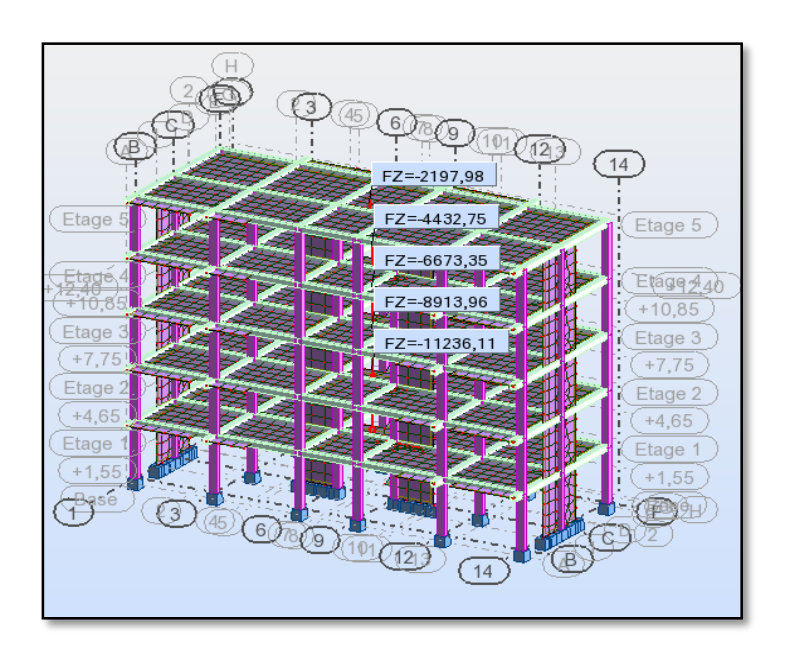


Figure IV.3: le poids sense xx

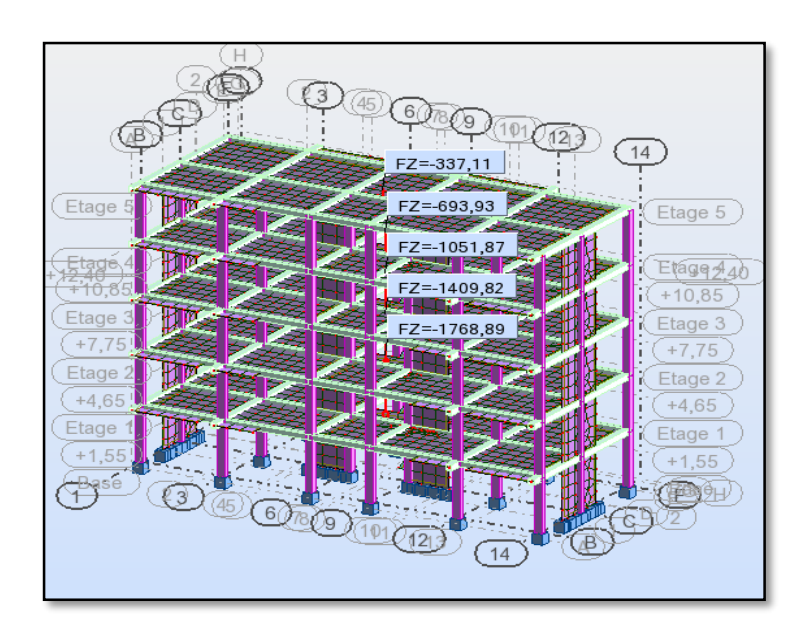


Figure IV.4: le poids sense y-y

A partir des résultats de modélisation par ROBOT on trouve :

 $W=W_G+0.2 W_Q$

W= 11236.11+0.2*1768.89

W = 11589.89 KN

La valeur de l'effort tranchantstatique

$$V_{st}X = \frac{0.15 \times 2.04 \times 1.2}{4} \times 11589.89 = 1063.95 \text{ KN}$$
 $V_{st}Y = 1063.95 \text{ KN}$

La valeur de l'effort tranchant dynamique

On a: $V_{dyn}X = 998.83 \text{ KNV}_{dyn}y = 1000.07 \text{ KN}$

Cas	4 - Ex					
Mode CQC						
Somme totale	-1001,30	12,65	1,70	-1,54	-526,30	-1,09
Somme réactions	-998,83	45,02	1,93	-505,71	-11405,64	6034,91
Somme efforts	998,83	-45,05	-1,38	505,37	11406,53	-6035,65
Vérification	-0,01	-0,03	0,55	-0,34	0,89	-0,74
Précision	5,95669e-03	1,31497e-02				

Cas	5 - Ey					
Mode CQC						
Somme totale	-51,15	-1012,35	72,28	295,31	-28,20	-1,14
Somme réactions	-45,06	-1000,00	-10,67	11460,04	-512,26	-12893,68
Somme efforts	45,05	1000,07	10,61	-11460,64	513,31	12894,57
Vérification	-0,01	0,07	-0,06	-0,59	1,06	0,89
Précision	5,95669e-03	1,31497e-02				

Tableau IV.5: Vérification de l'effort tranchant à la base.

Résultante des forces sismique	V _{dyn}	V_{st}	$V_{\rm dyn}/V_{\rm st}$	Observation
Sens X-X	998.83	1063.95	0.93	CV
Sens Y-Y	1000.07	1063.95	0.93	CV

 $\frac{V_{\rm dyn}}{V_{\rm ct}} > 0.8$ Donc les paramètres de la réponse calculés ne seront pas majorés .

b. Calcul des déplacements : RPA 99 article 4.4.3[1]

Le déplacement horizontal à chaque niveau K de la structure est calculé par :

$$\delta_K = R \times \delta_{eK}$$

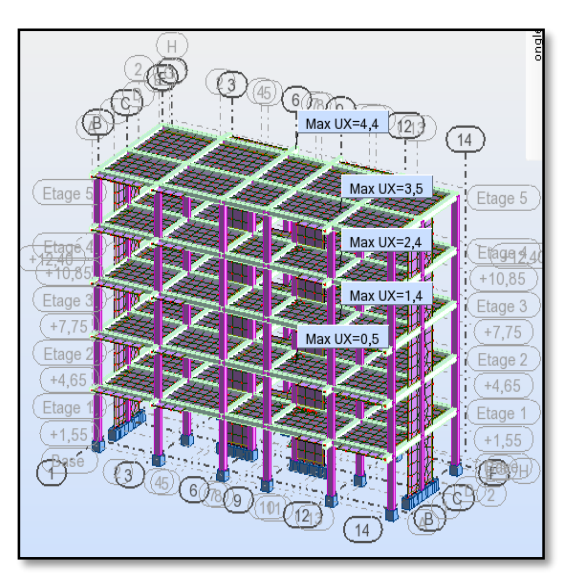
 $\delta_{ek} :$ Déplacement dû aux forces Fi (y compris l'effet de torsion).

R = Coefficient de comportement. R = 4

Le déplacement relatif au niveau K par rapport au niveau K-1 est égal à : $\Delta_k = \delta_K - \delta_K - 1$

Avec : Δ_k < 1% h_k RPA 99 article 5.10

 h_k : Étant la hauteur de l'étage.



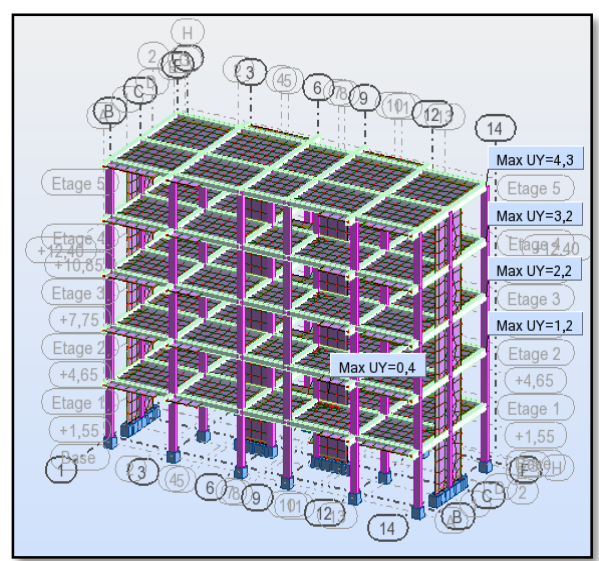


Figure IV.4 : Les déplacements selon X et Y

Les résultats obtenus sont résumés dans le tableau suivant :

Tableau IV.6: Vérification des déplacements au sens x-x.

Etage	Hauteur (m)	$\delta_{ek}(m)$	Coefficient de comportement	δ_K dep reel	Δ _k =δ _K -δ _{K-1}	1%h _k	Remarque
RDC	3.10	0.005	4	0.02	0.005	0.0310	vérifié
1 ^{er} étage	3.10	0.014	4	0.056	0.009	0.0310	vérifié
2 ^{éme} étage	3.10	0.024	4	0.096	0.010	0.0310	vérifié
3 ^{em} étage	3.10	0.035	4	0.140	0.011	0.0310	vérifié
4 ^{éme} étage	3.10	0.044	4	0.176	0,009	0.0310	vérifié

Tableau IV.7: Vérification des déplacements au sens y-y.

Etage	Hauteur (m)	$\delta_{ek}(m)$	Coefficient de comportement	$oldsymbol{\delta_K}$ dep reel	$\Delta_{\mathbf{k}} = \delta_{\mathbf{K}} - \delta_{\mathbf{K}-1}$	$1\%h_k$	Remarque
RDC	3.10	0.004	4	0.016	0.004	0.0310	vérifié
1 ^{er} étage	3.10	0.012	4	0.048	0.008	0.0310	vérifié
2 ^{éme} étage	3.10	0.022	4	0.088	0.010	0.0310	vérifié
3 ^{em} étage	3.10	0.032	4	0.128	0.010	0.0310	vérifié
4 ^{éme} étage	3.10	0.043	4	0.172	0,011	0.0310	vérifié

Analysedesrésultats:

D'après le tableau ci-dessus, on remarque que dans les deux sens les déplacements relatifsduseaux efforts sismiques sont inférieurs aux déplacements relatifs admissibles donnée par leRPA,donc la stabilité de l'ouvrage sous charges horizontales est assurée.

c. Justification de l'interaction voile portique : Tableaux IV.8 : le coefficient de comportement R.

	Voi	le de contrev	entement	Poteaux				
	Effort tranchant		Effort normal	Effort to	Effort tranchant			
Etage	Tx	Ту	N	Tx	Ту	N		
RDC	9,03	89,45	-3546,04	-10,41	-78,85	-8043,85		
1	7,43	104,52	-2816,33	-8,74	-118,88	-6379,59		
2	-6,72	94,78	-2143,46	5,66	-101,61	-4740,27		
3	-4,39	59,84	-1434,94	3,66	-62,41	-3136,59		
4	-0,58	-15,72	-687,87	0,83	12,92	-1577,53		
Résultat		Le coefficient de comportement R = 4						

d. Justification vis-à-vis de l'effet $P-\Delta$:

C'est le moment additionnel dû au produit de l'effort normal dans un poteau au niveau d'un nœud de la structure par le déplacement horizontal du nœudconsidéré

$$\theta = \frac{Pk \times \Delta k}{Vk \times Hk} \le 0.1$$

Tel que:

 P_k :Poids total de la structure et des charges d'exploitations associées au dessus du niveau k Avec P_k =

 ${\textstyle\sum_{i=1}^{n}}(w_{Gi}+\beta W_{Qi})$

 V_K :Effort tranchant d'étage de niveau «k».

 Δ_k :Déplacement relatif du niveau «k» parrapport au niveau «k-1»

H_k:Hauteurdel'étage«k».

Si $0.1 \le \theta \le 0.2$

L'effetP- Δ peut être pris en compte de manière approximative en amplifiantes effets del'action sismique calculée aux moyens d'une analysée la statique du premier ordre parle facteur $\frac{1}{1-\theta_h}$

Si $\theta_k \geq 0.2$ la structure est partiellement instable elle doit être redimensionnée

TableauIV.9: Vérification à L'effet P-∆.

	Sens X-X						
Etage	P(KN)	Δ (m)	V(KN)	h(m)	Θ	Vérification	
RDC	11589,89	0,005	998,83	3.10	0,0187	Ok	
1	9195,92	0,009	950,05	3.10	0,0281	Ok	
2	6883,73	0.010	827,99	3.10	0,0260	Ok	
3	4571,54	0.011	642,67	3.10	0,0250	Ok	
4	2265,4	0,009	379,51	3.10	0,0173	Ok	

Tableau IV.10: Vérification de l'effet P-Δ au sens y-y.

	Sens Y-Y							
Etage	P(KN)	Δ (m)	V(KN)	h(m)	Θ	Vérification		
RDC	11589,89	0.004	1000,07	3.10	0,0153	Ok		
1	9195,92	0.008	945,69	3.10	0,0250	Ok		
2	6883,73	0.010	824,65	3.10	0,0269	Ok		
3	4571,54	0.010	643,61	3.10	0,0229	Ok		
4	2265,4	0.011	385,7	3.10	0,0208	Ok		

Donc l'effet P- Δ est vérifié.

➤ Vérification au renversement : (RPA99/V2003 Art.5.5.)[1]

Le moment de renversement qui peut être causé par l'action sismique doit être calculé par rapport au niveau de contact sol-fondation. Le moment stabilisant sera calculé en prenant en compte le poids total équivalent au poids de la construction, au poids des fondations et éventuellement au poids du remblai. $M_s > M_r$

Avec:

M_s:Moment stabilisant

M_r: Moment de renversement

Cette condition d'équilibre se réfère à la stabilité d'ensemble du bâtiment ou de l'ouvrage. Soumis à des effets de renversement et/ou de glissement

$$M_{renversement} = \sum\nolimits_{n=1}^{n} F_{i} \times D_{i}$$

$$M_{\text{stabilisant}} = W \times b$$

b: la distance au centre de gravité selon la direction x-x et y-y (Xg;Yg).

Il faut vérifier que:

$$\frac{M_{stabilisant}}{M_{renversement}} \ge 1.5$$

TableauIV.11 : Vérification de renversement sens xx

ETAGE	$V_{x}(KN)$	h (m)	W (KN)	Xg (m)	M _r (KN)	M _s (KN)	
1	998,83	3.10	11589.89		151,218		
2	950,05	3.10	11589.89		378,386	126909.2955	
3	827,99	3.10	11589.89	10.95	574,492		
4	642,67	3.10	11589.89		815,796		
5	379,51	3.10	11589.89		1176,481		
				Somme	3096.373	OK	

$$\frac{M_{stabilisant}}{M_{renversement}} = \frac{126909.2955}{3096.373} = 40.9 \ge 1.5$$
 →Cette condition est vérifiéeselon X

TableauIV.12:Vérification de renversement sensyy.

ETAGE	V _y (KN)	h (m)	W (KN)	Yg (m)	M _r (KN)	Ms (KN)
1	1000,07	3.10	11589.89		168,578	
2	945,69	3.10	11589.89		375,224	59919.7313
3	824,65	3.10	11589.89	5.17	561,224	
4	643,61	3.10	44500.00		799,521	
5	385,7	3.10	11589.89		1195,67	
1				Somme	3100,217	OK

 $\frac{59919.7313}{3100.217}$ = 19.32 \geq 1.5 Cette condition est vérifiée selon Y.

➤ Effort normal réduits : RPA Article (7.1.3.3 et 7.4.3)[1]:

Dans le but d'éviter ou limiter le risque de rupture fragile sous sollicitation d'ensemble dues au séisme. Le RPA99 (7.4.3.1) exige de vérifier l'effort normal de compression de calcul qui est limité par la condition suivante :

$$V = \frac{N_{\rm d}}{B_{\rm c} f_{\rm c28}} \le 0.3$$

Ou N_d : désigne l'effort normal de calcul s'exerçant sur une section de béton (obtenu par Autodesk Robot Structural Analysais)

B_c: est l'aire (section brute) de cette dernière.

f_{ci}:est la résistance caractéristique du béton.

Pour calculer l'effort normal « N_d » selon le CBA, (l'Article B.8.2.2) [2] pour un poteau soumis aux charges dues à la pesanteur et au séisme : "Les combinaisons d'action à considérersont celles données par les RPA." Les combinaisons du RPA pour un ouvrage avec des voiles (mixtes) sont connues.

Vérification d'effort normal réduit des poteaux :

$$V = \frac{1168.42 * 10^3}{300 * 400 * 25} = 0.3 \le 0.3$$

Tableau. IV.13: Vérification d'effort normal réduit de poteau.

Niveau	Poteau	N _d (KN)	B _c cm ²	f _{c28} (MPa)	V	V≤ 0.3
Tous les niveaux	30*40	1168.42	30*40	25	0.3	CV

Calcul de l'excentricité :

L'excentricité théorique:

$$e_x = |X_G - X_R|$$
 ; $e_v = |Y_G - Y_R|$

L'excentricité accidentelle:

Dans notre cas (analyse tridimensionnelle) en plus de l'excentricité théorique calculée, une excentricité accidentelle (additionnelle) égale à \mp 0.05 L, (L étant la dimension du plancher perpendiculaire à la direction de l'action sismique) doit être appliquée au niveau du plancher considéré suivant chaque direction.

$$e_{acc} = 0.05 \times L$$
 $L_x = 22.20$; $L_y = 10.35$

L : étant la dimension du plancher perpendiculaire à la direction de l'action sismique.

Plancher	X _G	Y _G	X _R	Y _R
RDC	10.95	5.17	10.94	4.88
1	10.95	5.17	10.94	4.88
2	10.95	5.17	10.94	4.88
3	10.95	5.17	10.94	4.88
4	10.95	4.97	10.94	4.56

Tableau IV.14: Valeurs centre de masse et centre de torsion.

Tableau IV.15:L'excentricité théorique et accidentelle.

Plancher	L'excentrici	ité théorique	L'excentrici	té accidentelle	Observation	
Flancher	e _x	e _y	e _{acc} (ox)	e _{acc} (oy)	$e_{th\acute{e}} < e_{acc}$	
RDC	0.01	0.29	1.1	0.52	CV	
1	0.01	0.29	1.1	0.52	CV	
2	0.01	0.29	1.1	0.52	CV	
3	0.01	0.29	1.1	0.52	CV	
4	0.01	0.29	1.1	0.52	CV	

IV.7 CONCLUSION:

Parmi les méthodes utilisées pour la modélisation, on utilise la méthode modale spectrale qui vérifier tous les critères d'utilisation.

L'exploitation des résultats donnés par le logiciel Auto desk Robot 2021 , a permis de vérifier plusieurs critères :

- ➤ Déterminer les modes propres de telle sorte que la 1ère et 2ème translation, la 3ème torsion pour avoir plus de sécurité.
- ➤ Vérification de la période fondamentale de la structure selon les exigences de l'RPA.
- ➤ Vérifier l'effort tranchant à la base obtenu par l'approche statique équivalente est spécifié comme l'effort tranchant minimal à la base (=0,8.Vmse)
- Vérifier l'effet de torsion additionnelle.
- Vérifier le déplacement inter-étage qui est un indice de dommage de l'étage.
- \triangleright Vérifier l'effet P- \triangle pour la stabilité de structure vis-à-vis de moment de 2ème ordre.
- ➤ Vérifier le pourcentage donné par le RPA99 version2003 pour justifier le choix de coefficient de comportement.
- Vérification de la condition de l'effort réduit.

Chapitre V Ferraillage des éléments resistants

V.1 Introduction:

La superstructure est la partie supérieure du bâtiment, située au-dessus du sol. Elle est constituée de l'ensemble des éléments de contreventement : Les portiques (poteaux – poutres) et les voiles. Ces éléments sont réalisés en béton armé. Leur rôle est d'assurer la résistance et la stabilité de la structure avant et après le séisme. Cependant ces derniers doivent être bien armés et bien disposés de telle sorte qu'ils puissent supporter et reprendre tout genre de sollicitations. Notre structure est composée essentiellement de trois éléments structuraux à savoir :

- Les poutres
- Les poteaux
- Les voiles

Le ferraillage des éléments résistants devra être conforme aux règlements en vigueur le **CBA93**[3] et le **RPA99 version 2003**[5]

V.2 Les combinaisons d'actions :

Ce sont des ensembles de lois constituées par les différentes actions (GQ et E), ces combinaison varient selon la situation (durable ou accidentelle), Elles représentent une étape indispensable pour la détermination des sollicitations revenant aux éléments résistants.

V.2.1 Les actions :

Les actions sont les forces et couples dus aux charges appliquées directement à la structure ou1 dues aux déformations imposées (variations de température, retrait, fluage...etc.)

- Action permanente G : due au poids propre de la structure.
- Action variable Q : due au chargement d'exploitation de la structure.
- Action accidentelle E : provenant de phénomènes rares, tels que les séismes ou les chocs.

V.2.2 Les sollicitations :

Les sollicitations sont les efforts (normaux ou tranchants) et les moments (de flexion ou de torsion) calculés à partir des combinaisons d'actions par des méthodes forfaitaires ou celles de la résistance des matériaux.

V.2.3 Les combinaisons des charges:

o Les combinaisons du BAEL91 (situation durable) : [1]

Le BAEL91 exige deux types de combinaisons d'actions selon les deux états limites :

```
✓ ELU: 1.35G + 1.5Q
✓ ELS: G + Q
```

o Les combinaisons du RPA99 (situation accidentelle): [5]

Pour la détermination des sollicitations nécessaires au calcul des éléments résistants, le règlement parasismique Algérien prend en compte la force sismique comme une action accidentelle (E) dans ses combinaisons d'actions qui sont

$$\checkmark$$
 G + Q \pm E
 \checkmark 0.8G + E

Les armatures seront calculées à l'état limite ultime (E.L.U) dans les situations durable et accidentelle, sous l'effet des sollicitations les plus défavorables selon les deux sens.

V.3 Étude des poteaux:

Les poteaux sont des éléments structuraux verticaux assurant la transmission des efforts à partir des poutres aux fondations ; et ainsi ils jouent un rôle très important dans le contreventement de la structure.

Un poteau est soumis à un effort normal « N » excentré par rapport aux axes et à un moment de flexion « M » dans les deux sens longitudinal et transversal dû à l'action horizontale. Donc les poteaux sont soumis à la flexion composée. Une section soumise à la flexion composée peut être calculée comme :

- Une section en compression centrée CC.
- Une section entièrement tendue ET.
- Une section entièrement comprimée EC.
- Une section partiellement comprimée PC.

La section d'acier sera calculée pour trois combinaisons, et on choisit la plus défavorable (la valeur maximale) :

```
- 1^{\text{er}} cas : N_{\text{max}}et M correspondant. \longrightarrow A_1

- 2^{\text{ème}} cas : N_{\text{min}}et M correspondant. \longrightarrow A_2 \longrightarrow A = \max (A_1; A_2; A_3)

- 3^{\text{ème}} cas : M_{\text{max}}et N correspondant. \longrightarrow A_3
```

Les armatures seront calculées à l'état limité ultime « ELU » sous l'effet des sollicitations les plus défavorables et ce dans les couples des sollicitations suivants :

RPA99 b(article5.2):
$$\begin{cases} 1.35G + 1.5Q \\ G + Q \\ G + Q \pm E \\ 0.8G \pm E \end{cases}$$

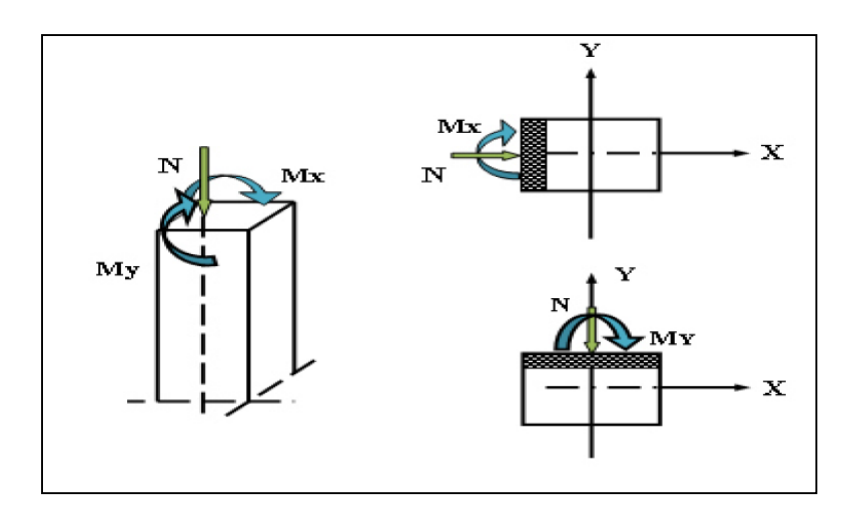


Figure V.1:Les sollicitations revenantes aux poteaux.

V.3.1 Etapes de calcul selon BAEL91: [1]

Le calcul se fera en flexion composée sous un effort normal N et un moment fléchissant M comme suit selon la combinaison la plus défavorable :

$$M_u = e \times N_u$$
 Avec : $e = e_1 + e_a + e_2$

$$e_1 = \frac{M_{corr}}{N_{max}};$$

$$e_a = \max (2cm; \frac{L}{250})$$

$$\mathbf{e_2} = \frac{3 \times l_f^2}{10000 \times h} (2 + \alpha \emptyset)$$
 Avec : $\alpha = 10 \times \left(1 - \frac{M_u}{1.5 \times M_{ser}}\right)$

e₁ : Excentricité du premier ordre à l'ELU

 $\mathbf{e_a}$: Excentricité additionnelle traduisant les imperfections géométriques initiales (Après exécution).

e₂ : Excentricité due aux effets du second ordre

l_f: Longueur de flambement du poteau.

h:la hauteur de la section droite dans le plan de flexion.

Ø:Rapport de la déformation due au fluage à la déformation instantané.

V.3.2 Recommandations du RPA99 (Article 7.4.2.1): [5]

V.3.2.1 Les armatures longitudinales :

Les armatures longitudinales doivent être à haute adhérence, droites et sans crochets :

- ✓ A_{min} = 0.8 %de la section de béton (en **zonella**).
- ✓ A_{max} = 4 %de la section de béton (en **zonecourante**).

- ✓ A_{max}= 6 %de la section de béton (en zonederecouvrement).
- $\checkmark \phi_{\min} \ge 12 \text{ mm} \text{ (diamètre minimal utilisé pour les barres longitudinales)}.$
- ✓ La longueur minimale de recouvrement est de 40øen zoneIIa.
- ✓ La distance entre les barres verticales dans une face du poteau ne doit pas dépasser 25 cm(en zoneIIa).
- ✓ Les jonctions par recouvrement doivent être faites si possible, à l'extérieur des zones nodales (zone critique).

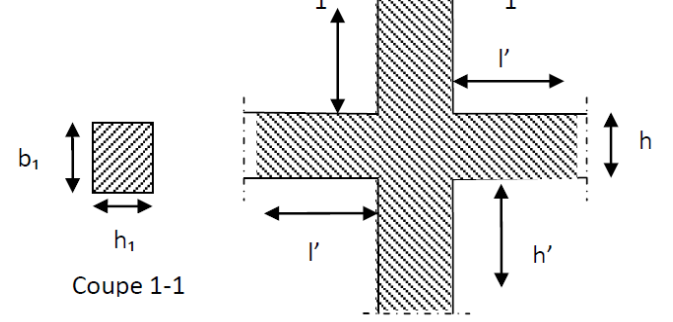
La zone nodale est définie par : l'et h'.

$$l'=2h'$$

$$\mathbf{h}' = \max\left(\frac{\mathbf{h}_e}{6}, \mathbf{b}_1, \mathbf{h}_1, 60 \text{cm}\right)$$

 $(\mathbf{b_1} \times \mathbf{h_1})$ Section de poteau.

h_e: Hauteur d'étage.



Les valeurs numériques relatives aux

prescriptions du RPA99[5] sont apportées dans le tableau suivant :

Tableau V.1: Armatures longitudinales minimales et maximales dans les poteaux.

				$A_{max(RPA)}(cm^2)$		
Section (cm ²)	$\begin{array}{c} A_{min(BAEL)} \\ (cm^2) \end{array}$	$\begin{array}{c} A_{max(BAEL)} \\ (cm^2) \end{array}$	$\begin{array}{c} A_{min(RPA)} \\ (cm^2) \end{array}$	zone courante	zonede recouvrement	
30×40	2.4	60	9.6	48	72	

V.3.2.2 Les armatures transversales :RPA99 (Art 7.4.2.2) [3]

Les armatures transversales des poteaux sont calculées à l'aide de la formule :

$$\frac{A_t}{t} = \frac{\rho \times V_u}{h_1 \times f_e}$$

Avec:

A_t:Section d'armatures transversales.

S_t: Espacement des armatures transversales.

 $(\mathbf{t} < 15\emptyset_1 \dots \dots \dots \dots \dots$ En zone courante.

 $\{ \mathbf{t} \leq \min(10\emptyset_1; 15\text{cm}) \dots \dots \text{ En zone nodale. } \}$

 V_u : Effort tranchant à l'ELU.

f_e: Contrainte limite élastique de l'acier d'armatures transversales.

h₁: Hauteur totale de la section brute.

ρ: Coefficient correcteur qui tient compte du mode fragile de la rupture par l'effort tranchant.

$$\begin{cases} \boldsymbol{\rho} = 2.5 \dots \dots \dots \text{Si: } \lambda_g \geq 5 \\ \boldsymbol{\rho} = 3.75 \dots \dots \text{Si: } \lambda_g < 5 \end{cases}$$

 λ_g : L'élancement géométrique du poteau.

$$\begin{cases} \lambda_g &= \frac{L_f}{a} \\ \text{ou} & \dots \\ \lambda_g &= \frac{L_f}{b} \end{cases}$$
 (a et b sont les dimensions de la section)

 L_f : Longueur de flambement = 0.7 l_0

 $\mathbf{l_0}$: Hauteur libre d'étage = $\mathbf{h_{potau}}$ - $\mathbf{h_{poutre}}$

V.3.2.3 La quantité minimale des armatures transversales :

 $\frac{A_t}{t \times b_1}$: En pourcentage et donné comme suit :

$$\begin{cases} \text{Si}: \lambda_g \geq 5: A_{t\,min} = 0.3 \,\%(t\,;\,b_1).\\ \text{Si}: \lambda_g \leq 3: A_{t\,min} = 0.8 \,\%(t\,;\,b_1).\\ \text{Si}: 3 < \lambda_g < 5:: Interpolation entre les valeurs limites précédentes.} \end{cases}$$

Les cadres et les étriers doivent être fermés par des crochets à 135° ayant une longueur droite de 100_{t} minimums.

Les cadres et les étriers doivent ménager des cheminées verticales en nombre et diamètre suffisants (Ø cheminées > 12 cm) pour permettre une vibration correcte du béton sur toute la hauteur des poteaux.

V.3.2.4 Coffrage : RPA7.4.1[5]

Les dimensions de la section transversales des poteaux doivent satisfaire les conditions suivantes :

- Min $(b_1; h_1) \ge 25$ cm en zone IIa.
- Min $(b_1; h_1) \ge h_e /20$.
- $1/4 \le b_1/h_1 \le 4$.

V.3.3 Ferraillage des poteaux :

Le ferraillage des poteaux est calculé en flexion composée en fonction de l'effort normal (N) et le moment fléchissant (M). Les poteaux seront ferraillés à partir des résultats obtenus de l'analyse dynamique qui a été effectuée par le logiciel Robot.

- Les poteaux sont soumis aux efforts revenant de la combinaison (G + Q \pm E) suivants:
- Effort Normal;

- Effort Tranchant;
- Moment Fléchissant.
- Le résumées des sollicitations données par le logiciel ROBOT.

$$\gamma_b = 1.5$$
 $\gamma_s = 1.15$ $f_{c28} = 25 \text{ MPa}$ $f_e = 400 \text{ MPa}$

N > 0: *Effort de traction*.

N < 0: Effort de compression.

Tableau V.2:Les sollicitations dues aux poteaux.

	EI	LU		Situation accidentelle				
	$N_{max} \longrightarrow M_{corre}$		$N_{\min} \longrightarrow M_{corre}$		$M_{max} \longrightarrow N_{corre}$			
	1.35G + 1.5Q		0.8G±Ex		G+Q±Ex			
Poteaux	N (KN)	M(KN.m)	N (KN)	M(KN.m)	M(KN.m)	N (KN)	Tmax(KN)	
30×40	1168.42	42.50	191.93	21.14	77.59	1127.75	77.42	

Section du Poteau :

$$b = 0.30 \text{ m}$$

$$h = 0.40 \text{ m}$$

$$d = 0.9h = 0.36 \text{ m}$$

$$d' = h - d = 0.04 \text{ m}$$

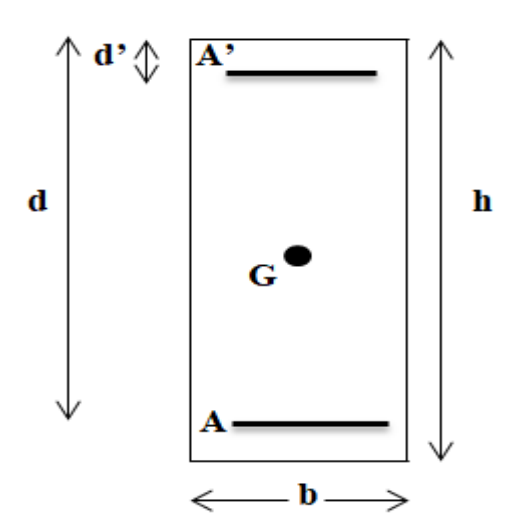


Figure V.2: Section du Poteau à ferrailler.

• Etat limite de stabilité de forme :

Les sections soumises à un effort normal de compression doivent être justifiées vis à vis de l'état limite de stabilité de forme conformément au BAEL91 en adoptant une excentricité totale de calcul : $e = e_1 + e_a + e_2$

Avec:

e₁: Excentricité du premier ordre à l'ELU

 $\mathbf{e_a}$: Excentricité additionnelle traduisant les imperfections géométriques initiales (Après exécution).

e2: excentricité due aux efforts du second ordre.

$$\mathbf{e_1} = \frac{M_u}{N_u}$$
; $\mathbf{e_a} = \max (2\text{cm}; \frac{L}{250})$; $\mathbf{e_2} = \frac{3 \times l_f^2}{10000 \times h} (2 + \alpha \emptyset)$

Avec:

L: Longueur du poteau.

l_f: Longueur de flambement du poteau.

h: Hauteur totale de la section du poteau dans la direction du flambement.

 α : Rapport du moment du premier ordre, dû aux charges permanentes et quasi- permanentes, au moment total du premier ordre. $\alpha = \frac{M_G}{M_G + M_Q} \quad \text{Où}: \quad \alpha = 10 \times \left(1 - \frac{M_u}{1.5 \times M_{ser}}\right)$

Ø: Rapport de la déformation finale due au fluage à la déformation instantané.ce rapport est généralement pris égal à 2.

Les sollicitations de calcul deviennent ainsi : Nu $% \left(1,0\right) =0$ inchangé $\ M_{u}=N_{u}(e_{1}+e_{a}+e_{2})$.

V.3.3.1Détermination des sections d'acier :

Cas 1:

$$\begin{cases} N_{max} = 1168.42 \text{ KN} \\ M_{corre} = 42.50 \text{ KN. m} \\ M_{ser_{(corre)}} = 33.88 \text{ KN. m} \end{cases}$$

 $N_{\rm u} > 0$:Donc le poteau est soumis à un effort de compression.

$$e_G = \frac{M_{corre}}{N_{max}} = \frac{42.50}{1168.42} = 0.036 \text{ m}$$

 $e_G = 0.036 \text{ m} < \frac{h}{2} = \frac{0.4}{2} = 0.2 \text{ m}$ Le centre de pression est à l'intérieur de la section.

Alors:

N est un effort de compressionet le centre de pression est à l'intérieur de la section du béton ,donc la section est partiellement comprimée (SPC).et le calcul sera fait par la flexion simple.

Calcul de l'excentricité additionnelle e_a : (BAEL A.4.3.5) [2]

$$\mathbf{e_a} = \max (2 \text{cm}; \frac{L}{250})$$
 $\mathbf{e_a} = \max (2 \text{cm}; 1.24) = 0.02 \text{ m}$

$$e_1 = e_0 + e_a = 0.036 \text{ m} + 0.02 \text{ m} = 0.056 \text{m} = 5.6 \text{ cm}$$

$$\frac{l_f}{h} \le \max\left(15; 20 \frac{e_1}{h}\right) = \frac{2.17}{0.40} \le \max\left(15; 20 \times \frac{0.056}{0.40}\right) = 5.43 \le \max(15; 2.8) \dots C.V$$

Donc le calcul se faire dans la flexion composée :

Donc on calcul e₂:

Vérification de l'excentricité due aux effets du second ordre : (CBA93 A.4.3.5) [3]

$$\mathbf{e_2} = \frac{3 \times l_f^2}{10000 \times h} (2 + \alpha \emptyset)$$

 $\emptyset = 2$: rapport de la déformation due au fluage à la déformation instantané.

 α :le rapport de moment de premier ordre de la charge permanente au moment total de premier ordre.

$$\alpha = 10 \times \left(1 - \frac{M_u}{1.5 \times M_{ser}}\right) = 10 \times \left(1 - \frac{42.50}{1.5 \times 33.88}\right) = 1.6$$

$$\mathbf{e_2} = \frac{3 \times (0.7 \times 3.10)^2}{10000 \times 0.4} (2 + 1.6 \times 2) = 0.0184 \text{ m}$$

$$e_2 = 1.84 \text{ cm}$$

$$e = e_1 + e_2 = 5.6 + 1.84 = 7.44 \text{ cm}$$

Il faut vérifier que:

$$M_2 = (N_u - N_0) \left(\frac{h}{2} - d'\right) > M_u$$

$$N_0 = bhf_{bu} = 300 \times 400 \times 14.16 = 16992 \text{ KN}$$

$$M_2 = (1168.42 - 1699.2) \left(\frac{0.4}{2} - 0.04\right) = -84.92 \text{KN. m} > M_u \dots C.V$$

$$M_3 = N_u \left(\frac{h}{2} - d'\right) - (0.337h - 0.81d')N_0 \le M_u$$

$$M_3 = 1168.42 \times \left(\frac{0.4}{2} - 0.04\right) - (0.337 \times 0.4 - 0.81 \times 0.04) \times 1699.2 = 12.96$$

$$M_3=12.96 \text{ KN. m} \le M_u = 42.50 \text{ KN. m} \dots C.V$$

$$\Psi = \frac{0.3754 N_0 h + N_u \left(\frac{h}{2} - d\prime\right) - M_u}{(0.8571 h - d\prime) \times N_0} = \frac{0.3754 \times 1699.2 \times 0.40 + 1168.42 \times \left(\frac{0.40}{2} - 0.04\right) - 42.50}{(0.8571 \times 0.40 - 0.04) \times 1699.2} = 0.78$$

$$\Psi = 0.78 < 0.8095$$

La section est partiellement comprimée et le calcul sera fait par assimilation à la flexion simple :

$$M_u = N_u \times e = 1168.42 \times 0.0744 = 86.93 \text{ KN.m}$$

$$M_{ua} = M + N_u \times \left(d - \frac{h}{2}\right) = 86.93 + 1168.42 \times \left(0.36 - \frac{0.40}{2}\right) = 273.88 \text{ KN.m}$$

$$\mu_{\text{bu}} = \frac{M_{\text{ua}}}{\text{bd}^2 f_{\text{bu}}} = \frac{273.88 \times 10^6}{300 \times 360^2 \times 14.16} = 0.49$$

$$\epsilon_l = \frac{f_e}{\gamma_s E_s} = \frac{400}{1.15 \times 2 \times 10^5} = 0.0017$$

$$\alpha_{lim} = \frac{3.5}{3.5 + 1000\epsilon_l} = 0.67$$

$$\mu_{lim} = 0.8\alpha_{lim}(1 - 0.4\alpha_{lim}) = 0.8 \times 0.67 \times (1 - 0.4 \times 0.67) = 0.392$$

$$\begin{split} \epsilon_{sc} &= (3.5 \times 10^{-3} + \epsilon_l) \times \left[\frac{d - d'}{d}\right] - \epsilon_l \\ &= (3.5 \times 10^{-3} + 0.0017) \times \left[\frac{0.36 - 0.04}{0.36}\right] - 0.0017 \end{split}$$

$$\varepsilon_{\rm sc} = 0.0029 > \varepsilon_{\rm l} = 0.0017$$

Donc :
$$\sigma_{sc} = \frac{f_e}{\gamma_s} = \frac{400}{1.15} = 348 \text{ MPa}$$

$$M_R = \mu_{lim} \times b \times d^2 \times f_{bu} = 0.392 \times 0.3 \times 0.36^2 \times 14.16 \times 10^3 = 215.8 \text{ KN. m}$$

$$Z = d (1 - 0.4\alpha_l) = 0.36 \times (1 - 0.4 \times 0.67) = 0.26 \text{ m}$$

$$A_{sc} = \frac{M_{ua} - M_R}{(d - d') \times \sigma_{sc}} = \frac{273.88 - 215.8}{(0.36 - 0.04) \times 348 \times 10^3} = 5.2 \times 10^{-4} \text{m}^2 \longrightarrow A_{sc} = 5.2 \text{ cm}^2$$

$$A_{st} = \left[\frac{M_R}{Z} + \frac{M_u - M_R}{d - d'}\right] \times \frac{\gamma_s}{f_e} = \left[\frac{215.8}{0.26} + \frac{273.88 - 215.8}{0.36 - 0.04}\right] \times \frac{1.15}{400 \times 10^3} = 2.9 \times 10^{-3} \text{m}^2$$

$$A_{st} = 29 \text{ cm}^2$$

• Revenir à la flexion composée :

$$A_2 = \frac{N_u}{\sigma_s} - A_1 = \frac{1168.42}{348 \times 10^3} - 0.0029 = 4.57 \times 10^{-4} \text{m}^2$$

$$A_2 = 4.57 \text{ cm}^2$$

Cas 2 :

$$\begin{cases} N_{min} = 191.93 \text{ KN} \\ M_{corre} = 21.14 \text{ KN. m} \\ M_{ser_{(corre)}} = 4.37 \text{ KN. m} \end{cases}$$

$$e_G = \frac{M_{corre}}{N_{min}} = \frac{21.14}{191.93} = 0.110 \text{ m}$$

$$e_G \le d - \frac{h}{2} = \left(36 - \frac{40}{2}\right)$$
 11 cm ≤ 16 cm

$$M_u = +N_u \left(d - \frac{h}{2} + e_G\right) = 191.93 \times \left(0.36 - \frac{0.4}{2} + 0.11\right) = 51.82 \text{ KN.m}$$

$$A_1 = \frac{M_u}{(d-d')\times\sigma_s} = \frac{21.14\times10^6}{(360-40)\times348} = 189.83 \text{ mm}^2 = 1.9 \text{ cm}^2$$

$$A_2 = \frac{N_u}{\sigma_s} - A_1 = \frac{191.93 \times 10^3}{348} - 189.83 = 361.69 \text{mm}^2 = 3.61 \text{ cm}^2$$

$$A = A_1 + A_2 = 5.51 \text{ cm}^2$$

❖ Cas 3:

$$\begin{cases} M_{max} = 77.59 \text{ KN} \\ N_{corre} = 1127.75 \text{ KN. m} \\ M_{ser_{(corre)}} = 33.88 \text{ KN. m} \end{cases}$$

 $N_u > 0$:Donc le poteau est soumis à un effort de compression.

$$e_G = \frac{M_{max}}{N_{corre}} = \frac{77.59}{1127.75} = 0.068 \text{ m}$$

 $e_G = 0.068 \text{ m} < \frac{h}{2} = \frac{0.4}{2} = 0.2 \text{ m}$ Le centre de pression est à l'intérieur de la section.

Alors:

N est un effort de compression et le centre de pression est à l'intérieur de la section du béton , donc la section est partiellement comprimée (SPC). et le calcul sera fait par la flexion simple.

Calcul de l'excentricité additionnelle e_a : (BAEL A.4.3.5) [2]

$$e_a = \max \left(2 \text{cm}; \frac{L}{250}\right) \longrightarrow e_a = \max \left(2 \text{cm}; 1.24\right) = 0.02 \text{ m}$$

$$e_1 = e_0 + e_a = 0.068 \text{ m} + 0.02 \text{ m} = 0.088 \text{ m} = 8.8 \text{ cm}$$

Donc le calcul se faire dans la flexion composée :

Donc on calcul e_2 :

Vérification de l'excentricité due aux effets du second ordre : (CBA93 A.4.3.5) [3]

$$\mathbf{e_2} = \frac{3 \times l_f^2}{10000 \times h} (2 + \alpha \emptyset)$$

 $\emptyset = 2$: rapport de la déformation due au fluage à la déformation instantané.

 α :le rapport de moment de premier ordre de la charge permanente au moment total de premier ordre.

$$\alpha = 10 \times \left(1 - \frac{M_u}{1.5 \times M_{sor}}\right) = 10 \times \left(1 - \frac{77.59}{1.5 \times 33.88}\right) = 5.26$$

$$\mathbf{e_2} = \frac{3 \times (0.7 \times 3.10)^2}{10000 \times 0.4} (2 + 5.26 \times 2) = 0.0442 \text{ m}$$

$$e_2 = 4.42 \text{ cm}$$

$$e = e_1 + e_2 = 8.8 + 4.42 = 13.22 \text{ cm}$$

Il faut vérifier que :

$$M_2 = (N_u - N_0) \left(\frac{h}{2} - d'\right) > M_u$$

$$N_0 = bhf_{bu} = 300 \times 400 \times 14.16 = 1699.2 \text{ KN}$$

$$M_3 = N_u \left(\frac{h}{2} - d'\right) - (0.337h - 0.81d')N_0 \le M_u$$

$$M_3 = 1127.75 \times \left(\frac{0.4}{2} - 0.04\right) - (0.337 \times 0.4 - 0.81 \times 0.04) \times 1699.2 = 6.44 \text{ KN.m}$$

$$M_3 = 6.44 \text{ KN. m} \le M_u = 77.59 \text{ KN. m} \dots C.V$$

$$\Psi = \frac{0.3754 N_0 h + N_u \left(\frac{h}{2} - d'\right) - M_u}{(0.8571 h - d') \times N_0} = \frac{0.3754 \times 1699.2 \times 0.40 + 1127.75 \times \left(\frac{0.40}{2} - 0.04\right) - 77.59}{(0.8571 \times 0.40 - 0.04) \times 1699.2} = 0.69$$

$$\Psi = 0.69 < 0.8095$$

La section est partiellement comprimée et le calcul sera fait par assimilation à la flexion simple :

$$M_u = N_u \times e = 1127.75 \times 0.132 = 148.863 \text{KN.m}$$

$$M_{ua} = M + N_u \times \left(d - \frac{h}{2}\right) = 148.863 + 1127.75 \times \left(0.36 - \frac{0.40}{2}\right) = 204.26 \text{KN.m}$$

$$\mu_{\text{bu}} = \frac{M_{\text{ua}}}{\text{bd}^2 f_{\text{bu}}} = \frac{204.26 \times 10^6}{300 \times 360^2 \times 14.16} = 0.37$$

$$\varepsilon_{l} = \frac{f_{e}}{v_{e}E_{e}} = \frac{400}{1.15 \times 2 \times 10^{5}} = 0.0017$$

$$\alpha_{lim} = \frac{3.5}{3.5 + 1000\epsilon_l} = 0.67$$

$$\mu_{lim} = 0.8\alpha_{lim}(1 - 0.4\alpha_{lim}) = 0.8 \times 0.67 \times (1 - 0.4 \times 0.67) = 0.392$$

$$\begin{split} \epsilon_{sc} &= (3.5 \times 10^{-3} + \epsilon_l) \times \left[\frac{d - d'}{d} \right] - \epsilon_l \\ &= (3.5 \times 10^{-3} + 0.0017) \times \left[\frac{0.36 - 0.04}{0.36} \right] - 0.0017 \\ \epsilon_{sc} &= 0.0029 > \epsilon_l = 0.0017 \end{split}$$

Donc :
$$\sigma_{sc} = \frac{f_e}{\gamma_s} = \frac{400}{1.15} = 348 \text{ MPa}$$

$$M_R = \mu_{lim} \times b \times d^2 \times f_{bu} = 0.392 \times 0.3 \times 0.36^2 \times 14.16 \times 10^3 = 215.8 \text{ KN. m}$$

$$Z = d (1 - 0.4\alpha_1) = 0.36 \times (1 - 0.4 \times 0.67) = 0.26 \text{ m}$$

$$A_{sc} = \frac{M_{ua} - M_R}{(d - d') \times \sigma_{sc}} = \frac{204.26 - 215.8}{(0.36 - 0.04) \times 348 \times 10^3} = 0.8 \times 10^{-4} \text{m}^2 \longrightarrow A_{sc} = 0.8 \text{ cm}^2$$

$$A_{st} = \left[\frac{M_R}{Z} + \frac{M_u - M_R}{d - d'}\right] \times \frac{\gamma_s}{f_e} = \left[\frac{215.8}{0.26} + \frac{273.88 - 215.8}{0.36 - 0.04}\right] \times \frac{1.15}{400 \times 10^3} = 2.3 \times 10^{-3} \text{m}^2$$

$$A_{st} = 23 \text{ cm}^2$$

• Revenir à la flexion composée :

$$A_2 = \frac{N_u}{\sigma_s} - A_1 = \frac{1127.75}{348 \times 10^3} - 0.0023 = 9.41 \times 10^{-4} \text{m}^2$$

 $A_2 = 9.41 \text{cm}^2$

• Armatures finales :

$$A_f = max (A_{calculer}; A_{BAEL}; A_{RPA})$$

V.3.3.2 La section des armatures longitudinale :

 $A_{calculer} = 9.41 \text{ cm}^2$

o Selon le BAEL 91 révisée 99 (Art A.8.1, 21) :

$$A_{u(min)} = max(0.2\% B; 4\% P)$$

Avec:

B : Section de béton.

P : Périmètre de la section .

$$A_{u(min)} = max[0.2\% (30 \times 40); 4\% \times 140]$$

$$A_{u(min)} = max(2.4cm^2; 5.6cm^2)$$

$$A_{u(min)} = 5.6 \text{ cm}^2$$
.

- Le pourcentage maximal des armatures :

$$A_{u(max)} = 5\% B = 60 cm^2$$
.

o Selon l'RPA 99 / version 2003 (Art 7.4.2) :

$$A_{u(min)} = 8\%B = 0.008 (30 \times 40)$$

$$A_{u(min)} = 9.6 \text{ cm}^2$$

Tableau V.3: Ferraillages longitudinaux des poteaux.

Poteaux	$A_{S(cal)}(cm^2)$	$A_{min}(cm^2)$	Choix (cm ²)	$A_{S(adop)}(cm^2)$
30×40	9.41	9.6	2HA12+6HA14	11.5

V.3.3.3 Armatures transversales (RPA article.7.4.2.2):[5]

Les armatures transversales des poteaux sont calculées à l'aide de la formule:

$$\begin{split} \frac{A_t}{t} &= \frac{\rho_{a \times V_u}}{h_1 \times f_e} \\ L_r &= 40 \; \emptyset_{min} \quad \longrightarrow \quad L_r = 40 \times 1.2 = 48 \; cm^2 \\ \emptyset_{l \; min} &= 1.2 \; cm \; ; \qquad \qquad L_f = 0.7 L_0 = 0.7 \times 3.10 = 2.17 \; m \end{split}$$

- zone nodale(zone IIa): $t \le min(10\emptyset_1; 15 cm)$.
- zone courante(zone IIa): $t \le 15\emptyset_1$.

 ρ_a : Est un coefficient correcteur qui tient compte du mode fragile de la rupture par effort tranchant, il est pris égal à:

$$\begin{cases} \mathbf{\rho} = 2.5 \dots \dots \dots \text{Si: } \lambda_{g} \ge 5 \\ \mathbf{\rho} = 3.75 \dots \dots \dots \text{Si: } \lambda_{g} < 5 \end{cases}$$

 λ_g : Est l'élancement géométrique du poteau.

$$\begin{cases} \lambda_g = \frac{L_f}{a} \text{ Ou } \frac{L_f}{b} \\ \lambda_g = \frac{L_f}{a} = \frac{2.17}{0.3} = 7.23 > 5 \\ \lambda_g = \frac{L_f}{b} = \frac{2.17}{0.4} = 5.43 > 5 \end{cases}$$

Donc:

$$\rho_{\rm a} = 2.5$$

 S_t :espacement des armatures transversales dont la valeur maximale est fixée en **zone IIa** comme suit :

Dans la zone nodale : $S_t \le \min(10\emptyset_1; 15 \text{ cm})$

 $S_t \le min(10 \times 1.2; 15 cm)$

 $S_t \le 12 \text{ cm}$

 $S_t = 10 \text{ cm}$

Dans la zone courant : $S_t \le 15\emptyset_l$

 $S_t \le 15 \times 1.2$

 $S_t \le 18 \text{ cm}$

 $S_t = 15 \text{ cm}$

 \emptyset_1 : Le diamètre minimal des armatures longitudinales des poteauxCalcul de la section de ferraillage transversale minimale ($A_{t\,min}$)

$$\lambda_g \geq 5A_{t \min} = 0.3\% (t \times b_1)$$

$$\lambda_g \leq 3A_{t \min} = 0.8\% (t \times b_1)$$

 $3 < \lambda_{\rm g} < 5$ Interpolation entre les valeurs limites précédentes.

Tableau V.4:Ferraillages transversaux des poteaux.

Section (cm ²)	L_{f} (m)	λ _g (%)	ρ_a	T _{u max} (KN)	Zone	S _t (cm)	A _{t min}	Choix (cm ²)	$\begin{array}{c} A_{S(adop)} \\ (cm^2) \end{array}$
					N	10	1.2		
30× 40	2.17	7.23	2.5	77.42	С	15	1.8	6HA8	3.02

D'après le code de Béton Armé (CBA93. Article A7.1.3). Le diamètre des armatures transversales est au moins égal à la valeur normalisée la plus proche du tiers (1/3) du diamètre des armatures longitudinales.

La contrainte de cisaillement doit être inférieure ou égale à la valeur limite suivante:

$$\tau_{\rm u} = \frac{T_{\rm u}}{{\rm b} \times {\rm d}} \le \overline{\tau}_{\rm u}$$

 τ_u :Contrainte de cisaillement,

T_u: L'effort tranchant pour l'état limite ultime,

b: Largeur de la section du poteau,

d: Hauteur utile de la section du poteau.

- <u>Selon BAEL99: [1]</u>

Fissuration préjudiciable :

$$\overline{\tau}_u$$
= min $\left[0.15 \times \frac{f_{c28}}{\gamma_b}; 4\text{MPa}\right] = 2.5 \text{ MPa}$

- **Selon RPA99 v 2003:**[5]

$$\begin{split} \overline{\tau}_u = & \rho_d \times f_{c28} \\ \rho_d = \begin{cases} 0.075 \dots \dots \dots \text{Si:} \, \lambda_g \geq 5 \\ 0.04 \dots \dots \text{Si:} \, \lambda_g < 5 \end{cases} \end{split}$$

Tableau V.5: Vérification de la contrainte de cisaillement pour les poteaux.

Section (cm ²)	L _f (m)	λ _g (%)	$ ho_{ m d}$	d (cm)	T _u (KN)	τ (MPa)	τ̄ _u (MPa)	Observation
30× 40	2.17	7.23	0.075	36	77.42	0.72	2.5	C.V

V.3.3.4 Vérification de stabilité de forme (CBA 93Article B.8.4.1):[3]

Les éléments soumis à la flexion composée, doivent être justifiés vis-à-vis du flambement.

$$N_{\rm u} \leq \overline{N} = \alpha \left[\frac{B_{\rm r} \times f_{\rm c28}}{0.9 \gamma_{\rm b}} + \frac{A_{\rm S} \times f_{\rm e}}{\gamma_{\rm s}} \right]$$

$$\lambda = \frac{L_f}{i} L_f = 0.7 L_0 = 2.17 \text{ m}$$

$$i = \sqrt{\frac{I}{B}} \begin{cases} B = b \times h = 0.3 \times 0.4 = 0.12 \text{ m}^2 \\ I = \frac{b \times h^3}{12} = \frac{0.3 \times 0.4^3}{12} = 4 \times 10^{-3} \text{ m}^4 \end{cases}$$

Donc:
$$i = \sqrt{\frac{4 \times 10^{-3}}{0.12}} = 0.18 \text{ m}$$

$$B_r = (b-2) \times (h-2)$$
 (section réduite)

$$\alpha = \frac{0.85}{1 + 0.2 \left(\frac{\lambda}{35}\right)^2} pour \lambda \le 50$$

$$\alpha = 0.60 \left(\frac{50}{\lambda}\right)^2 \text{pour} 50 < \lambda \le 70$$

Les résultats de vérification des poteaux au flambement sont résumés dans le tableau suivant :

Tableau V.6: Vérification des poteaux au flambement.

Section (cm ²)	L ₀ (m)	L _f (m)	(m)	λ	α	$\frac{B_r}{(m)^2}$	N (KN)	N _u (KN)	Observation
30× 40	3.10	2.17	0.18	12.06	0.83	0.106	1662.46	1127.75	C.V

Donc : pas de risque de flambement.

V.3.3.5 Longueur de recouvrement :

Selon **RPA** (Art 7.4.2.1) [5] La longueur minimale de recouvrement est:

$$L_r \ge 40 \times \emptyset$$
enzone**IIa**

Tableau V.7: Longueur de recouvrement.

Section (cm ²)	Ø _{l max} (cm)	$L_{\rm r}$
30× 40	1.4	56

V.3.3.6 Vérification de la contrainte à l'E.L.S:

La fissuration est peu nuisible, donc la vérification se fait pour la contrainte de compression du béton seulement, cette vérification sera faite pour le poteau le plus sollicité à chaque niveau.

Les contraintes sont calculées à l'état limite de service sous (M_{ser};N_{ser}) puis elles sont comparées aux contraintes admissible données par :

$$\begin{split} &\sigma_b \leq \overline{\sigma}_b \\ &\overline{\sigma}_{bc} = 0.6 \; f_{c28} = 0.6 \times 25 = 15 MPa \\ &\sigma_b = \frac{M_s \times y}{l} \\ &M_s = 33.88 \; \text{KN.} \; \text{m} \end{split}$$

• Position de l'axe neutre :

$$\frac{1}{2}by^{2}+n(y-d')A'_{s}-nA_{st}(d-y)=0$$

$$n(y-d')A'_{s} \neq 0$$

$$\frac{1}{2}\times30\times y^{2}+15(y-0.04)\times0.8-15\times11.5\times(36-y)=0$$

$$y=15.11 \text{ cm}$$

• Moment d'inertie :

$$I = \frac{1}{3}by^{3} + nA'_{s}(d - y)^{2} + nA_{st}(d - y)^{2}$$

y : distance de l'axe neutre a la fibre la plus comprimée.

I: moment d'inertie.

$$n = 15$$

$$nA'_{s}(d-y)^{2} \neq 0$$

$$\begin{split} I_t &= \frac{^{30\times15.11^3}}{^3} + 15\times0.8\times(36-15.11)^2 + 15\times11.5\times(36-15.11)^2 = 115012.3~\text{cm}^2\\ \sigma_b &= \frac{^{33.88\times10^6\times151.1}}{^{115012.3\times10^4}} = 4.45\text{Mpa} \end{split}$$

$$\sigma_b{=}4.45 Mpa < \overline{\sigma}_{bc} = 15 Mpa \ ... C.V$$
 Il n'ya pas risque de fissuration du béton en compression.

Les cadres doivent être formés par un crochet de 135° et une longueur de $10\phi_t$.

V. 3.4 Schéma de ferraillage des poteaux :

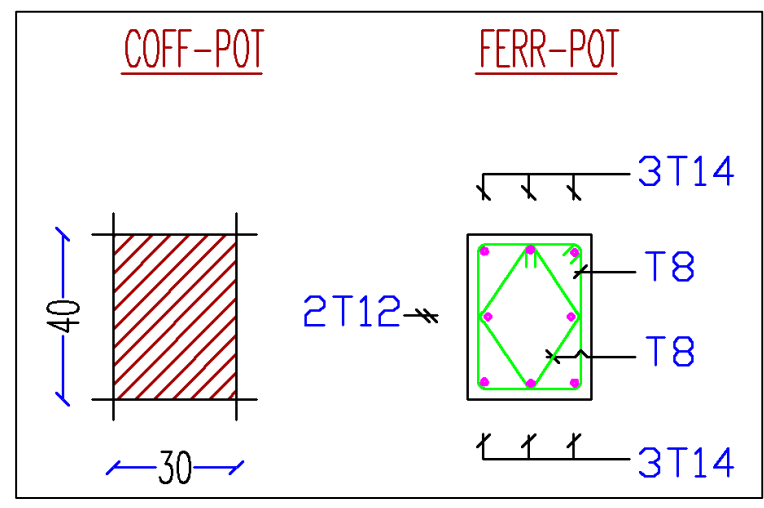


Figure V.3:Schéma de ferraillage des poteaux.

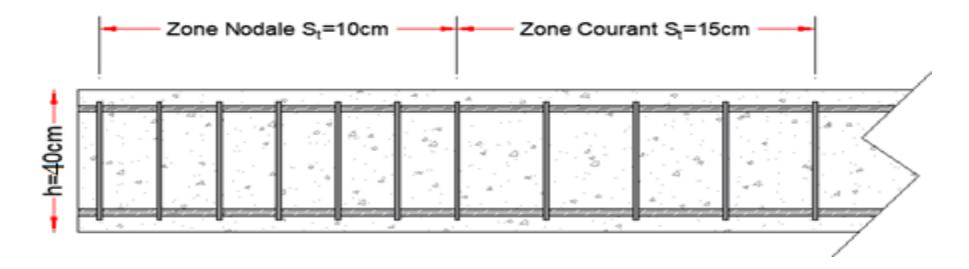


Figure V.4: Schéma de l'espacement zone courante et zone nodale.

V.4 Étude des poutres :

Les poutres sont des éléments structuraux horizontaux leur rôle est transmettre les charges apportées par les dalles aux poteaux. Elles sont sollicitées par des moments de flexion. Le moment fléchissant permet la détermination des dimensions des armatures longitudinales. L'effort tranchant permet de déterminer les armatures transversales. On distingue deux types de poutres, les poutres principales qui supportent les poutrelles et les poutres secondaires assurent le chaînage.

Les poutres seront calculées en flexion simple d'après les règlements du BAEL 91 modifie 99 on tenant compte des efforts données par le logiciel ROBOT. On fait le calcul pour les combinaisons suivantes :

V.4.1 Combinaison de calcul :

Après la détermination des sollicitations M et T, on procède au ferraillage avec les combinaisons les plus défavorables à savoir:

- > en travées:
- 1.35G+1.5Q combinaison d'ELU des règles
- et on vérifie avec la combinaison d'ELS: G+O
- en appui:
- G+Q± E: condition des RPA qui donne le maximum de moment négatif
- 0.8G±E: condition des RPA qui donne éventuellement, le maximum de moment positif

Le ferraillage d'une poutre suit les étapes de calcul d'une section rectangulaire soumise à la flexion simple.

V.4.2.les vérifications nécessaires:

➤ Condition de non fragilité: (BAEL 91)[1]:

$$A_{min} \ge max \left\{ \frac{b \times h}{100} \times 0.23 \times b \times d \times \frac{f_{t28}}{f_e} \right\}$$

- > Conditions du ferraillage imposées par le RPA :
- Armatures longitudinales:

Le pourcentage total minimum des aciers longitudinaux sur la longueur de la poutre est de 0.5% en toute la section.

Le pourcentage total maximum des aciers longitudinaux est de :

- 4% en zone courante.
- 6% en zone de recouvrement.

La longueur minimale de recouvrement est:400 len zone IIa.

• Armatures transversales :

La quantité d'armatures transversales minimales est données par : A_t = 0.003× S_t × b

S_t: L'espacement maximum entre les armatures transversales est déterminé comme suit :

- Zone nodale : $S_t \le \min(\frac{h}{4}; 12\emptyset_l)$
- Zone courante : $S_t \le \frac{h}{2}$

La valeur du diamètre Øl des armatures longitudinales à prendre est le plus petit diamètre utilisé. Dans le cas d'une section en travée avec armatures comprimées, c'est le diamètre le plus petit des aciers comprimés.

Les premières armatures transversales doivent être disposées à 5cm au plus du nu d'appui ou de l'encastrement.

V.4.3.Ferraillage des Poutres :

V.4.3.1. Poutre principale (30×40) :

a) Les armatures longitudinales :

Les sollicitations obtenues pour les différentes combinaisons sont données par le ROBOT.

Tableau V.8: Sollicitations maximales de la poutre principale.

poutres	M _t ^{max} (KN. m)	Combinaison	M _a ^{max} (KN. m)	Combinaison	V ^{max} (KN)	Combinaison
P.P (30×40)	71.75	1.35G + 1.5Q	-133.47	1.35G + 1.5Q	19.11	1.35G +1.5Q

Tableau V.9: Tableau récapitulatif de la poutre principal.

Section	M _u (KN. m)	M	α	Z (mm)	A _{st} (cm ²)	$A_{adopt\acute{e}}$ (cm^2)	Choix des armatures
Travée	71.75	0.13	0.175	334.8	6.00	06.03	3HA16
Appuis	-133.47	0.25	0.366	307.4	12.036	12.06	3HA16 + 3HA16 chapeaux

❖ Condition de non fragilité : (BAEL 91 A.4.2.1) [1]

$$\begin{split} A_{min} &\geq 0.23 \times b \times d \times \frac{f_{t28}}{fe} \\ A_{min} &\geq 0.23 \times 300 \times 360 \times \frac{2.1}{400} = 130.4 mm^2 \\ A_{min} &\geq 1.3 \ cm^2 \\ A_{min} &< A_{Trav\acute{e}e} \ et \quad A_{min} < A_{appui} \dots \qquad \qquad \textbf{C.V} \end{split}$$

❖ Armatures minimales :(RPA A.7.5.2.1) [5]

$$A_{min} = 0.5\% \times b \times h = 0.005 \times 30 \times 40$$

 $A_{min} = 6.00 \text{ cm}^2$

Armatures maximales : (RPA A.7.5.2.1) [5]

Zone courante : $A_{max} = 4\% \times b \times h = 0.04 \times 30 \times 40 A_{max} = 48 \text{ cm}^2$

Zone de recouvrement : $A_{max} = 6\% \times b \times h = 0.06 \times 30 \times 40 \ A_{max} = 72 cm^2$

b) Les armatures transversal :

Les armatures transversales des poutres sont calculées à l'aide de la formule (BAEL91) :

$$\emptyset_t \le \min\left(\frac{h}{35}; \frac{b}{10}; \emptyset_l\right) \text{ Avec}:$$

 \emptyset_1 : diamètre minimal des armatures longitudinales du poutre.

$$\emptyset_{t} \le \min\left(\frac{40}{35}; \frac{30}{10}; 1.6\right) \emptyset_{t} \le \min\left(1.14; 3; 1.6\right)$$

 $\emptyset_t \le 1.14 \text{ cm}$ Donc on prend : $\emptyset_t = 8 \text{mm}$

Calcul de l'espacement :

L'espacement est calculé par le RPA99 V2003 :

$$\begin{cases} S_t \leq \min\left(\frac{h}{4} ; 12\emptyset_l\right) = \min\left(\frac{40}{4} ; 12 \times 1.6\right) = 10 \text{cm} & \longrightarrow \text{ Dans la zone nodale} \\ S_t \leq \frac{h}{2} = \frac{40}{2} = 20 \text{cm} & \longrightarrow \text{ Dans la zone courant} \end{cases}$$

$$\begin{cases} S_t = 10 \text{ cm} & \text{Zone nodale} \\ S_t = 15 \text{ cm} & \text{Zone courant} \end{cases}$$

La section minimale des armatures transversales :

$$A_{t \text{ (min)}} = 0.003 \times S_t \times b = 0.003 \times 15 \times 30 = 1.35 \text{ cm}^2$$

$$A_t = 4HA8 = 2.01 \text{ cm}^2$$
 (un cadre et un étrier).

La longueur minimale de recouvrement :

D'après le RPA99/2003 la longueur minimale de recouvrement dans la zone IIa est de40Ø.

$$L_r = 40 \times \emptyset_l = 40 \times 1.60 = 64 \text{ cm}$$

V.4.3.2.Poutre secondaire (30×35) :

c) Les armatures longitudinales :

Les sollicitations obtenues pour les différentes combinaisons sont données par le ROBOT.

Tableau V.10: Sollicitations maximales de la poutre secondaire.

poutres	M _t ^{max} (KN. m)	Combinaison	M _a ^{max} (KN. m)	Combinaison	V ^{max} (KN)	Combinaison
P.S (30×35)	19.42	1.35G + 1.5Q	- 49.97	1.35G + 1.5Q	16.21	1.35G +1.5Q

Tableau V.11: Tableau récapitulatif de la poutre secondaire

Section	M _u (KN. m)	M	α	Z (mm)	A _{st} (cm ²)	$A_{adopt\acute{e}}$ (cm^2)	Choix des armatures
Travée	19.42	0.04	0.05	308.7	1.8	3.39	3HA12
Appuis	- 49.97	0.1	0.14	297.4	4.80	6.79	3HA12+3HA12 chapeaux

❖ Condition de non fragilité : (BAEL 91 A.4.2.1) [1]

$$\begin{split} A_{min} & \geq 0.23 \times b \times d \times \frac{f_{t28}}{fe} \\ A_{min} & \geq 0.23 \times 300 \times 315 \times \frac{2.1}{400} = 114.1 mm^2 \\ A_{min} & \geq 1.14 cm^2 \end{split}$$

Armatures minimales :(RPA A.7.5.2.1) [5]

$$A_{min} = 0.5\% \times b \times h = 0.005 \times 30 \times 35$$

$$A_{min} = 5.25 \text{cm}^2 < A_{Trav\acute{e}} \text{ et } A_{min} = 5.25 < A_{appui}...$$
 C.V

Armatures maximales : (RPA A.7.5.2.1) [5]

Zone courante :
$$A_{max} = 4\% \times b \times h = 0.04 \times 30 \times 35 A_{max} = 42 cm^2$$

Zone de recouvrement :
$$A_{max} = 6\% \times b \times h = 0.06 \times 30 \times 35 A_{max} = 63 \text{cm}^2$$

d) Les armatures transversales :

Les armatures transversales des poutres sont calculées à l'aide de la formule (BAEL91) :

$$\emptyset_t \le \min\left(\frac{h}{35}; \frac{b}{10}; \emptyset_l\right) \text{ Avec}:$$

 \emptyset_1 : diamètre minimal des armatures longitudinales du poutre.

$$\emptyset_t \le \min\left(\frac{35}{35}; \frac{30}{10}; 1.2\right) \emptyset_t \le \min(1; 3; 1.2)$$

$$\emptyset_t \le 1 \text{ cm}$$
 Donc on prend : $\emptyset_t = 0.8 \text{ cm} = 8 \text{mm}$

Calcul de l'espacement :

L'espacement est calculé par le RPA99 V2003 :

$$\begin{cases} S_t \leq \min\left(\frac{h}{4} ; 12\emptyset_l\right) = \min\left(\frac{35}{4} ; 12 \times 1.2\right) = 8.75 cm & \longrightarrow \text{Dans la zone nodale} \\ S_t \leq \frac{h}{2} = \frac{35}{2} = 17.5 cm & \longrightarrow \text{Dans la zone courant} \end{cases}$$

$$\begin{cases} S_t = 8 \text{ cm} & \text{Zone nodale} \\ S_t = 15 \text{ cm} & \text{Zone courant} \end{cases}$$

La section minimale des armatures transversales :

$$A_{t\,(min)} = 0.003 \times S_t \times b = 0.003 \times 15 \times 30 = 1.35 \ cm^2$$

$$A_t = 4HA8 = 2.01 \text{ cm}^2$$
 (un cadre et un étrier).

La longueur minimale de recouvrement :

D'après le RPA99/2003 la longueur minimale de recouvrement dans la zone IIa est de40Ø.

$$L_r = 40 \times \emptyset_1 = 40 \times 1.2 = 48 \text{ cm}$$

Tableau V.12: Tableau récapitulatif des poutres.

Section	A _{appui}	A _{travée}	A _{trans}	ST_{nod}	ST_{co}	L _r
$PP(30 \times 40)$	3HA16 + 3HA16 chapeaux	3HA16	cadre +étrier	10	15	64
$PS(30 \times 35)$	3HA12 + 3HA12 chapeaux	3HA12	cadre +étrier	8	15	48

V.4.4 Vérifications :

V.4.4.1 poutre principale

a) Vérification des contraintes tangentielles :

La vérification à faire vis-à-vis de la contrainte tangentielle maximale est celle relative à la fissuration peu nuisible suivante :

$$\tau_u = \frac{T_u}{b \times d} = \frac{19.11 \times 10^3}{300 \times 360} = 0.18 \text{ MPa}$$

$$\bar{\tau}_u = min\left(\frac{0.2f_{c28}}{\gamma_b}; \ 5 \ MPa\right)\bar{\tau}_u = min(3.33 \ MPa; \ 5 \ MPa) = 3.33 \ MPa$$

$$\tau_u$$
= 0.18 MPa $\leq \bar{\tau}_u$ = 3.33 MPa

Pas de risque de cisaillement.

• Vérification à l'ELS :

♣ A l'état limite d'ouvertures des fissures : Aucune vérification à faire car la fissuration est peu préjudiciable.

♣ A l'état limite de compression du béton : La fissuration est peu préjudiciable donc la vérification de la contrainte de compression du béton est nécessaire.

On vérifie que :
$$\sigma_{bc} = \frac{M_s \times y}{l} \le \overline{\sigma}_{bc} = 0.6 f_{c28} = 15 \text{Mpa}$$

La position de l'axe neutre :

$$\frac{1}{2}$$
by²+n(y - d')A'_s- nA_{st}(d - y)=0

Avec:
$$n=15$$
 et: $\mu \le \mu_1 A'_s = 0 \ n(y-d') A'_s = 0$

Détermination du moment d'inertie :

$$I = \frac{1}{3}by^{3} + nA'_{s}(d - y)^{2} + nA_{st}(d - y)^{2}$$

y : distance de l'axe neutre a la fibre la plus comprimée.

I: moment d'inertie.

$$n = 15$$

$$nA'_{s}(d-y)^{2}=0$$

Les résultats trouvés en travée et sur appui sont regroupés dans le tableau suivant :

Tableau V.13: Vérification des contraintes (P.P) à l'ELS

	$M_{ser}(KN.m)$	$A_{st}(cm^2)$	Y (cm)	I (cm ⁴)	$\sigma_{bc}(MPa)$	$\sigma_{bc} \leq \overline{\sigma}_{bc}$
Travée	52.33	6.03	12.12	70495.11	8.99	Vérifiée
Appui	22.91	4.13	9.18	41615.82	5.05	vermee

• Vérification de la compression du béton :

$$T_{\text{max}} < 0.4 \times b \times a \times \frac{f_{c28}}{\gamma_b}$$

Les résultats sont regroupés dans les tableaux suivants :

Tableau V.14: Vérification de la compression du béton.

Section	T _{max} (KN)	$0.4 \times b \times a \times \frac{f_{c28}}{\gamma_b}$	Vérification
$P.P(30 \times 40)$	19.11	800	Oui

• Vérification de la flèche : (CBA article B.6.5.1) [2]

La vérification de la flèche n'est pas nécessaire si les conditions suivantes sont vérifiées :

Avec:
$$h=0.40m$$
; $l=4.80 m$; $A_{st}=6.03 cm^2$

$$\begin{cases} \frac{h}{l} \geq \frac{1}{16} \\ \frac{h}{l} \geq \frac{M_t}{10M_0} \\ \frac{A_s}{bd} \leq \frac{4.2}{f_e} \end{cases} \longrightarrow \begin{cases} \frac{0.40}{4.80} = 0.083 \geq \frac{1}{16} = 0.0625 \dots C.V \\ \frac{0.40}{4.80} = 0.083 \geq \frac{71.75}{10 \times 52.33} = 0.137 \dots C.N.V \\ \frac{6.03}{30 \times 36} = 0.0056 \leq \frac{4.2}{400} = 0.0105 \dots C.V \end{cases}$$

Les conditions suivant ne sont pas vérifier donc on est ramenée à effectuer un calcul de flèche :

b) Calcul de la flèche (BAEL 91)

La flèche totale : $\Delta f_t = f_v - f_i \le \overline{f}$

Avec:

$$Y = 12.12 \text{ cm}$$
; $M_{ser} = 61.56 \text{ KN.m}$; $M_{ts} = 52.33 \text{ KN.m}$; $d = 36 \text{ cm}$; $L = 4.8 \text{ m}$

h= 40 cm; b= 30 cm;
$$A_s=6.03$$
cm²; $f_{t28}=2.1$ MPa; $\overline{f} = \frac{L}{500}$

$$Y_G = \frac{15 \times \frac{h^2}{2} + 15A_t \times d}{b_0 h + 15A_t}$$

$$Y_G = 11.86 \text{ cm}$$

Calcul le moment d'inertie de la section homogène « I₀» :

$$I_0 = \frac{b \times Y_G^3}{3} + \frac{b(h - Y_G)^3}{3} + 15A_t(d - Y_G)^2 + 15A_s'(Y_G - d')^2$$

$$I_0 = \frac{30 \times 11.86^3}{3} + \frac{30 \times (40 - 11.86)^3}{3} + 15 \times 6.03 \times (36 - 11.86)^2$$

$$I_0 = 278081.03$$

Calcul des coefficients :

$$\lambda_i \! = \! \! \frac{0.05 \! \times \! f_{t28}}{(2 \! + \! 3 \frac{b_0}{h}) \rho} \hspace{0.5cm} ; \hspace{0.5cm} \lambda_V \! = \! \frac{0.02 \! \times \! f_{t28}}{(2 \! + \! 3 \frac{b_0}{h}) \rho}$$

$$\rho = \frac{A_s}{b_0 d} = \frac{6.03}{30 \times 36} = 0.006 \rho = 0.006$$

Pour les déformations instantanées : b=b₀

$$\lambda_i = \frac{0.05 \times 2.1}{5 \times 0.006} = 3.5 \lambda_i = 3.5$$

$$\lambda_v = \frac{0.02 \times 2.1}{5 \times 0.006} = 1.4 \lambda_v = 1.4$$

$$E_i=11000\sqrt[3]{f_{c28}}=32164.2$$
 \longrightarrow $E_i=32164.2$ MPa

$$E_v = \frac{1}{3}E_i = 10721.4$$
 \longrightarrow $E_v = 10721.4$ MPa

$$\sigma_{s} = \frac{M_{ser}}{A_{s} \times d} = \frac{61.56 \times 10^{6}}{6.03 \times 10^{2} \times 36 \times 10} = 277.6 \sigma_{s} = 283$$

$$\mu = 1 - \left[\frac{1.75 f_{t28}}{4 \rho \sigma_s + f_{t28}} \right]$$

$$\mu$$
= 1- $\left[\frac{1.75 \times 2.1}{4 \times 0.006 \times 283.59 + 2.1}\right]$ = 0.58 μ =0.58

Moment d'inertie fictive

$$I_{fi} = \frac{1.1 I_0}{1 + \lambda_i \mu} = \frac{1.1 \times 28359.00}{1 + 3.5 \times 0.42} = 100953.51 I_{fi} = 100953.51$$

$$I_{fv} = \frac{_{1.1\,I_0}}{_{1+\lambda_v\mu}} = \frac{_{1.1\times28359.00}}{_{1+1.4\times0.42}} = 168812.9I_{fv} = 168812.9$$

La flèche:

$$f_i = \frac{M_{ser}L^2}{10E_iI_{fi}} = \frac{61.56 \times 10^6 (4.8 \times 10^3)^2}{10 \times 32164.2 \times 100953.51 \times 10^4} = 4.37 \text{ mm}$$

$$f_v = \frac{M_{ser}L^2}{10E_vI_{fv}} = \frac{61.56 \times 10^6 (4.8 \times 10^3)^2}{10 \times 10721.4 \times 168812.9 \times 10^4} = 7.83 \text{ mm}$$

La flèche admissible :

$$\overline{f} = \frac{L}{500}$$
; Si: L< 5m

$$\bar{f} = 0.5 + \frac{L}{1000}$$
; Si: L> 5m

Dans notre cas L = 4.8 m < 5 m

Donc:

$$\Delta f_t = f_v - f_i \le \bar{f} = \frac{L}{500}$$

$$\Delta f_t = 7.83 - 4.37 \le \frac{4800}{500}$$

$$\Delta f_t$$
=3.46 mm $\leq \bar{f}$ =9.6 mm

V.4.4.2 poutre secondaire :

a) Vérification des contraintes tangentielles :

La vérification à faire vis-à-vis de la contrainte tangentielle maximale est celle relative à la fissuration peu nuisible suivante :

$$\tau_u = \frac{T_u}{b \times d} = \frac{16.21 \times 10^3}{300 \times 315} = 0.17 MPa$$

$$\bar{\tau}_u = \min\left(\frac{0.2f_{c28}}{\gamma_b}; 5 \text{ MPa}\right) \bar{\tau}_u = \min(3.33 \text{ MPa}; 5 \text{ MPa}) = 3.33 \text{ MPa}$$

$$\tau_u {=}~0.17 MPa \leq~\bar{\tau}_u {=}~3.33~MPa$$

Pas de risque de cisaillement.

• Vérification à l'ELS :

Les résultats trouvés en travée et sur appui sont regroupés dans le tableau suivant :

Tableau V.15: Vérification des contraintes (P.P) à l'ELS

	$M_{ser}(KN.m)$	$A_{st}(cm^2)$	Y (cm)	I (cm ⁴)	$\sigma_{bc}(MPa)$	$\sigma_{bc} \leq \overline{\sigma}_{bc}$
Travée	14.13	2.01	7.02	21527.49	4.61	Vérifiée
Appui	6.17	1.13	5.4	13121.01	2.55	vermee

• Vérification de la compression du béton :

$$T_{max} < 0.4 \times b \times a \times \frac{f_{c28}}{\gamma_b}$$

Les résultats sont regroupés dans les tableaux suivants :

Tableau V.16: Vérification de la compression du béton.

		-	
Section	$T_{max}(KN)$	$0.4 \times b \times a \times \frac{f_{c28}}{\gamma_b}$	Vérification
$P.P(30 \times 35)$	16.21	700	Oui

• Vérification de la flèche : (CBA article B.6.5.1) [2]

La vérification de la flèche n'est pas nécessaire si les conditions suivantes sont vérifiées :

Avec: h=0.35m; l=4.60 m; $A_{st}=2.01 cm^2$

$$\begin{cases} \frac{h}{l} \geq \frac{1}{16} \\ \frac{h}{l} \geq \frac{M_t}{10M_0} \end{cases} \longrightarrow \begin{cases} \frac{0.35}{4.60} = 0.076 \geq \frac{1}{16} = 0.0625 \dots C.V \\ \frac{0.35}{4.60} = 0.076 \geq \frac{0.85 \times 14.13}{10 \times 14.13} = 0.085 \dots C.N.V \\ \frac{A_s}{bd} \leq \frac{4.2}{f_e} \end{cases} \longrightarrow \begin{cases} \frac{0.35}{4.60} = 0.076 \geq \frac{0.85 \times 14.13}{10 \times 14.13} = 0.085 \dots C.V \\ \frac{2.01}{30 \times 31.5} = 0.0021 \leq \frac{4.2}{400} = 0.0105 \dots C.V \end{cases}$$

Les conditions suivant ne sont pas vérifier donc on est ramenée à effectuer un calcul de flèche :

b) Calcul de la flèche (BAEL 91)

La flèche totale : $\Delta f_t = f_v - f_i \le \overline{f}$

Avec:

$$Y = 7.02 \text{ cm}$$
; $M_{ser} = 16.66 \text{KN.m}$; $M_{ts} = 14.16 \text{KN.m}$; $d = 31.5 \text{ cm}$; $L = 4.6 \text{ m}$

h= 35 cm; b= 30 cm;
$$A_s = 2.01 \text{cm}^2$$
; $f_{t28} = 2.1 \text{ MPa}$; $\overline{f} = \frac{L}{500}$

$$Y_G = \frac{15 \times \frac{h^2}{2} + 15A_t \times d}{b_0 h + 15A_t}$$

$$Y_{G} = 9.39 \text{ cm}$$

-Calcul le moment d'inertie de la section homogène « I_0 » :

$$I_0 = \frac{b \times Y_G^3}{3} + \frac{b(h - Y_G)^3}{3} + 15A_t(d - Y_G)^2 + 15A_s(Y_G - d')^2$$

$$I_0 = \frac{30 \times 9.39^3}{3} + \frac{30 \times (35 - 9.39)^3}{3} + 15 \times 2.01 \times (31.5 - 9.39)^2$$

$$I_0 = 190987.1$$

Calcul des coefficients :

$$\lambda_i \! = \! \! \frac{0.05 \! \times \! f_{t28}}{(2 \! + \! 3 \frac{b_0}{h}) \rho} \qquad ; \qquad \lambda_V \! = \! \frac{0.02 \! \times \! f_{t28}}{(2 \! + \! 3 \frac{b_0}{h}) \rho}$$

$$\rho = \frac{A_s}{b_0 d} = \frac{2.01}{30 \times 31.5} = 0.002 \rho = 0.002$$

Pour les déformations instantanées : b=b₀

$$\lambda_i = \frac{0.05 \times 2.1}{5 \times 0.002} = 10.5 \lambda_i = 10.5$$

$$\lambda_v = \frac{0.02 \times 2.1}{5 \times 0.002} = 4.2 \lambda_v = 4.2$$

$$E_i = 11000 \sqrt[3]{f_{c28}} = 32164.2$$
 \longrightarrow $E_i = 32164.2$ MPa

$$E_v = \frac{1}{3}E_i = 10721.4$$
 \longrightarrow $E_v = 10721.4$ MPa

$$\sigma_s = \frac{M_{ser}}{A_s \times d} = \frac{16.66 \times 10^6}{2.01 \times 10^2 \times 31.5 \times 10} = 263.2 \sigma_s = 263.2 MPa$$

$$\mu$$
= 1- $\left[\frac{1.75f_{t28}}{4\rho\sigma_s + f_{t28}}\right]$

$$\mu$$
= 1- $\left[\frac{1.75 \times 2.1}{4 \times 0.002 \times 263.2 + 2.1}\right]$ = 0.13 μ =0.13

Moment d'inertie fictive

$$I_{fi} = \frac{1.1 I_0}{1 + \lambda_i \mu} = \frac{1.1 \times 190987.1}{1 + 10.5 \times 0.13} = 88831.21 I_{fi} = 88831.21$$

$$I_{fv} = \frac{1.1 I_0}{1 + \lambda_v \mu} = \frac{1.1 \times 190987.1}{1 + 4.2 \times 0.13} = 135889.92 I_{fv} = 135889.92$$

La flèche:

$$f_i {=} \frac{M_{ser} L^2}{10 E_i I_{fi}} {=} \frac{16.66 \times 10^6 (4.6 \times 10^3)^2}{10 \times 32164.2 \times 88831.21 \times 10^4} {=} 1.23 \ mm$$

$$f_v \!\!=\! \frac{M_{ser}L^2}{10E_vI_{fv}} \!=\! \frac{16.66\times\!10^6(4.6\times\!10^3)^2}{10\times\!10721.4\times\!135889.92\times\!10^4} \!= 2.42~mm$$

La flèche admissible :

$$\bar{f} = \frac{L}{500}$$
; Si: L< 5m

$$\bar{f} = 0.5 + \frac{L}{1000}$$
; Si: L> 5m

Dans notre cas L = 4.6 m < 5 m

Donc:

$$\Delta f_t = f_i - f_v \le \overline{f} = \frac{L}{500}$$

$$\Delta f_t = 2.42 - 1.23 \le \frac{4600}{500}$$

$$\Delta f_t = 1.19 \text{ mm } \leq \bar{f} = 9.2 \text{ mm}$$

V.4.5 Schéma de ferraillage :

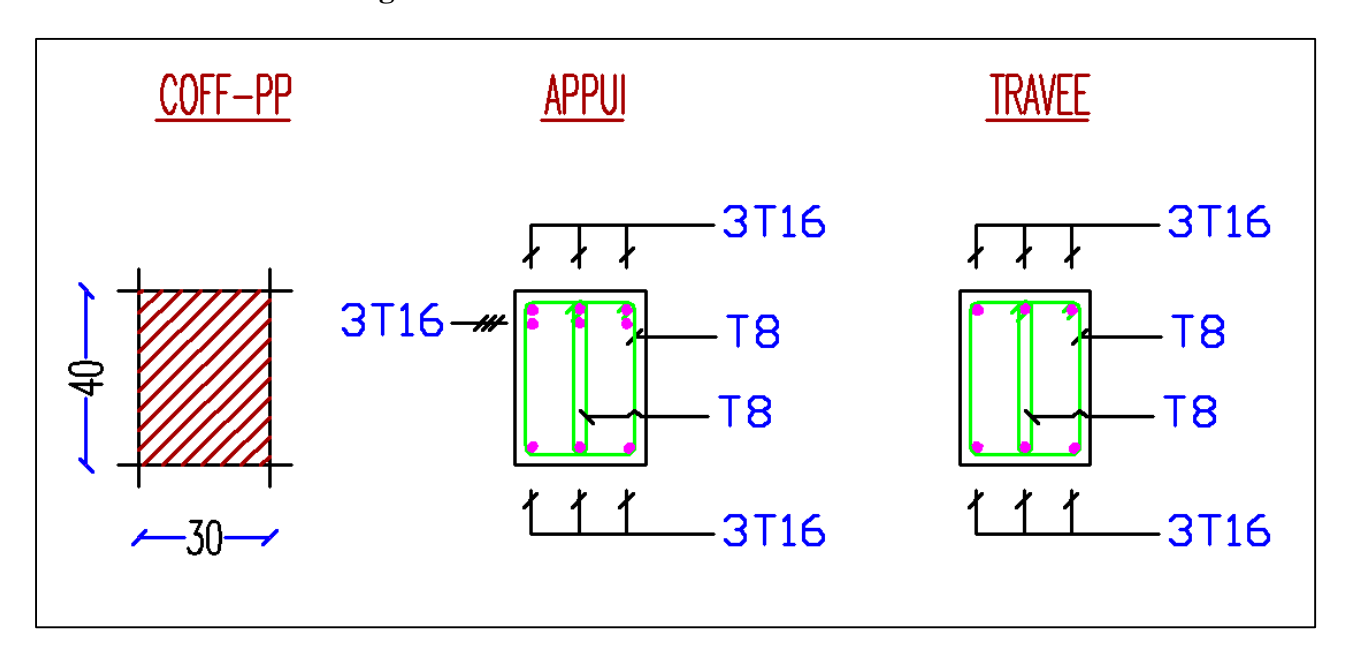


Figure V.4:Schéma de ferraillage des poutres principales.

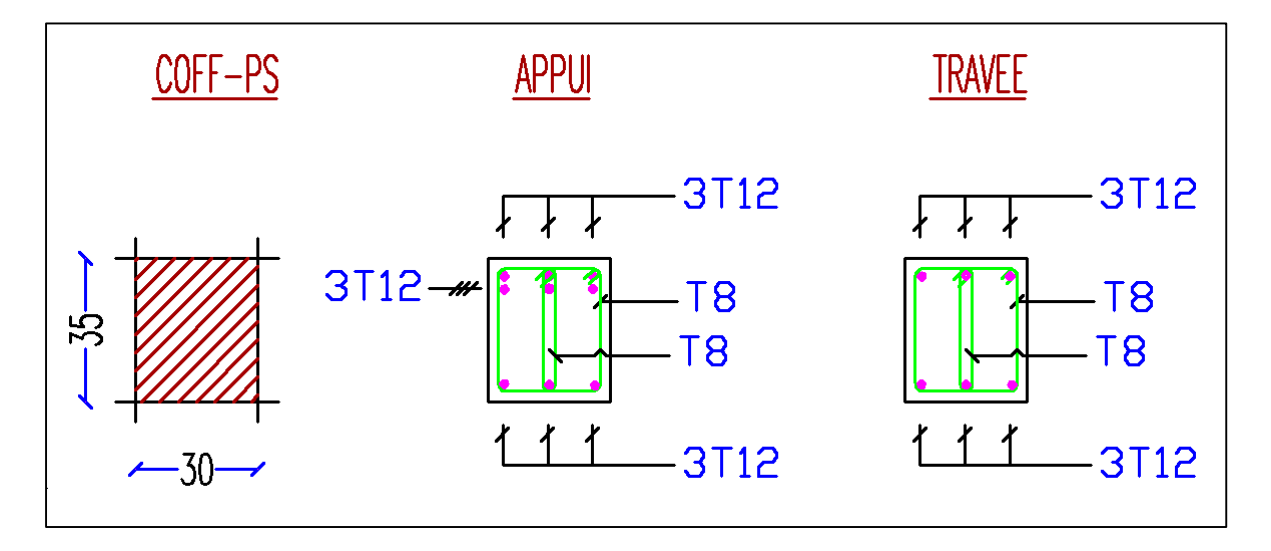


Figure V.5:Schéma de ferraillage des poutres secondaire.

V.5 Etude des voiles :

V.5.1 Introduction:

Dans un bâtiment, les efforts horizontaux sont transmis aux voiles habituellement par les planchers qui jouent le rôle de diaphragmes. Entre chaque voile la sollicitation se répartit proportionnellement avec sa rigidité dans la direction de sollicitation .

Les voiles transmettent ces efforts à la base du bâtiment et finalement au sol. Le mode de fonctionnement d'une structure comportant des voiles de contreventement dépend donc fortement du comportement de chaque élément individuel. Le comportement d'un élément de voile est complexe puisqu'il dépend à la fois de son élancement, de la disposition en plan de

l'ensemble des voiles, de l'importance des charges verticales et de la forme de sa section, De ce point de vue, il est généralement reconnu que la modélisation du comportement des voiles est bien plus complexe que celle des éléments linéaires (poutres et poteaux).

Un voile est considéré comme une console encastrée à sa base, il y a deux types de voiles ayant des comportements différents :

- ✓ Voiles élancés avec : $\left(\frac{h}{l} > 1.5\right)$
- ✓ Voiles courts avec : $\left(\frac{h}{l} < 1.5\right)$

Les voiles sont sollicités à la flexion composée avec un effort tranchant, ce qui cause des ruptures dans les voiles élancés, par les modes suivants :

- Flexion.
- Flexion par effort tranchant.
- Ecrasement.

Dans le but d'éviter les modes de ruptures cités ci-dessus, on doit respecter les modalités suivantes :

Pour les deux premiers modes de rupture, les sections des voiles doivent comporter suffisamment d'armatures verticales et horizontales. Pour le troisième mode il faut mettre des armatures transversales.

V.5.2 Ferraillage des voiles plein :

V.5.2.1 Exposé de la méthode :

La méthode consiste à déterminer le diagramme des contraintes à partir dessollicitations les plus défavorables (N, M) en utilisant les formules suivantes :

$$\sigma_{max} = \frac{N}{A} + \frac{M.V}{I}$$

$$\sigma_{min} = \frac{N}{A} - \frac{M.\,V'}{I}$$

Avec:

A: section du béton

I: moment d'inertie du trumeau

V et V': bras de levier :

$$V' = V = \frac{L \text{ voile}}{2}$$

Dans ce cas le diagramme des contraintes sera relevé directement du fichier résultats. Le découpage de diagramme des contraintes en bandes de largeur (d) donnée par :

$$d \le \left(\frac{h_e}{2}; \frac{2}{3}L_c\right)$$

Avec:

h_e: lahauteur entre nus du planchers du voile considéré

L_c: la longueur de la zone comprimée

$$L_c = \frac{\sigma_{max}}{\sigma_{max} + \sigma_{min}} \times L$$

 L_t : longueur tendue : $L_t = L - L_c$

Les efforts normaux dans les différentes sections sont donnés en fonction des Diagrammes

des contraintes obtenues :

Section entièrement comprimée :

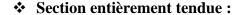
Dans ce cas on a deux contraintes de compression, la section du voile est soumise à la compression, la section d'acier sera celle exigée par le règlement

parasismique algérien RPA 99 V 2003

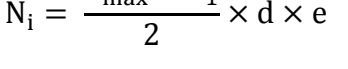
Section partiellement comprimée :

$$N_i = \frac{\sigma_{max} + \sigma_1}{2} \times d \times e$$

$$N_{i+1} = \frac{\sigma_1}{2} \times d \times e$$



$$N_i = \frac{\sigma_{max} + \sigma_1}{2} \times d \times e$$



V.5.2.2 Armature vertical:

Le ferraillage vertical sera disposé de telle sorte qu'il pourra reprendre les contraintes induites par la flexion composée, en tenant compte des prescriptions composées par le RPA 99(Art 7.7.4.1) et décrites ci-dessous [3] :

> Section entièrement comprimée :

$$A_v = \frac{N_i + (B.f_{c28})}{\sigma_s}$$

Avec:

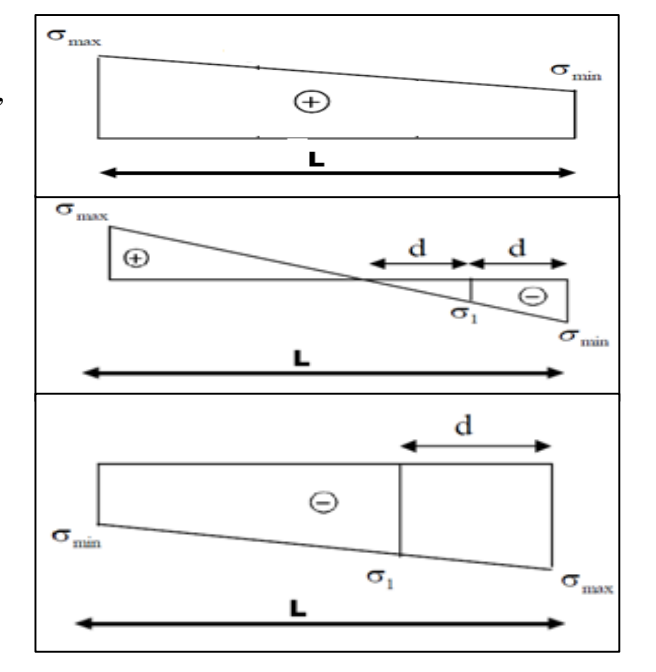
B: section du voile

$$\sigma_s$$
= 400 MPa

> Section partiellement comprimée :

$$A_{v} = \frac{N_{i}}{\sigma_{s}}$$

$$\sigma_s$$
= 400 MPa



> Section entièrement tendue :

$$A_{v} = \frac{N_{i}}{\sigma_{s}}$$

$$\sigma_{s} = 400 \text{ MPa}$$

V.5.2.3Armatures minimales:

> Compression du béton :

Amin ≥ 4 cm² Par mètre de parement mesuré perpendiculaire à ces armatures.

$$0.2 \% \le \frac{A_{min}}{B} \le 0.5 \%$$

Avec:

B : section du béton comprimée.

> Traction simple:

$$A_{\min} \ge \frac{B \times f_{t28}}{f_e}$$

Avec:

B: section du béton tendue

Le pourcentage minimum des armatures verticales de la zone tendue doit rester au moinségale à 0.2 % de la section horizontal e du béton tendu.

V.5.2.4Exigences de R PA 99 révise 2003 :

Le pourcentage minimum d'armatures verticales et horizontales des trumeaux est donné Comme suit :

- Globalement dans la section du voile 15 %.
- En zone courantes 0,10 %.

V.5.2.5 Armature horizontal:

D'après le BEAL 91:

$$A_h = \frac{A_v}{4}$$

D'après le RPA 2003:

 $A_h \ge 15 \% \times B$

- Les barres horizontales doivent être disposées vers l'extérieur.
- Le diamètre des barres verticales et horizontales des voiles ne devrait pas dépasser ¹/₁₀ de l'épaisseur du voile.
- Les aciers horizontaux seront disposés perpendiculairement aux faces du voile.
- Elles doivent être munies de crochets à (135°) ayant une longueur de 10ØRPA99/2003 (art. 7.7.4.2) [3].

 Dans le cas où il existe des serres de rigidité. Les barres horizontales pouvoir être ancrées sans crochets si les dimensions des serres permettent la réalisation d'un ancrage droit.

V.5.2.6Armatures transversales:

Les armatures transversales sont perpendiculaires aux faces des refends.

Elles retiennent les deux nappes d'armatures verticales, ce sont généralement des épinglesdont le rôle est d'empêcher le flambement des aciers verticaux sous l'action de la compression d'après l'article 7.7.4.3 du RPA99 révise 2003.

Les deux nappes d'armatures verticales doivent être reliées au moins par (04) épingles au mètre carré.

V.5.2.7Armatures de coutures :

Le long des joints de reprise de coulage, l'effort tranchant doit être repris par les aciers de coutures dont la section est donnée par la formule :

$$A_{vj} = 1.1 \times \frac{T}{f_e}$$

Avec:

$$T = 1.4 \times V_{11}$$

 V_{u} : Effort tranchant calculé au niveau considéré

Cette quantité doit s'ajouter à la section d'acier tendue nécessaire pour équilibrer les efforts de traction dus au moment de renversement.

V.5.2.8Espacement:

D'après l'art 7.7.4.3 du RPA révisé 2003, l'espacement des barres horizontales et verticales doit être inférieur à la plus petite des deux valeurs suivantes :

 $St \le min (1.5 \times e; 30cm)$

Avec:

e = épaisseur du voile

A chaque extrémité du voile l'espacement des barres doit être réduit de moitié sur $\frac{L}{10}$ de la longueur du voile, cet espacement d'extrémité doit être au plus égale à 15 cm

V.5.2.9Longueur de recouvrement :

Elles doivent être égales à :

- \triangleright 40 Φ pour les barres situées dans les zones où le renversement du signe des efforts est possible.
- \geq 20 Φ pour les barres situées dans les zones comprimées sous l'action de toutes les combinaisons possibles de charges.

V.5.2.10Diamètre maximal:

Le diamètre des barres verticales et horizontales des voiles ne devrait pas dépasser $\frac{L}{10}$ de l'épaisseur du voile.

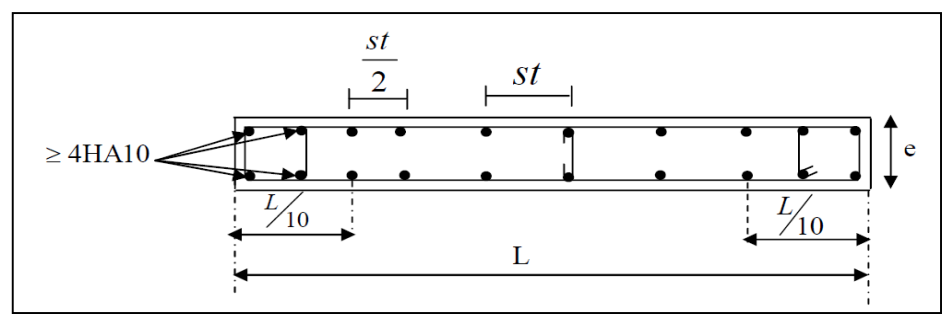


Figure V.6: Disposition des armatures verticales dans les voiles.

V.5.2.1.1Combinaisons:

Selon le règlement parasismique algérien (**RPA 99 version 2003**) les combinaisons réussies pour les voiles sont les suivantes [3] :

- $G + Q \pm E$
- $0.8 \text{ G} \pm \text{E}$

V.5.3Vérification:

V.5.3.1Vérification à L'ELS:

Pour cet état, il considère :

$$Ns = G+Q$$

$$\sigma_{\rm b} \leq \overline{\sigma}_{\rm b}$$

Avec:

$$\sigma_b = \frac{N_s}{B + (15 \times A)} \text{et} ; \overline{\sigma}_b = 0.6 \times f_{c28} = 15 \text{MPa}$$

Avec:

N_s: Effort normal appliqué

B : Section du béton

A : Section d'armatures adoptée

V.5.3.2Vérification de la contrainte de cisaillement :

• D'après le RPA99 révisé 2003 :

$$\begin{split} \tau_b & \leq \bar{\tau}_b \\ Avec & : \begin{cases} \tau_b = \frac{T}{b_0 \times d} \\ \bar{\tau}_b = 0.2 \times f_{c28} \end{cases} \end{split}$$

$$T = 1.4 \times V_{u.cal}$$

 b_0 : Epaisseur du linteau ou du voile.

d: Hauteur utile (d = 0.9 h).

h: Hauteur totale de la section brute.

• D'après le BAEL 91 :

Il faut vérifier que :

$$\tau_u = \frac{v_u}{hxd}$$

Avec:

τu: contrainte de cisaillement

 $\overline{\tau}_u \text{=min } (0.15 \times \frac{f_{c28}}{\gamma_b} \, ; \, 4\text{MPa}) \qquad \qquad \text{Pour la fissuration préjudiciable}.$

V.5.4 Disposition des voiles :

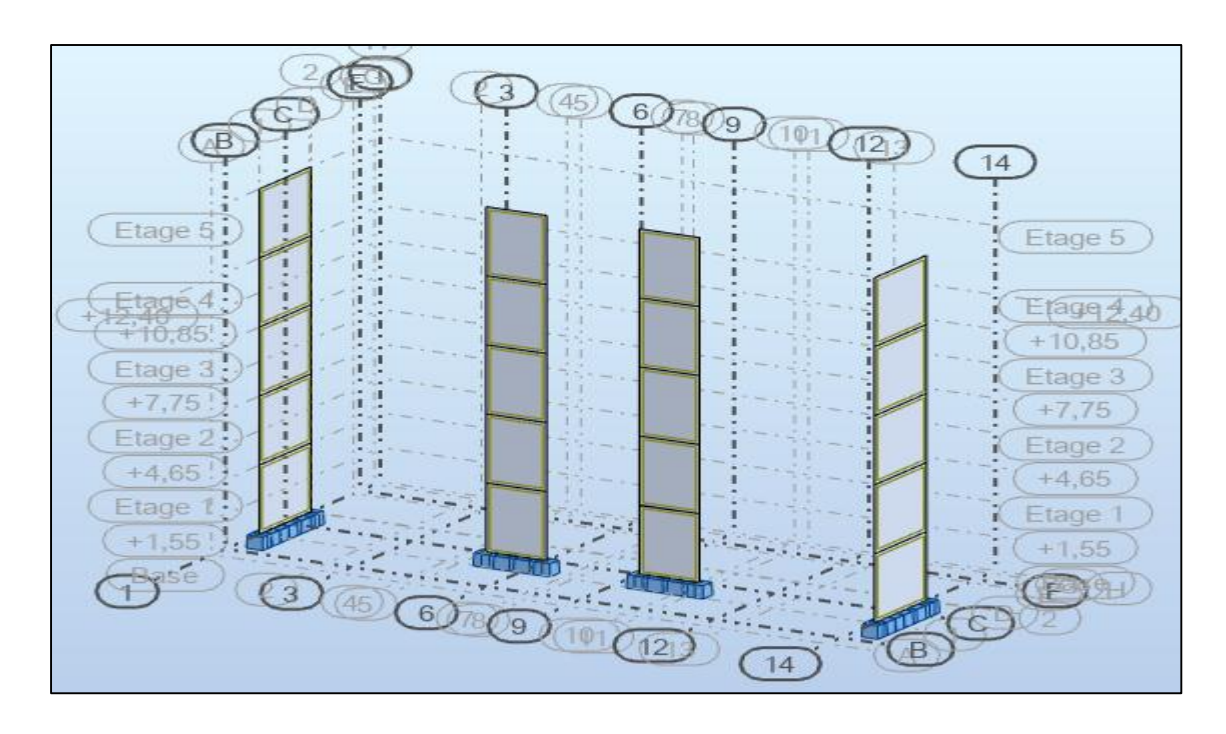


Figure V.7: Disposition des voiles.

V.5.5Sollicitations dans les voiles:

Les sollicitations dans les voiles sont tirées directement dans le logiciel ROBOT, ils sont regroupés dans le tableau ci-dessous :

Tableau V.17: Sollicitations de calcul (voile plein).

		Voile «V ₁ » sen X-X	Voile «V₂» sen Y-Y		
	L (m)	2.15	3.20		
	e (m)	0.20	0.20		
	h _{étage} (m)	3.10	3.10		
N _{min} ;M _{corr}	N (KN)	1939.67	-206.82		
	M (KN.m)	1260.40	1241.60		
	V _u (KN)	411.83	389.11		

V.5.6Ferraillage des voiles :

V.5.6.1 Exemple decalcule: VoileSens(X - X):

Avec :L=2.15 m; e= 0.20 m; $A=0.20\times2.15=0.43 \text{ m}^2$

$$I = \frac{e \times L^3}{12} = 0.166 \text{ m}^3 \text{ ; } V = \frac{L}{2} = 1.075 \text{m}$$

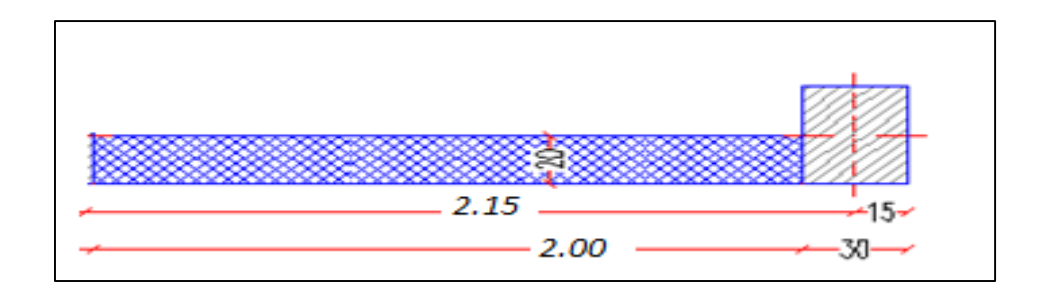


Figure V.8: Dimensions du voile V1.

$$\begin{split} \sigma_{max} &= \frac{N}{A} + \frac{M.V}{I} = \frac{1939.67}{0.43} + \frac{1260.40 \times 1.075}{0.166} = +12673.08 \text{ KN/m}^2 \\ \sigma_{min} &= \frac{N}{A} - \frac{M.V}{I} = \frac{1939.67}{0.43} - \frac{1260.40 \times 1.075}{0.166} = -3651.37 \text{ KN/m}^2 \end{split}$$

 σ_{max} et σ_{min} sont de signes différents, donc la section du voile est partiellement comprimée. On calcule la longueur de la zone de traction :

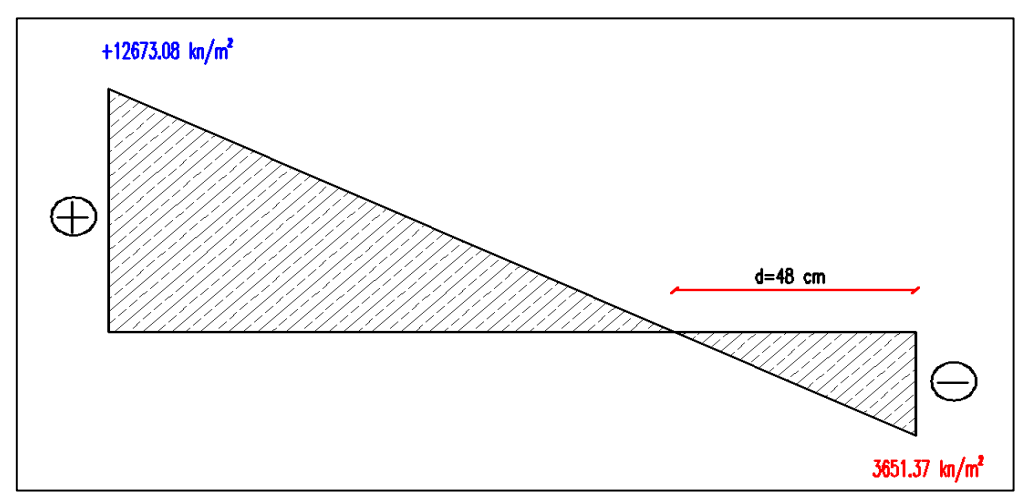


Figure V.9: diagramme des contraintes voile sens (X - X)

\$ Longueur de la zone tendue :

$$L_c = L\left(\frac{\sigma_{max}}{\sigma_{max} + \sigma_{min}}\right) = \textbf{1.67 m}$$

$$L_t = L - L_c = 2.15 - 1.67 = 0.48 \text{ m}$$

$$d = min \left[\frac{h_e}{2} ; \frac{2}{3} L_c \right] = 1.11 m = 111 cm$$

Donc: d> L_t

$$d = L_t = 0.48 \text{ m}$$

Le ferraillage de la zone tendue :

$$\text{Nu} = \frac{1}{2} \times \sigma_1 \times d \times e = \frac{1}{2} \times 3651.37 \times 0.48 \times 0.20 = 175.27 \text{ KN}$$

La section d'acier à mettre :

$$A = \frac{N_u}{\sigma_s} = \frac{175.27 \times 10}{400} = 4.38 \text{ cm}^2 \text{ avec } \sigma_s = 400 \text{ MPa (situation accidentelle)}$$

$$A_{min RPA} = 0.2 \% \times d \times e = 0.002 \times 48 \times 20 = 1.92 \text{ cm}^2$$

$$A_{min \ BAEL} = d \times e \times \frac{f_{t28}}{f_e} = 48 \times 20 \times \frac{2.1}{400} = 5.04 \text{ cm}^2$$

Donc: $As=5.04 \text{ cm}^2$.

Soit: $2 \times 4T12 = 9.05 \text{ cm}^2 \text{ (e=7.5 cm)}$

Le ferraillage de la zone comprimée :

$$f_{bu} = \frac{_{0.85 \times f_{c28}}}{_{\theta \times \gamma_b}} avec: \quad f_{c28} = 25 MPa \ ; \theta = 0.85; \qquad \gamma_b = 1.15$$

$$f_{bu} = 21739.2 \text{ KN/m}^2 > \sigma_{max} = 1267.08 \text{ KN/m}^2$$

La section d'acier à mettre :

$$A_{min RPA} = 0.2 \% \times L_c \times e = 0.002 \times 167 \times 20 = 1.92 \text{ cm}^2$$

$$A_{min\;BAEL} = L_c \times e \times \frac{f_{t28}}{f_e} = 167 \times 20 \times \frac{2.1}{400} = 17.54 \text{ cm}^2$$

Donc: $A_s = Max(A_{min RPA}; A_{min BAEL}) = 17.54 \text{ cm}^2$.

soit 2×11 T10 =17.28 cm² (e=15cm)

***** Espacement:

- $.S_t \le min (1.5e; 30) cm$ $S_t \le 30 cm.$
- Soit : $S_t = 15$ cm Dans la zone courante.
- $S_a = S_t/2 = 7.5$ cm dans la zone d'environ.

4 Armatures horizontales :

D'après le BEAL 91:

$$A_h = \frac{A_v}{4} = \frac{9.05 + 17.28}{4} = 6.58 \text{ cm}^2$$

D'après le RPA 2003 :

 $A_h \ge 15 \% \times B = 0.0015 \times 270 \times 20 = 8.10 \text{ cm}^2$

Soit: $2 \times 16 \text{ HA}10 = 25,13 \text{ cm}^2 \text{soit}$: 6 HA10/ml avec: St=15 cm

Armatures transversales:

Les deux nappes d'armatures verticales doivent être reliées au minimum par (04) épingles au mètre carré soit HA8.

Armature de coutures :

$$A_{vj} = 1.1 \times \frac{\overline{V}}{f_e}$$

Avec : $\overline{V} = 1.4 \times V_u$

V_u: Effort tranchant calculé au niveau considéré

$$V_u = 411.83 \text{ KN}$$

$$\overline{V}$$
= 1,4×411.83 = 576.57 KN = 0.577 MN

$$A_{vj} = 1.1 \times \frac{0.577}{400} = 0.001587 \text{ m}^2 = 15.87 \text{ cm}^2$$

Cette quantité doit s'ajouter à la section d'acier nécessaire pour équilibrer les effortsde traction dus au moment de renversement.

• Vérification des contraintes de cisaillement :

D'après le BAEL 91 :

$$\tau_{u} \leq \overline{\tau}_{u}$$

$$\tau_{u} = \frac{V_{u}}{b \times d} = \frac{411.83 \times 10}{20 \times 0.9 \times 320} = 0.72 \text{MPa}$$

Avec:

 τ_u : contrainte de cisaillement

$$\bar{\tau}_u = \min (0.15 \times \frac{f_{c28}}{v_b}; 4MPa)$$
 Pour la fissuration préjudiciable.

$$\bar{\tau}_{u} = min(0.15 \times \frac{25}{1.5}; 4MPa) = 2.5 MPa$$

$$\tau_u {=} 0.72 \text{MPa} \leq \overline{\tau}_u {=} 2.50 \text{ MPa}$$

♣ D'après le RPA99 révisé 2003 :

$$\tau_b \leq \overline{\tau}_b$$

$$\tau_b = \frac{T}{b_0 \times d}$$

Avec:

$$T = 1.4 \times V_{ii}$$

b₀: Epaisseur du linteau ou du voile.

d: Hauteur utile (d = 0.9 h).

h: Hauteur totale de la section brute.

$$V_u = 411.83 \text{ KN}$$

$$T = 1.4 \times 411 \times 3 = 576.57 \text{ KN} = 0.577 \text{ MN}$$

$$T = 1,4 \text{ x } 411.83 = 576.57 \text{ KN} = 0.577 \text{ MN}$$

$$\tau_b = \frac{T}{b_0 \times d} = \frac{576.57 \times 10}{20 \times 0.9 \times 320} = 1.00 \text{ MPa}$$

$$\bar{\tau}_{\rm b} = 0.2 \times f_{\rm c28} = 5.00 \; {\rm MPa}$$

Vérification à l'ELS:

$$\sigma_{\rm b} \leq \overline{\sigma}_{\rm b}$$

$$\begin{split} \text{Avec}: \ \ \sigma_b = \frac{N_s}{B + (15 \times A)} \ \ \text{et} \ ; \quad \overline{\sigma}_b = 0.6 \times \ f_{c28} = 15 \text{MPa} \\ \sigma_b = \frac{N_s}{B + (15 \times A)} = \frac{761.1 \times 10^{-3}}{0.43 + (15 \times 0.000905)} = 1.51 \text{MPa} \\ \sigma_b = 1.51 \ \text{MPa} \le \overline{\sigma}_b = 15 \text{MPa} \end{split}$$

V.5.6.1.1 Ferraillage des voiles sens (X - X):

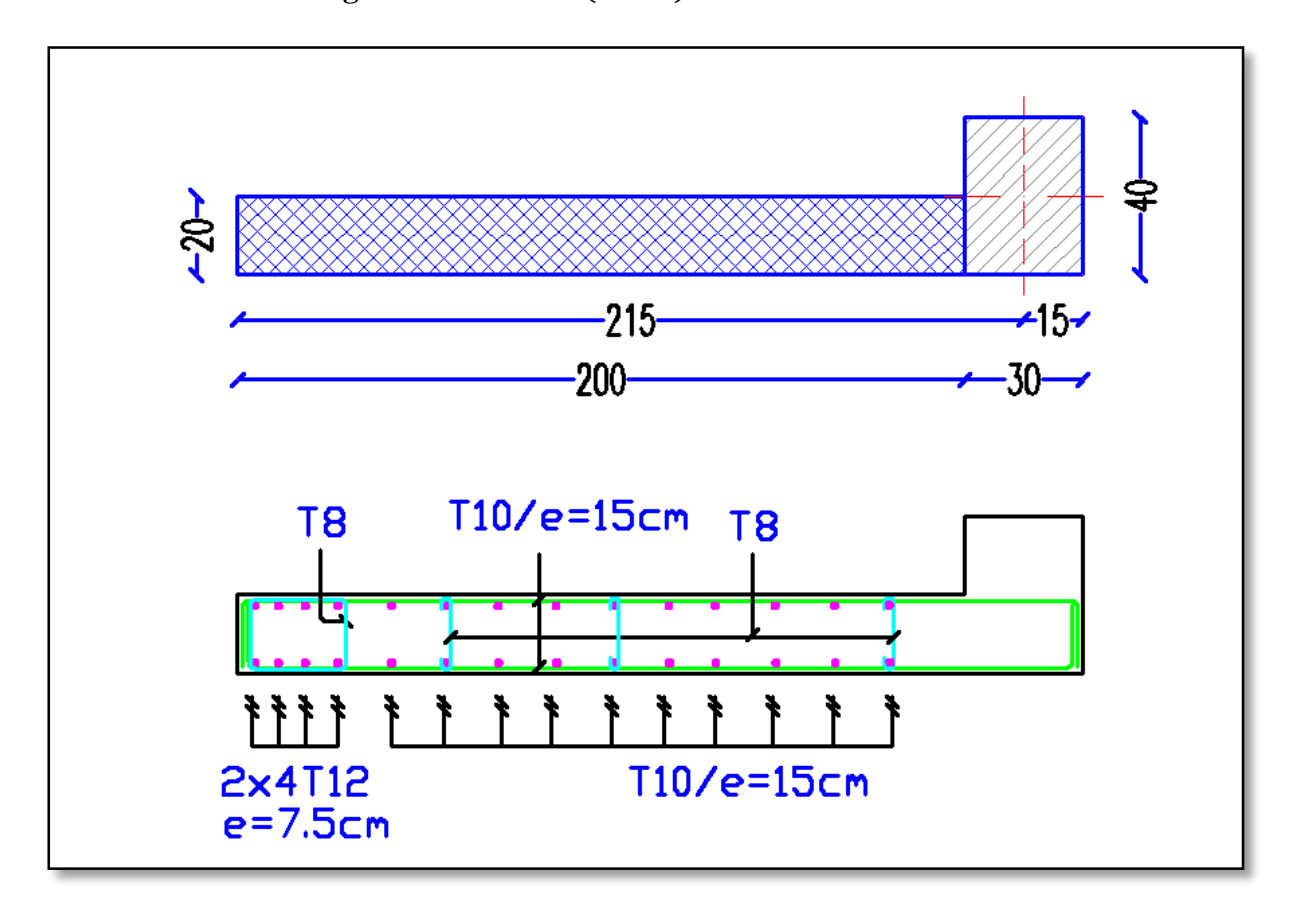


Figure V.10: schéma de ferraillage des voiles sens (X - X)

V.5.6.2 Exemple de calcule : Voile Sens (Y – Y):
Avec : L= 3.20 m ; e = 0.20 m ; A=
$$0.20 \times 3.20 = 0.64 \text{ m}^2$$

$$I = \frac{e \times L^3}{12} = 0.546 \text{m}^3 ; V = \frac{L}{2} = 1.60 \text{ m}$$

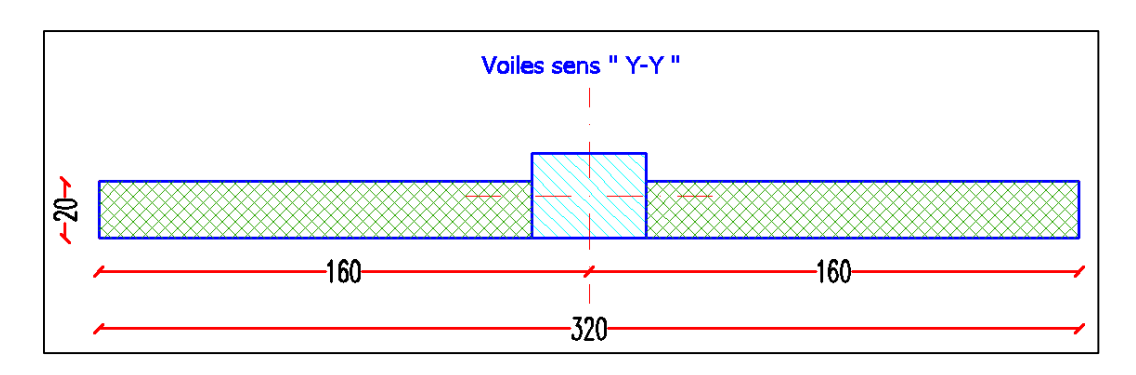


Figure V.11: Dimensions du voile sens (Y - Y):

$$\sigma_{\text{max}} = \frac{N}{A} + \frac{M.V}{I} = \frac{-206.82}{0.64} + \frac{1241.60 \times 1.60}{0.546} = +3315.23 \text{KN/m}^2$$

$$\sigma_{\min} = \frac{N}{A} - \frac{M.V}{I} = \frac{-206.82}{0.64} - \frac{1241.60 \times 1.60}{0.546} = -3961.55 \text{ KN/m}^2$$

 σ_{max} et σ_{min} sont de signes différents, donc la section du voile est partiellement comprimée. On calcule la longueur de la zone de traction :

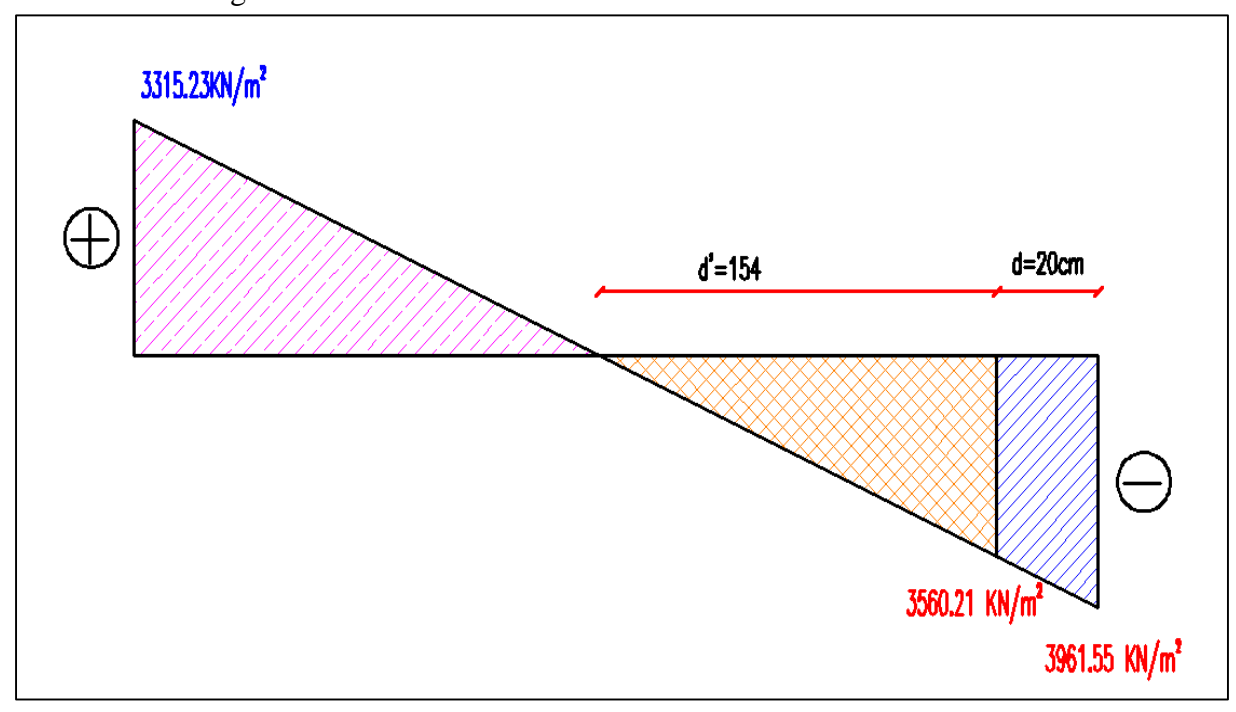


Figure V.12: diagramme des contraintes voile sens (Y - Y)

Longueur de la zone tendue :

$$L_c = L\left(\frac{\sigma_{max}}{\sigma_{max} + \sigma_{min}}\right) = \textbf{1.46 m}$$

$$L_t = L - L_c = 3.20 - 1.46 = 1.74 \text{ m}$$

$$d = min \left[\frac{h_e}{2} ; \frac{2}{3} L_c \right] = 0.98 \text{ m} = 98 \text{ cm}$$

On prendra:

 $1^{\text{ère}}$ bande d =0.20 m

 $2^{\text{ème}}$ bande d'= 1.54 m

Le ferraillage de la 1ère bande :

$$\sigma_1 = \sigma_{\min} \times (L_T - d)/L_T = 3961.55(1.74-0.20)/1.74 = 3560.21 \text{KN/m}^2$$

$$N_{u1} = \frac{1}{2} \times (\sigma_{min} + \sigma_1) \times d \times e = \frac{1}{2} \times (3961.55 + 3560.21) \times 0.90 \times 0.20 = 150.45 \text{ KN}$$

La section d'acier à mettre pour 1ère bande est :

$$A_1 = \frac{N_{u1}}{\sigma_s} = \frac{150.45 \times 10}{400} = 3.76 \text{cm}^2$$
 avec $\sigma_s = 400 \text{ MPa}$ (situation accidentelle)

$$A_{min RPA} = 0.2 \% \times d \times e = 0.002 \times 20 \times 20 = 0.80 \text{ cm}^2$$

$$A_{min \ BAEL} = d \times e \times \frac{f_{t28}}{f_e} = 20 \times 20 \times \frac{2.1}{400} = 2.10 \text{cm}^2$$

Donc : $A_{s1} = Max(A_1; A_{min RPA}; A_{min BAEL}) = 3.76cm^2$.

 A_{s1} = 3.76cm² soit : 2x4 T12=9.05cm²

Le ferraillage de la 2eme bande :

$$\sigma_2 = \sigma_{\min} \times (L_T - d - d')/L_T = 3961.55(1.74 - 0.20 - 1.54)/1.74 = 0.00 \text{ KN/m}^2$$

$$N_{u2} = \frac{1}{2} \times (\sigma_1 + \sigma_2) \times d' \times e = \frac{1}{2} \times (3560.21 + 0.00) \times 1.54 \times 0.20 = 160.65 \text{ KN}$$

La section d'acier à mettre pour 2^{eme} bande est :

$$A_2 = \frac{N_{u2}}{\sigma_s} = \frac{160.65 \times 10}{400} = 4.02 \text{ cm}^2 \text{ avec } \sigma_s = 400 \text{ MPa (situation accidentelle)}$$

$$A_{min RPA} = 0.2 \% \times d' \times e = 0.002 \times 154 \times 20 = 6.16 cm^2$$

$$A_{min BAEL} = d' \times e \times \frac{f_{t28}}{f_e} = 154 \times 20 \times \frac{2.1}{400} = 16.17 \text{ cm}^2$$

Donc : A_{s2} =Max(A_2 ; $A_{min RPA}$; $A_{min BAEL}$) =16.17cm².

$$A_{s2}$$
= 16.17cm² soit : 2x11T10=17.28cm²

$$A_s = A_{s1} + A_{s2} = 9.05 \text{cm}^2 + 17.28 \text{ cm}^2 = 26.33 \text{ cm}^2$$

Service Espacement:

- $S_t \le \min (1.5e; 30) \text{ cm}$ $S_t \le 30 \text{ cm}.$
- Soit : $S_t = 15$ cm Dans la zone courante.
- $S_a = S_t/2 = 7.50$ cm dans la zone d'environ.

Armatures horizontales:

D'après le BEAL 91 :

$$A_h = \frac{A_v}{4} = \frac{17.28 + 9.05}{4} = 26.33 \text{ cm}^2$$

D'après le RPA 2003 :

 $A_h \ge 15 \% \times B = 0.0015 \times 270 \times 20 = 8.10 \text{ cm}^2$

Soit : $2 \times 16 \text{ HA} = 25,13 \text{ cm}^2 \text{ soit} : 6 \text{HA} = 10/\text{ml} \text{ avec} : \text{St} = 15 \text{ cm}$

Armatures transversales :

Les deux nappes d'armatures verticales doivent être reliées au minimum par (04) épingles au mètre carré soit HA8.

. Armature de coutures :

$$A_{vj} = 1.1 \times \frac{\overline{V}}{f_e}$$

Avec : $\overline{V} = 1.4 \times V_u$

V_u: Effort tranchant calculé au niveau considéré

$$V_u = 389.11 \text{ KN}$$

$$\overline{V}$$
= 1,4×389.11 = 544.75 KN = 0.545 MN

$$A_{vj} = 1.1 \times \frac{0.545}{400} = 0.001498 \text{ m}^2 = 14.98 \text{ cm}^2$$

Cette quantité doit s'ajouter à la section d'acier nécessaire pour équilibrer les effortsde traction dus au moment de renversement.

• Vérification des contraintes de cisaillement :

D'après le BAEL 91 :

$$\begin{array}{l} \tau_u \leq \overline{\tau}_u \\ \tau_u = \frac{V_u}{b \times d} = \frac{_{389.11 \times 10}}{_{20 \times 0.9 \times 320}} = 0.68 \text{MPa} \end{array}$$

Avec:

 τ_u : contrainte de cisaillement

$$\bar{\tau}_u = min (0.15 \times \frac{f_{c28}}{v_b}; 4MPa)$$
 Pour la fissuration préjudiciable.

$$\bar{\tau}_{u=} \min (0.15 \times \frac{25}{15}; 4MPa) = 2.5 MPa$$

$$\tau_u {=}~0.68~MPa \leq \overline{\tau}_u {=}~2.50~MPa$$

D'après le RPA99 révisé 2003 :

$$\tau_b \leq \bar{\tau}_b$$

$$\tau_b = \frac{T}{b_0 \times d}$$

Avec:

$$T = 1.4 \times V_u$$

b₀: Epaisseur du linteau ou du voile.

d: Hauteur utile (d = 0.9 h).

h: Hauteur totale de la section brute.

$$V_u = 389.11 \text{ KN}$$

$$T = 1.4 \times 389.11 = 544.75 \text{ KN} = 0.545 \text{ MN}$$

$$\tau_b = \frac{T}{b_0 \times d} = \frac{544.75 \times 10}{20 \times 0.9 \times 320} = 0.95 \text{ MPa}$$

$$\bar{\tau}_{\rm b} = 0.2 \times f_{\rm c28} = 5.00 \, \rm MPa$$

• Vérification à l'ELS :

$$\begin{split} & \sigma_b \leq \overline{\sigma}_b \\ \text{Avec}: \ \sigma_b = \frac{N_s}{B + (15 \times A)} \ \ \text{et} \ ; \quad \overline{\sigma}_b = 0.6 \times \ f_{c28} = 15 \text{MPa} \\ \sigma_b = \frac{N_s}{B + (15 \times A)} = \frac{487.20 \times 10^{-3}}{0.64 + (15 \times 0.002239)} = 0.73 \ \text{MPa} \\ \sigma_b = 0.73 \ \text{MPa} \leq \overline{\sigma}_b = 15 \text{MPa} \end{split}$$

V.5.6.2.1 Ferraillages des voiles sens (Y - Y):

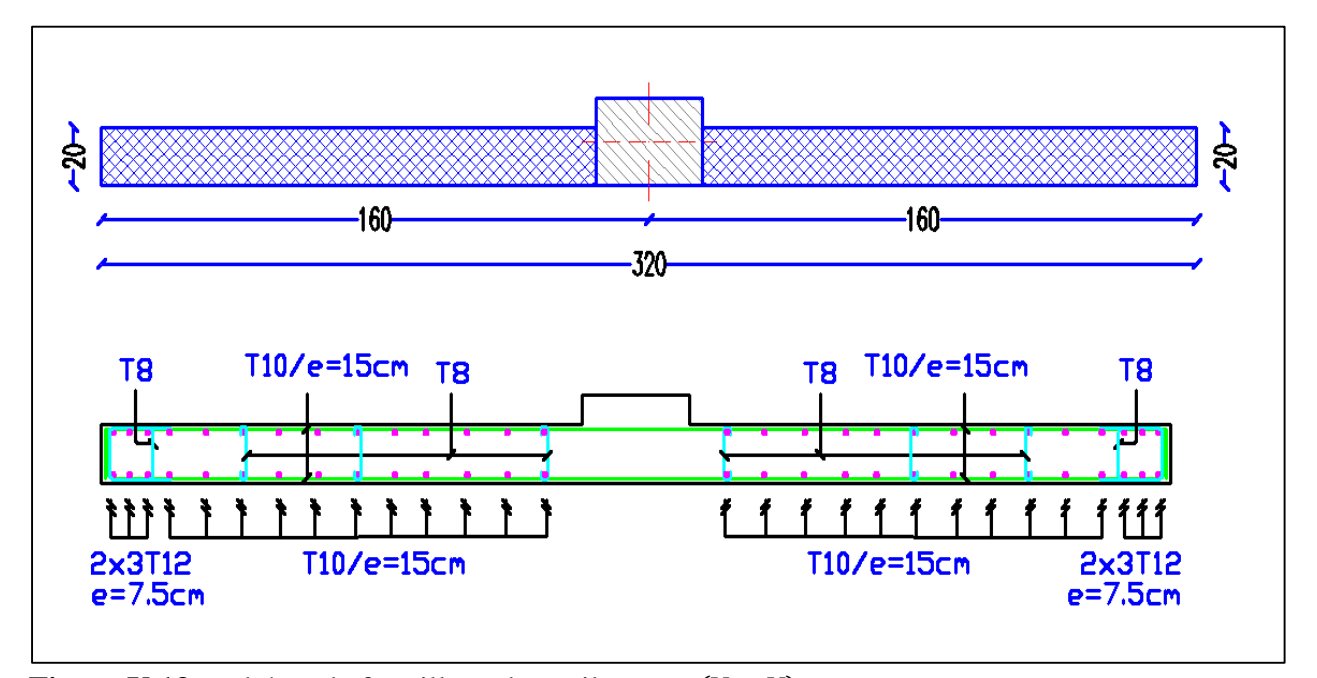


Figure V.13 : schéma de ferraillage des voiles sens (Y - Y)

V.6 Conclusion:

Les éléments principaux dites aussi structure portante, jouent un rôle prépondérant dans la résistance, la stabilité de l'ouvrage et la transmission des sollicitations de la superstructure aux fondations.

Ils doivent donc être correctement dimensionnés et bien armés et vérifiés ensuite, une intention particulière doit être procurée à ses éléments du point de vue réalisation sur chantier. Dans ce chapitre, on ferraille les éléments résistants de la structure (poteaux, poutres,) selon les différents règlements (RPA 99 version 2003[5], BAEL 91 modifié 99[2]).

- > On extraire les efforts sollicités (les sollicitations maximales) par les deux éléments à partir de logiciel ROBOT pour calculer le ferraillage maximal.
- ➤ La section des armatures des poutres principales et secondaires est la même pour toute la structure.

Chapitre VI Étude De L'infrastructure

VI.1. INTRODUCTION:

Les fondations d'une construction sont constituées par les parties de l'ouvrage qui sont en contact avec le sol auquel elles transmettent les charges de la superstructure; elles constituent donc la partie essentielle de l'ouvrage puisque de leur bonne conception et réalisation découle la bonne tenue de l'ensemble.

Les éléments de fondation transmettent les charges au sol soit directement (cas des semelles reposant sur le sol ou cas des radiers); soit par l'intermédiaire d'autres organes (cas des semelles sur pieux par exemple).

Les fondations doivent donc assurer deux fonctions essentielles pour la stabilité de l'ensemble qui sont:

- La capacité de reprendre les différentes charges et surcharges supportées par la superstructure.
- Elles doivent assurer la transmission de ces charges et surcharges au sol d'assise de la construction dans de bonnes conditions de façon à garantir la stabilité de la structure.

Le dimensionnement de la fondation doit être compatible avec la capacité portante admissible du sol.

VI.2Les types des fondations :

On distingue trois types de fondations :

- Fondations superficielles (semelle isolée, semelle filante, radier).
- Fondations semi-profonds (les puits).
- Fondations profonds (les pieux).

VI.3Choix de type de fondation:

Le choix de type des fondations dépend essentiellement des facteurs suivants :

- Le type d'ouvrage à construire.
- L'aspect économique.
- La facilité d'exécution.
- Les caractéristiques du sol support.
- La nature et l'homogénéité du bon sol.
- La capacité portante du terrain de fondation.
- La charge totale transmise au sol.
- La profondeur à atteindre pour fonder sur le bon sol.
- Le rapprochement entre les poteaux et voiles.

Afin de déterminer le choix de fondations à adopter pour notre structure, on procède tout d'abord à la vérification des semelles isolées puis les semelles filantes. Si ces deux fondations ne sont pas adéquates, on passera au radier général.

D'après le RPA99 [5] les fondations superficielles sont dimensionnées selon les combinaisons d'actions suivantes :

- ✓ ELS (G+Q) pour le dimensionnement.
- ✓ ELU (1.35G+1.5Q) pour le ferraillage.
- ✓ Accidentelle (0.8G+E) pour la vérification.

VI.4 Calcul des fondations :

Afin de satisfaire la sécurité et l'économie, tout en respectant les caractéristiques de l'ouvrage; la charge que comporte l'ouvrage – la portance du sol – l'ancrage et les différentes donnée du rapport du sol, on commence le choix de fondation par les semelles isolées – filantes et radier, chaque étape fera l'objet de vérification.

On suppose que l'effort normal provenant de la superstructure vers les fondations est appliqué au centre de gravité (C.D.G) des fondations.

On doit vérifier la condition suivante :

$$\frac{N}{S} \le \sigma_{sol} \Rightarrow S \ge \frac{N}{\sigma_{sol}}$$

Avec:

 σ_{sol} : Contrainte du sol.

N : Effort normal appliqué sur la fondation.

S : Surface de la fondation.

Pour le cas de la structure étudiée, nous avons le choix entre des semelles isolé L'étude géotechnique du site à donner une contrainte admissible de 2 bar, donc le choix d'un radier général n'est pas nécessaire ni économiques et des semelles filantes.

VI.4.1 Vérification de type de la semelle :

Le poids total du bâtiment : $W_{TOT} = 11589.89 \text{ KN}$

La surface totale du bâtiment : $S = 230 \text{ m}^2$

 $\sigma_{sol} = 2 \ bar$

$$\frac{N}{\sigma_{sol}} = \frac{11589.89}{200} = 57.95 \text{ m}^2$$

Donc:

$$\frac{57.95}{230} = 25\% < 50\%$$

On opte pour une semelle isolé.

VI.4.1.1 Semelles Isolées:

1) pré dimensionnement :

On adoptera une semelle homothétique à celles du poteau, c'est-à-dire le rapport de (A/B)

est égal au rapport (a / b) :
$$\frac{a}{b} = \frac{A}{B}$$

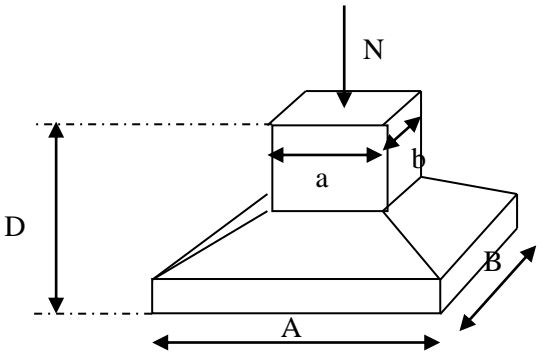


Figure VI.1 : Dimensions de la semelleisolée

D'où
$$S \ge \frac{N}{\sigma_{sol}}$$
; $\sigma_{sol} = 2$ bars

On donne une valeur à A on trouve B

$$A = \frac{Bxa}{b} \implies A = \frac{\frac{S}{A}xa}{b} \implies A = \sqrt{\frac{Sxa}{b}}$$

Le calcul se fait pour le poteau le plus sollicité ayant un effort normal :

$$N = 873.26 \text{ KN}$$

D'où S
$$\ge \frac{873.26}{20}$$
 S = 43.7 m² $\Rightarrow A = B = \sqrt{43.7} = 6.6m \Rightarrow B = 6.6m$.

2) Vérification de la mécanique des sols :

Il faut vérifie que:

$$L_{\min} \ge 1.5xB$$

Tel que L_{min} est l'entre axe minimum entre deux poteaux

On a:

$$1.5xB = 9.90 \text{ m} > L_{\min} = 3.70 \text{ m}....$$
non vérifie

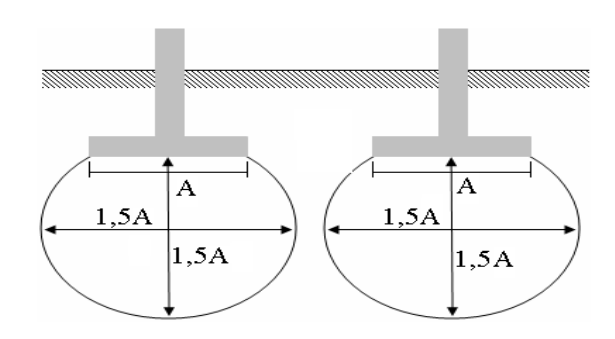


Figure VI.02: L'interférence entre deux semelles isolée

3) Conclusion:

D'après ces résultats, on remarque qu'il y a chevauchement des semelles, on passe alors à l'étude des semelles filantes.

VI.4.1.2. Semelles Filantes:

Le recours à des semelles filantes se fait quand les poteaux et par conséquent les semelles dans une direction donnée sont proches les unes des autres de façon que la somme des contraintes des deux semelles au niveau du point d'interface dépasse la contrainte du sol. L'effort normal supporté par la semelle filante est la somme des efforts normaux de tous les poteaux qui se trouve dans la même ligne.

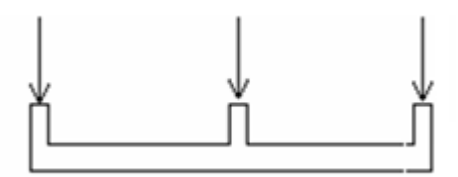


Figure VI.03: semelles filantes

A. Semelle filante sous voile:

A.1. Prés dimensionnement de la semelle filante sous voile

$$S = B \times L \Rightarrow B \ge \frac{N}{L \times \sigma_{sol}}$$

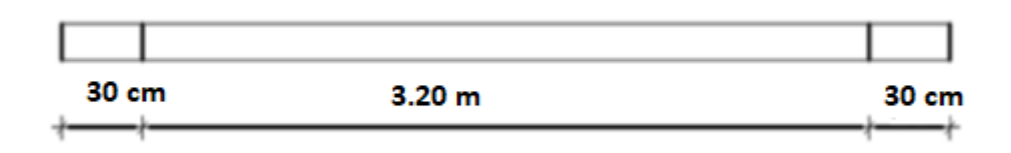


Figure VI.04: semelles filantes sous voiles

 $N = \sum N_i$ de chaque fil de poteaux.

B: Largeur de la semelle.

L : Longueur de la file considérée.

D'où:

$$B \ge \frac{1081.95}{320 \times 20} \Rightarrow \text{Soit} : B = 1 \text{m}$$

$$d \ge \frac{B-b}{4} = \frac{100-20}{4} = 20$$
cm

On prend d = 25 cm.

$$h_t = d + 5 \implies h_t = 30cm$$

A. 2. Ferraillage Semelle filante sous voile :

$$N = 915 \text{ KN}$$

$$A_S = \frac{N \times (B - b)}{8 \times d \times \sigma_{Sol}} = \frac{915 \times (100 - 20) \times 10^3}{8 \times 250 \times 2000} = 18.3 \text{ cm}$$

On adopte :

$$6HA20 = 18.85 \text{ cm}^2$$
; Esp = 15 cm

A.3. Ferraillage transversales:

$$A_t = \frac{A_s}{4} = \frac{18.85}{4} \implies A_t = 4.71 \text{ cm}^2$$

On adopte:

$$6HA12 = 6.79 \text{ cm}^2$$
; $Esp = 20$

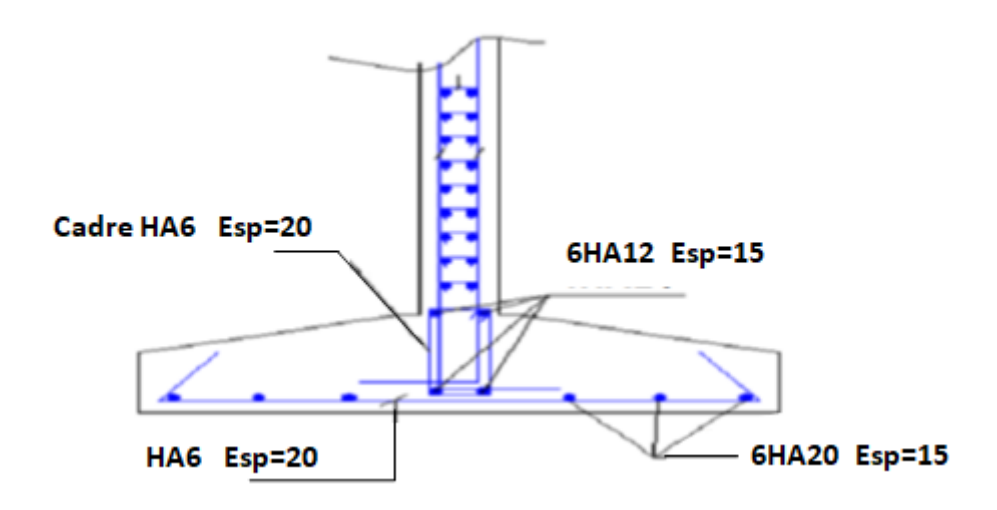


Figure VI.05: Ferraillage de la semelle filante sou

B. Semelle filante sous 3 poteaux :

$$N_1 = 859.20$$
KN

$$N_2 = 1184.5 \text{ KN}$$

$$N_3 = 1031.20 \text{ KN}$$

Donc:

$$A \ge \frac{N_{\text{tot}}}{\sigma_{sol} \times B} = \frac{307.49}{20 \times 4.15} = 3.7$$

$$M/_1 = 0 \implies N_2 \times 3 - R \times L$$
$$= 0$$

$$L = \frac{3.70}{2} = 1.85 \text{ m}$$

> Moment sur appuis :

$$M_a = \frac{R}{A} \times \frac{(L)^2}{2} = \frac{307.49}{3.70} \times \frac{(1.85)^2}{2} = 142.21 \text{ KN. m}$$

➤ Moment sur travée :

$$M_{(x)} = \frac{R}{A} \times \frac{(X)^2}{2} - N(x - L)$$

$$X = \frac{N}{q} \implies q = \frac{R}{A} \implies X = 1.42 \text{ m}$$

$$M_{(x)} = \frac{R}{A} \times \frac{(X)^2}{2} - N(x - L) = \frac{307.46}{3.7} \times \frac{(1.42)^2}{2} - 1184.5(1.42 - 1.85) = 593.12 \text{ KN. m}$$

> Calcul de l'effort tranchant :

$$T_g = q \times L = 307.46 \times 8.5 = 153.84 \text{ KN}$$

$$T_d = (q \times L) - N = 1060.7 - 1184.5 = -1031 \text{ KN}$$

B.1. Ferraillage:

- $M_a = 142.21 KN.m$
- $M_t = 593.12KN.m$
- T = 153.84 KN
- > En appuis:

$$M = 142.21 \ KN.m$$

$$B = 4.15 cm$$
 ; $h = 40 cm$

d = h - d' = 40 - 5 = 35cm

$$\mu = \frac{Mu}{\overline{\sigma b} \cdot b \cdot d^2}$$

$$\mu = \frac{142.21 \times 10^5}{415 \times 350^2 \times 14.2} = 0.068 < \mu l = 0.392 \text{ (Acier FeE400)}$$

Donc (A') n'existe pas.

-
$$\alpha = 1,25(1-\sqrt{1-2\mu})=0.088$$

-
$$\beta = 1 - 0.4\alpha = 0.96$$

$$- \sigma_s = \frac{f_e}{\gamma_s} = 348 MPa.$$

$$A = \frac{M_t^{\text{max}}}{\beta \cdot d \cdot \sigma_s} = \frac{14221000}{0.96 \times 350 \times 348} = 12.16cm^2$$

On adopte:

> En travée :

M = 593.12 KN.m/

B=
$$415cm$$
 ; $h = 40cm$

$$d = h - d' = 40 - 5 = 35cm$$

$$\mu = \frac{Mu}{\overline{\sigma h} \cdot h \cdot d^2}$$

$$\mu = \frac{593.12 \times 10^5}{415 \times (350)^2 \times 14.2} = 0.082 < \mu l = 0.392 \text{ (Acier FeE400)}$$

Donc (A') n'existe pas.

-
$$\alpha = 1,25(1-\sqrt{1-2\mu})=0,10$$

-
$$\beta = 1 - 0.40 \alpha = 0.96$$

$$- \sigma_s = \frac{f_e}{\gamma_s} = 348 MPa.$$

$$A = \frac{M_t^{\text{max}}}{\beta \cdot d \cdot \sigma_s} = \frac{59312000}{0.96 \times 350 \times 348} = 5.07 cm^2$$

On adopte :

$$6T12 = 6.79 \text{ cm}^2$$

B.2. Ferraillage transversal:

N = 3074.6 KN

$$N/_{ml} = \frac{N_{TOT}}{A} = \frac{3074.6}{3.7} = 831.05 \text{ KN/}_{ml}$$

$$A_{S} = \frac{N \times (B - b)}{8 \times d \times \sigma_{s}} = \frac{831.05 \times (415 - 30)}{8 \times 35 \times 348} = 3.58$$

On adopte:

6T10 =4.71 cm²; esp= 15 cm par 1 ml

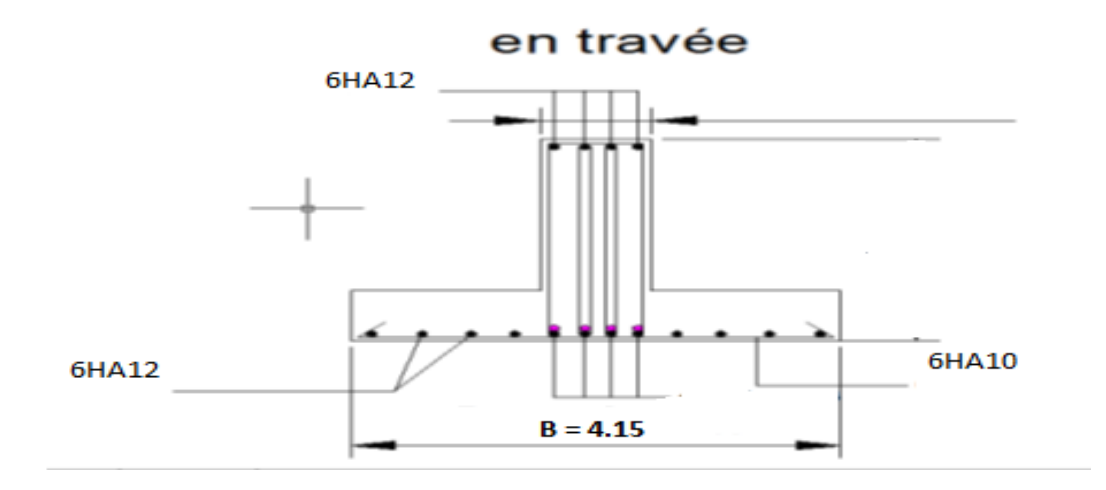


Figure VI.6 : ferraillage de la semelle filante sous poteauen travée

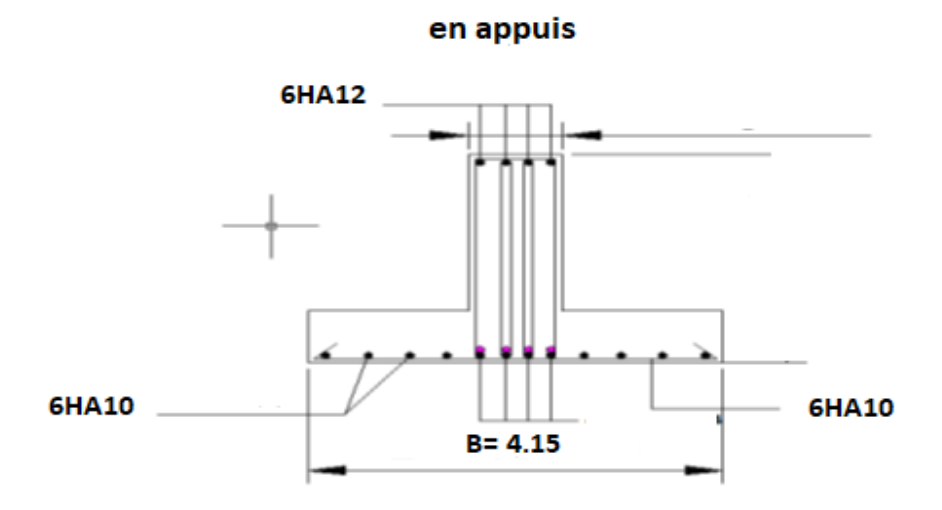


Figure VI.7 : ferraillage de la semelle filante sous poteau en appuis

VI.5 Calcul de la longrine :

D'après (RPA99version 2003)[1] Les points d'appuis d'un même bloc doivent être solidarisés par un réseau bidirectionnel de longrines ou tout dispositif équivalant tendant à s'opposer aux déplacements relatifs de ses points d'appui dans le plan horizontal.

VI.5.1 Dimensionnement de la longrine :

Pour les sites de catégories S2, S3 ont doit disposer des longrines de (30x30) cm²

Les longrines doivent être calculées sous un effort de traction donné par la formule suivante :

$$F = \frac{N}{\alpha} \ge 20KN$$

Avec:

N: la valeur maximale des charges verticales

 α : Coefficient de la zone sismique et de la catégorie du site $\alpha = 12$

N = 1197.84 KN

$$F = \frac{N}{\alpha} = \frac{1197.84}{12} = 100KN \ge 20KN \dots CV$$

VI.5.2 Ferraillage de la longrine :

La section d'armatures est donnée par la formule suivante.

$$\sigma = \frac{F}{A} \Rightarrow A = \frac{F}{\sigma_s} = \frac{100}{348} = 2.87 \text{cm}^2$$

VI.5.3 Condition de non fragilité (B.A.BAEL91 modifié 99.)[3]:

$$A_{\min} = B^2 \times \frac{f_{t28}}{f_e} \implies A_{\min} = 30^2 \times \frac{2.1}{400} = 4.725 \text{cm}^2$$

VI.5.4 Condition exigée par RPA99 (RPA99 version 2003)[1]:

$$A_{\min} = \times 0.6\% \times b \times h = 0.006 \times 30 \times 40 = 7.2 \text{ cm}^2$$

On prend:

 $A = 6T14 = 9.24 \text{ cm}^2$

VI.5.5 Armatures transversales:

On prend un diamètre de Ø8 pour les cadres.

VI.5.6. Espacement minimal:

$$S_t \le \min(20; 15 \times \emptyset_L) \text{cm} \implies S_t \le \min(20; 18) \text{cm}$$

On prend : $S_t = 15cm$

VI.6. Schéma de ferraillage de la longrine :

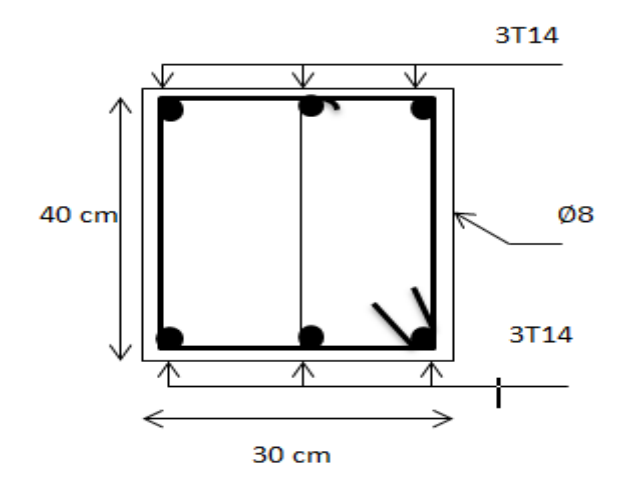
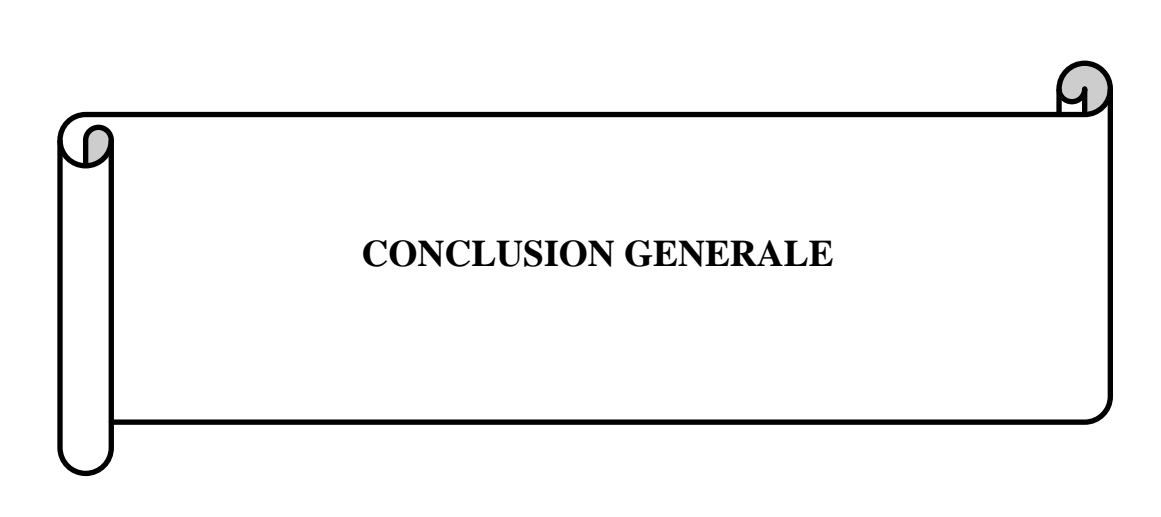


Figure VI.8: Ferraillage de la longrine.

VI.7: CONCLUSION:

L'étude du sol est une étape importante pour la réalisation de la construction. Elle permet de connaître les caractéristiques du sol, ce qui a un impact conséquent sur le type de fondation, qu'il peut supporter et de ne prendre aucun risque dans la construction.

Pour notre bâtiment, on a utilisée une semelle filante.



CONCLUSION GENERALE

Dans ce projet, nous avons réalisé une étude détaillée du bâtiment en béton armé (R+4).

L'étude de cet ouvrage nous a permis d'appliquer toutes les connaissances acquises lors de notre formation de master, d'approfondir nos connaissances sur la base de documents techniques et réglementaires, et d'appliquer des méthodes de calcul modernes.

Cette étude nous a conduit à tirer un certain nombre de conclusions dont les plus importantes sont :

- -Il est important de souligner la nécessite de garantir une meilleure qualité des matériaux, et leur mise en œuvre. Une construction peut s'effondrer suite à l'utilisation des matériaux de qualité médiocre et ou de qualité d'exécution dérisoire.
- -L'intensité des forces sismiques agissant sur un bâtiment lors d'un séisme est conditionnée non seulement par les caractéristiques du mouvement sismique, mais aussi par la rigidité de la structure sollicitée.
- -La disposition et les dimensions des voiles jouent un rôle très important dans le comportement dynamique des structures mixtes.
- -La vérification de l'effort normal réduit nous a conduits à une augmentation des sections des poteaux estimées par le prédimensionnement.
- -une semelle filante s'est avéré le type de fondation le plus adéquat pour notre structure

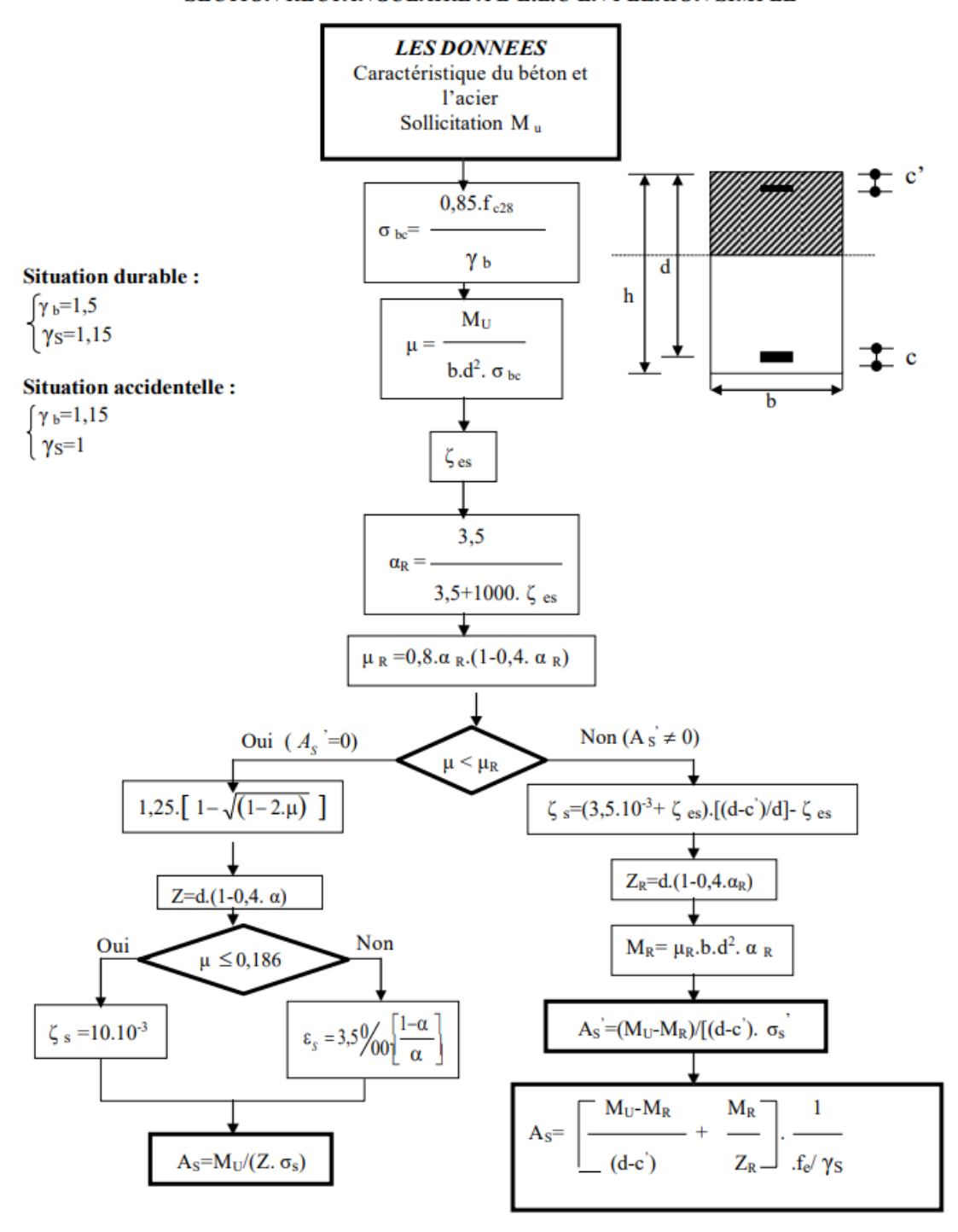
Liste des références

- [1]Règles Parasismiques Algériennes **RPA99/version2003**
- [2] Règles de Conception et de Calcul des Structures en Béton Armé CBA 93
- [3]Règles de Calcul de Béton Armé Aux Etats Limites **BAEL91**
- [4] Charges permanentes et charges d'exploitation **D.T.R-B.C 2.2**
- Cours de projet structure en béton armé (Master 2 GC) **Dr. Abdelkader Brahim**.
- Cours de modélisation de structure (Master 2 GC) **Dr. BoukourSalima**
- Logicield'analysedesstructures ROBOTversion2014.
- **WORD2016.**
- MACO AD AUTO CAD 2010.

ANNEXES

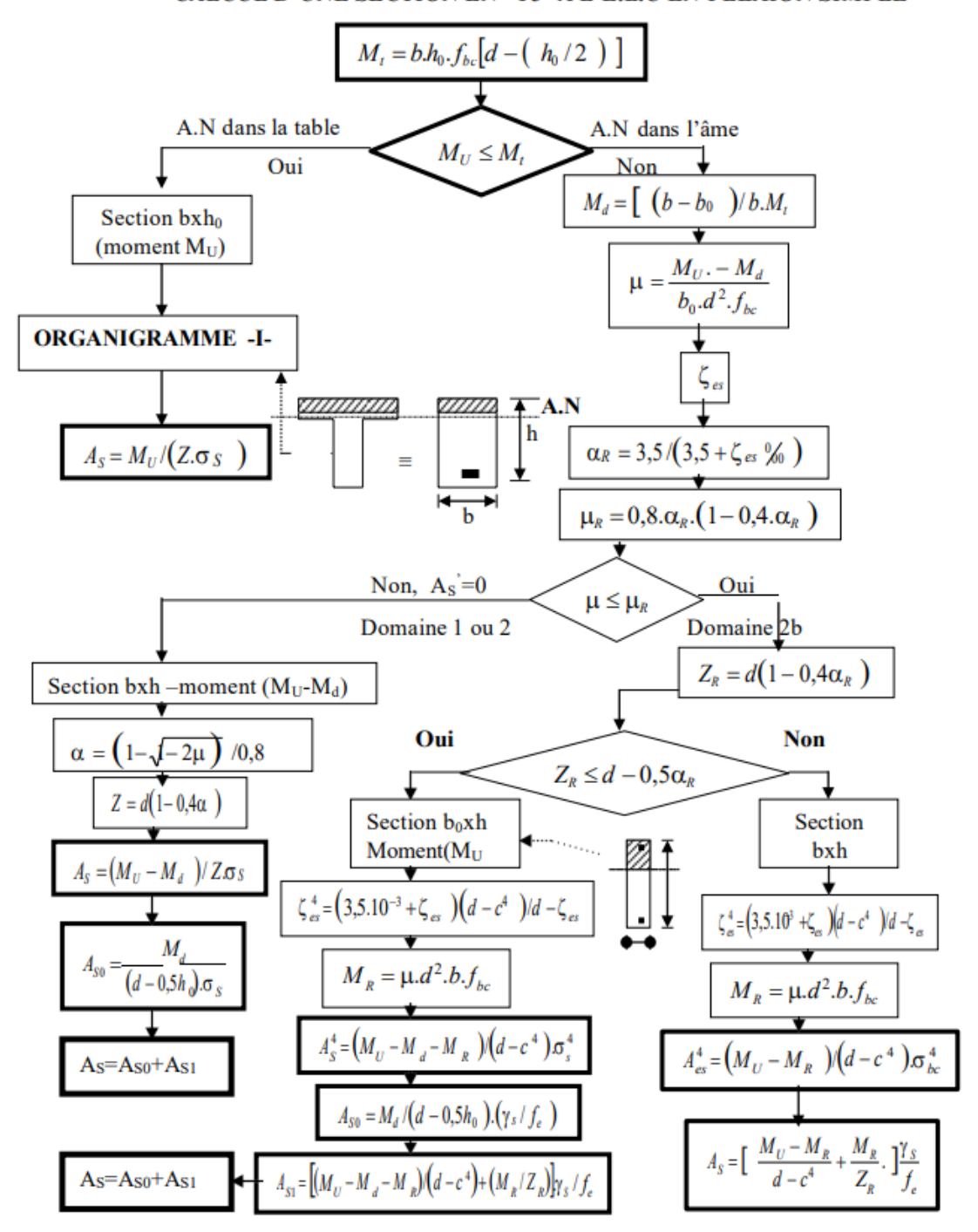
ORGANIGRAMME -I-

SECTION RECTANGULAIRE A L'E.L.U EN FLEXION SIMPLE



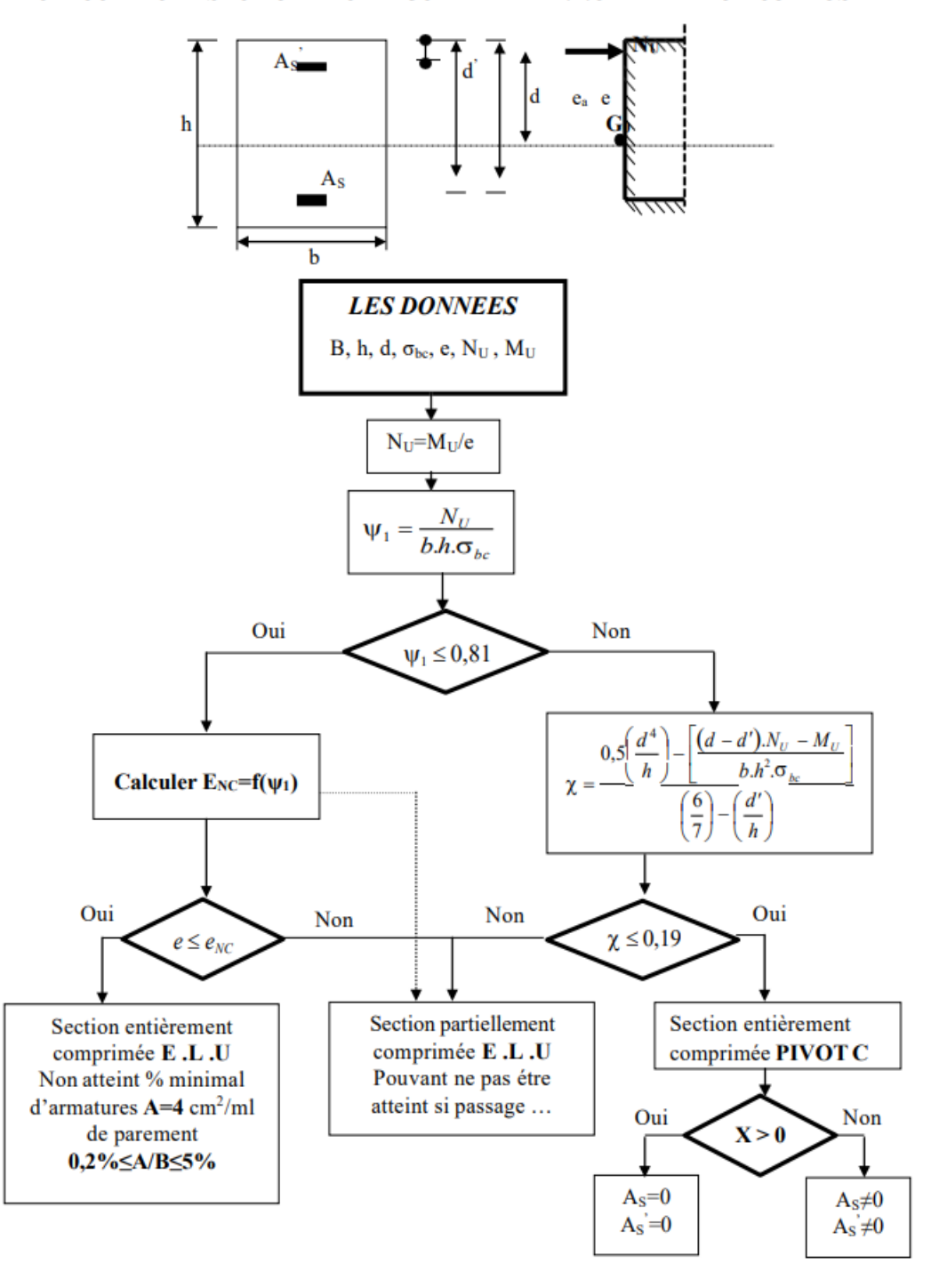
ORGANIGRAMME -II-

CALCUL D'UNE SECTION EN -Té- A L'E.L.U EN FLEXION SIMPLE



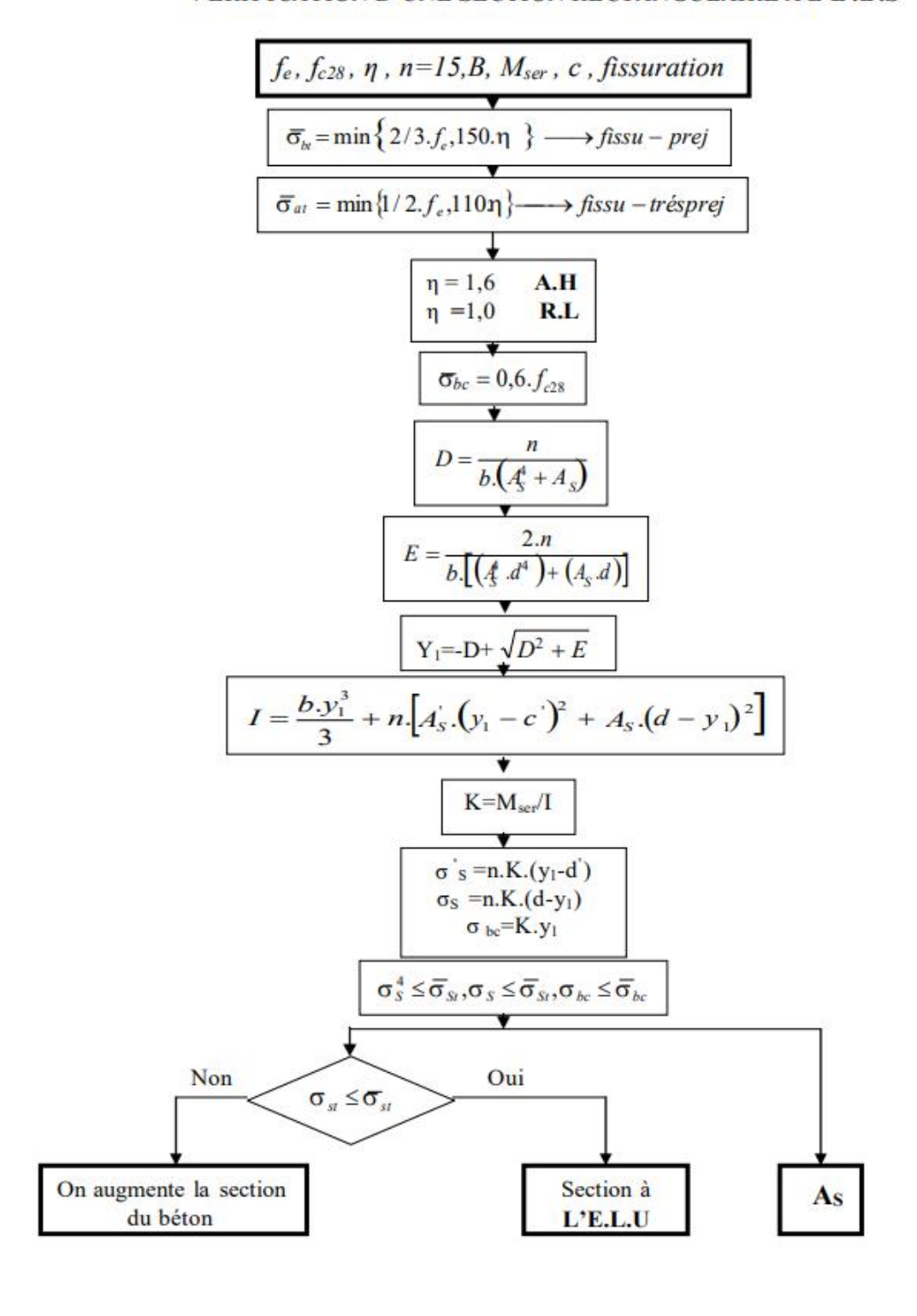
ORGANIGRAMME -III-

CALCUL D'UNE SECTION RECTANGULAIRE A L'E.L.U EN FLEXION COMPOSEE



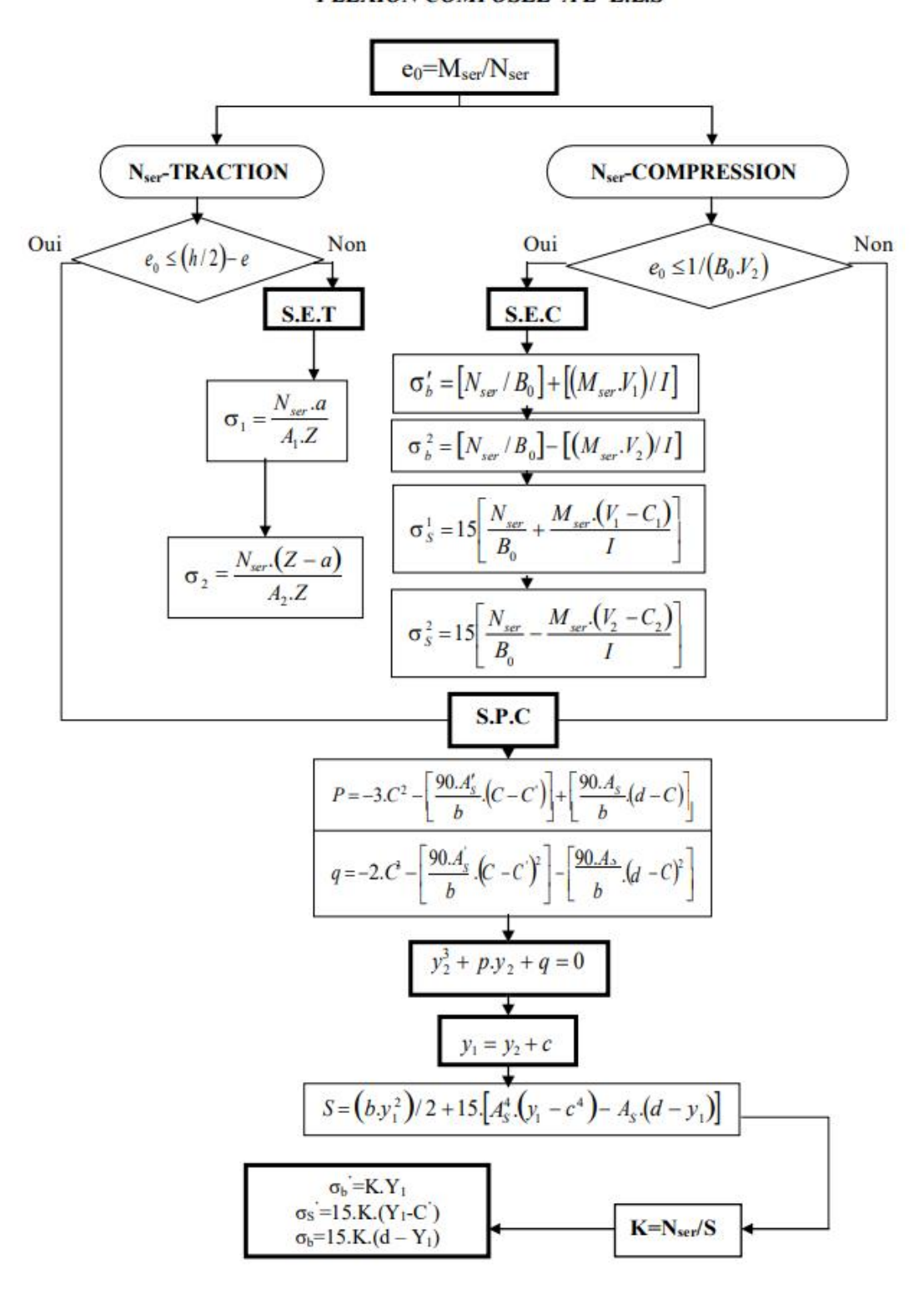
ORGANIGRAMME -IV-

VERIFICATION D'UNE SECTION RECTANGULAIRE A L'E.L.S



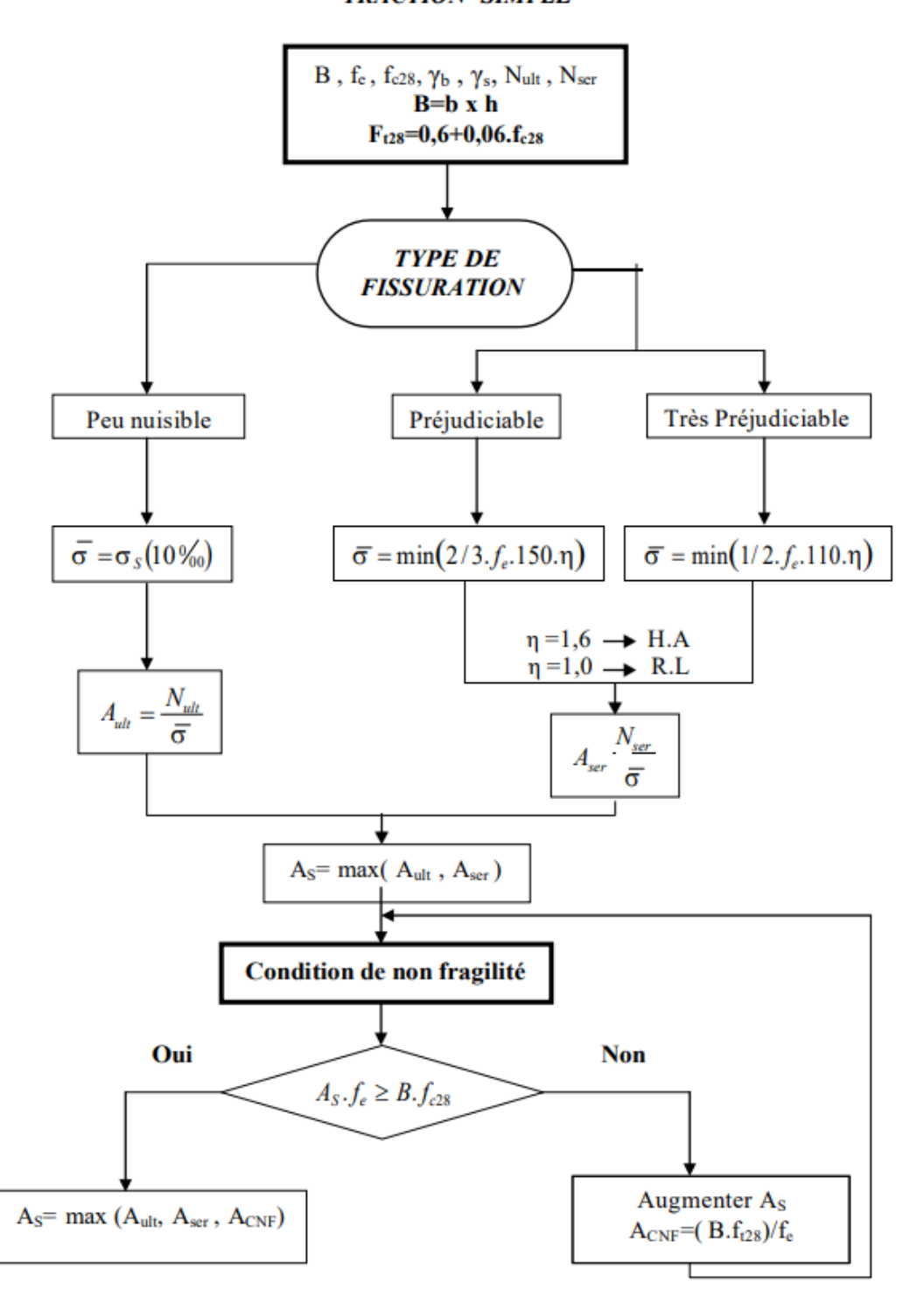
ORGANIGRAMME -V-

FLEXION COMPOSEE AL'E.L.S



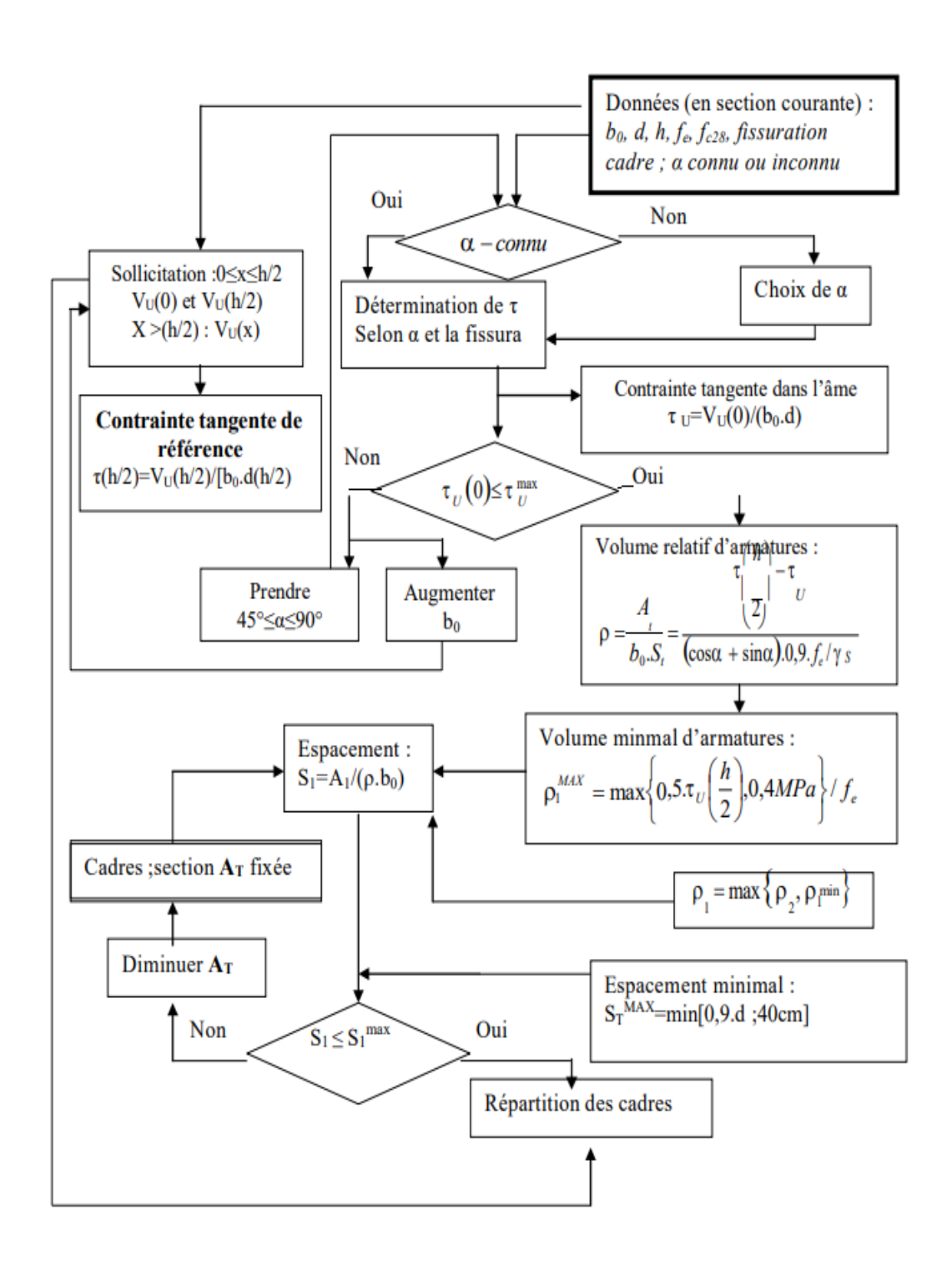
ORGANIGRAMME -VI-

TRACTION SIMPLE



ORGANIGRAMME -VII-

CALCUL DES ARMATURES D' UNE POUTRE SOUMISE A L'EFFORT TRANCHANT



Section en cm² de 1 à 20 armatures de diamètre Den mm

Ø	5	6	8	10	12	14	16	20	25	32	40
1	0,20	0,28	0,50	0,79	1,13	1,54	2,01	3,14	4,91	8,04	12,57
2	0,39	0,57	1,01	1,57	2,26	3,08	4,02	6,28	9,82	16,08	25,13
3	0,59	0,85	1,51	2,36	3,39	4,62	6,03	9,42	14,73	24,13	37,70
4	0,79	1,13	2,01	3,14	4,52	6,16	8,04	12,57	19,64	32,17	50,27
5	0,98	1,41	2,51	3,93	5,65	7,70	10,05	15,71	24,54	40,21	62,83
6	1,18	1,70	3,02	4,71	6,79	9,24	12,06	18,85	29,45	48,25	75,40
7	1,37	1,98	3,52	5,50	7,92	10,78	14,07	21,99	34,36	56,30	87,96
8	1,57	2,26	4,02	6,28	9,05	12,32	16,08	25,13	39,27	64,34	100,5
9	1,77	2,54	4,52	7,07	10,18	13,85	18,10	28,27	44,18	72,38	113,1
10	1,96	2,83	5,03	7,85	11,31	15,39	20,11	31,42	49,09	80,42	125,7
11	2,16	3,11	5,53	8,64	12,44	16,93	22,12	34,56	54,00	88,47	138,2
12	2,36	3,39	6,03	9,42	13,57	18,47	24,13	37,70	58,91	96,51	150,8
13	2,55	3,68	6,53	10,21	14,70	20,01	26,14	40,84	63,81	104,6	163,4
14	2,75	3,96	7,04	11,00	15,83	21,55	28,15	43,98	68,72	112,6	175,9
15	2,95	4,24	7,54	11,78	16,96	23,09	30,16	47,12	73,63	120,6	189 5
16	3,14	4,52	8,04	12,57	18,10	24,63	32,17	50,27	78,54	125,7	201,1
17	3,34	4,81	8,55	13,35	19,23	26,17	34,18	53,41	83,45	136,7	213,6
18	3,53	5,09	9,05	14,14	20,36	27,71	36,19	56,55	88,36	144,8	226,2
19	3,73	5,37	9,55	14,92	21,49	29,25	38,20	59,69	92,27	152,8	238,8
20	3,93	5,65	10,05	15,71	22,62	30,79	40,21	62,83	98,17	160,8	251,3